

**1-(N-DİKLOROASETİL) -N-[ (o,m ve p)-  
METİLFENİLAMİNOMETİL]-2- NAFTOL'ÜN  
BAZİK ORTAMDA HALKA OLUŞTURMA REAKSİYONU**

**Handan CAN**

**DOKTORA TEZİ**

**KİMYA ANABİLİM DALI**

**2001**

**114444**

**11444444**

**RİNG CLOSURE REACTION OF 1-(N-DİKLOROASETİL) -N-[ (o,m ve p)-  
METİLFENİLAMİNOMETİL]-2- NAFTOL  
İN BASIC MEDIUM**

**Handan CAN**  
**DOCTOR OF PHILOSOPHY**  
**IN CHEMISTRY**  
**2001**

*...  
...  
...  
...*

**1-(N-DİKLOROASETİL) -N-[ (o,m ve p)-METİLFENİLAMİNOMETİL]-  
2- NAFTOL'ÜNBAZİK ORTAMDA  
HALKA OLUŞTURMA REAKSİYONU**

**Handan CAN**

Osmangazi Üniversitesi  
Fen Bilimleri Enstitüsü  
Lisansüstü Yönetmeliği Uyarınca  
Kimya Anabilim Dalında  
Organik Bilim Dalında  
**DOKTORA TEZİ**  
Olarak Hazırlanmıştır.

**Danışman : Prof. Dr. Sevim BİLGİÇ**

**Şubat 2001**

Handan Can'ın DOKTORA tezi olarak hazırladığı "1-(N-dikoloroasetil)-N-((o,m ve p)-metilfenilaminometil)-2-Naftol'ün Bazik Ortamda Halka Oluşturma Reaksiyonu" başlıklı bu çalışma, jürimizce doktora yönetmeliğinin ilgili maddelerin uyarınca değerlendirilerek kabul edilmiştir.

.... / .... / ....

Üye : Prof. Dr. Orhan BİLGİÇ

Üye : Prof. Dr. İsmail E. GÜMRÜKÇÜOĞLU

Üye : Prof. Dr. Hikmet AĞIRBAŞ

Üye : Doç. Dr. Cavit UYANIK

Üye : Prof. Dr. Alaattin GÜVEN

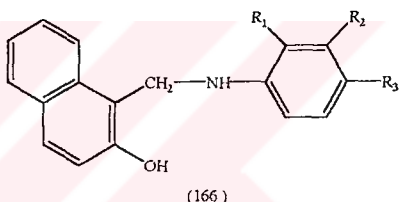
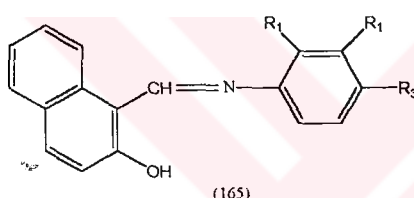
Fen Bilimleri Enstitüsü Yönetim Kurulu'nun 22 - 5 - 2001.....gün ve  
2001 - 7 - 4.....sayılı kararıyla onaylanmıştır.

Prof. M. Selami KILIÇKAYA

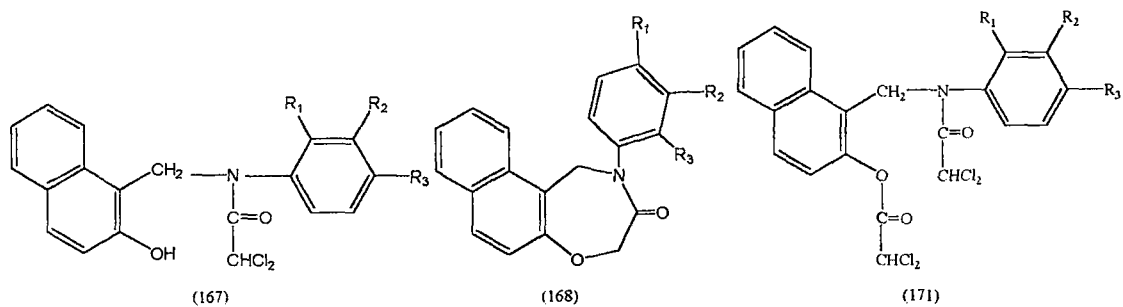
M. Selami Kiliçkaya  
Enstitü Müdürü

## ÖZET

Bu çalışmada 2-hidroksi-1-naftaldehit (163) ve sübstitüe olmuş (olmamış) anilinlerden hazırlanan Schiff bazları (165a,b,c,d) NaBH<sub>4</sub> ile indirgenmiştir ve amin bileşikleri (166a,b,c,d) elde edilmiştir. Amin bileşiklerinin (166a,b,c,d) dikloroasetil klorür ile reaksiyonu sonunda diaçil türevleri (171a,b,c,d) sentezlenmek istenmiş ancak açılıp türrevleri (167a,b,c,d) elde edilmiştir. 1,4-naftoksazepinlerin (168a,b,c,d) elde edilmesi için açılıp türrevleri NaOH ile muamele edilmiştir. Reaksiyon koşulları Mohan, K.R. ; Rajeshwar, K. Ve Sudhakar, C.'nin reaksiyon koşullarıyla aynı olmasına rağmen, reaksiyon sonunda halkalaşma ve 1,4-naftoksazepinler (168a,b,c,d) oluşmamıştır. Açılıp grupları hidroliz olarak amin türrevlerine (166a,b,c,d) dönüşmüştür. Daha sonra reaksiyon koşulları değiştirilmiştir. Halka kapanma reaksiyonunda NaOH yerine piridin kullanılmıştır. Reaksiyon süresi 2 saat yerine 24 saatte çıkarılmış ve sıcaklık artırılmıştır. Bu reaksiyon sonunda N-açılıp türrevleri (167a,b,c,d) oluşmuştur. Ürünlerin yapıları IR, UV, <sup>1</sup>H-NMR, <sup>13</sup>C-NMR (DEPT), kütle ve HETCOR (bileşik 167a için) spektrumları ile tayin edilmiştir.



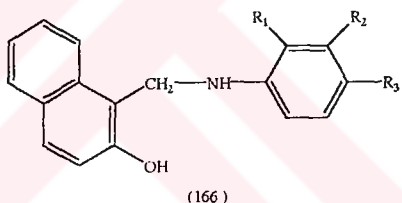
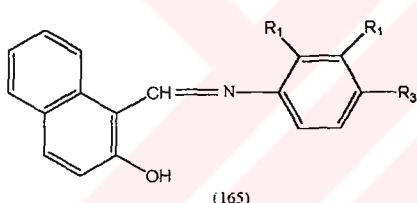
- a)  $R_1 = R_2 = R_3 = H$   
 b)  $R_1 = CH_3, R_2 = R_3 = H$   
 c)  $R_1 = R_3 = H, R_2 = CH_3$   
 d)  $R_1 = R_2 = H, R_3 = CH_3$



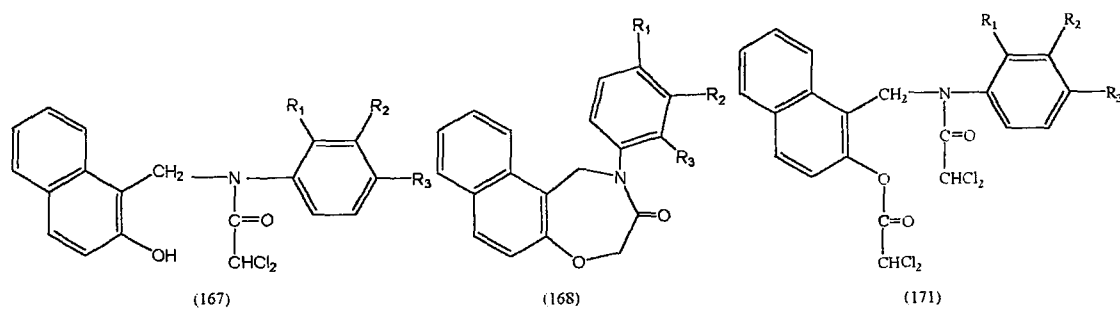
## SUMMARY

In this study Schiff bases (165a,b,c,d) which were prepared from 2-hydroxy-1-naphthaldehyde (163) and (un) substituted [(o,-m,-p,-(methyl)] anilines were reduced with NaBH<sub>4</sub> and amine compounds (166a,b,c,d) were obtained. Then, the amines (166a,b,c,d) were treated with Cl<sub>2</sub>CHCOCl to obtain the diacyl derivates (171a,b,c,d), but acyl derivates (167a,b,c,d) were obtained. Acyl derivates were reacted with NaOH in the hope of preparing 1,4- naphtoxazepinones (168a,b,c,d). Although the reaction conditions were the same as Mohan, K.R.; Rajeshwar, K. ve Sudhakar, C.'s reaction conditions, there were no cyclization and no 1,4- naphtoxazepinones (168a,b,c,d) were obtained. There was a break -acyl groups so amine compounds (166a,b,c,d) were obtained as products. Then, the reaction conditions were changed. In the cyclisation reaction pyridine was used instead of NaOH and the time of the reaction was 24 hours instead of 2 hours and the temperature was increased. At the end of the reaction N-acyl derivates (167a,b,c,d) were obtained as products.

The structures of the products were determined by mass, IR, UV,  $^1\text{H-NMR}$ ,  $^{13}\text{C-NMR}$  (DEPT) and HETCOR ( compound for 167a) spectra.



- a)  $R_1 = R_2 = R_3 = H$   
 b)  $R_1 = CH_3, R_2 = R_3 = H$   
 c)  $R_1 = R_3 = H, R_2 = CH_3$   
 d)  $R_1 = R_2 = H, R_3 = CH_3$



## **TEŞEKKÜR**

1-(N-dikloroasetil)-N-(**o**, **m**, **p**)- metilfenilaminometil)-2-naftol ‘ün Bazik Ortamda Halka Oluşturma Reaksiyonu konusundaki bu deneysel çalışma, Osmangazi Üniversitesi Fen Bilimleri Enstitüsü ‘nde Prof. Dr. Sevim Bilgiç ‘in danışmanlığında yürütülmüştür.

Çalışmalarımı yönlendiren danışman hocam sayın Prof. Dr. Sevim Bilgiç’e, deneysel çalışmalarım sırasında büyük yardımının gördüğüm değerli hocam sayın Prof. Dr. Orhan Bilgiç ‘e minnet ve şükranlarımı sunarım.

Çalışmalarım sırasında, manevi desteklerini esirgemeyen aileme ve arkadaşlarımı teşşekkür ederim.

Handan CAN

## İÇİNDEKİLER

	<u>Sayfa</u>
<b>1. BENZOKSAZEPİNLERİN SENTEZ YÖNTEMLERİ .....</b>	1
1.1. SALİGENİNDEN SENTEZİ .....	1
1.2. KARBONİL BİLEŞİKLERİ VE KARBOKSİLIK ASİT TÜREVLERİNDEN SENTEZİ .....	2
1.2.1. Amitlerden Sentezi .....	2
1.2.2. Schiff Bazlarından Sentezi .....	9
1.2.3. Aminoasit Shiff Bazlarından Sentezi .....	12
1.2.4. Esterlerden Sentezi .....	14
1.2.5. Hidrazinlerden Sentezi .....	14
1.2.6. Asitklorürlerden Sentezi .....	15
1.2.7. Asit Tuzundan Sentezi .....	15
1.2.8. Asitlerden Sentezi .....	16
1.3. KROMANON VE FLAVANONLARDAN SENTEZİ .....	16
1.3.1. Kromanonlardan Sentezi .....	16
1.3.2. Flavanonlardan Sentezi .....	19
1.4. BENZOKSAZEPİNOLARIN İNDİRGENMESİNDEN SENTEZİ .....	21
1.5. ÇIFT BAĞ İNDERGENMESİNDEN SENTEZİ .....	22
<b>2. BENZOKSAZEPİNLERİN REAKSİYONLARI .....</b>	27
<b>3. BENZOKSAZEPİNOLARIN KRİSTAL YAPISI .....</b>	34
<b>4. BENZOKSAZEPİNLERİN SPEKTRUMLARI .....</b>	34
<b>5. BENZOKSAZEPİNLERİN KULANIM ALANLARI .....</b>	36
5.1. TİBBİ KULLANIMI .....	36
5.2. FOTOĞRAFÇILIKTA KULLANIMI .....	45
<b>6. AMAÇ .....</b>	46
<b>7. DENEL BÖLÜM .....</b>	48
7.1. KULLANILAN KİMYASAL MADDELER .....	48

7.2. KULLANILAN ÇÖZÜCÜLER .....	48
7.3. MADDELERİN FİZİKSEL VERİLERİNİN SAPTANMASI .....	48
7.4. SCHIFF BAZLARI SERİSİNDE İSİMLENDİRME .....	49
7.5. İNDİRGENMESİ SONUCUNDA OLUŞAN BİLEŞİKLER BİLEŞİKLER SERİSİNDE İSİMLENDİRME .....	50
7.6. DİKLOROASETİL KLORÜRLENME SONUCUNDA OLUŞAN SERİSİNDE İSİMLENDİRME .....	51
<b>8. DENEYSEL ÇALIŞMA .....</b>	<b>52</b>
8.1. SCHIFF BAZLARININ HAZIRLANMASI .....	52
8.1.1. 1- (N-feniliminometil)-2-naftol (165a, R=H) Sentezi .....	52
8.1.2. 1- (N- <i>para</i> -feniliminometil)-2-naftol (165b, R= <i>o</i> -CH <sub>3</sub> ) Sentezi .....	53
8.1.3. 1- (N- <i>ortho</i> -feniliminometil)-2-naftol (165c, R= <i>m</i> -CH <sub>3</sub> ) Sentezi .....	54
8.1.4. 1- (N- <i>meta</i> -feniliminometil)-2-naftol (165d, R= <i>p</i> -CH <sub>3</sub> ) Sentezi .....	56
8.2. SCHIFF BAZLARININ NaBH <sub>4</sub> İLE İNDİRGENMESİ .....	57
8.2.1. 1- (N-feniliminometil)-2-naftol (165a) ‘ün NaBH <sub>4</sub> ile indirgenmesi .....	57
8.2.2. 1- (N- <i>ortho</i> -feniliminometil)-2-naftol (165b) ‘ün NaBH <sub>4</sub> ile indirgenmesi .....	58
8.2.3. 1- (N- <i>meta</i> -feniliminometil)-2-naftol (165c) ‘ün NaBH <sub>4</sub> ile indirgenmesi .....	60
8.2.4. 1- (N- <i>para</i> -feniliminometil)-2-naftol (165d) ‘ün NaBH <sub>4</sub> ile indirgenmesi .....	61
8.3. İNDİRGENEN SCHIFF BAZLARININ DİKLOROASETİLKJORÜR İLE REAKSİYONU .....	62
8.3.1. 1- (N-fenilaminometil)-2-naftol (166a)‘ün dikloroasetilklorür ile reaksiyonu .....	62
8.3.2. 1- (N- <i>ortho</i> -fenilaminometil)-2-naftol (166b)‘ün dikloroasetilklorür ile reaksiyonu .....	64
8.3.3. 1- (N- <i>meta</i> -fenilaminometil)-2-naftol (166c)‘ün dikloroasetilklorür ile reaksiyonu .....	65
8.3.4. 1- (N- <i>para</i> -fenilaminometil)-2-naftol (166d)‘ün dikloroasetilklorür ile reaksiyonu .....	66
8.4. BAZIK ORTAMDA HALKA OLUŞTURMA .....	68
8.4.1. 1- (N-dikoloroasetil)-N-(fenilaminometil)-2-naftol (167a) ‘ün bazik ortamda halka oluşturma .....	68
8.4.2. 1- (N-dikoloroasetil)-N-( <i>ortho</i> -fenilaminometil)-2-naftol (167b) ‘ün bazik ortamda halka oluşturma .....	69
8.4.3. 1- (N-dikoloroasetil)-N-( <i>meta</i> -fenilaminometil)-2-naftol (167c) ‘ün bazik ortamda halka oluşturma .....	71

8.4.4. 1- (N-dikoloroasetil)-N-(para-fenilaminometil)-2-naftol (167d) ‘ün bazik ortamda halka oluşturmazı .....	72
<b>9. TARTIŞMA .....</b>	<b>133</b>
9.1. NAFTOLİK SCHIFF BAZLARININ SENTEZİ .....	133
9.2. NAFTOLİK SCHIFF BAZLARININ NaBH <sub>4</sub> İLE İNDİRGENMESİ .....	140
9.3. İNDİRGENMİŞ SCHIFF BAZLARININ DİKLOROASETİLKJORÜR İLE REAKSİYONU .....	151
9.4. BAZİK ORTAMDA 1,4-NAFTOZSAZEPİNLERİN ELDESİ .....	162
<b>10. SONUÇ .....</b>	<b>172</b>
<b>11. KAYNAKLAR DİZİNİ .....</b>	<b>177</b>

## ŞEKİLLER DİZİNİ

	Sayfa
Şekil 8.1 1-(N-feniliminometil)-2-naftol (165a)'ün IR spektrumu	74
Şekil 8.2 1-(N-feniliminometil)-2-naftol (165a)'ün UV spektrumu	75
Şekil 8.3 1-(N-feniliminometil)-2-naftol (165a)'ün kütle spektrumu (FAB)	76
Şekil 8.4 1-(N-feniliminometil)-2-naftol (165a)'ün $^{13}\text{C}$ -NMR spektrumu	77
Şekil 8.5 1-(N- <b>ortho</b> -metilfeniliminometil)-2-naftol (165b)'ün IR spektrumu	78
Şekil 8.6 1-(N- <b>ortho</b> -metilfeniliminometil)-2-naftol (165b)'ün UV spektrumu	79
Şekil 8.7 1-(N- <b>ortho</b> -metilfeniliminometil)-2-naftol (165b)'ün $^{13}\text{C}$ -NMR spektrumu	80
Şekil 8.8 1-(N- <b>meta</b> -metilfeniliminometil)-2-naftol (165c)'ün IR spektrumu	81
Şekil 8.9 1-(N- <b>meta</b> -metilfeniliminometil)-2-naftol (165c)'ün UV spektrumu	82
Şekil 8.10 1-(N- <b>meta</b> -metilfeniliminometil)-2-naftol (165c)'ün $^{13}\text{C}$ -NMR spektrumu	83
Şekil 8.11 1-(N- <b>para</b> -metilfeniliminometil)-2-naftol (165d)'ün IR spektrumu	84
Şekil 8.12 1-(N- <b>para</b> -metilfeniliminometil)-2-naftol (165d)'ün UV spektrumu	85
Şekil 8.13 1-(N- <b>para</b> -metilfeniliminometil)-2-naftol (165d)'ün $^{13}\text{C}$ -NMR spektrumu	86
Şekil 8.14 1-(N-fenilaminometil)-2-naftol (166a)'ün IR spektrumu	87
Şekil 8.15 1-(N-fenilaminometil)-2-naftol (166a)'ün UV spektrumu	88
Şekil 8.16 1-(N-fenilaminometil)-2-naftol (166a)'ün $^1\text{H}$ -NMR spektrumu	89
Şekil 8.16a 1-(N-fenilaminometil)-2-naftol (166a)'ün $^1\text{H}$ -NMR spektrumu (aromatik bölge genişletilmiş)	90
Şekil 8.17 1-(N-fenilaminometil)-2-naftol (166a)'ün $^{13}\text{C}$ -NMR spektrumu	91
Şekil 8.17a 1-(N-fenilaminometil)-2-naftol (166a)'ün $^{13}\text{C}$ -NMR spektrumu (DEPT)	92
Şekil 8.18 1-(N- <b>ortho</b> -metilfenilaminometil)-2-naftol (166b)'ün IR spektrumu	93
Şekil 8.19 1-(N- <b>ortho</b> -metilfenilaminometil)-2-naftol (166b)'ün UV spektrumu	94
Şekil 8.20 1-(N- <b>ortho</b> -metilfenilaminometil)-2-naftol (166b)'ün $^1\text{H}$ -NMR spektrumu	95
Şekil 8.20a 1-(N- <b>ortho</b> -metilfenilaminometil)-2-naftol (166b)'ün $^1\text{H}$ -NMR spektrumu (aromatik bölge genişletilmiş)	96
Şekil 8.21 1-(N- <b>ortho</b> -metilfenilaminometil)-2-naftol (166b)'ün $^{13}\text{C}$ -NMR spektrumu	97
Şekil 8.21a 1-(N- <b>ortho</b> -metilfenilaminometil)-2-naftol (166b)'ün $^{13}\text{C}$ -NMR spektrumu (DEPT)	98
Şekil 8.22 1-(N- <b>meta</b> -metilfenilaminometil)-2-naftol (166c)'ün IR spektrumu	99
Şekil 8.23 1-(N- <b>meta</b> -metilfenilaminometil)-2-naftol (166c)'ün UV spektrumu	100
Şekil 8.24 1-(N- <b>meta</b> -metilfenilaminometil)-2-naftol (166c)'ün $^1\text{H}$ -NMR spektrumu	101
Şekil 8.24a 1-(N- <b>meta</b> -metilfenilaminometil)-2-naftol (166c)'ün $^1\text{H}$ -NMR spektrumu (aromatik bölge genişletilmiş)	102
Şekil 8.25 1-(N- <b>meta</b> -metilfenilaminometil)-2-naftol (166c)'ün $^{13}\text{C}$ -NMR spektrumu	103
Şekil 8.25a 1-(N- <b>meta</b> -metilfenilaminometil)-2-naftol (166c)'ün $^{13}\text{C}$ -NMR spektrumu (DEPT)	104
Şekil 8.26 1-(N- <b>para</b> -metilfenilaminometil)-2-naftol (166d)'ün IR spektrumu	105
Şekil 8.27 1-(N- <b>para</b> -metilfenilaminometil)-2-naftol (166d)'ün UV spektrumu	106
Şekil 8.28 1-(N- <b>para</b> -metilfenilaminometil)-2-naftol (166d)'ün $^1\text{H}$ -NMR spektrumu	107
Şekil 8.28a 1-(N- <b>para</b> -metilfenilaminometil)-2-naftol (166d)'ün $^1\text{H}$ -NMR spektrumu (aromatik bölge genişletilmiş)	108
Şekil 8.29 1-(N- <b>para</b> -metilfenilaminometil)-2-naftol (166d)'ün $^{13}\text{C}$ -NMR spektrumu	109

	Sayfa
Şekil 8.29a 1-(N- <b>para</b> -metilfenilaminometil)-2-naftol (166d)'ün $^{13}\text{C}$ -NMR spektrumu (DEPT)	110
Şekil 8.30 1-(N-dikloroasetil)-N-(fenilaminometil)-2-naftol (167a) IR spektrumu	111
Şekil 8.31 1-(N-dikloroasetil)-N-(fenilaminometil)-2-naftol (167a) UV spektrumu	112
Şekil 8.32 1-(N-dikloroasetil)-N-(fenilaminometil)-2-naftol (167a) $^1\text{H}$ -NMR spektrumu	113
Şekil 8.32a 1-(N-dikloroasetil)-N-(fenilaminometil)-2-naftol (167a) $^1\text{H}$ -NMR spektrumu (aromatik bölge genişletilmiş)	114
Şekil 8.33 1-(N-dikloroasetil)-N-(fenilaminometil)-2-naftol (167a) $^{13}\text{C}$ -NMR spektrumu	115
Şekil 8.34 1-(N-dikloroasetil)-N-(fenilaminometil)-2-naftol (167a) $^1\text{H}$ - $^{13}\text{C}$ HETCOR-NMR	116
Şekil 8.35 1-(N-dikloroasetil)-N-(fenilaminometil)-2-naftol (167a) $\text{D}_2\text{O}$ exchange spektrumu	117
Şekil 8.36 1-(N-dikloroasetil)-N-( <b>ortho</b> -metilfenilaminometil)-2-naftol (167b) IR spektrumu	118
Şekil 8.37 1-(N-dikloroasetil)-N-( <b>ortho</b> -metilfenilaminometil)-2-naftol (167b) UV spektrumu	119
Şekil 8.38 1-(N-dikloroasetil)-N-( <b>ortho</b> -metilfenilaminometil)-2-naftol (167b) $^1\text{H}$ -NMR spektrumu	120
Şekil 8.38a 1-(N-dikloroasetil)-N-( <b>ortho</b> -metilfenilaminometil)-2-naftol (167b) $^1\text{H}$ -NMR spektrumu (aromatik bölge genişletilmiş)	121
Şekil 8.39 1-(N-dikloroasetil)-N-( <b>ortho</b> -metilfenilaminometil)-2-naftol (167b) $^{13}\text{C}$ -NMR spektrumu	122
Şekil 8.40 1-(N-dikloroasetil)-N-( <b>meta</b> -metilfenilaminometil)-2-naftol (167c) IR spektrumu	123
Şekil 8.41 1-(N-dikloroasetil)-N-( <b>meta</b> -metilfenilaminometil)-2-naftol (167c) UV spektrumu	124
Şekil 8.42 1-(N-dikloroasetil)-N-( <b>meta</b> -metilfenilaminometil)-2-naftol (167c) $^1\text{H}$ -NMR spektrumu	125
Şekil 8.42a 1-(N-dikloroasetil)-N-( <b>meta</b> -metilfenilaminometil)-2-naftol (167c) $^1\text{H}$ -NMR spektrumu (aromatik bölge genişletilmiş)	126
Şekil 8.43 1-(N-dikloroasetil)-N-( <b>meta</b> -metilfenilaminometil)-2-naftol (167c) $^{13}\text{C}$ -NMR spektrumu	127
Şekil 8.44 1-(N-dikloroasetil)-N-( <b>para</b> -metilfenilaminometil)-2-naftol (167d) IR spektrumu	128
Şekil 8.45 1-(N-dikloroasetil)-N-( <b>para</b> -metilfenilaminometil)-2-naftol (167d) UV spektrumu	129
Şekil 8.46 1-(N-dikloroasetil)-N-( <b>para</b> -metilfenilaminometil)-2-naftol (167d) $^1\text{H}$ -NMR spektrumu	130
Şekil 8.46a 1-(N-dikloroasetil)-N-( <b>para</b> -metilfenilaminometil)-2-naftol (167d) $^1\text{H}$ -NMR spektrumu (aromatik bölge genişletilmiş)	131
Şekil 8.47 1-(N-dikloroasetil)-N-( <b>para</b> -metilfenilaminometil)-2-naftol (167d) $^{13}\text{C}$ -NMR spektrumu	132

## ÇİZELGELER DİZİNİ

<u>Cizelge</u>	<u>Sayfa</u>
9.1.1. Naftolik Schiff Bazlarının (165) IR spektrum verileri .....	134
9.1.2. Naftolik Schiff Bazlarının (165) nötral UV spektrum verileri .....	134
9.1.3. Naftolik Schiff Bazlarının (165) asidik UV spektrum verileri.....	135
9.1.4. Naftolik Schiff Bazlarının (165) bazik UV spektrum verileri .....	135
9.1.5. Naftolik Schiff Bazlarının (165) $^{13}\text{C}$ -NMR spektrum verileri .....	139
9.2.1. 1-(N-fenilaminometil)-2-naftol (166a)'ün nötral, bazik ve asidik ortamdaki $\lambda_{\max}$ (nm) değerleri.....	140
9.2.2. 1-(N- <b>ortho</b> -fenilaminometil)-2-naftol (166b)'ün nötral, bazik ve asidik ortamdaki $\lambda_{\max}$ (nm) değerleri .....	143
9.2.3. 1-(N- <b>meta</b> -fenilaminometil)-2-naftol (166c)'ün nötral, bazik ve asidik ortamdaki $\lambda_{\max}$ (nm)değerleri.....	145
9.2.4. 1-(N- <b>para</b> -fenilaminometil)-2-naftol (166d)'ün nötral, bazik ve asidik ortamdaki $\lambda_{\max}$ (nm)değerleri.....	147
9.2.5. İndirgenmiş naftolik Schiff bazlarının (166) ortamdaki $^1\text{H}$ -NMR spektrum verileri .....	149
9.2.6. İndirgenmiş naftolik Schiff bazlarının (166) ortamdaki $^{13}\text{C}$ -NMR spektrum verileri .....	150
9.3.1. 1-(N-dikloroasetil)-N-(fenilaminometil)-2-naftol (167a) 'ün nötral, bazik ve asdik ortamdaki $\lambda_{\max}$ (nm)değerleri .....	152
9.3.2. 1-(N-dikloroasetil)-N-( <b>ortho</b> -fenilaminometil)-2-naftol (167b) 'ün nötral, bazik ve asdik ortamdaki $\lambda_{\max}$ (nm)değerleri .....	154
9.3.3. 1-(N-dikloroasetil)-N-( <b>meta</b> -fenilaminometil)-2-naftol (167c) 'ün nötral, bazik ve asdik ortamdaki $\lambda_{\max}$ (nm)değerleri .....	156
9.3.4. 1-(N-dikloroasetil)-N-( <b>para</b> -fenilaminometil)-2-naftol (167d) 'ün nötral, bazik ve asdik ortamdaki $\lambda_{\max}$ (nm)değerleri .....	158

<u>Cizelge</u>	<u>Sayfa</u>
9.3.5. Dikloroasetilklorürlerin maddelerin (167) $^1\text{H-NMR}$ spektrum verileri .....	160
9.3.6. Dikloroasetilklorürlerin maddelerin (167) $^{13}\text{C-NMR}$ spektrum verileri .....	161
9.3.7. 167a, 168a, 169a, 170a, yapılarının teorik $^1\text{H-NMR}$ ve $^{13}\text{C-NMR}$ spektrum erileri .....	173
9.3.8. 167b, 168b, 169b, 170b, yapılarının teorik $^1\text{H-NMR}$ ve $^{13}\text{C-NMR}$ spektrum erileri .....	174
9.3.9. 167c, 168c, 169c, 170c, yapılarının teorik $^1\text{H-NMR}$ ve $^{13}\text{C-NMR}$ spektrum erileri .....	175
9.3.10. 167d, 168d, 169d, 170d, yapılarının teorik $^1\text{H-NMR}$ ve $^{13}\text{C-NMR}$ spektrum erileri .....	176

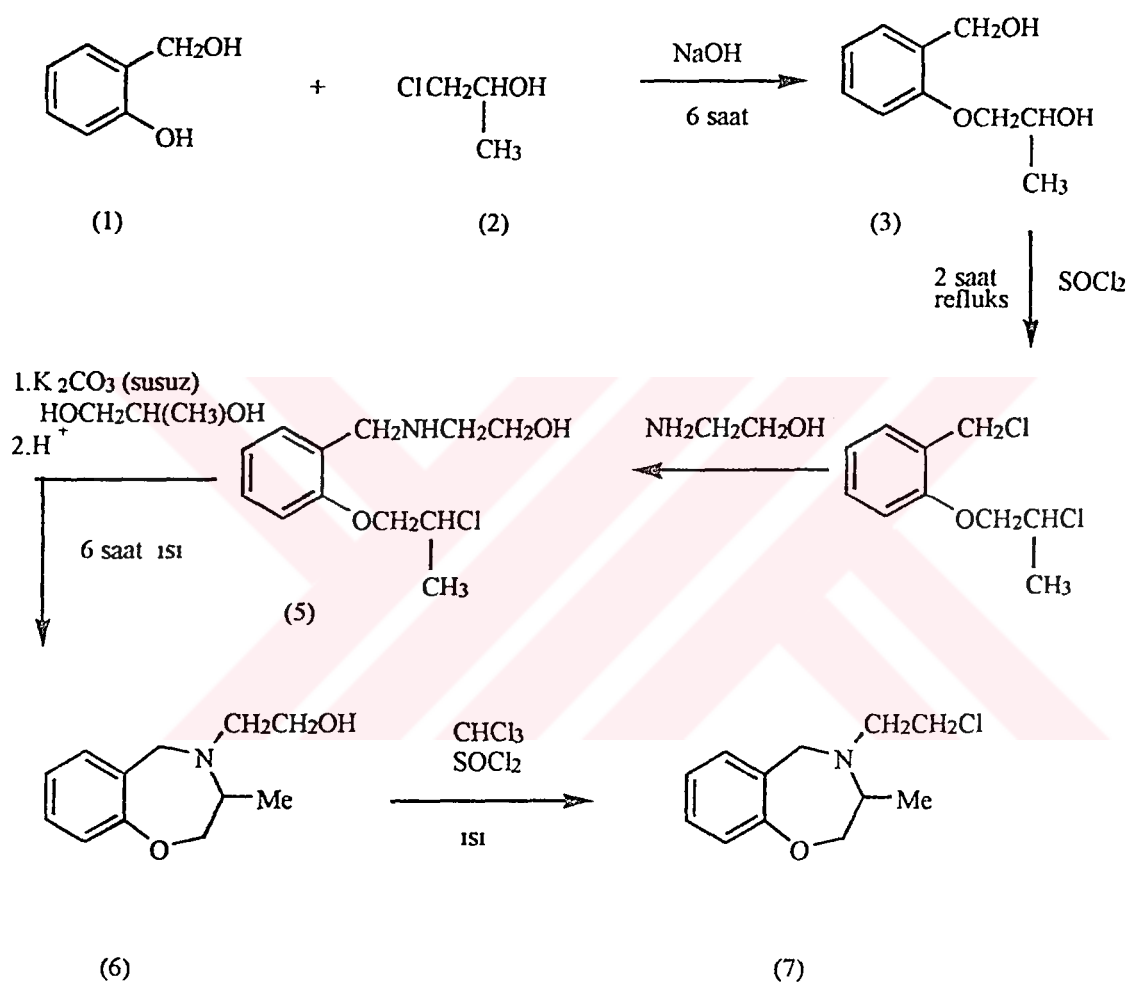
## SİMGELER VE KISALTMALAR DİZİNİ

<u>Simgeler</u>	<u>Açıklama</u>
$\lambda$	Dalga Boyu
$\text{cm}^{-1}$	1/Santimetre
nm	Nanometre
max	Maksimum
abs	Absorbans
$\nu$	Dalga Sayısı
$\pi$	Pi
Hz.	Hertz
en	Erime Noktası
M.O.	Moleküler Orbital
IR	Infrared
UV	Ultraviyole
NMR	Nükleer Magnetik Rezonans
$^1\text{H-NMR}$	Proton-Nükleer Magnetik Rezonans

## 1. BENZOKSAZEPİNLERİN SENTEZ YÖNTEMLERİ

### 1.1. Saligeninden Sentezi

Bernard Belleau, saligeninle başlayarak 4-(2-kloroethyl-3-metil-2,3,4,5-tetrahidro-1,4-benzoksazepin (7) sentezlediğini bildirmiştir (1957).



Şema 1

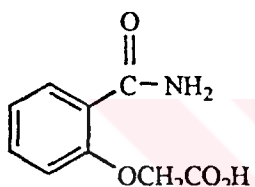
Şema 1'de gösterildiği gibi saligeninin (1), (2) ile reaksiyonu (3)'ü vermiştir. (3)'ün SOCl<sub>2</sub> ile reaksiyonu sonunda (4) oluşmuştur. (4)'ün 2-aminoetanol ile reaksiyonu (5)'i vermiştir. (5)'in susuz K<sub>2</sub>CO<sub>3</sub> ve 2-hidroksimetiletanol ile reaksiyonu sonunda 4-(2-hidroksietil)-2,3,4,5-tetrahidro-1,4-benzoksazepin (6) olduğu bildirilmiştir.

(6)'nın  $\text{SOCl}_2$  ile reaksiyonu sonunda da 4-(2-kloroethyl)-2,3,4,5-tetrahidro-1,4-benzoksazepinin (7) olduğu rapor edilmiştir.

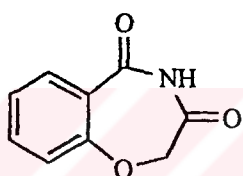
## 1.2. Karbonil Bileşikleri ve Karboksilik Asit Türevlerinden Sentezi

### 1.2.1. Amitlerden Sentezi

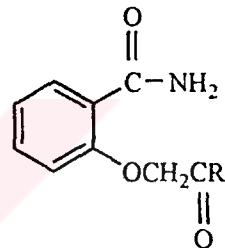
Salisilamit-O-asetikasit'in (8) veya amitlerin kloro ve nitro hidrokarbonlar içinde asetilklorür, tiyoniklorür ve asetikanhidrit gibi dehidratize edici ajanlar ile yüksek sıcaklıkta ısıtılması sonunda tetrahidro-benzo-1,4-oksazepin-3,5-dion'un (9) olduğu bildirilmiştir (Schafer, H. 1960).



(8)



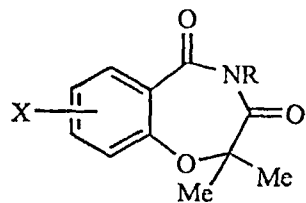
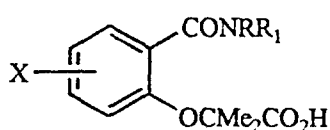
(9)



(10)

Schafer, H., salisilamit-O-asetikasit (8)'in 2 mol asetilklorür ile klorobenzen içinde 2 saat refluks edilmesi sonunda salisilik asit-O-asetimit'in olduğunu (9), bu bileşığın 10 dakika %25'lik amonyum hidroksit ile reaksiyonunun salisilamit-O-asetamit'i (10,  $R = \text{NH}_2$ ) verdienen bildirmiştir. (9)'un etilamin ve piperidin ile reaksiyonu sonunda da sırası ile (10,  $R = \text{ethyl}$  ve piperidil)'in ve (9)'un etilsübstitüe etilendiamin ile reaksiyonu sonunda da (10,  $R = -\text{EtNCH}_2\text{CH}_2\text{NEt}_2$ )'nin olduğunu rapor etmiştir (1962).

Carminati, G. M. ve arkadaşları, (11)'in ( $R = \text{H}$ ,  $R_1 = \text{Bu}$ ,  $X = \text{H}$ )'in  $\text{Ac}_2\text{O}$  ile benzoksazepin-3,5-dion'u (12,  $R = \text{H}$ ,  $X = \text{H}$ ) verdienen bildirmiştir (1963).

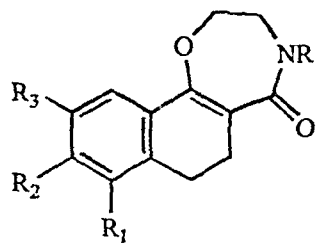


- a)  $X = R = H, R_1 = \text{iso-bütil}$
- b)  $X = R = H, R_1 = t\text{-bütil}$
- c)  $X = R = H, R_1 = \text{sec-bütil}$
- d)  $X = H, R = R_1 = \text{bütil}$
- e)  $X = H, R = R_1 = \text{iso-bütil}$
- f)  $X = H, RR_1 = \text{pentametilen}$
- g)  $X = H, RR_1 = \text{tetrametilen}$
- h)  $X = R = H, R_1 = \text{Ph}$
- i)  $X = 5\text{-Cl}, R = R_1 = H$
- j)  $X = 5\text{-Cl}, R = R_1 = \text{pentametilen}$
- k)  $X = 3\text{-Ph}, R = R_1 = \text{iso-bütil}$

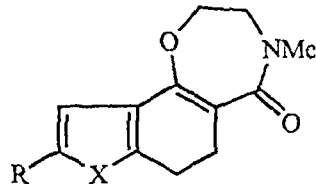
- a)  $R = \text{iso-bütil}$
- b)  $R = \text{ter-bütil}$
- c)  $R = \text{sec-bütil}$
- h)  $R = \text{Ph}$

Aynı çalışma grubu, N-mono-sübstitüeamitleri (11, a, b, c, h) ve disübstitüe amitleri (11, d, e, j) sentezlemiş ve mono-disübstitüeamitlerin asetik anhidrit ile dehidratasyona uğrayarak halkalı imitleri (12, a, b, c, h) verdiğini, disübstitüe amitlerin ise halkalı imitleri vermediğini bildirmiştir (Cattaneo, A., Galimberti, P. ve Melandri, M., 1963).

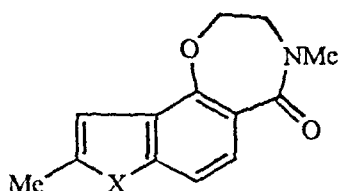
Himizu, J. ve çalışma arkadaşları, (13), (14) ve (15) bileşiklerini sentezlemiştir. Böylece (16,  $R = \text{CH}_3, \text{C}_2\text{H}_5$ ) yirmidört saat süreyle  $p\text{-MeC}_6\text{H}_4\text{SO}_3\text{H}$  ile benzen içinde refluks edilerek (13)'e halka oluşturarak dönüştüğünü bildirmiştir. Benzer şekilde (14,  $X = \text{O}, R = \text{Me}; X = \text{S}, R = \text{H}; X = \text{Ph-N}, R = \text{Me}$ ) ve (15,  $X = \text{siklohekzilimino}, \text{MeN}$ ) sentezlendiğini bildirmiştir (1970).



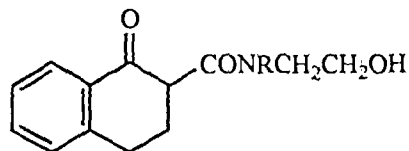
(13)



(14)



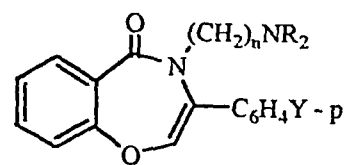
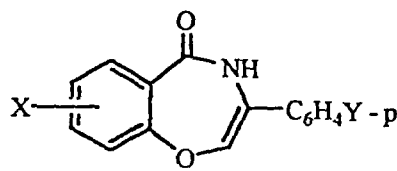
(15)



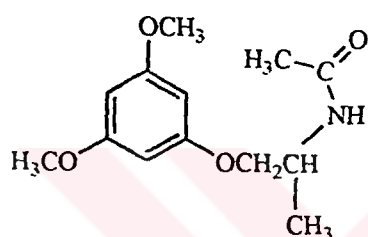
(16)

- a) R = R<sub>3</sub> = Me, R<sub>1</sub> = R<sub>2</sub> = H
- b) R<sub>1</sub> = R<sub>3</sub> = Me, R<sub>2</sub> = H
- c) R<sub>1</sub> = R<sub>3</sub> = H, = OH, OMe
- d) R<sub>1</sub>R<sub>2</sub> = -CH=CHCH=CH-, R<sub>3</sub> = H

Salisilamit p-YC<sub>6</sub>H<sub>4</sub>COCH<sub>2</sub>Cl, K<sub>2</sub>CO<sub>3</sub> ve KI'den ve bunu izleyen fenoksi türevlerinin p-MeC<sub>6</sub>H<sub>4</sub>SO<sub>3</sub>H ile dehidratasyonunun 3-aryl-1,4-benzoksazepin-5(4H)-on'ları (17) verdiği bildirilmiştir. (17)'nin R<sub>2</sub>N(CH<sub>2</sub>)<sub>n</sub>Cl.HCl ile aseton içindeki K<sub>2</sub>CO<sub>3</sub> ile reaksiyonunun N-alkilsübstitüe benzoksazepinleri (18) verdiği bildirilmiştir (Schenker, K. , 1971).



Amit bileşiği (19)'un benzen içinde  $\text{POCl}_3$  ile reaksiyonu sonunda 2,3-dihidro-5-metil-1,4-benzoksazepinin (20) olduğu bildirilmiştir. Ayrıca benzoksazepinin (20)  $\text{HCl}$  tuzu da sentezlenmiştir (Waefelaer, A. , 1971) .

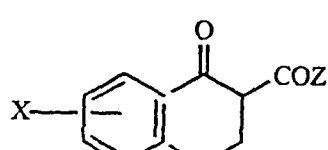


(19)



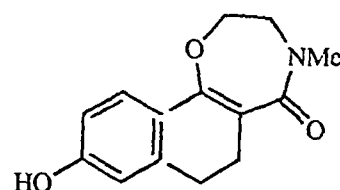
(20)

Himizu, J. ve çalışma arkadaşları, 12 amit [örneğin, 21-I ( $R = \text{Me}$ ,  $\text{Et}$ ,  $X = \text{H}$ , 6-MeO, 6-Cl, 7-Me, 5,7-Me<sub>2</sub>, 6,7-Me<sub>2</sub>)] ve esterleri  $\text{RNHCH}_2\text{CH}_2\text{OH}$  içinde reflux ederek sentezlemiştir. Böylece 21-II ( $X = 6\text{-MeO}$ ) fazla  $\text{RNHCH}_2\text{CH}_2\text{OH}$  içinde (R = Me, X = 6-MeO), 21-I (R = Me, X = 6-OH) ve (22) de birlikte elde edilmiştir (1973).



(21)

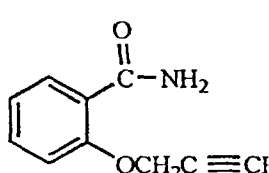
I.  $Z = \text{NRCH}_2\text{CH}_2\text{OH}$



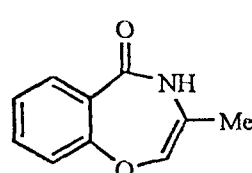
(22)

II.  $Z = \text{OMe}$

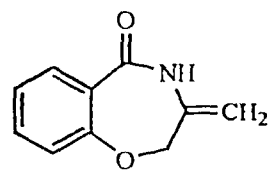
Scherrer, V. ve çalışma arkadaşları, salisilamit-O-propin'in (23) sodyummetilsülfenilmetanit ile baz katalizlenmiş halka oluşturma reaksiyonu sonunda oksazepinon (24)'ün ve oksazepinon (25)'in sırasıyla %34 ve %7 verimle oluştuğunu bildirmiştirlerdir. (23)'ün lityum siklohekzilizopropilamit ile baz katalizlenmiş reaksiyonunun %48 verimle (24)'ü verdiği belirtilmiştir. N-sübsütue salisilamit-O-propinin (23) sodyum metilsülfenilmetanit ile benzopiranonu (26) verdiği bildirilmiştir (1978).



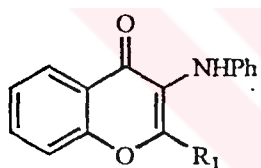
(23)



(24)



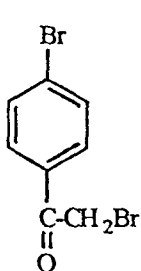
(25)



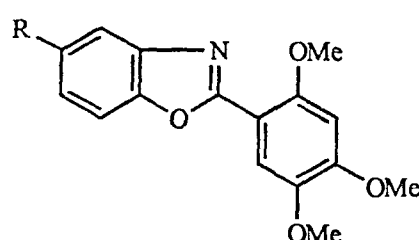
(26)



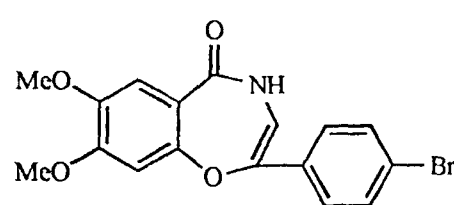
Bromometil-p-bromofenilketonun (27) 2,4,5-trimetoksibenzamit ile reaksiyonun benzoksazol (28) ve benzoksazepin (29)'u verdiği bildirilmiştir (Sanchez, V.F. , Gomez, M.R. , 1982).



(27)

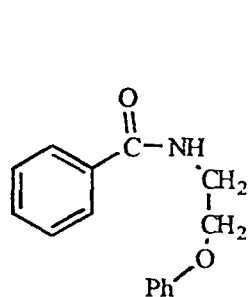


(28)

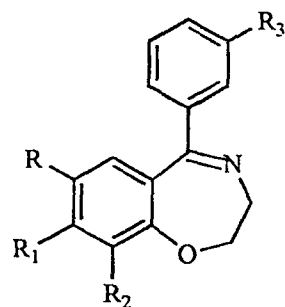


(29)

Bremner, J. B. ve arkadaşları, N-(2-aryloksietil)-benzamitlerin (30) metil siyanür veya propil siyanür içindeki  $\text{POCl}_3$  ile 5-aryl-1,4-benzoksazepinleri (31, R = OMe,  $R_1 = R_2 = H$ ,  $R_3 = H$ , Cl ;  $RR_1 = \text{OCH}_2\text{O}$ ,  $R_2 = R_3 = H$  ; R =  $R_2 = \text{OMe}$ ,  $R_1 = R_3 = H$ ) verdiğini bildirmiştir (1984).

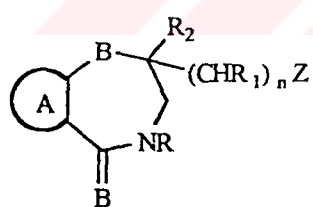


(30)

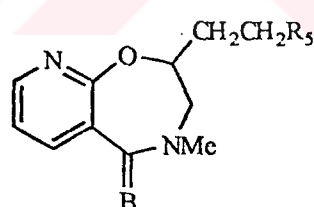


(31)

Cale, A.D. Jr. , fused aromatik tiyazepinonlar (33) [oksazepinonlar (32), A = sübstitüe olmuş ve olmamış fused benzen, naftalen, kinolin, pirimidin ; B = O, S ; R = H, alkil,  $C_{3-9}$  sikloalkil, sübstitüe olmuş ve olmamış fenil alkil ;  $R_1 = R_2 = H$ ,  $C_{1-5}$  alkil ; Z =  $R_3R_4N$ , pirazol-1-il, 1-imidazolin-2-il ;  $R_3, R_4 = R$ , Ph ;  $R_3, R_4N =$  azetidinomorfolinopiral v.s. ; n = 1-3)] ve optik izomerleri ve tuzlarını sentezlemiştir (1987).

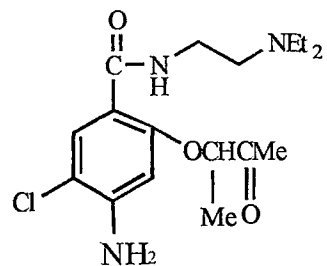


(32)

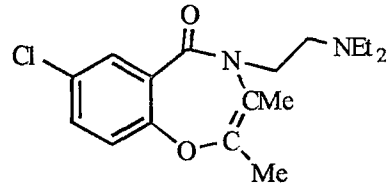


(33)

Manković, İ. ve çalışma arkadaşları, sübstitüe amitleri (34) sentezlemiştir ve bu bileşiklerin vücutta enzimatik olarak benzoksazepinl[4(dietilamino)etil]dimetil-1,4-benzoksazepin-5(4H)-on, (35) dönüştüğünü ve antiemetik aktivitelerinin olduğunu bildirmiştir (1988)

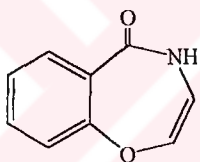


(34)

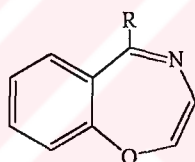


(35)

Hoffman, H. ve Fisher, H. , salisilamiti  $\text{BrCH}_2\text{CH(OEt)}_2$  ile alkillemiş ve alkilenmiş ürünün halkalaşmasıyla laktamın (36) olduğunu bildirmiştir. Laktam (36)'nın da 1,4-benzoksazepinlere (37, R = H, OMe, SMe) dönüştüğünü belirtmişlerdir (1990).

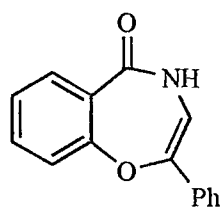


(36)



(37)

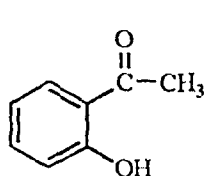
Kaye, P. T. ve Mphahlele, M. J. , 2-fenil-1,4-benzoksazepin-5(4H)-on (38)'i salisilamit öncüsü ile  $\text{PhCHBrCH(OMe)}_2$  ile alkilenmesi ve bunu izleyen halkalaşma reaksiyonu sonucunda elde ettiklerini bildirmiştir (1996).



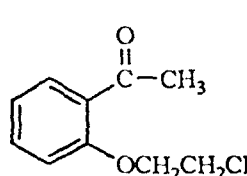
(38)

### 1.2.2. Schiff Bazlarından Sentezi

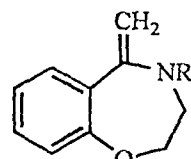
2-Hidroksifenil metil ketonun (39)  $\text{BrCH}_2\text{CH}_2\text{Cl}$  ile bazik ortamındaki reaksiyonu sonunda (40) bileşiği elde edilmiş, bu bileşığında primer alifatik aminlerle N-alkil-5-metilen-benzoksazepin (41)'i verdiğini bildirmiştir. (41)'in %10'luk Pd-C ile oda sıcaklığında indirgenmesiyle N-alkil-5-metil-2,3,4,5-tetrahidrobenzoksazepin (42)'yi oluşturduğu bildirilmiştir (Schenker, K. ve Druey, J., 1963).



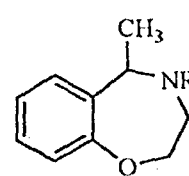
(39)



(40)

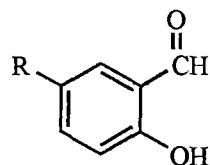


(41)

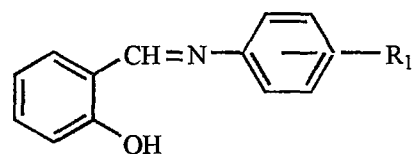


(42)

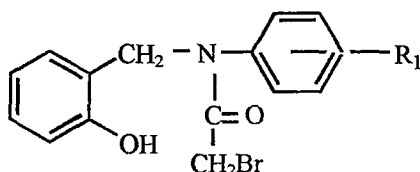
Anilino  $5,2-\text{R(OH)}\text{C}_6\text{H}_3\text{CHO}$  (43)'ün sübstitüe anilinlerle reaksiyonu Schiff bazını (44) vermiş, Schiff bazi (44)'ün  $\text{NaBH}_4$  ile indirgenmesi sonunda  $\alpha$ -anilino kresol elde edilmiştir. Anilino kresol'un  $\text{BrCH}_2\text{COBr}$  ile reaksiyonu 2-Br-N-(2-hidroksibenzil)-asetanilit (45)'i vermiştir. (45)'in tetrahidrofuran ile  $35^\circ\text{C}$ 'deki reaksiyonundan 4,5-dihidro-4-fenil-1,4-benzoksazepin-3(2H)-on (46,  $\text{R} = \text{R}_1 = \text{H}$  ;  $\text{R} = \text{Cl}$ ,  $\text{R}_1 = \text{H}$ )  $\text{LiAlH}_4$  ile indirgenerek 2,3,4,5-tetrahidro-4-fenil-1,4-benzoksazepin (46,  $\text{R} = \text{R}_1 = \text{H}$  ;  $\text{R} = \text{Cl}$ ,  $\text{R}_1 = \text{H}$ ) sentezlendiği bildirilmiştir (Derieg, M. E., Sternbach, L. H., 1966).



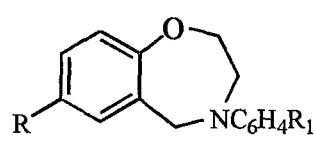
(43)



(44)

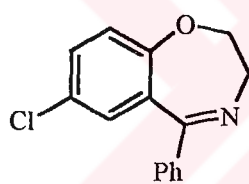


(45)

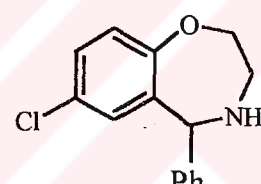


(46)

Hirohashi T., Izumi T. ve çalışma arkadaşları, p-ClC<sub>6</sub>H<sub>4</sub>OCH<sub>2</sub>CH<sub>2</sub>NH<sub>2</sub> ve BzCl'den C<sub>6</sub>H<sub>6</sub> içinde hazırlanan P-ClC<sub>6</sub>H<sub>4</sub>OCH<sub>2</sub>CH<sub>2</sub>NH<sub>2</sub> ve Bz'in bileşiğin POCl<sub>3</sub> ve P<sub>2</sub>O<sub>5</sub> (ksilen içinde) reflaksının 6 saatte (47)'i verdiği bildirmiştir (1970).

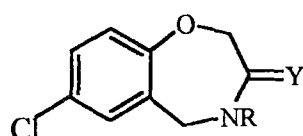


(47)



(48)

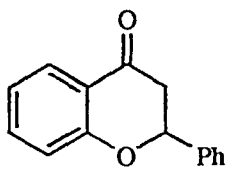
Walker, G. N. ve Smith, R. T., o-hidroksi benzofenon iminlerin indirgenmesinden elde edilen o-hidroksibenzhidril aminlerin  $\alpha$ -haloesterlerle o-alkilasyonu ile laktama (49), laktamın da ısisal kapanma, N-alkilasyonu ve indirgenme ile halkalı amine (50) dönüştüğünü bildirmiştir (1970).



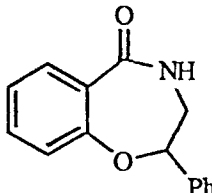
49. Y = O

50. Y = H<sub>2</sub>

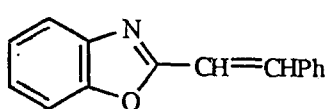
Misiti, D., o-HOC<sub>6</sub>H<sub>4</sub>COCH=CHPh HN<sub>3</sub> ile reaksiyonunun flavanon (51) benzoksazepinon (52), (53) ve (54) maddelerini verdiği bildirmiştir (1973).



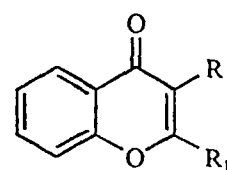
(51)



(52)



(53)



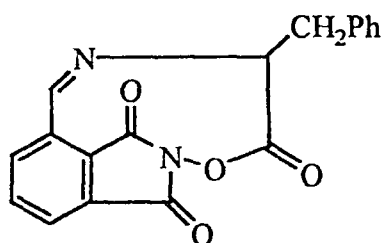
(54)

Bodanszky, M. , örneğin L-fenilalanin 3-formil-N-hidroksi ftalimit ile kaynayan THF'de ( $\text{CH}=\text{C-OEt}$  içinde) 1 saat sonunda (55)'i verdığını bildirmiştir. Aminoasitleri aktif bileşikleriyle reaksiyona girdirerek Schiff bazlarında halkalaşma ile laktonları verdigini , laktonların da aminoasit esterleriyle esterleşerek peptitleri verdigini bildirmiştir (1975).

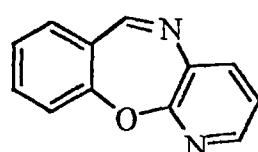
Rajyalakshmi, K. ve Srinivason, V. R., piridino [2,3-b][1,4] benzazepin (56)'yi iki yeni yöntemle sentezlediklerini bildirmislerdir :

- a) Salisilaldehitin, 2-kloro-3-aminopiridin ile reaksiyonu sonucu oluşan Schiff bazının DMF/K<sub>2</sub>CO<sub>3</sub> ile siklizasyonu salisilaldehitin sodyum tuzunu,

b) 2-NaOC<sub>6</sub>H<sub>4</sub>CHO'u, 2-kloro-3-nitropiridin ile eterine dönüştürüp, indirgenip halkalaşma ile pirido[2,3-b][1,4] benzoksazepin (56)' yi sentezlediklerini bildirmiştir (1979).

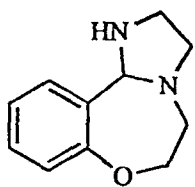


(55)

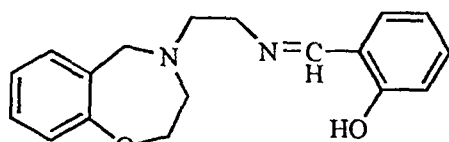


(56)

Levan, K .R. ve Root, C. A , imidazobenzoksazepini (57) , bis-[N-(2-(1-azinidil)ethyl)salisil aldimino]-nikel(II) kompleksinin metil siyanür içindeki derişik sulu HBr ile demetalasyonundan hazırladığını, EDTA ile demetalasyon (57)'yi, KCN ile demetalasyon (57) ve salisilaldehitten oluşan (58)'i verdiğini bildirmiştir (1981).



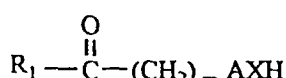
(57)



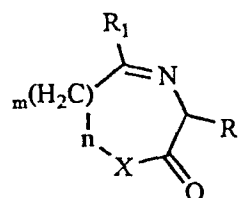
(58)

### 1.2.3. Aminoasit Schiff Bazlarından Sentezi

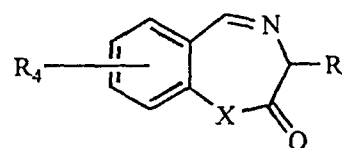
$\alpha$ -Aminoasitlerin bütün çeşitleri karbonil bileşiklerle reaksiyona girer.  $R_1CO(CH_2)_mAXH$  [A=alkylene, aril, aralkyl veya karbon atomuna bağlı başka  $\Pi$  e-sistemi];  $R_1 = H$  veya düşük alkil grubu ;  $X = O, Se, S$  ;  $m = 0-7$ , özellikle  $R_1CO(CH_2)_mCHR_2NR_3XH$  aldehitleri korunmuş ve aktifleşmiş laktonlar veya tercih edilen formu ( $n= 1-3$ ,  $R_4 = NO_2$ ,  $X = O$ , R = düşük alkil ) oluşturulmuştur. Sulu asitlerle reaksiyon sonunda koruyucu gruplar elimine edilmiştir ve istenilen kafa-kuyruk formları beklenen peptitleri vermek için olmuştur. Disiklohekzil-karbodiimid ( $C_6H_{11}N=C=NC_6H_{11}$ ) ile  $20^\circ C$  de 2 saat THF ile reaksiyonu 2-hidroksi-5-nitro benziliden L-Leusin laktonu (61, R =  $CH_2CH(CH_3)_2$  ; X = O ;  $R_4 = 8$ -nitro) vermiştir (Squibb, E. R. ve Sons firması, 1967).



(59)



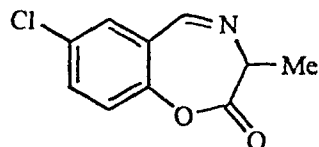
(60)



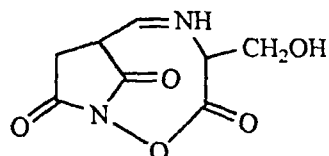
(61)

Bodanszky, M. , iki aminoasitten birinci aminoasitin aktif karbonil bileşiği ile Schiff bazını oluşturduğunu, daha sonra Schiff bazı kondense edici örneğin, disiklohekzil-dikarboimit ile lakton oluşturduğunu bildirmiştir. Örneğin L-Alanin ve 5-

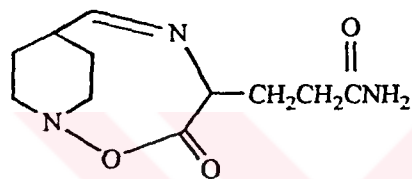
kloro salisilaldehit lakton (62)'yi, L-Fenilalanin ve 3-Formil N-Hidroksiftalimit ; L-Serin ve  $\alpha$ -Formil N-hidroksisüksinimit lakton (63)'ü, L-Glutamin ve 4-Asetil-N-hidroksipiperidin lakton (64)'ü, metionin ve 2,4-pentandionun lakton (65)'i verdiğini bildirmiştir (1969).



(62)



(63)

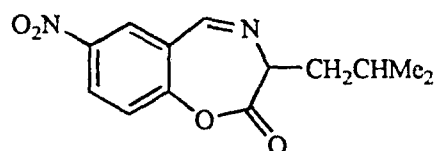


(64)



(65)

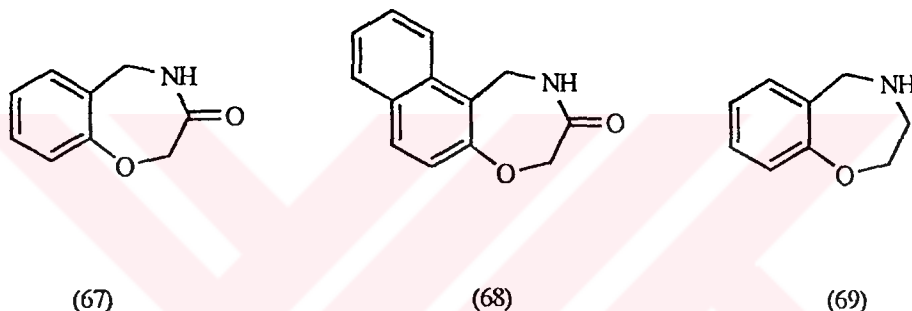
Bodanszky, M. , 5-nitro salisilaldehit ve L-leusinin Schiff bazını oluşturmuştur. Schiff bazının disiklohekzil karbamit ile laktonu (66) verdiğini ve 3-Formil N-hidroksi ftalimit ;  $\alpha$ -formil-N-hidroksisüksinimit, 4-asetil-N-hidroksipiperidin ve 2,4-pentandion'un aminoasitlerle reaksiyona girip halkaşarak (66)'nın analoglarını verdiğini rapor etmiştir. (1972).



(66)

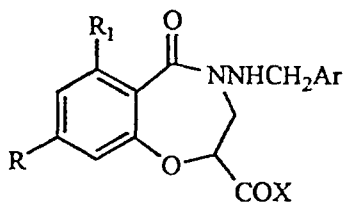
#### 1.2.4. Esterlerden Sentezi

Kost, A. N. ve çalışma arkadaşları, o-hidroksi benzonitril ve kloro asetikasitten, metil-o-siyanofenil asetati sentezlemişler ve bu bileşigin Ra-Ni ve bunu izleyen LiAlH<sub>4</sub> ile reaksiyonu sonunda da 2,3,4,5-tetrahidro-1,4-benzoksazepin-3-on'u (67)'yi verdigini bildirmislerdir. 1-siyan, 2-naftol ve kloroasetikasitten hazırlanan 1-siyan-2-naftoksiasetatin yukarıdaki koşullarda indirgenmesiyle 1,2,3,4-tetrahidro-nafth[1,2-f][1,4]-benzoksazepin-3-onu (68)'i sentezledigini bildirmislerdir. Benzoksazepinon (67) ve (68)'in LiAlH<sub>4</sub> ile indirgenmesi sonucunda 1,4-benzoksazepinler (69)'un elde edildigini bildirmislerdir (1971).

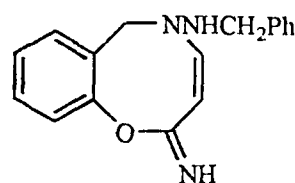


#### 1.2.5. Hidrazinlerden Sentezi

Dall'Asta, A. L. ve çalışma arkadaşları, 1-salisiloil-2-aryl-metilhidrazinlerin,  $\alpha,\beta$ -dibromokarbonil maddeleri ile örneğin BrCH<sub>2</sub>CH(Br)CO<sub>2</sub>Et, BrCH<sub>2</sub>, CH(Br)CONH<sub>2</sub>, BrCH<sub>2</sub>CH(Br)COMe ile NaOH'lı ortamda reaksiyona girince benzoksazepin (70)'i sentezledigini bildirmislerdir. Ayrıca 1-salisiloil-2-aryl metilhidrazinin BrCH<sub>2</sub>CH(Br)CN ile NaOH'lı ortamdaki reaksiyonundan benzoksazepinon (71) olusugunu bildirmislerdir (1968).



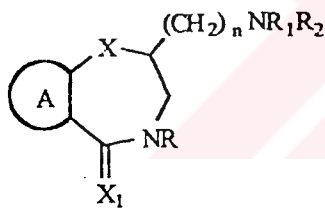
(70)



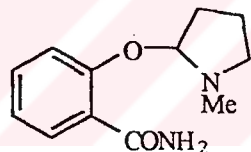
(71)

### 1.2.6. Asitklorürlerden Sentezi

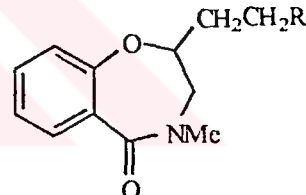
Cale, A. D. Jr. ve çalışma arkadaşları, (72)'yi [A=fused (un) sübstitüe benzen , naftalen, piridin; R-R<sub>2</sub>=H alkil, sikloalkil, (un)sübstitüe fenil alkil; R,R<sub>2</sub>N-heterosiklik; X, X<sub>1</sub> = O, S ; n = 1-3] sentezlemiş, böylece 1-metil-3-pirolidinol, 2-MeC<sub>6</sub>H<sub>4</sub>SO<sub>3</sub>H ile esterine, ester de 2-HO-C<sub>6</sub>H<sub>4</sub>CONH<sub>2</sub> ile (piridiniloksi)benzamite (73) dönüştüğünü; (73)'ün serbest benzoikasit asitklorürüne çevrildiğini ve CHCl<sub>3</sub> içinde Et<sub>3</sub>N ile refluks edilerek halkalaştırıldığını ve benzoksazepinonu (74, R = Cl ) verdiğini (74)'ün Me<sub>2</sub>NH ile (74, R = Me<sub>2</sub>N)' i verdiğini bildirmiştir (1984).



(72)



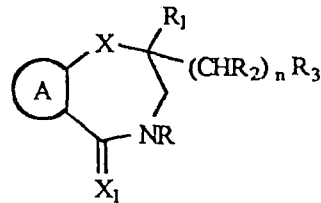
(73)



(74)

### 1.2.7. Asit Tuzundan Sentezi

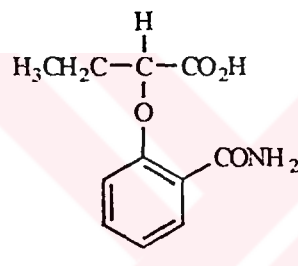
Cale, A. D. Jr. , benzoksazepin (75, R = H, alkil, sikloalkil, sübstitüe olmuş (olmamış) fenilalkil; R<sub>1</sub>, R<sub>2</sub> = H, alkil ; R<sub>3</sub> = amino, pirazol-1-il, imidazol-1-il,imidazol-2-il ; X, X<sub>1</sub> = O, S ; n = 1-3 ; A = sübstitüe olmuş (olmamış) aromatik halka C<sub>6</sub>H<sub>6</sub>, naftalen, kinolin veya piridin)'i sentezlediğini bildirmiştir (1982).



(75)

### 1.2.8. Asitlerden Sentezi

2-[(2-Karbamoil)-fenoksi]alkanoik asitlerin (76) asetik anhidrit ile siklodehidratasyonu sonucu 2-alkil-1,4-benzoksazepin-3,5-(2H,4H)dionlarının (77, R = H, R<sub>1</sub> = Et, Me, bütüllü) olduğu bildirilmiştir (Kwiecien, H. , 1996).



(76)

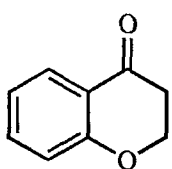


(77)

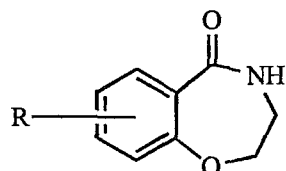
### 1.3. Kromanon ve Flavanonlardan Sentezi

#### 1.3.1. Kromanonlardan Sentez

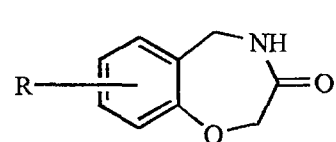
Kromanona (78) hidrazoik asidin etkisiyle 2,3-Dihidro-1,4-benzoksazepin-5(4H)-on (79, R = R<sub>1</sub> = H)'un olduğu bildirilmiştir (Huckel, D., Lockart, I. M. ve Wright, M. , 1965).



(78)

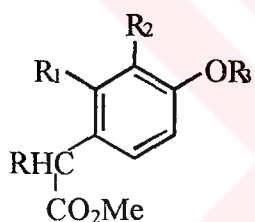


(79)

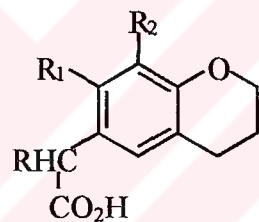


(80)

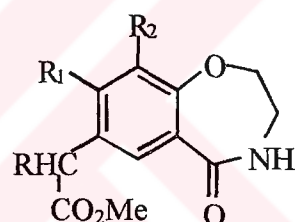
Bhalerao, U. T. ve Thyagarajan, G. , kromanonlara hidrazoik asit etkisiyle oluşan (79) ve (80)'in oluşum mekanizmasını incelemişlerdir. Kromanona hidrazoik asidin etkisiyle benzoksazepinonların Schmidt çevrilmesiyle olduğunu bildirmiştirlerdir. Sübstiyent 6, 7 veya 8 konumunda ise elektronik etkilerin (81)'in oluşumunu engellediğini bildirmiştirlerdir. Kromanonun 5. konumda bulunması durumunda sterik etkilerin önemi rol oynadığını da belirtmişlerdir. Bu sonuçlar birden fazla benzoksazepin oluşumunu destekleyecek mekanizmanın varlığını desteklemiştir (1968).



(81)



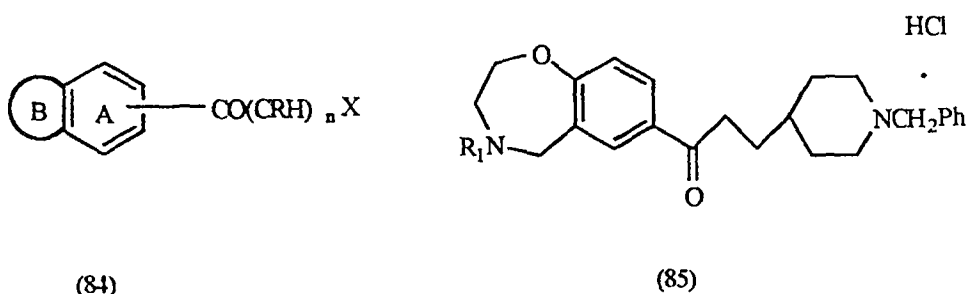
(82)



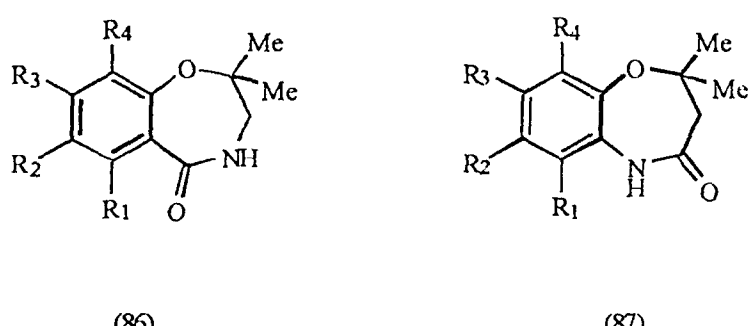
(83)

Shridhar, D. R. ve çalışma arkadaşları , para-hidroksifenil asetatlarının (81; R=H,Me,Et, R1=H,Cl; R2=H,Cl,MeO; R3=H), CH<sub>2</sub>=CHCN ile reaksiyonunun ester (81, R<sub>3</sub> = CH<sub>2</sub>CH<sub>2</sub>CN)'i verdieneni ve bu esterin asit hidrolizinin diasitleri (81, R<sub>3</sub> = CH<sub>2</sub>CH<sub>2</sub>CO<sub>2</sub>H) oluşturduğunu ve diasidin H<sub>2</sub>SO<sub>4</sub> veya polifosforikasit ile %15- 63 verimle kromanonasetikasidi (82) verdieneni bildirmiştir. Kromanonasetikasidin metil esterlerinin (82) Schmidt reaksiyonu ile %15-57 verimle benzoksazepinonu (83) verdieneni bildirmiştir(1980).

Goto, G. , Miyamoto, M. , Ishihara, Y. , (84) bileşliğini (halka A = sübstitüe olmuş (olmamış) nonaromatik, heterosiklik halka (heteroatom sayısı  $\geq 2$ ) ; R = H, Y = sübstitüe olmuş (olmamış) NH<sub>2</sub>, sübstitüe olmuş (olmamış) azot içeren doymuş heterosiklik grup (n = 1-10)) sentezlemiş ve bu bileşikten oluşan 3-[1-(fenilmetil)piperidin-4-il]- 1-(2,3,4,5-tetrahidro-1,4- benzoksazepin-7-il)-1-propanon (85, R<sub>1</sub> = Ac) elde etmişlerdir (1993).

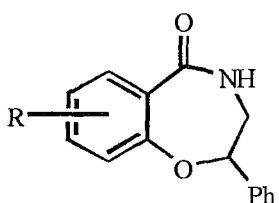


Levai, A. ve çalışma arkadaşları , 2,2-dimetil-4-kromanonoksimlerin Beckmann çevrilmesiyle 2,3-dihidro-2,2-dimetil-1,4-benzoksazepin-5(4H)-on'ları (86),( R<sub>1</sub> = H, R<sub>2</sub> = H, MeO, R<sub>3</sub> = MeO, EtO, PrO, BuO, R<sub>4</sub> = H, Me ) ve 2,3-dihidro-2,2,6-trimetil-1,5-benzoksazepin-4(5H)-on'ları (87, R<sub>1</sub> = Me, R<sub>2</sub> = R<sub>4</sub> = H, R<sub>3</sub> = MeO, EtO) sentezlediğini bildirmiştir (1992).

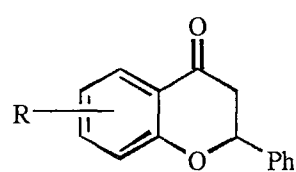


### 1.3.2. Flavanonlardan Sentezi

Misiti, J. D. ve çalışma arkadaşları , benzoksazepinonların (88, R = 7-metil, 7-NO<sub>2</sub>, 9-NO<sub>2</sub>) , flavanonların (89, R = 6-Metil, 6- NO<sub>2</sub> , 8-NO<sub>2</sub> ) Schmidt reaksiyonlarının esas ürünü olduklarını , yan ürün olarak benzoksazol oluşturduklarını, sübstituentlerin yönlenmeye etki etmediklerini, elektron çekici sübstituentlerin hızı yavaşlattıklarını bildirmiştir (1973).

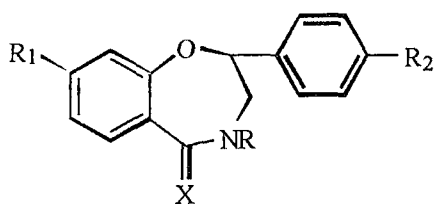


(88)

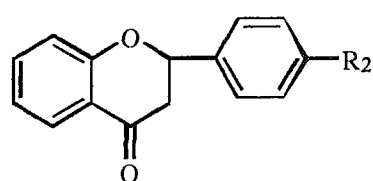


(89)

Levai, A. ve Bognar, R. , benzoksazepinonların (90, R = R<sub>2</sub> = H, R<sub>1</sub> = H, MeO ; R = H, R<sub>1</sub> = MeO, R<sub>2</sub> = Cl, X = O) flavanonların (91) Schmidt reaksiyonundan elde edildiğini bildirmiştir. (92)'nin etilesteri P<sub>2</sub>S<sub>5</sub> ile ısıtılp hidroliz edilince (90, R = -CH<sub>2</sub>CO<sub>2</sub>H, R<sub>1</sub> = R<sub>2</sub> = H, X = S) oluştuğunu, β-propiyolaktondan (90, R = -CH<sub>2</sub>CH<sub>2</sub>CO<sub>2</sub>H , R<sub>1</sub> = R<sub>2</sub> = H, X = O) elde edildiğini bildirmiştir (1973).



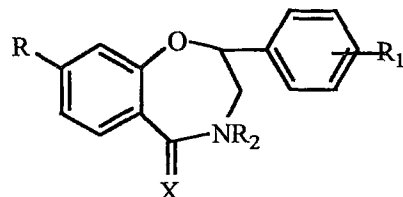
(90)



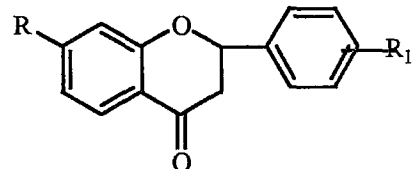
(91)

Levai, A. ve Bognar, R. , flavanonların (93) NaN<sub>3</sub> ile reaksiyonundan benzoksazepinonların (92, X = O, R = H, R<sub>1</sub> = H, OMe ; R = OMe, R<sub>1</sub> = H, Cl; R<sub>2</sub> = H elde edildiğini bildirmiştir. Flavanonların (93) P<sub>2</sub>S<sub>5</sub> ile (X = S) olmuş (92),( X = O,

$R = R_1 = R_2 = H$ ) ( $R = R_1 = H$ ,  $R_2 = CO_2Me$ ,  $CO_2Et$ ,  $COCH_2Cl$ ,  $BzCH_2COOH$ ,  $CH_2CH_2CO_2H$ ,  $CH_2CO_2Et$ )'e dönüştürüldüğünü bildirmiştirlerdir (1978).

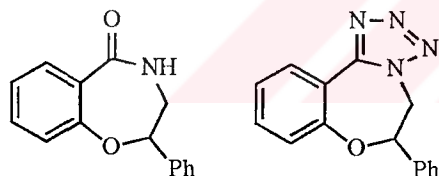


(92)



(93)

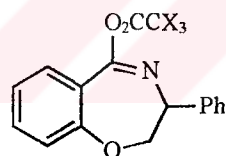
Flavanonun (93)  $Me_3SiN_3-CF_3CO_2H$  ile reaksiyonu %60 verimle (52)'yi, %20 verimle (94)'ü verdiği bildirilmiştir.  $CH_2Cl_2$  içinde kalay tetraklorürlü ortamda sadece (94) oluşmuştur. Flavanon (93) ve  $CX_3CO_2H$  ( $X = F, Cl$ ) içinde  $NaN_3$  ile reaksiyonu (95)'i Schmidt reaksiyonuyla verdiği rapor edilmiştir. (Litkei, G. ve Patoray, T., 1981).



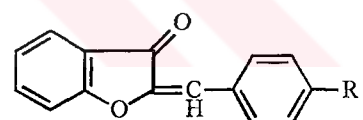
(52)



(94)

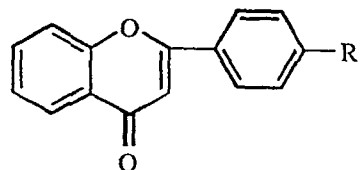


(95)



(96)

Litkei, G. ve Patoray, T., 2-HO-C<sub>6</sub>H<sub>4</sub>COCH=CHPh'in  $Me_3SiN_3$  ve DMF ile 24 saat ısıtılmasıyla (150-160 °C)'de (96) ve (97)'yi verdigini, flavanonların  $CF_3CO_2H$  içindeki  $Me_3SiN_3$  ile azot atmosferinde 3 gün karıştırılarak (52) ve (94)'ü sentezlediklerini bildirmiştir (1983).



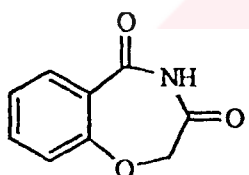
(97)

Kaye, P. T. ve çalışma arkadaşları, 1,4-benzoksazepinonların ve bunların [1,5-d]-tetrazolo anologlarının, flavanon azidotrimetilsilan ortamında Schmidt çevrilmesi üzerinden oluştuklarını bildirmiştir (1995).

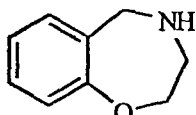
Majo, V. J. ve arkadaşları, flavanon oksimlerden ve karşılık gelen tetralonlardan Vilsmeier reaktifi ile N-formil laktamların sentezini rapor ettiklerini bildirmiştir (1995).

#### 1.4. Benzoksazepinonların İndirgenmesinden Sentezi

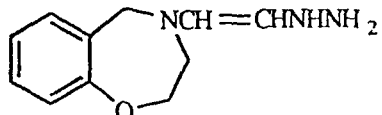
3,5-Diokso-2,3,4,5-tetrahidro-1,4-benzoksazepinler (9) LiAlH<sub>4</sub> ile indirgenmesi sonunda 2,3,4,5-tetrahidro-1,4-benzoksazepin (69) elde edilmiş ve bu bileşigin CH<sub>2</sub>=CHNHNH<sub>2</sub> ile reaksiyonu 4-amitino-2,3,4,5-tetrahidro-benzoksazepini (98) verdiği bildirilmiştir (CIBA Ltd. 1966).



(9)



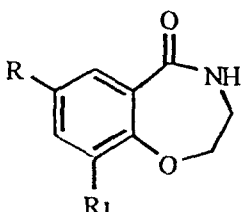
(69)



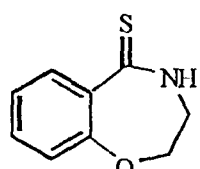
(98)

2,3-Dihidro-1,4-benzoksazepin (5H)-on (99, R = R<sub>1</sub> = H) bromlama, nitrolama ve P<sub>2</sub>S<sub>5</sub> ile ısıtmaya karşı davranışı incelenmiştir. Benzoksazepinin (99, R = R<sub>1</sub> = H) 1 mol brom ile reaksiyonu 7-bromo türevini (99, R = Br, R<sub>1</sub> = H) vermiştir. 7- bromo türevinin (99, R = Br, R<sub>1</sub> = H) bromla bromlanması sonucunda 7,9-dibromo-2,3-dihidro-1,4-benzoksazepin-(5H)-on (99, R = R<sub>1</sub> = Br) olduğunu bildirmiştir. Benzoksazepin (99)'nın 0°C'deki reaksiyonu sonunda 7-nitro-2,3-dihidro-1,4-benzoksazepin-5(4H)-on

(99, R = NO<sub>2</sub>, R<sub>1</sub> = H) ve 7,9-dinitro-2,3-dihidro-1,4-benzoksazepin-(4H)-on ( R = R<sub>1</sub> = NO<sub>2</sub>) 2,3-dihidro-1,4-benzoksazepin-(5H)-on'un P<sub>2</sub>S<sub>5</sub> ile 2,3-dihidro-1,4-benzoksazepin-5(4H)-tiyon (100)'ü verdiğini bildirmiştir (Thyagarajan, G. ve arkadaşları, 1968).

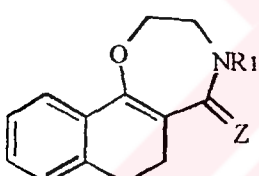


(99)

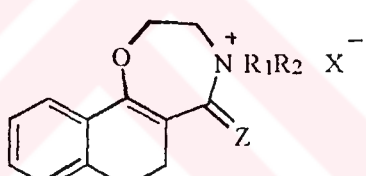
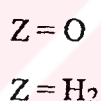


(100)

Nichimizu, J. ve çalışma arkadaşları , 1,4-benzoksazepin-5-on'lar (99, R = H , R<sub>1</sub> = alkil indirgenerek 1,4-oksazepinlere (101, R<sub>1</sub> = alkil, Z = H<sub>2</sub>) dönüştürülmüştür. Oksazepinlerin (101, R<sub>1</sub> = alkil, Z = H<sub>2</sub>) R<sub>2</sub>X ile (R<sub>2</sub> = alkil, alkenil, sübstidue alkil ; X = asit grubu ) reaksiyonu sonunda 1,4-benzoksazepinlerin (102) kuaterner amonyum tuzları elde edilmişdir (1975).



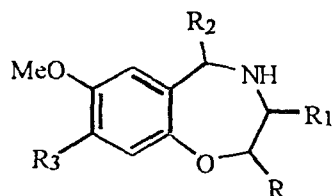
(101)



(102)

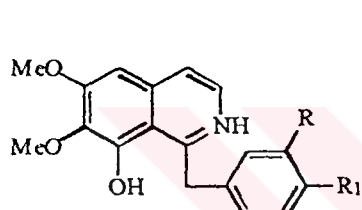
### 1.5. Çift Bağ İndirgenmesinden Sentezi

Waefelaer, A. ve çalışma arkadaşları , 2,3-dihidro anologlarının Adams katalizörüyle Ra-Ni, Pd-C veya NaBH<sub>4</sub> ile indirgenmesiyle benzoksazepinleri (103, R = H, Et ; R<sub>1</sub> = Me, H ; R<sub>2</sub>Ph, 4-HOC<sub>6</sub>H<sub>4</sub>, 4-ClC<sub>6</sub>H<sub>4</sub>, 3-FC<sub>6</sub>H<sub>4</sub>, 3-F<sub>3</sub>C<sub>6</sub>H<sub>4</sub>, 4-MeOC<sub>6</sub>H<sub>4</sub>, 3,4-Cl<sub>2</sub>C<sub>6</sub>H<sub>3</sub>, 3,4-(MeD)<sub>2</sub>C<sub>6</sub>H<sub>3</sub>, 3,4,5-(MeO)<sub>3</sub>C<sub>6</sub>H<sub>2</sub>, 4-NH<sub>2</sub>-C<sub>6</sub>H<sub>4</sub>; R<sub>3</sub> = OH, Cl, OMe, OCH<sub>2</sub>Ph, H) sentezlediklerini bildirmiştir (1976).

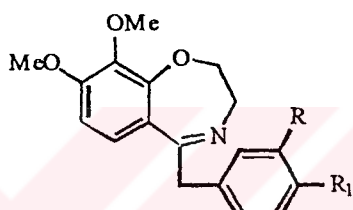


(103)

Kametani, T. ve çalışma arkadaşları, benz[e][1,4]-benzokszazepin türevleri (105, a, b, c, d) kinolinler (104, a, b, c, d) ve benz[e][1,4]-benzokszazepin türevleri (105, a, b, c, d) polifosforik asit ve Pomeranz-Fritsch reaksiyonu ile elde etmişlerdir. Aynı çalışma grubu bromobenzokszazepin türevlerini (106) de aynı yöntemle elde etmişlerdir (1969).



(104)



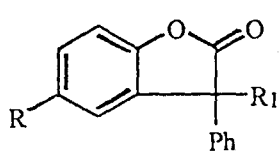
(105)



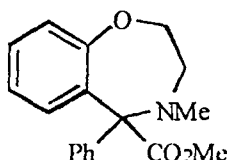
(106)

- a.  $R = R_1 = H$
- b.  $R = Cl, R_1 = H$
- c.  $R = H, R_1 = Cl$
- d.  $R = H, R_1 = Br$

Zaugg, H. E. ve çalışma arkadaşları, 2-benzofuranon (107,  $R_1 = NMeCH_2CH_2O$ ) ve  $MeNHCH_2CH_2OH$ 'ı THF içinde reaksiyona girdirerek benzokszazepini (108,  $R = H, Cl$ ) elde ettiklerini rapor etmişlerdir (1974).

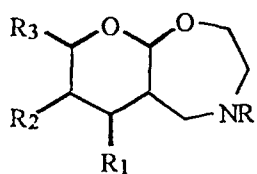


(107)



(108)

Griengl, H. ve Bleikolm, A. , 1,3-oksazolidinleri Lewis asitli ortamda DMSO ile reaksiyona girdirerek 1,8 dipolar enol eteriyle siklo katılması reaksiyonu sonunda perhidro-1,4-oksazepinleri (109, R = CH<sub>2</sub>Ph) elde ettiklerini bildirmiştir. Örneğin 3-benzil-1,3-oksazolidin (110, R = benzil ; R<sub>1</sub> = H) 3,4-dihidropiran ve trans (109)'u elde ettiklerini bildirmiştir (1975)

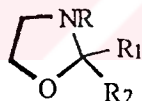


(109)



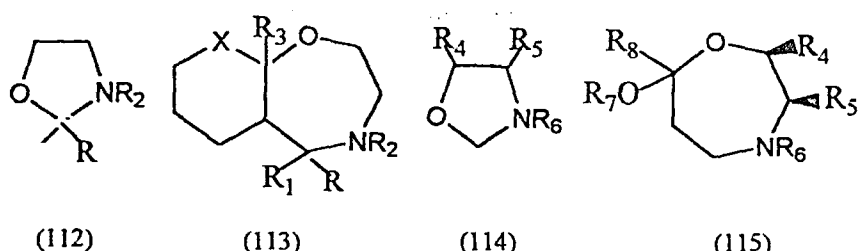
(110)

Aynı çalışma grubu oksazolidinleri (111) R<sub>2</sub>CH=CHR<sub>3</sub> ile ZnCl<sub>2</sub>, SnCl<sub>4</sub> veya BF<sub>3</sub>Et<sub>2</sub>O ile reaksiyona girdirerek oksazepin (109, R = Me, Ph, CH<sub>2</sub>Ph ; R<sub>1</sub> = H, Ph, CHMe<sub>2</sub>, C<sub>6</sub>H<sub>4</sub>Cl-3 ; R<sub>2</sub>R<sub>3</sub> = (CH<sub>2</sub>)<sub>3</sub>O, CH<sub>2</sub>CH<sub>2</sub>O ; R<sub>2</sub> = H, R<sub>3</sub> = OEt, OBu, CH<sub>2</sub>CH<sub>2</sub>Cl ; R<sub>2</sub> = Me, Ph, ; R<sub>3</sub> = OMe ) sentezlendiğini bildirmiştir (1977).

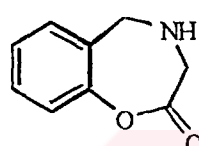


(111)

Griengl, H. ve çalışma arkadaşları , oksazolidin (112)'lerin 3,4-dihidro-(2H)-piran veya 1-metoksi siklohekzen ile katılma reaksiyonundan kondense oksazepin (113, R = H, Ph, Me, CH(Me)<sub>2</sub> ; R<sub>1</sub> = H, Me ; R<sub>2</sub> = Me, Et, CH<sub>2</sub>Ph ; R<sub>3</sub> = H, OMe) sentezlediklerini bildirmiştir. Oksazolidin (114) ve CH<sub>2</sub>=CR<sub>8</sub>OR<sub>7</sub>'den oksazepin (115, R<sub>4</sub>,R<sub>8</sub> = H, Ph ; R<sub>5</sub> = H, Me ; R<sub>6</sub> = Me, Et, CH<sub>2</sub>Ph ; R<sub>7</sub> = Me, Et)'ün oluştuğunu bildirmiştir (1979).

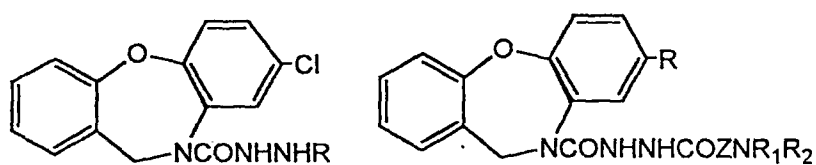


Short, J. H. ve Ours, C. W., aminoasitlerin fenolik Mannich bazlarının tiyoniklorürlü ortamda benz[f]-1,4-oksazepin-4(3H)-on'ları (116) verdigini bildirmiştir (1975).



(116)

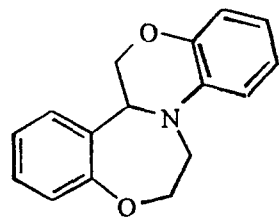
Mueller, R. A. , (117, R = H)'in MeCN ve Na<sub>2</sub>CO<sub>3</sub> içindeki Cl(CH<sub>2</sub>)<sub>4</sub>CDCl ile reaksiyonundan (117, R = Cl(CH<sub>2</sub>)<sub>4</sub>CO)'yu elde etmiştir. (117, R = Cl(CH<sub>2</sub>)<sub>4</sub>CO)'nun aseton içinde NaI ve Na<sub>2</sub>S<sub>2</sub>O<sub>3</sub> ile reaksiyonundan dibenzoksazepin türevlerini (118, R = H, Cl, CF<sub>3</sub>; R<sub>1</sub> = R<sub>2</sub> = Me, Ph, Pr; NR<sub>1</sub>R<sub>2</sub> = morfolino, piperidino; Z = -CH<sub>2</sub>-, -(CH<sub>2</sub>)<sub>4</sub>-, CH<sub>2</sub>C(Me)<sub>2</sub>CH<sub>2</sub>CH<sub>2</sub>)'yi sentezledigini bildirmiştir (1977).



(117)

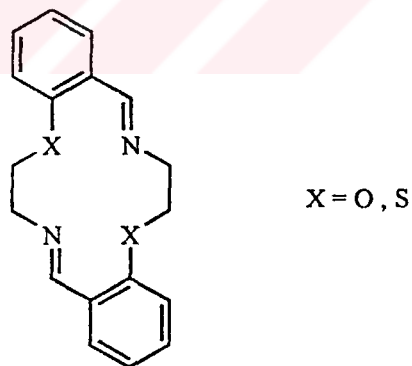
(118)

Effland, R. C. ve arkadaşları , 1,4-benzodiazepino[4,5-d][1,4]-benzoksazepin (119) halkasının benzoksazepin ara ürünü üzerinden oluştugunu bildirmiştir (1982).



(119)

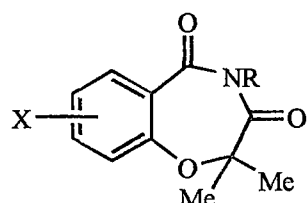
Martin, J. W. L. ve arkadaşları , 2,3-dihidro- ve 2,3,4,5-tetrahidro-1,4-benzoksazepinleri ve bunların 14 üyesi makrosiklik dimerlerini (120) kelatlaştırıcı trans  $N_2S_2$  ve  $N_2O_2$  donör atom düzenlemesiyle elde ettiklerini bildirmiştir (1985).



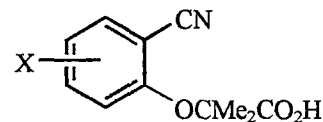
(120)

## 2. BENZOKSAZEPİNLERİN REAKSİYONLARI

Benzoksazepin-3,5-dion'un (12, X = 5-Cl, R = H) % 10' luk NaOH ile  $\alpha$ -(4-kloro-2-karboksifenoksi)-izobütirikasidi (121) verdiği bildirilmiştir (Carminati, G. M., Galimbatı, P. ve Melandri, M. ,1963).

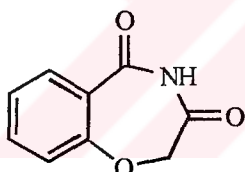


(12)

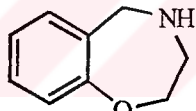


(121)

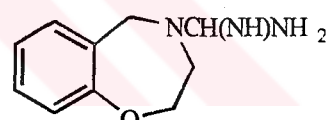
1,4-Benzoksazepinonlarının (9) LiAlH<sub>4</sub> ile indirgenmesinden 1,4-benzoksazepin (69) oluşmuştur. Benzoksazepinin (69) KNCH(NH)NH<sub>2</sub> ile reaksiyonundan 4-amidino-2,3,4,5-tetrahidro-1,4-benzoksazepin (122) oluşmuştur (CIBA Ltd. , 1966).



(9)

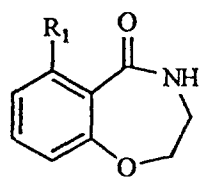


(69)

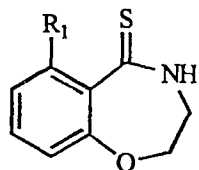


(122)

Bhalerao, V. T. ve Thya Gonayan, G. 2,3-dihidro-1,4-benzoksazepin-5(4H)-on'a (123, R = H) Vilsmeier reaktifi eklerek N-formil laktam (123, R = CHO)'i verdiği bildirmiştirlerdir. Ayrıca 9-kloro (veya bromo)-2,3-dihidro-1,4-benzoksazepin-5(4H)-on (123, R<sub>1</sub> = Cl veya Br) P<sub>2</sub>S<sub>5</sub> ile reaksiyona girerek benzoksazepin-5(4H)-tiyon (124)'ü verdiği rapor etmişlerdir (1968).

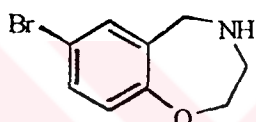


(123)

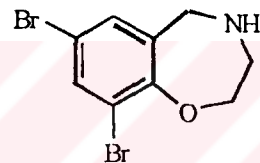


(124)

Bhalerao, U. T. ve çalışma arkadaşları, 1,4-benzoksazepinonların (125) 1 mol Br<sub>2</sub> ile reaksiyonu sonunda 7-bromo-1,4-benzoksazepinon (126)'nın olduğunu (126)'nın 1 mol Br<sub>2</sub> ile reaksiyonundan 7,9-dibromo-1,4-benzoksazepinon olduğunu bildirmiştirlerdir (1968).

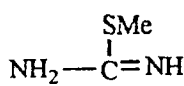


(125)

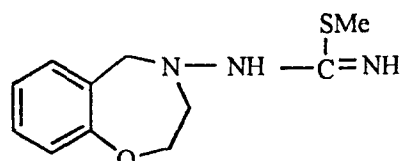


(126)

Kost., A. N. ve çalışma grubu, 2,3,4,5-tetrahidro-1,4-benzoksazepin (69)'un 5-metilizotyo üre veya tuzu (125) ile reaksiyonundan 2,3,4,5-tetrahidro-1,4-benzoksazepino-4-karboksamit (128)'i elde ettiklerini bildirmiştir (1971).

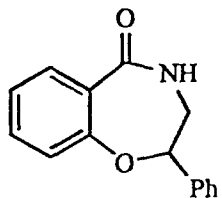


(127)

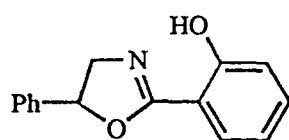


(128)

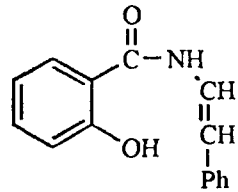
Misiti, D. ve Rimotori, V. J. , 2-fenil-2,3-dihidro-1,4-benzoksazepin-5(4H)-on'ların (129)  $H_2SO_4$  ile 2-(o-hidroksi)-5-fenil-2-oksazolin (130) ve 3,4-dihidro-4-fenil-8-hidroksiiizokarbositirils (131) verdiğini bildirmiştirlerdir (1972).



(129)

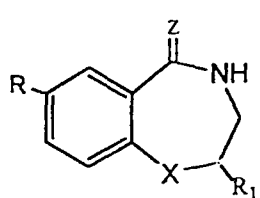


(130)

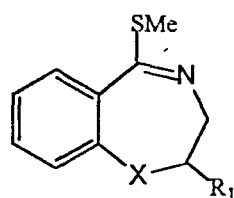


(131)

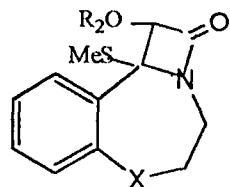
Bose, A. K. ve çalışma arkadaşları , benzoksazepinonlarının (132, Z = X = O ; R = H, Cl ; R<sub>1</sub> = H)  $P_2S_5$  ile tiyoamitleri (132, Z = S) verdiğini bildirmiştirlerdir. Bu da  $MeOCH_2COCl$  veya  $N_3CH_2COCl$  ile siklo katılmasına uğrayarak karşılık geldiği  $\beta$ -laktamları verdiğini, bu sem ve penem homologları  $IO_4^-$  ile çevrilmeye uğrar ve 1,4-tiyozonin ve 1,4-oksazonin türevlerini oluşturduğunu bildirmiştirlerdir. Böylece (132, Z = S ; R = R<sub>1</sub> = H ; X = O, S) ve (132, Z = X = S ; R = H ; R<sub>1</sub> = OMe)'in  $MeONaMe_2CHOH$  içindeki MeI ile reaksiyona girerek % 71-5 verimle halkalı tiyoimidod (133)'ü verdiğini bildirmiştirlerdir. (133)'ün  $R_2OCH_2COCl$  (R = Me, fenil ) %53-6 verimle  $\beta$ -laktamları (134, X = O, S ; R<sub>2</sub> = Me) 134'ün  $IO_4^-$  ile reaksiyonu sonucunda benzoksazonindion ve benzotiyazonindionları verdiğini rapor etmişlerdir (1976).



(132)

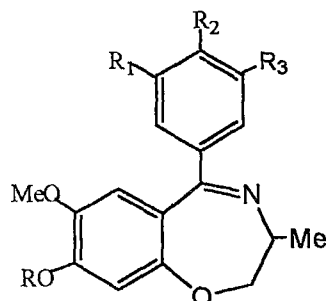


(133)



(134)

Waefelar, A. ve çalışma grubu , benzoksazepinler (135, R = CH<sub>2</sub>Ph ; R<sub>1</sub>=R<sub>3</sub>= H ; R<sub>2</sub>= H, NO<sub>2</sub> ; R = CH<sub>2</sub>Ph ; R<sub>1</sub>= OMe, OCH<sub>2</sub>Ph ; R<sub>2</sub>= OMe ; R<sub>3</sub>= H ; R = Me ; R<sub>1</sub> = R<sub>3</sub> = H, OMe ; R<sub>2</sub> = OCH<sub>2</sub>Ph) oksazepin halkası kırılmadan 5,5-NHCl (sulu EtOH içinde ) ile hidrolize uğrayıp hidroksi bileşiklerine çevirdiğini bildirmiştir (1979).

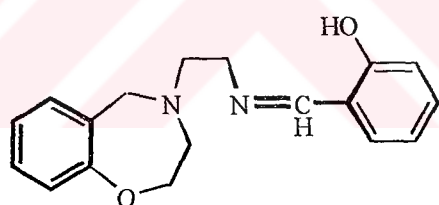


(135)

Levan, K. R. ve Root, C. A. , imidazobenzoksazepin (57)'nin KCN ile demetalasyonun salisilaldehitten oluşan (58)'i verdiğini rapor etmişlerdir (1981).

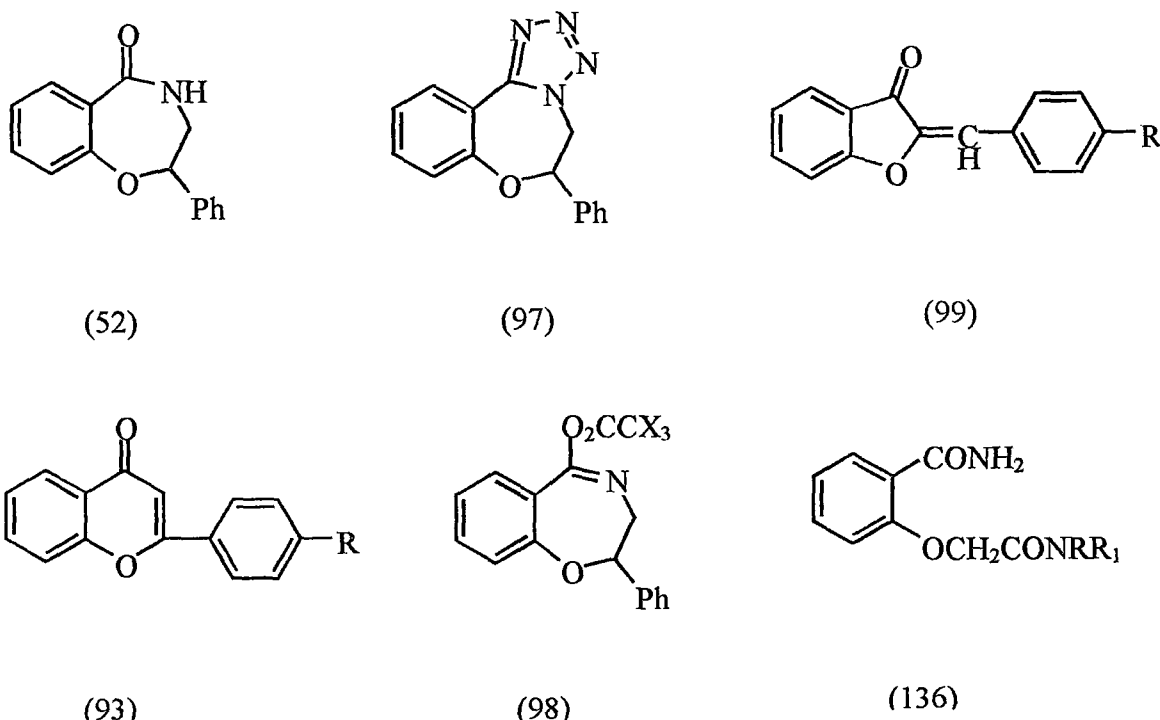


(57)

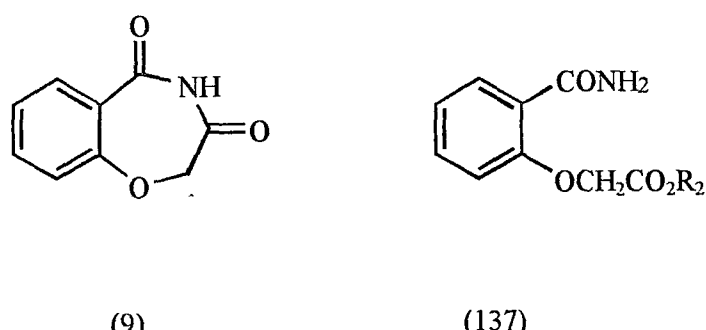


(58)

Litkei, G. ve Patonay, T. , flavanonun Me<sub>3</sub>SiN<sub>3</sub>-CF<sub>3</sub>CO<sub>2</sub>H ile reaksiyonu %60 verimle benzoksazepin (52) ve %20 verimle benzoksazepin (97)'yi vermiştir. Diklorometanda kalaytetraeklorürlü ortamda ürün sadece (97)'dir. Flavanon ve CX<sub>3</sub>CO<sub>2</sub>H (X = F,Cl) içindeki sodyumazedin ile reaksiyonu sonunda Schmidt reaksiyonu üzerinden (98) elde edilmiştir. 2'-hidroksi-4-sübstitüe kalkonlar (98) DMF içindeki Me<sub>3</sub>SiN<sub>3</sub> ile esas ürün olarak auroonları (99, R = H,Br, Me, MeO, Me<sub>2</sub>N, NO<sub>2</sub>) ve flavon (93)'ü verdiğini bildirmiştir (1981-1983).



Osman, A. N. ve çalışma arkadaşları , (9)'un aminlerle ve  $N_2H_4$  ile reaksiyonu sonucunda O-(karbamoylmetil) salisilamit vermiştir.(136, R = H,  $R_1$  = H, alkil,  $CH_2CH_2OH$ , siklohekzil,  $NH_2$  ;  $NRR_1$  = morfolino, piperidino, pirolidino). Böylece (136)'nin  $EtNH_2$  ve suyla oda sıcaklığında karıştırılması sonucu (136, R = H,  $R_1$  = Et) elde ettiklerini , 2-H<sub>2</sub>NCOC<sub>6</sub>H<sub>4</sub>OCH<sub>2</sub>CO<sub>2</sub>K tuzu esterine dönüştürüldüğünü (137, $R_2$  = alkil, allil, Ph-CH<sub>2</sub>) rapor etmişlerdir (1981).

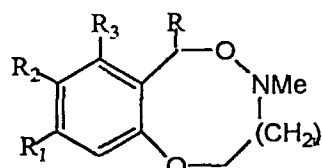


Bremner, J. B. ve çalışma arkadaşları , 5-aryl-4-metil-2,3,4,5-tetrahidro-1,4-benzoksazepin (138, n = 1, R = Ph, 3-Cl, C<sub>6</sub>H<sub>4</sub>;  $R_1$  = H, MeO ;  $R_2$  = H, Cl ;  $R_3$  = H, MeO;

$R_1R_2 = OCH_2O$ )'den türeyen N-oksitlerin Meisen-Heimer çevrilmesi ( $2H, 6H$ )-1,5,4-benzodioksazosine halka sistemi (139,  $n = 1-3$ ;  $R = R_3 = \text{ayni}$ ) türevini verdiği rapor etmişlerdir (1988).

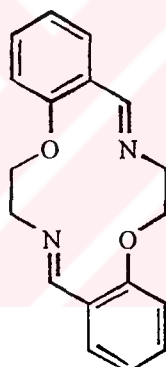


(138)



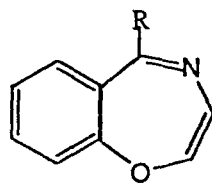
(139)

Duckwarth, P. A. ve çalışma arkadaşları, Ph<sub>3</sub>-P, 2-(2-azidoetoksi)-benzaldehit Aza-Wittig reaksiyonu ile %98 verimle (140)'ı verdikini, ara ürün olarak da 2,3-dihidro-1,4-benzoksazepinin olduğunu bildirmiştir (1989).

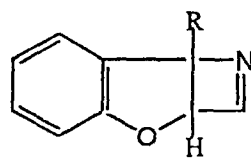


(140)

Hoffman, H. ve Fischer, H. , 1,4-benzoksazepinlerin (141) fotoizomerleşmeye uğradığını ve ısisal olarak kararsız dihidrobenzofroazetleri (142) verdiğini bildirmiştir (1990).

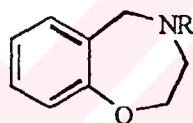


(141)



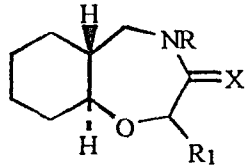
(142)

Ishihara, Y. ve çalışma arkadaşları , NH-korunmuş 2,3,4,5-tetrahidro-(1H)-2-benzoksazepinin (143, R = -COCH<sub>3</sub>) C-8'den %95'den fazla bir verimle açillendiğini bildirmiştir. 4-formil-2,3,4,5-tetrahidro-1,4-benzoksazepinin (143, R =-CHO) açılme regioselectivitesini de incelediklerini bildirmiştir (1994).

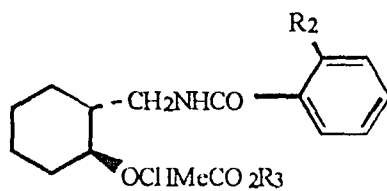


(143)

Simon, L. ve çalışma arkadaşları , trans-perhidro-1,4-benzoksazepin-3-on'lar (144, X = O ; R = H, Me, PhOCH<sub>2</sub>CH<sub>2</sub>; R<sub>1</sub> = H, Me) perhidro-trans-benzoksazepinlere dönüştürmüştür. Açılenmiş türevler HCl ile halka açılmasına uğradığını ve trans-2-(1-kabetoksi-etoksi)-1-[ (açılı amino)metil] siklohekzan (145, R<sub>2</sub> = H, Cl, R<sub>3</sub> = Me) türevini verdiğini rapor etmişlerdir (1995).



(144)

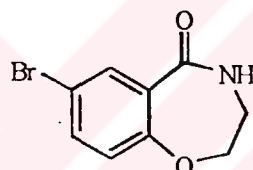


(145)

Aynı çalışma grubu trans-perhidro-1,4-benzoksazepin-3-on'lar (144, X = O ; R = H, Me PhOCH<sub>2</sub>CH<sub>2</sub> ; R<sub>1</sub> = H, Me) sentezlenmiş ve perhidro-trans-benzoksazepinlere (144, X = S ; R = H ; R<sub>1</sub> = H, Me), tiyonlara (144, X = S ; R = H ; R<sub>1</sub> = H, Me), ürelere (144, X = O ; R = Ph, -NHCO ; R<sub>1</sub> = H, Me) ve N-açillenmiş bileşiklere (144, X = O ; R = Bz, 2-ClC<sub>6</sub>H<sub>3</sub>CO ; R<sub>1</sub> = Me)'e dönüştürdüklerini ve HCl/EtOH ile halka açılmasına uğratıldığını bildirmişlerdir. Trans-(karbetoksi-etoksi)-(açılıaminoetil)siklohekzanlara (145, R<sub>2</sub> = H, Cl) dönüştürüldüğünü rapor etmişlerdir (1996).

### 3. BENZOKSAZEPİNOLARIN KRİSTAL YAPISI

7-Bromo-2,3-dihidro-1,4-benzoksazepin-5(4H)-onların (146) kristalleri açık sarı renkte ve elongne tabakalar halinde olduğu ( $a = 4,99$ ,  $b = 6,45$ ,  $c = 29,10 \text{ \AA}^0$ ,  $\beta = 94^0 18^l$ ) rapor edilmiştir (Khan, A. A. , 1968).



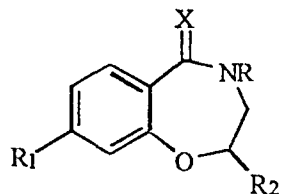
(146)

p-ROCH<sub>2</sub>CH(OH)CH<sub>2</sub>NHCHMe<sub>2</sub> (R = aril, hetaril)' de cardio selectivity ve moleküler yapı arasındaki ilişki açıklanmıştır. Cardio selectivite amino alkol tarafındaki zincire para konumundaki sübstiyonu minimum zincir uzunluğunun 5A<sup>0</sup> olmasını gerektirdiği ve para sübstiyenti aromatik halka ile aynı düzlemdede olduğu zaman en yüksek seçicilik elde edildiği rapor edilmiştir (Erez, M. ve çalışma arkadaşları, 1978).

### 4. BENZOKSAZEPİNLERİN SPEKTRUMLARI

Duddeck, H. ve Levai, A. , 11 tane (147, R = H, MeO ; R<sub>2</sub> = H, Ph, C<sub>6</sub>H<sub>4</sub>Cl-4 ; X = O, S)'nın CDCl<sub>3</sub> içindeki <sup>1</sup>H ve <sup>13</sup>C-NMR'ları ve lantanit indüklenmiş kaymalarını

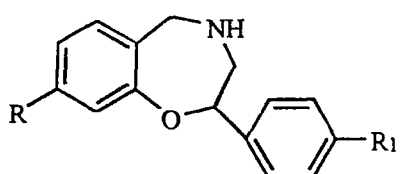
elde etmişlerdir, konformasyonlarını tartışmışlardır. (147, R = aril)'nın kuvazi-ekvatoral oryantasyonunun olduğunu rapor etmişlerdir (1983).



(147)

Kaye, P. T. ve çalışma arkadaşları , 1,4-benzoksazepinonların ve bunların [1,5-d]-tetrazolo analoglarının, flavon önimlerinin azidotrimetilsilan ortamlı Schmidt çevrilmesi üzerinden oluşumlarının  $^1\text{H-NMR}$  spektroskopisi ile incelemişlerdir. Kinetik verilerin analizi hız katsayılarının ve sübstiyent etkilerinin rasyonalizasyonuna izin verdiği bildirmiştir (1995).

Perry, T. ve Whittal, R. , 2,3-dihidro-2-fenil-1,4-benzoksazepin-5(4H)-on'ların (148, R = H, F, Cl, Br, R<sub>1</sub> = H ; R = H, R<sub>1</sub> = Br) kütle spekturmalarının bir veya iki aromatik halkanında parçalanmasını içeren pikler verdieneni rapor etmişlerdir (1991).

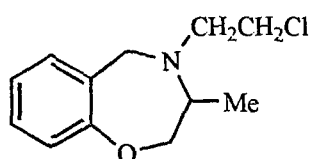


(148)

## 5. BENZOKSAZEPİNLERİN KULLANIM ALANLARI

### 5.1. Tıbbi Kullanımı

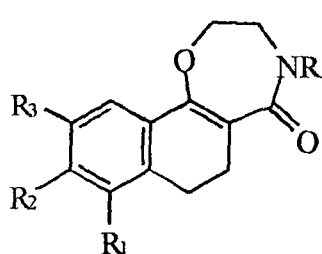
4-(2-Kloroetil)-3-metil-2,3,4,5-tetrahidro-1,4-benzoksazepinin (7) periferal vazodilatör olduğu ve adrenerjik bloke edici ajan olduğu bildirilmiştir (Bernard Belleau, 1957).



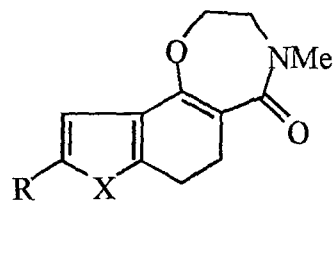
(7)

Kumetani, T. ve çalışma arkadaşları , (7)'nin periferal vazodilatör ajan olarak kullanıldığını bildirmiştirlerdir (1968).

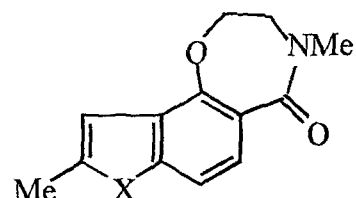
Himizu, J. ve çalışma grubu , (13), (14) ve (15)'i central deprasant olarak kullanıp sentezlemiştir (1970).



(13)



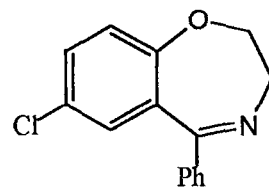
(14)



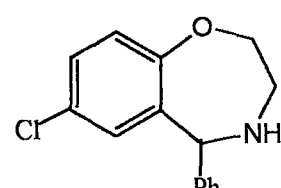
(15)

Hirohashi, T. ve arkadaşları , sentezlediklerini 7-kloro-5-fenil-2,3-dihidro-1,4-benzoksazepin ve 4,5-dihidro türevlerinin merkezi sinir sisteme etkilerini araştırmışlardır.

Oksazepin (47) ve (48)'in trankilize edici , hypnotik ve kas gevşetici olarak kullanıldığını belirtmişlerdir (1970)

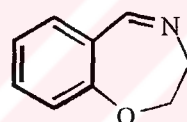


(47)



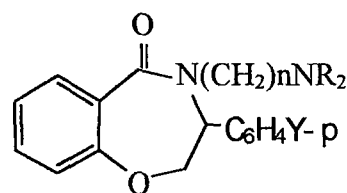
(48)

Waefeluer, A.'ya göre , 2,3-dihidro-1,4-benzoksazepin türevleri (149) ve bunların tuzları terapeutik olarak aktiftirler ve karşılık geldikleri amitlerin siklodehidratasyonu ürünleridir (1971).



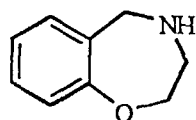
(149)

Schenker, K. , 3-aryl-1,4-benzoksazepin-5(4H)-on'ların  $R_2N(CH_2)_nClHO$ 'nun etkisi ile oluşan N-alkil-3-aryl-benzoksazepin-5-(4H)-on'ların (18) analjezik ve antifilogistik aktivitelerinin olduğunu rapor etmiştir (1971).



(18)

Shtacher, G. ve çalışma arkadaşları , miyokardial ( $\beta_1$ ) ve vasküler ( $\beta_2$ ) adrenerjik reseptörlerle (progtotol'un analogu) karşı bloke etme aktivitesini ve seçiciliği elektronik ve sterik faktörlere bağlı olduğunu bildirmiştir. (69)'un seçiciliğini miyokardiyollere çevirdiğini rapor etmişlerdir (1973).



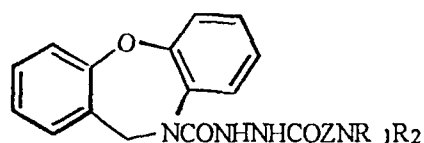
(69)

Nichimizu, J. ve çalışma arkadaşları , N-alkil-1,4-oksazepinlerin (102,  $R_1$  = alkil ;  $R_2$  = alkil, alkenil, sübstitüe alkil ; X = asit grubu) lokal anestetik olarak kullanıldığını bildirmiştir (1975).



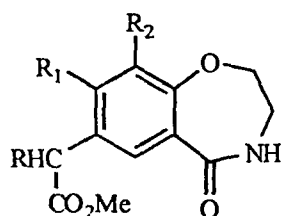
(102)

Mueller, R. A. , dibenzoksazepin türevi (118)'in ( $R = H-Cl, CF_3$  ;  $R_1 = R_2 = Me$ , Ph, Pr ;  $NR_1R_2$  = morfolin, piperidin ;  $Z = CH_2, (CH_2)_4, CH_2CMe_2CH_2CH_2$ ) hayvanlar üzerinde yapılan testleri ile ishal ve inflamasyona ve diareye karşı etkili olduğunu rapor etmiştir (1977).



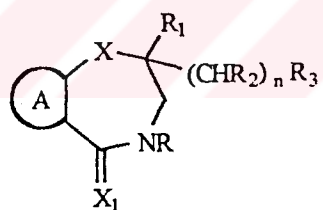
(118)

Schridhar, D. R. ; Sarma, C. R. ; Krrjhna, R. R. ; Sachdeva, Y. P. , 1,4-benzoksazepinon (83, R = H, Me, Et ; R<sub>1</sub> = H, Cl, MeO ; R<sub>2</sub> = H)'in farelere kortizonla karşılaştırılabilen antiünflamatory aktivitesinin olduğunu bildirmiştir (1979).



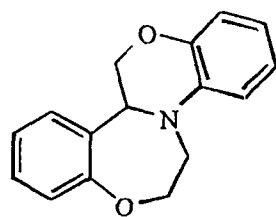
(83)

Cale, A. D. Jr. , (75) maddesinin (75, R = H, alkil, sikloalkil ; R<sub>3</sub> = amino, pirazo-1-il, imidazol-2-il ; imidazolin-2-il ; X,X<sub>1</sub> = O, S ; n = 1-3 ; A = sübstitüe olmuş (olmamış) aromatik halka, benzen, naftalen, kinolin, piridin) bir antihistaminik ajan olduğunu bildirmiştir (1982).



(75)

Effland, R. C. ve çalışma arkadaşları , 1,4-benzoksazepino[4,5-d][1,4]-benzoksazepin (119)'un ve türevlerinin potansiyel ankisiyolitik ajan olduğunu bildirmiştir (1982).



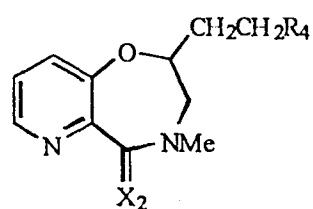
(119)

Bileşik (72)'nin ( $A =$  fused sübstitüe olmuş ve olmamış benzen, naftalen, piridin halkası ;  $R-R_2 = H$ , alkil, sikloalkil, sübstitüe olmuş (olmamış) fenil alkil ;  $R_1R_2N =$  heterosikliklilik ;  $X, X_1 = O, S$  ;  $n = 1-3$ ) antihistaminik ve antialerjik özellikleri olduğu rapor edilmiştir (Cale, A. D. ve çalışma arkadaşları, 1984).



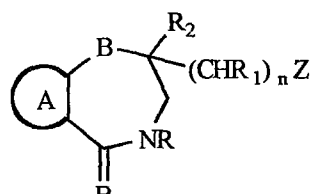
(72)

Pirido[3,2-f]-1,4-oksazepin-5(4H)-on'un (150,  $R_4 = Me_2N$  ;  $X_2 = S$ ) fumaratının kan basıncındaki histamin indüklenmiş azalmayı %50 inhibe ettiği ve  $\leq 20$  mg/kg dozlarda sedatif aktivitesinin olmadığı bildirilmiştir (Cale, A. D. Jr., 1986).

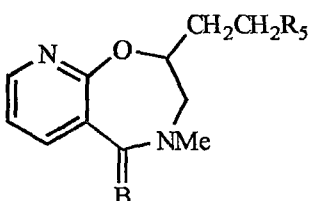


(150)

Cale, A. D., fused aromatik oksazepinon (32) ve tiyazepinonları (33) sentezlemiştir ve bu bileşiklerin antihistaminik etkilerini incelemiştir (1987).



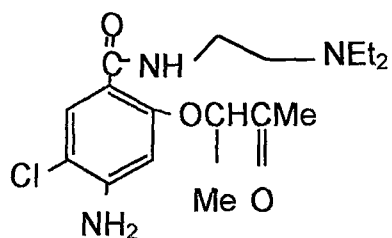
(32)



(33)

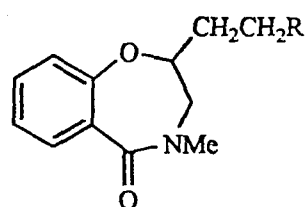
[A = sübstitüe olmuş ve olmamış fused benzen, naftalen, kinolin, pirimidin ; B = O, S ; R = H, alkil, C<sub>3-9</sub> sikloalkil, sübstitüe olmuş ve olmamış fenil alkil ; R<sub>1</sub> = R<sub>2</sub> = H, C<sub>1-5</sub> alkil ; Z = R<sub>3</sub>R<sub>4</sub>N, pirazol-1-il, 1-imidazolin-2-il ; R<sub>3</sub>, R<sub>4</sub> = R, Ph ; R<sub>3</sub>, R<sub>4</sub>N = azetidinomorfolino piral v.s. ; n = 1-3)]

Mankoviç, İ. ve çalışma arkadaşları, yeni sübstitüe benzamitleri (34) sentezlemiştir ve bu amitlerin dopemin antagonist aktivitesi için incelemiştir. Bu bileşiklerin piyasadaki antiemetik bileşiklerden potansiyel avantajı olduğunu tespit etmişlerdir. (34) bileşığının vücutta benzoksazepinlere dönüşerek aktivitesini güçlendirdiği tahmin edilmiştir (1988).



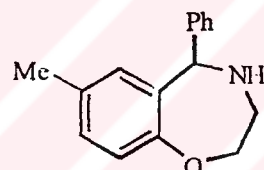
(34)

Cale, A. D. ve çalışma arkadaşları , benzopirido-1,4-oksazepinonlar ve thionlar (74, R = amino grupları )'ün antihistaminik aktivitesi olduğunu rapor etmişlerdir (1989).



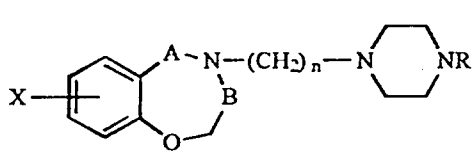
(74)

Shaima, İ. ve çalışma arkadaşları , 1,4-benzoksazepin (151)'in anfertility aktivitelerinin inaktif çıktığını rapor etmişlerdir (1989).

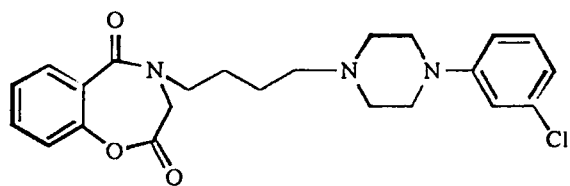


(151)

(152) bileşiği (A, B =C, O ; A, B = CH<sub>2</sub>, diğerleri = C, O ; R = sübstitüe olmuş (olmamış) heterosiklil ; X = H, halo, C<sub>1-5</sub> alkaksi, C<sub>1-5</sub> alkil, C<sub>7-11</sub> arilalkaksi, NO<sub>2</sub>, ester ; n = 2-10) veya bunların tuzları anksiyolitik aktiviteleri ve potansiyel 5HT<sub>1</sub>-A-reseptör afiniteleri içerdikleri ve ayrıca (153)'ün invitro olarak serotonin reseptör afinitesinin IC<sub>50</sub> 1,41 nM olduğu rapor edilmiştir (Tatsuoka, T. ; Nomura, K. ; Shibata, M. , 1990).

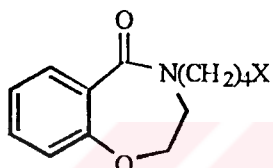


(152)



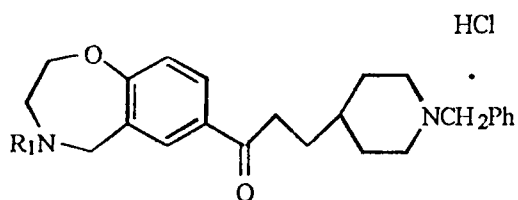
(153)

Tatsuoka, T. ve çalışma grubu , (154) bileşiginin ( $X = 4$ -fenilpiperidino) HCl tuzu  $\delta$ -reseptör bağlanması'na karşı  $IC_{50}$  of 14,2 nM aktivite göstermiştir. Lokomotor hiperaktivite inhibitörleri ve katalepsi antagonistleri olarak test edilmişlerdir (1992).



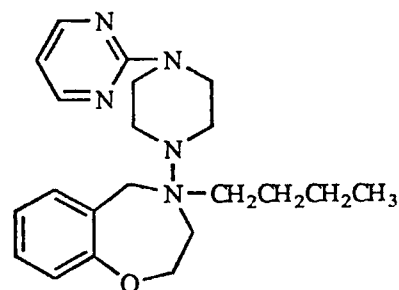
(154)

Goto, G. ve çalışma arkadaşları , N-açil-3-(1-(fenilmetyl)piperidin-4-il)-1-(2,3,4,5-tetrahidro-1,4-benzoksazepin-7-il)-1-propanon (85) asetilkolinesterase aktivitesini %20 inhibe ettiğini bildirmişlerdir (0,0545  $\mu$ M v.s. 0,220  $\mu$ M physostigmine) (1993).



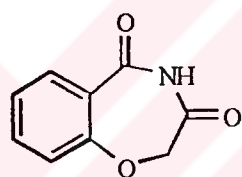
(85)

Okada, F. ve çalışma arkadaşları , 4-{4-[4-( 2-pirimidinil) piperazin-1-il] bütül}-2,3,4,5-tetrahidro-1,4-benzoksazepin-3,5-dion (155) (SUN 8399)'un hareket hastalığını incelemiştir. SUN 8399'un doza bağlı olarak emesisi inhibe ettiğini tespit etmişlerdir (1994).



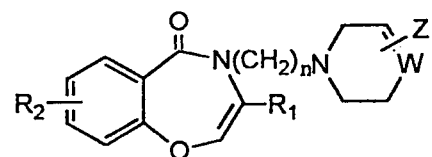
(155)

Okada, F. ve çalışma arkadaşları , 2,3,4,5-tetrahidro-1,4-benzoksazepin-3,5-dion'un (9) antiemetik ve antagonistik etkilerini incelemiştir (1994).



(9)

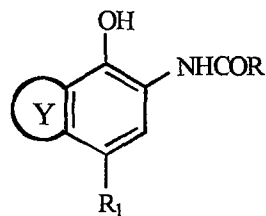
Tatsuoka, T. ve çalışma arkadaşları , (156) maddesinin ( $n = 2-5$  ;  $R_1 = H, X$ , düşük  $C_{1-4}$  alkil, CN veya ester ;  $R_2 = H, X$ , düşük  $C_{1-4}$  alkil, düşük  $C_{1-4}$  alkoksi veya hidroksi ;  $W = C$ , CH veya N ; Z = sübstitüe aromatik hidrokarbon) fumarik asit tuzu 5-HT<sub>1A</sub> reseptörü için  $IC_{50} = 0,77$  nM afinité gösterdiğini, (156)'nın fumarik asit tuzu dopamin D<sub>2</sub> reseptörü için düşük afinité gösterdiğini rapor etmişlerdir (1996)



(156)

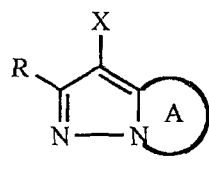
## 5.2. Fotoğrafçılıkta Kullanımı

Ono, M. ve Aoki , K. , genel formülü (157) olan ( $R = \text{bir alifatik grup , aromatik grup , s\xfubstit\xfbe amino grup veya heterosiklik grup , } R_1 = H , Y = 7 \text{ \xfcyeli azot içeren bir grup }$ ) molekülü fotoğrafçılıkta hızlı ve net bir görüntü elde etmek için kullanıldığını rapor etmişlerdir (1987).

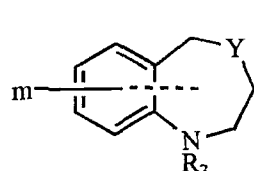


(157)

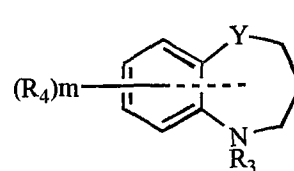
Kaneko, Y. , (158) maddesinin mugetita coupler ve (159) , (160), (161) bileşiklerinin color stabilizatör ( $A = \text{N atomu bulunan heterosiklik halka , } X = \text{\xccikici grup ; } R = H , \text{s\xubstit\xfbeent ; } R_3 = H , \text{alkil , sikloalkil , alkenil , sikloalkenil , alkinil , aril ; } R_1 = \text{s\xubstit\xfbeent ; } m = 0-6 ; Y = O , S , NR_5 ; R_5-R_3$ ) özelli\xfci olduğunu bildirmi\xfeir. Bu coupler stabilizatör kombinasyonun iyi kolorasyon verdiği ve böylece polietilen kaplı kağıt elde etmek için kaplandığını rapor etmişlerdir (1988).



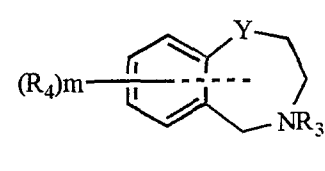
(158)



(159)



(160)

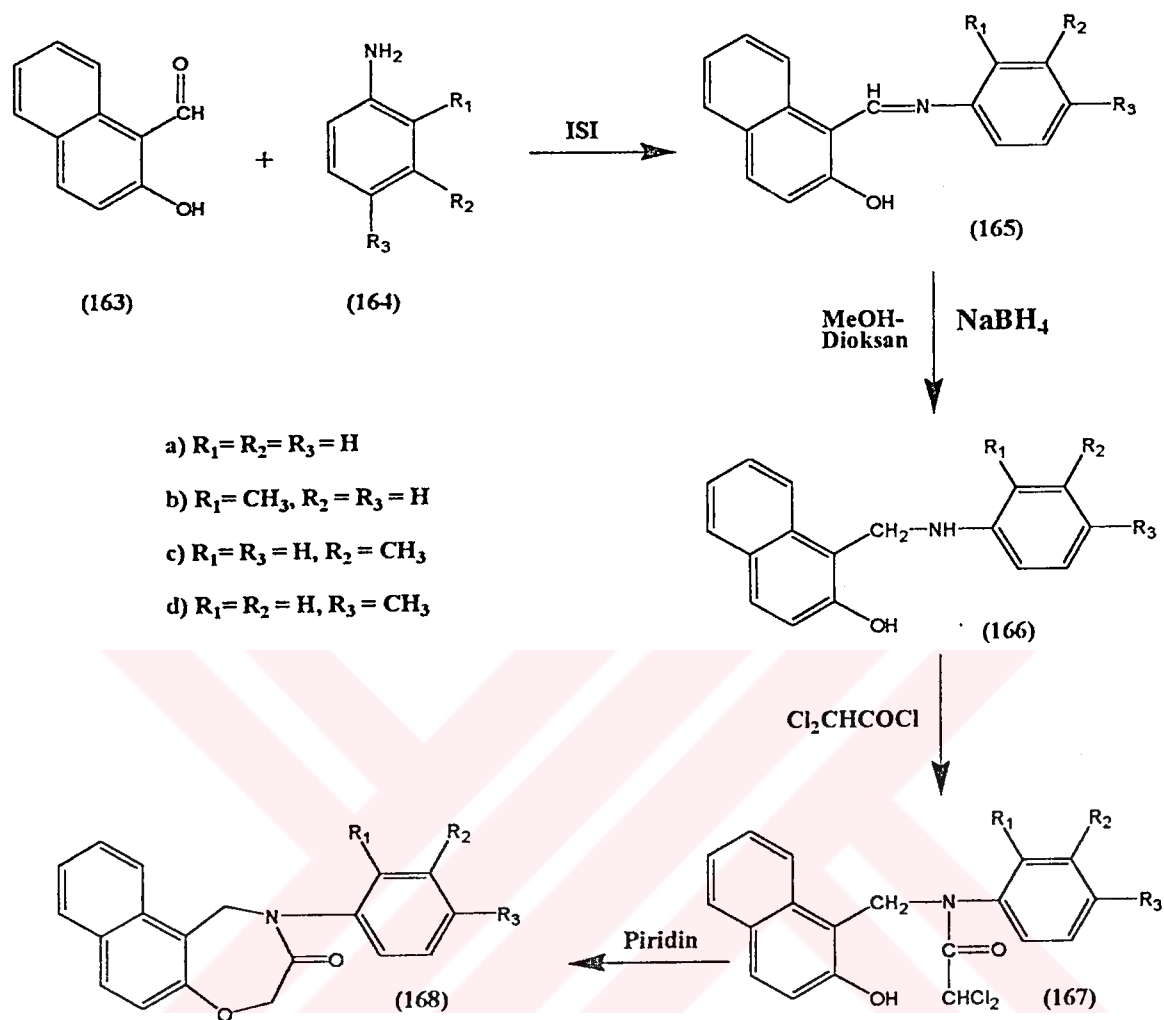


(161)

## 6. AMAÇ

Salisilikaldehitin sübstitüe anilinlerle oluşturduğu Schiff bazının (44) NaBH<sub>4</sub> ile indirgenmesinin aminometil (43) verdiği, bu bileşiklerin kloroasetilklorür ile kuru benzen içerisinde refluks edilmesi sonucunda kloroasetamid bileşiklerinin olduğu ve kloroasetamitlerin bazik ortamda ısıtılmasıyla da dihidro -1,4-benzoksazepin-3(2H)-on'ların (45) elde edildiği bildirilmiştir (Mohan, K.R.; Rajeshwar, K. ve Sudhakar, C., 1984).

Bu çalışmada, sübstitüe anilinlerin (164) 2-hidroksi-1-naftaldehit (163) ile oluşturdukları Schiff bazlarını (165), NaBH<sub>4</sub> ile indirgerek 1-(N-(o,m,p)-metilenaminometil-2-naftol'leri (166), indirgenen ürünleri dikloroasetilklorür ile kuru benzen içerisinde diaçil türevlerini (167) elde etmek ve daha sonra bazik ortamda halka oluşturarak 1,4-naftoksazepinleri (168) elde etmek ve bunların yapılarını spektroskopik olarak aydınlatmak istedik (Şema 2).



Sema 2

## 7.DENEL BÖLÜM

### 7.1. Kullanılan Kimyasal Maddeler

1-(N-feniliminometil)-2-naftol, 1-(N-ortho-metilfeniliminometil)-2-naftol, 1-(N-meta-metilfeniliminometil)-2-naftol, 1-(N-para-metilfeniliminometil)-2-naftol, NaBH<sub>4</sub>, Dikloro-asetilklorür, piridin, NaOH.

### 7.2. Kullanılan Çözüçüler

Etanol, önce kalsiyum oksit, sonra magnezyum ve iyot ile geri soğutucu altında refluks edilmiş sonra damıtılmıştır.

Dioksan, metanol, benzen Merck olduğu için damıtılmadan kullanılmıştır.

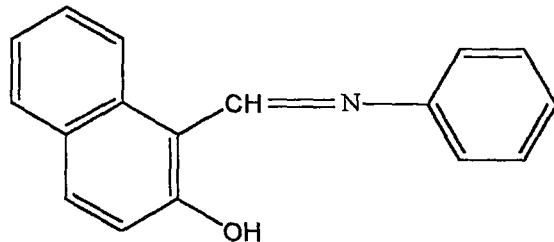
### 7.3. Maddelerin Fiziksel Verilerinin Saptanması

U.V. spektrumları, 150-20 Hitachi Spectrophotometre (Osmangazi Üniversitesi, Fen Edebiyat Fakültesi) cihazı ile alınmıştır.

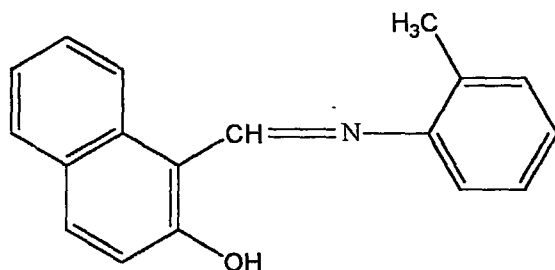
I.R. spektrumları, Mattson 1000 FT IR Spectrometer (Osmangazi Üniversitesi, Fen Edebiyat Fakültesi) cihazı ile alınmıştır.

<sup>1</sup>H-NMR ve <sup>13</sup>C-NMR spektrumları, Brucker 400 MHz Spectrometer (O.D.T.Ü., Fen Edebiyat Fakültesi) cihazı ile alınmıştır.

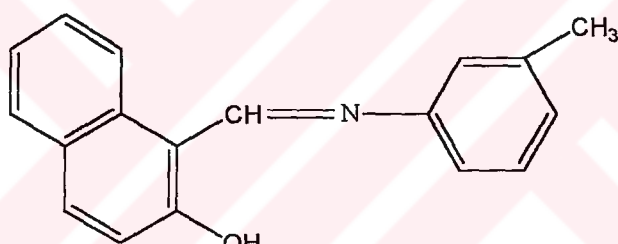
#### 7.4. Fenilik Schiff Bazları Serisinde İsimlendirme



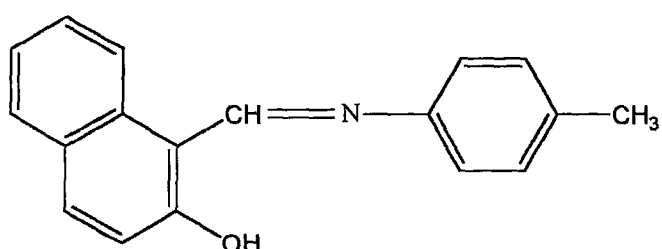
( 165a)



( 165b)

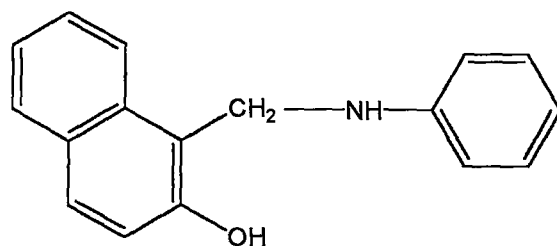


( 165c)

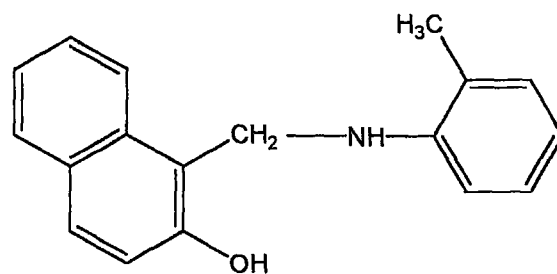


( 165d)

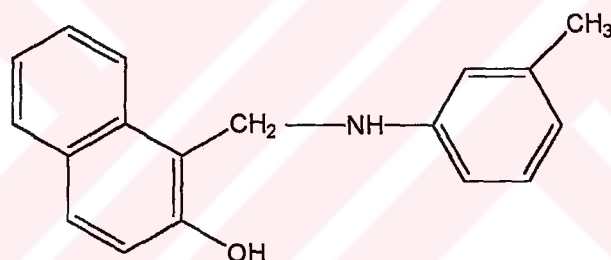
### 7.5. İndirgenme Sonucunda Oluşan Bileşikler Serisinde İsimlendirme



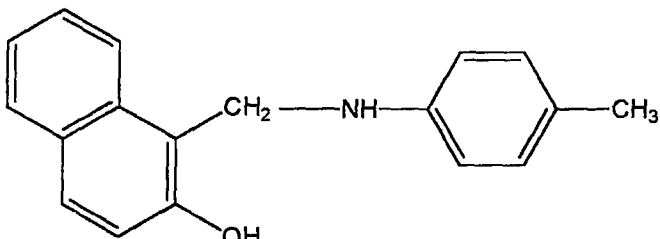
(166a)



1-(N-ortho-metilfenilaminometil)-2-naftol (166b)

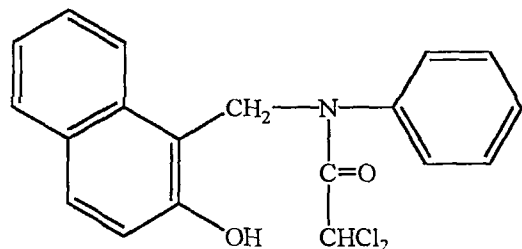


1-(N-meta-metilfenilaminometil)-2-naftol (166c)

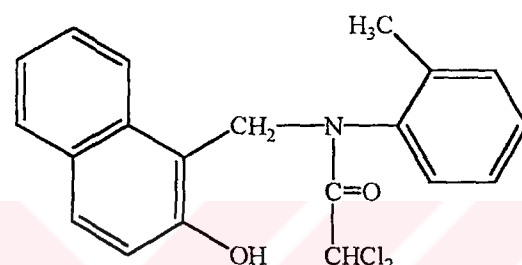


1-(N-para-metilfenilaminometil)-2-naftol (166d)

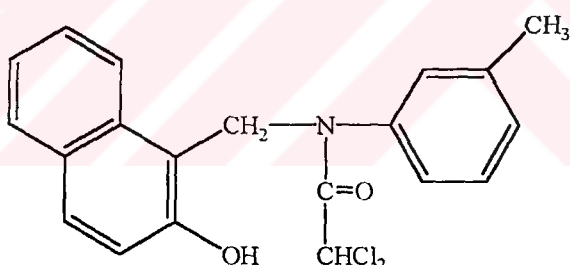
**7.6. Dikloroasetilklorür İle Reaksiyonu Sonucunda Oluşan Bileşikler  
Serisinde İsimlendirme**



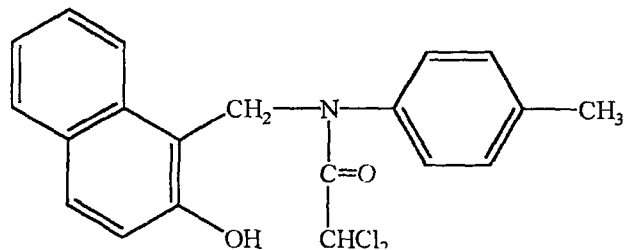
1-(N-dikloroasetil)-N-(fenilaminometil)-2-naftol (167a)



1-(N-dikloroasetil)-N-(orto-fenilaminometil)-2-naftol (167b)



1-(N-dikloroasetil)-N-(meta-fenilaminometil)-2-naftol (167c)



1-(N-dikloroasetil)-N-(para-fenilaminometil)-2-naftol (167d)

## 8. DENEYSEL ÇALIŞMA

### 8.1.Schiff Bazlarının Hazırlanması

1-(N-feniliminometil) 2-naftol (165a), Sawich ve çalışma arkadaşlarının (1956) yöntemine göre 2-hidroksi-1-naftaldehit (163) ile anilinin reaksiyonlarından sentezlenmiştir. 2-Hidroksi-1-naftaldehit'in (163) (17.1 g, 0.09 mol) etanoldaki (75 ml) çözeltisine anilinin (9.5ml) etanoldeki (30ml) çözeltisi bir saatte yavaş yavaş ilave edilmiştir. İlave sonunda sarı renkli kristaller elde edilmiştir. Sarı renkli kristaller etanolde çözülüp tekrar kristallendirilmiştir.

**İ.T.K.(SiO<sub>2</sub>.CHCl<sub>3</sub>): R<sub>f</sub>** : 0.48

**Verim:** 20.4 g (%83)

**Erime Noktası:** 63 °C

**Kütle Spektrumu:** M<sup>+</sup>: 248.1 (Şekil 8.3).

**IR (KBr), V<sub>max</sub> (cm<sup>-1</sup>) :** 3060 (H-bağlı-OH), 1625 (-C=N-), 1510-1436 (Aromatik yapı), 1315 (C-O), 805 (orto-disübstiyon), 740 ve 680 (monosübstiyon) (Şekil 8.1).

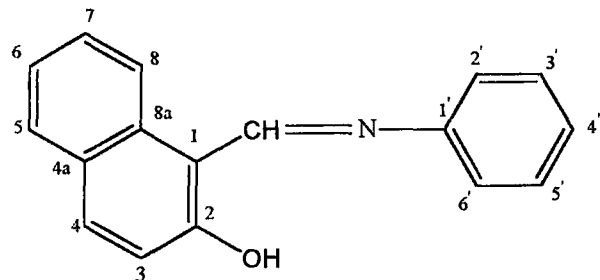
**UV (Metanol), λ<sub>max</sub> (nm) :** 233.2 (0.904), 15.2 (0.272), 342.4 (0.182), 356.4 (0.193), 436.0 (0.337), 454.0 (0.324) (Şekil 8.2).

**H<sup>+</sup>, λ<sub>max</sub> (nm) :** 225.2 (0.817), 316.8 (0.171), 356.8 (0.127), 436.0 (0.065), 449.6 (0.059)

**OH<sup>-</sup> λ<sub>max</sub> (nm) :** 232.8 (0.853), 315.2(0.253), 342.0 (0.160), 355.6 (0.169), 436.0 (0.290), 453.6 (0.290)

<sup>13</sup>C-NMR (CDCl<sub>3</sub>), ppm : 108.663 (C-1), 118.756 (C-8), 120.129 (C-2'), 1220.530 (C-3), 123.498 (C-6), 126.470 (C-4'), 127.177 (C-4a), 128.076 (C-7), 129.351 (C-5), 129.663 (C-3'), 133.251 (C-8a), 136.896 (C-4), 144.746 (C-1'), 154.130 (CH=N), 171.164 (C-2) (Şekil 8.4).

Yukarıdaki spektroskopik verilerden izole edilen maddenin 1-(N-feniliminometil)-2-naftol (165a, R=H) olduğu anlaşılmıştır.



(165 a)

### 8.1.2 1-(N-para-metilfeniliminometil)-2-naftol'ün (165d, R=p-CH<sub>3</sub>) Sentezi

1-(N-para - metilfeniliminometil)-2-naftol (165d, R=p-CH<sub>3</sub>) , Sawich ve çalışma arkadaşlarının (1956) yöntemine göre 2-hidroksi-1-naftaldehit (163) ile para-metilanilinin reaksiyonundan sentezlenmiştir.

2-Hidroksi-1-naftaldehit'in (163) (6.88 g., 0.04 mol) etonoldeki (30 ml) çözeltisine para-metilanilinin (4.28 g., 0.04 mol) etonoldeki (10 ml) çözeltisi 1 saatte yavaş yavaş ilave edilmiştir. İlave sonunda sarı renkli kristaller elde edilmiştir. Sarı renkli kristaller etonolde çözülüp tekrar kristallendirilmiştir.

**İ.T.K. (SiO<sub>2</sub>, CHCl<sub>3</sub>) : R<sub>f</sub> : 0.42**

**Verim :** 10.2 g. (% 91)

**Erime Noktası :** 120-122 °C

**IR (KBr),  $\nu_{\max}$  (cm<sup>-1</sup>) :** 3060 (çok zayıf) (-H bağlı OH) , 1620 (-C=N), 1606-1534, 1512 (Aramotik yapı), 1308 (C-O), 814 (1,4-disübstansiyon) (Şekil 8.11).

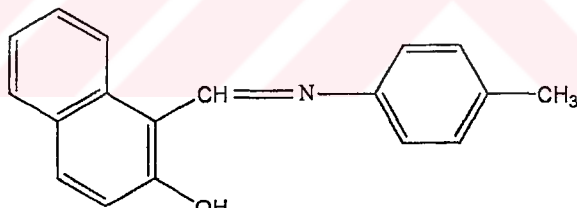
**UV (Etanol)  $\lambda_{\max}$  (nm) :** 232.8 (0.900), 311.6 (0.284), 335.2 (0.223), 355.2 (0.223), 438.8 (0.358), 456.8 (0.334) (Şekil 8.12).

**H<sup>+</sup>,  $\lambda_{\max}$  (nm) :** 226.0 (0.752), 311.6 (0.175), 358.0 (0.139)

**OH<sup>-</sup>  $\lambda_{\max}$  (nm) :** 233.2 (0.878), 311.6 (0.273), 335.2 (0.213), 355.2 (0.200), 438.0 (0.338), 456.0 (0.305)

**<sup>13</sup>C-NMR (CDCl<sub>3</sub>), ppm :** 20.992 (CH<sub>3</sub>), 108.613 (C-1), 118.756 (C-8), 119.936 (C-2'), 122.555 (C-3), 123.345 (C-6), 127.128 (C-4a), 127.957 (C-7), 129.301 (C-5), 130.217 (C-3'), 130.908 (C-4'), 133.264 (C-8a), 136.560 (C-4), 142.138 (C-1'), 153.468 (CH=N), 170.984 (C-2) (Şekil 8.13).

Yukarıdaki spektroskopik verilerden izole edilen maddenin 1-(N-para-metilfeniliminometil)-2-naftol (165d, R=p-CH<sub>3</sub>) olduğu anlaşılmıştır.



(165 d)

### 8.1.3 1-(N-orto-metilfeniliminometil)-2-naftol'ün (165b, R=o-CH<sub>3</sub>) Sentezi

1-(N-orto-metilfeniliminometil)-2-naftol (165b, R=o-CH<sub>3</sub>) Sawich ve çalışma arkadaşlarının (1956) yöntemine göre 2-hidroksi-1-naftaldehit ile orto-metilanilin reaksiyonlarından sentezlenmiştir.

2-hidroksi-1-naftaldehit'in (163) (6.88 g., 0.04 mol) etanoldeki (30 ml) çözeltisine orto-metilanilinin (4.28 g., 0.04 mol) etonoldeki (10 ml) çözeltisi 1 saatte yavaş yavaş

ilave edilmiştir. İlave sonunda turuncu renkli kristaller elde edilmiştir. Turuncu renkli kristaller etanolde çözülüp tekrar kristallendirilmiştir.

**İ.T.K. ( $\text{SiO}_2$ ,  $\text{CHCl}_3$ ) :  $R_f$  : 0.16**

**Verim :** 9.5 g. (% 90.2)

**Erime Noktası :** 115 °C

**IR (KBr),  $\nu_{\max}$  (cm<sup>-1</sup>) :** 3600 (çok zayıf) (-H bağlı OH), 1625 (-C=N), 1568-1489, (Aramotik yapı), 1330 (C-O), 795 (1,2 – disübstitüsyon) (Şekil 8.5).

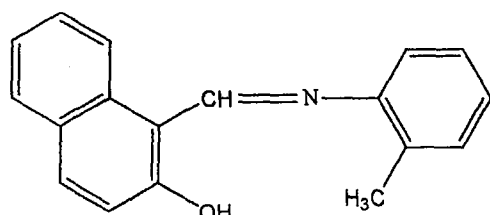
**UV (Etanol)  $\lambda_{\max}$  (nm) :** 205.2 (0.775), 232.4 (0.859), 320.8 (0.216), 339.6 (0.150), 353.6 (0.147), 438.0 (0.333), 457.2 (0.316) (Şekil 8.6).

**$\text{H}^+$ ,  $\lambda_{\max}$  (nm) :** 204.8 (0.748), 232.4 (0.813), 316.4 (0.204), 339.6 (0.140), 360 (0.150), 438.4 (0.333), 456.4 (0.274)

**$\text{OH}^- \lambda_{\max}$  (nm) :** 196.0 (0.316), 204.4 (0.747), 232.8 (0.713), 316.0 (0.1680), 338.8 (0.107), 351.6 (0.108), 438.0 (0.294), 456.0 (0.274)

**$^{13}\text{C-NMR}$  ( $\text{CDCl}_3$ ), ppm :** 18.429 ( $\text{CH}_3$ ), 115.374 (C-6'), 117.442 (C-4'), 118.862 (C-8), 122.598 (C-3), 123.479 (C-6), 125.558 (C-5'), 128.093 (C-7), 129.050 (C-3'), 129.436 (C-5), 136.636 (C-4), 153.416 (CH=N), (Şekil 8.7)

Yukarıdaki spektroskopik verilerden izole edilen maddenin 1-(N-ortho-metilfeniliminometil)-2-naftol (165b, R=o-CH<sub>3</sub>) olduğu anlaşılmıştır.



(165 b)

### **8.1.4 1-(N-meta-metilfeniliminometil)-2-naftol'ün (165c, R=m-CH<sub>3</sub>) Sentezi**

1-(N-meta-metilfeniliminometil)-2-naftol (165c, R=m-CH<sub>3</sub>) Sawich ve çalışma arkadaşlarının (1956) yöntemine göre 2-hidroksi-1-naftaldehit ile meta-metilanilin reaksiyonlarından sentezlenmiştir.

2-hidroksi-1-naftaldehit'in (163) (4.28 g., 0.04 mol) etanoldeki (30 ml) çözeltisine meta-metilanilinin (4.32 g., 0.04 mol) etonoldeki (10 ml) çözeltisi 1 saatte yavaş yavaş ilave edilmiştir. İlave sonunda turuncu renkli kristaller elde edilmiştir. Turuncu renkli kristaller etonolde çözülüp tekrar kristallendirilmiştir.

**İ.T.K. (SiO<sub>2</sub>, CHCl<sub>3</sub>) : R<sub>f</sub> : 0.33**

**Verim : 9 g. (% 89)**

**Erime Noktası : 118-120 °C**

**IR (KBr), ν<sub>max</sub> (cm<sup>-1</sup>) :** 3350 (-H bağlı OH), 1626 (-C=N), 1526-1470 (Aramotik yapı), 1308 (C-O), 870-800 (1,3 – disübstitüsyon), 740 (1,2 – disübstitüsyon) (Şekil 8.8).

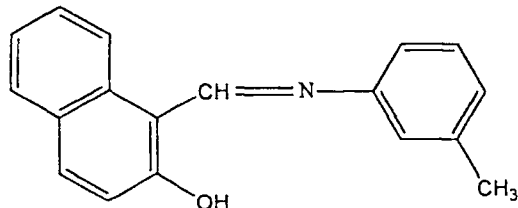
**UV (Etanol) λ<sub>max</sub> (nm) :** 208 (1.8), 235 (1.900), 256.8 (0.726), 315 (0.400), 333.3 (0.34), 344.4 (0.317), 352 (0.321), 447.6 (0.675), 456 (0.201) (Şekil 8.9).

**H<sup>+</sup>, λ<sub>max</sub> (nm) :** 220.8 (1.996), 316 (0.300), 340.4 (0.185), 356.4 (0.208), 447.2 (0.119), 455.2 (0.122)

**OH<sup>-</sup> λ<sub>max</sub> (nm) :** 256.4 (0.652), 281.6 (0.318), 317 (0.280), 342 (0.229), 350 (0.232), 448.4 (0.527), 456 (0.543)

**<sup>13</sup>C-NMR (CDCl<sub>3</sub>), ppm :** 21.409 (CH<sub>3</sub>), 108.709 (C-1), 117.143 (C-6'), 118.803 (C-8), 120.826 (C-2'), 122.742 (C-3), 123.457 (C-6), 127.314 (C-4'), 128.058 (C-7), 129.363 (C-5), 129.497 (C-5'), 133.434 (C-8a), 136.850 (C-4), 139.715 (C-3' ), 144.670 (C-1'), 153.829 (CH=N), 171.548 (C-2 ) (Şekil 8.10)

Yukarıdaki spektroskopik verilerden izole edilen maddenin 1-(N-metametilfeniliminometil)-2-naftol (165b, R=m-CH<sub>3</sub>) olduğu anlaşılmıştır.



( 165 c)

## 8.2. Naftolik Schiff Bazlarının NaBH<sub>4</sub> İle İndirgenmesi

### 8.2.1. 1-(N-feniliminometil)-2-naftol (165a)' ün NaBH<sub>4</sub> İle İndirgenmesi

1-(N-feniliminometil)-2-naftol (4g, 16mmol) 30ml 1:1 oranında metanol ve dioksanda çözündükten sonra NaBH<sub>4</sub> (2.68g, 83.7mmol) ilave edildi. Sarı renkli Schiff bazi berraklaşıp gaz çıkıştı sona erene kadar (1 saat) oda sıcaklığında karıştırdı. Reaksiyon tamamlanınca çözelti çökelti vermesi için buzlu su ile sulandırıldı ve alkolden kristallendirildi.

**İ.T.K. (SiO<sub>2</sub> . CHCl<sub>3</sub>) : R<sub>f</sub>: 0.29**

**Verim : 0.3g (%75)**

**Erime noktası: 95°C**

**IR(KBr), $\nu_{\text{max}}$  (cm<sup>-1</sup>) : 3387 (OH), 3300 (NH), 1600-1465 (Aromatik yapı), 1245 (C-O), 700 ve 775 (monosübstitüe fenil) (Şekil 8.14)**

**UV(Metanol),  $\lambda_{\text{max}}$  (nm) : 334.8 (0.440), 323.2 (0.405), 289.6 (0.895)**

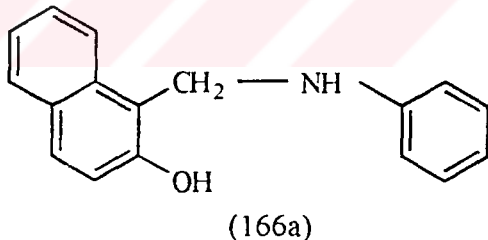
$\text{H}^+$ ,  $\lambda_{\max}$  (nm) : 332.5 (0.34), 321.2 (0.302), 287.3 (0.64)

$\text{OH}^-$ ,  $\lambda_{\max}$  (nm) : 330.5 (0.14), 289.0 (0.855) (Şekil 8.15)

<sup>1</sup>H-N.M.R. ( $\text{CDCl}_3$ ) ,  $\delta$  (ppm) : 4.78 (2H,s) ( $\text{CH}_2\text{-NH}$ ), 6.79 (2H,d,  $J_{2',3'}=7.8$  Hz) (H-2'), 6.86 (1H,t,  $J_{3',4'}=J_{4',5'}=7.3$  Hz) (H-4'), 7.05 (1H,d,  $J_{3,4}=8.8$  Hz) (H-3), 7.18 (2H,t,  $J_{2',3'} \approx 7.0$  Hz,  $J_{3',4'}=8.9$  Hz) (H-3), 7.27 (1H,t,  $J_{5,6}=8.8$  Hz) (H-6), 7.39 (1H,t,  $J_{6,7}=7.2$  Hz,  $J_{7,8}=8.0$  Hz) (H-7), 7.65 (1H,d,  $J_{5,6}=8.8$  Hz) (H-5), 7.73 (1H,d,  $J_{3,4}=8.0$  Hz) (H-4), 7.82 (1H,d,  $J_{7,8}=8.5$  Hz) (H-8) (Şekil 8.16)

<sup>13</sup>C-N.M.R. ( $\text{CDCl}_3$ ), ppm : 44.540 ( $\text{CH}_2\text{-NH}$ ), 112.754 (C-1), 116.310 (C-2'), 119.572 (C-8), 121.448 (C-3), 121.688 (C-4'), 123.372 (C-6), 127.133 (C-7), 129.345 (C-5), 129.838 (C-3'), 129.991 (C-4), 131.094 (C-8a), 132.094 (C-4a), 147.358 (C-1'), 155.315 (C-2) (Şekil 8.17)

Bu spektroskopik verilerden maddenin 1-(N-fenilaminometil)-2-naftol (166a) olduğu sonucuna varılmıştır.



### 8.2.2. 1-(N-ortho-metilfeniliminometil)-2-naftol (165b)' ün $\text{NaBH}_4$ İle İndirgenmesi

1-(N-**orto**-metilfeniliminometil)-2-naftol (4g, 15.2mmol) 30ml 1:1 oranında metanol ve dioksanda çözündükten sonra  $\text{NaBH}_4$  (2.68g, 83.7mmol) ilave edildi. Sarı renkli Schiff bazı berraklaşıp gaz çıkıştı sona erene kadar (1 saat) oda sıcaklığında karıştırdı. Reaksiyon tamamlanınca çözelti çökelti vermesi için buzlu su ile sulandırıldı ve alkolden kristallendirildi.

**I.T.K. ( $\text{SiO}_2$  .  $\text{CHCl}_3$ ) :  $R_f$ .0,68**

**Verim : 3.4g (% 84)**

**Erime noktası : 60 °C**

**IR(KBr), $\nu_{\max}$  ( $\text{cm}^{-1}$ ) : 3425 (OH), 3250 (NH), 1610-1440 (Aromatik yapı), 1270 (C-O), 760 (meta-disübstítüe fenil) (Şekil 8.18).**

**UV(Metanol),  $\lambda_{\max}$  (nm): 334.8 (0.339), 326.8 (0.304), 290.0 (0.697)**

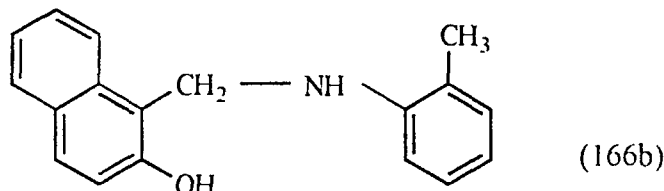
**$\text{H}^+$ ,  $\lambda_{\max}$  (nm) : 334.2 (0.345), 320.2 (0.364), 291.2 (0.687)**

**$\text{OH}^-$ ,  $\lambda_{\max}$  (nm): 334.6 (0.219), 318.2 (0.214), 288.1 (0.737) (Şekil 8.19)**

**$^1\text{H-NMR}$  ( $\text{CDCl}_3$ ),  $\delta$  (ppm) : 2.32 (3H,s) ( $\text{CH}_3$ ), 4.76 (2H,s) ( $\text{CH}_2\text{-NH}$ ), 6.60 (1H,d (dxd),  $J_{5',6'} \approx 8.8$  Hz) (H-6'), 6.63 (1H,yayv. s.) (H-4'), 6.68 (1H,d,  $J_{4'5'} = 7.6$  Hz) (H-5'), 7.041 (1H,d,  $J_{3,4} = 7.71$  Hz) (H-3), 7.053 (1H,d,  $J_{3',4'} = 8.86$  Hz) (H-3'), 7.24-7.26-7.28 (1H,dxt,  $J_{6,8} \approx 1.0$  Hz,  $J_{5,6} = J_{6,7} = 7.5$  Hz) (H-6), 7.38-7.40-7.42 (1H, dxt,  $J_{5,7} = 1.29$  Hz,  $J_{7,8} = 6.23$  Hz,  $J_{6,7} = 6.20$  Hz) (H-7), 7.65 (1H,d,  $J_{5,6} = 8.9$  Hz) (H-5), 7.72 (1H,d,  $J_{4,5} = 8.2$  Hz) (H-4), 7.81 (1H,d,  $J_{7,8} = 8.5$  Hz) (H-8) (Şekil 8.20).**

**$^{13}\text{C-NMR}$  ( $\text{CDCl}_3$ ), ppm : 21.945 ( $\text{CH}_3$ ), 44.589 ( $\text{CH}_2\text{-NH}$ ), 112.641 (C-1), 113.999 (C-6'), 117.200 (C-4'), 119.554 (C-8), 121.668 (C-3), 122.376 (C-5'), 123.237 (C-6), 127.096 (C-7), 129.320 (C-5), 129.720 (C-3'), 129.957 (C-4), 132.474 (C-8a), 133.520 (C-4a), 139.706 (C-2'), 147.727 (C-1'), 155.707 (C-2) (Şekil 8.21)**

Bu spektroskopik verilerden maddenin 1-(N-**orto**-metil-fenilaminometil)-2-naftol (166b) olduğu sonucuna varılmıştır.



### 8.2.3. 1-(N-meta-metilfeniliminometil)-2-naftol (165c)' ün NaBH<sub>4</sub> ile İndirgenmesi

1-(N-meta-metilfeniliminometil)-2-naftol (3.3 g, 13.3 mmol) 30 ml 1:1 oranında metanol ve dioksanda çözündükten sonra NaBH<sub>4</sub> (2.68 g, 83.7mmol) ilave edildi. Sarı renkli Schiff bazı berraklaşıp gaz çıkıştı sona erene kadar (1 saat) oda sıcaklığında karıştırıldı. Reaksiyon tamamlanınca çözelti çökelti vermesi için buzlu su ile sularındırıldı ve alkolden kristallendirildi.

**I.T.K. (SiO<sub>2</sub> . CHCl<sub>3</sub>) : R<sub>f</sub>: 0,85**

**Verim :2.3g (%69)**

**Erimə noktası : 102 °C**

**IR(KBr), v<sub>max</sub> (cm<sup>-1</sup>) : 3489 (OH), 3300 (NH), 1650-1460 (Aromatik yapı), 1250(C-O), 850-706 (meta-disübstitüe fenil) (Şekil 8.22)**

**UV(Metanol), λ<sub>max</sub> (nm) : 334.4 (0.253), 322.0 (0.238), 288.4 (0.819)**

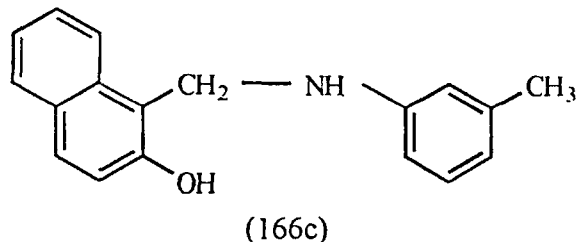
**H<sup>-</sup>, λ<sub>max</sub> (nm) : 332.0 (0.163), 320.1 (0.141), 286.0 (0.579)**

**OH<sup>-</sup>, λ<sub>max</sub> (nm) : 330.0 (0.213), 318.1 (0.140), 285.0 (0.821) (Şekil 8.23)**

**<sup>1</sup>H-NMR (CDCl<sub>3</sub>), δ (ppm) : 2.18 (3H,s) (CH<sub>3</sub>), 4.76 (2H,s) (CH<sub>2</sub>-NH), 6.59 (1H,d, J<sub>5,6</sub>=7.7 Hz) (6'-H), 6.62 (1H,s) (2'-H), 6.68 (1H,d, J<sub>3,4</sub>=7.4 Hz) (4'-H), 7.04 (1H,d, J<sub>3,4</sub>=7.7 Hz) (H-3), 7.05 (1H,t, J<sub>4,5</sub>=5.35 Hz, J<sub>5,6</sub>=7.7 Hz) (5'-H), 7.26 (1H,t, J<sub>5,6</sub>=J<sub>6,7</sub>=7.4 Hz) (H-6), 7.40 (1H,t, J<sub>6,7</sub>=7.2 Hz, J<sub>7,8</sub>=7.4 Hz) (H-7), 7.65 (1H,d, J<sub>5,6</sub>=8.8 Hz) (H-5), 7.72 (1H,d, J<sub>3,4</sub>=8.05 Hz) (H-4), 7.81 (1H,d, J<sub>7,8</sub>=8.5 Hz) (8-H) (Şekil 8.24)**

**<sup>13</sup>C-NMR (CDCl<sub>3</sub>), ppm : 21.950 (CH<sub>3</sub>), 44.174 (CH<sub>2</sub>-NH), 112.846 (C-1), 113.401 (6'-C), 117.200 (2'-C), 119.590 (C-8), 121.703 (C-3), 122.376 (4'-C), 123.343 (C-6), 127.096 (C-7), 129.319 (C-5), 129.718 (5'-C), 129.955 (C-4), 130.083 (4a-C), 132.104 (8a-C), 139.050 (3'-C), 147.354 (1'-C), 155.333 (C-2) (Şekil 8.25)**

Bu spektroskopik verilerden maddenin 1-(N-meta-metil-fenilaminometil)-2-naftol (166c) olduğu sonucuna varılmıştır.



#### 8.2.4. 1-(N-para-metilfeniliminometil)-2-naftol (165d)'ün $\text{NaBH}_4$ ile İndirgenmesi

1-(N-para-feniliminometil)-2-naftol (4 g, 16.1mmol) 30 ml 1:1 oranında metanol ve dioksanda çözündükten sonra  $\text{NaBH}_4$  (2.68g, 83.7mmol) ilave edildi. Sarı renkli Schiff bazi berraklaşıp gaz çıkıştı sona erene kadar (1 saat) oda sıcaklığında karıştırıldı. Reaksiyon tamamlanınca çözelti çökelti vermesi için buzlu su ile sulandırıldı ve alkolden kristallendirildi.

**İ.T.K. ( $\text{SiO}_2 \cdot \text{CHCl}_3$ ) :  $R_f$ : 0,65**

**Verim : 2.4 g (%60)**

**Erime noktası : 127°C**

**IR (KBr),  $\nu_{\max}$  ( $\text{cm}^{-1}$ ) : 3464 (OH), 3300 (NH), 1640-1560(Aromatik yapı), 1240 (C-O), 810 (para-disübstidue fenil) (Şekil 8.26)**

**UV(Metanol),  $\lambda_{\max}$  (nm) : 334.8 (0.401), 327.2 (0.346), 290.4 (0.720)**

**$\text{H}^+$ ,  $\lambda_{\max}$  (nm) : 332.4 (0.261), 324.3 (0.216), 287.2 (0.580)**

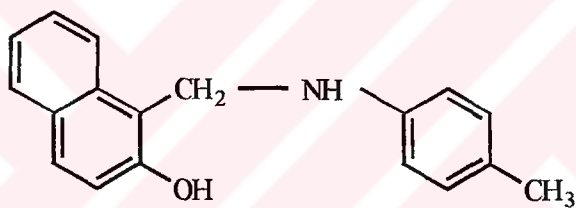
**$\text{OH}^-$ ,  $\lambda_{\max}$  (nm) : 330.6 (0.271), 322.1 (0.256), 285.4 (0.860) (Şekil 8.27)**

**$^1\text{H-NMR}$  ( $\text{CDCl}_3$ ),  $\delta$  (ppm) : 2.23 (3H,s) ( $\text{CH}_3$ ), 4.77 (2H,s) ( $\text{CH}_2\text{-NH}$ ), 6.73 (6.4) (2H,d,  $J_{2,3} = 8.1$  Hz) (2'-H), 6.99 (6.82) (2H,d,  $J_{2,3} = 8.3$  Hz) (3'-H), 7.08 (1H,d,**

**<sup>1</sup>H-NMR (CDCl<sub>3</sub>) , δ (ppm) :** 2.23 (3H,s) (CH<sub>3</sub>), 4.77 (2H,s) (CH<sub>2</sub>-NH), 6.73 (6.4) (2H,d, J<sub>2,3</sub> = 8.1 Hz) (2'-H), 6.99 (6.82) (2H,d, J<sub>2,3</sub> = 8.3 Hz) (3'-H), 7.08 (1H,d, J<sub>3,4</sub>=8.8 Hz) (H-3), 7.29 (1H,t, J<sub>5,6</sub>=7.3 Hz, J<sub>6,7</sub>=7.4 Hz) (H-6), 7.43 (1H,dxt, J<sub>6,7</sub>=7.2 Hz, J<sub>7,8</sub>=7.4 Hz, J<sub>5,7</sub>=0.8 Hz) (H-7), 7.67 (1H,d, J<sub>5,6</sub>=8.8 Hz) (H-5), 7.75 (1H,d, J<sub>3,4</sub>=8.0 Hz) (H-4), 7.83 (1H,d, J<sub>7,8</sub>=8.6 Hz) (8-H) (Şekil 8.28).

**<sup>13</sup>C-NMR (CDCl<sub>3</sub>) , ppm :** 20.948 (CH<sub>3</sub>), 45.220 (CH<sub>2</sub>-NH), 113.142 (C-1), 116.602 (2'-C), 119.681 (C-8), 121.653 (C-3), 123.297 (C-6), 127.075 (C-7), 129.264 (4'-C), 129.348 (C-5), 129.898 (C-4), 130.342 (3'-C), 131.055 (8a-C), 132.056 (4a-C), 145.258 (1'-C), 155.986 (C-2) (Şekil 8.29)

Bu spektroskopik verilerden maddenin 1-(N-para-metilfenilaminometil)-2-naftol (166d) olduğu sonucuna varılmıştır.



(166d)

### 8.3. İndirgenmiş Naftolik Schiff Bazlarının Dikloroasetilklorür ile reaksiyonu

#### 8.3.1. 1-(N-fenilaminometil)-2-naftol (166a)' ün Dikloroasetilklorür ile reaksiyonu

1-(N-fenilaminometil)-2-naftol (1g, 4.01mmol) şusuz benzen içinde şiddetli olarak karıştırıldı. Dikloroasetilklorür (1g, 0,65 ml, 6.7 mmol) ile 2 saat reflux edildi. Damıtma ile çözücü geri kazanıldı ve beyaz renkli kristaller elde edildi.

**İ.T.K. (SiO<sub>2</sub> . CHCl<sub>3</sub>) : R<sub>f</sub>: 0,70**

**Verim : 1,2 g (% 83)**

**Erimə noktası:** 138°C

**IR(KBr), $\nu_{\text{max}}$  (cm<sup>-1</sup>) :** 1682(Amit C=O), 1655-1421(Aromatik yapı), 760 ve 731(monosübstitüe fenil), 604 (C-Cl) (Şekil 8.30).

**UV(Metanol),  $\lambda_{\text{max}}$  (nm) :** 343.2 (0.870), 327.6 (0.034), 296.8 (0.938)

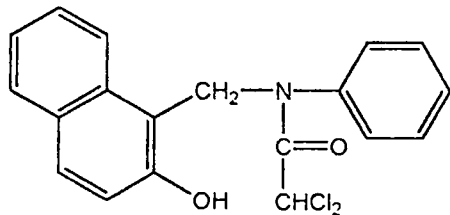
**H<sup>+</sup>,  $\lambda_{\text{max}}$  (nm) :** 341.2 (0.810), 324.5 (0.036), 294.5 (0.698)

**OH<sup>-</sup>,  $\lambda_{\text{max}}$  (nm) :** 342.3 (0.820), 321.5 (0.043), 293.2 (0.712) (Şekil 8.31)

**<sup>1</sup>H-NMR (CDCl<sub>3</sub>), δ (ppm) :** 5.77(1H,s) (N(CO)CHCl<sub>2</sub>), 5.23 (2H,s) (Ar-CH<sub>2</sub>-N-Ar), 6.68 (1H,d, J<sub>3,4</sub>=8.61 Hz) (H-3), 6.90 (1H,t, J'<sub>4,5</sub>=7,1 Hz) (H-4'), 7.10 (2H,d, J<sub>4',5'</sub>=7,21 Hz) (H-2'), 7.17(1H,d, J<sub>4,5</sub>=8.6 Hz) (H-4), 7.06 (1H,t, J<sub>6,7</sub>=7.43 Hz) (H-6), 7.33 (2H,t, J<sub>3',4'</sub>=7.20 Hz) (H-3'), 7.41(1H,t, J<sub>7,8</sub>=7,36Hz) (H-7), 7.62 (1H,d, J<sub>5,6</sub>=7.98 Hz) (H-5), 7.67 (1H,d, J<sub>7,8</sub>=8,88 Hz) (H-8) , 9,5(1H,S)(OH) (Şekil 8.32)

**<sup>13</sup>C-NMR (CDCl<sub>3</sub>), ppm :** 47.104 (Ar-CH<sub>2</sub>-N-Ar), 63.773 (N(CO)-CHCl<sub>2</sub>), 120.432 (C-3), 122.226 (C-8), 123.174 (C-6), 126.660 (C-4'), 128.585 (C-2'), 128.910 (C-7), 130.379 (C-4), 130.910 (C-3'), 131.539 (C-5), 121.850 (C-1), 129.211 (C-4a), 133.810 (C-8a), 139.874 (C-1'), 155.401(C-2), 166.951 (N(CO)-CHCl<sub>2</sub>) (Şekil 8.33)

Bu spektroskopik verilerden maddenin (1-N -dikloroasetil)-N-(fenilaminometil)-2-naftol (167a) olduğu sonucuna varılmıştır.



(167a)

### 8.3.2. 1-(N-ortho-metilfenilaminometil)-2-naftol (166b)' ün Dikloroasetilklorür ile reaksiyonu

1-(*N*-ortho-metilfenilaminometil)-2-naftol (1g, 3.7mmol) susuz benzen içinde şiddetli olarak karıştırıldı. Dikloroasetilklorür (1g, 0.65ml, 6.07mmol) ile 2 saat refluks edildi. Damıtma ile çözücü geri kazanıldı ve beyaz renkli kristaller elde edildi.

**I.T.K. ( $\text{SiO}_2 \cdot \text{CHCl}_3$ ) :  $R_f$ : 0,60**

**Verim :** 0.92gr (% 65)

**Erime noktası :** 117°C

**IR(KBr),  $\nu_{\max}$  (cm<sup>-1</sup>) :** 1755 (DikloroasetilklorürC=O), 1698(Amit C=O), 1520-1400 (Aromatik yapı), 723(ortho-disübstitüe fenil), 604(C-Cl), 3350 (OH) (Şekil 8.36)

**UV(Metanol),  $\lambda_{\max}$  (nm) :** 343.2 (0.158), 328.0 (0.118), 289.6 (0.880),

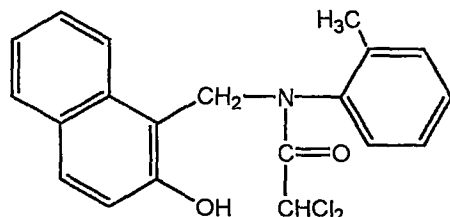
**H<sup>+</sup>,  $\lambda_{\max}$  (nm) :** 342.8 (0.143), 327.2 (0.108), 288.5 (0.900)

**OH<sup>-</sup>,  $\lambda_{\max}$  (nm) :** 344.6 (0.140), 327.5 (0.044), 288.3 (0.824) (Şekil 8.37)

**<sup>1</sup>H-NMR (CDCl<sub>3</sub>), δ (ppm):** 1.93 (3H,s)(CH<sub>3</sub>), 5.12 ve 5.27 (2H,d,J=15.01)(Ar-CH<sub>2</sub>-N-Ar), 5.71(1H,s)(N-(CO)-CHCl<sub>2</sub>), 6.63 (1H,d,J<sub>5',6'</sub>=8.6Hz) (H-6'), 6.91 (1H,t, J<sub>4',5'</sub>=1.45 Hz) (H-4'), 6.92(1H,t, J<sub>5',6'</sub>=3.52 Hz) (H-5'), 7.09(1H,t, J<sub>6,7'</sub>=5.34 Hz) (H-6), 7.10 (1H,d, J<sub>3',4'</sub>=4.66 Hz) (H-3'), 7.15 (1H,d, J<sub>3,4'</sub>=10.22 Hz) (H-3), 7.21(1H,d, J<sub>3,4'</sub>=7.53 Hz) (H-4), 7.31(1H,t, J<sub>7,8'</sub>=7.58 Hz) (H-7), 7.61 (1H,d, J<sub>5,6'</sub>=8.05 Hz) (H-5), 7.67 (1H,d, J<sub>7,8'</sub>=8.89 Hz) (8-H), 9,5(1H,s)(FenilOH) (Şekil 8.38)

**<sup>13</sup>C-NMR (CDCl<sub>3</sub>), ppm :** 17.718(CH<sub>3</sub>), 42.031(Ar-CH<sub>2</sub>-N-Ar), 64.028 (N(CO)-CHCl<sub>2</sub>), 120.157 (C-3), 122.114 (C-1), 124.302 (C-6'), 126.662 (C-8), 127.792 (C-6), 128.124 (C-4'), 129.028 (C-5'), 129.695 (C-7), 130.199 (C-4), 131.069 (C-5), 132.158 (C-3'), 122.114 (C-1), 132.254 (C-4a), 136.561 (C-8a), 137.180 (C-2), 163.108 (C-1'), 164.729 (N(CO)-CHCl<sub>2</sub>) (Şekil 8.39)

Bu spektroskopik verilerden maddenin (1-N-dikloroasetil)-N-(**orto**-metilenilaminometil)-2-naftol (167b) olduğu sonucuna varılmıştır.



(167b)

### **8.3.3. 1-N-(meta-metilfenilaminometil)-2-naftol (166c)'ün Dikloroloroasetilklorür ile reaksiyonu**

1-N-(meta-metilfenilaminometil)-2-naftol (0.5 g, 1.89mmol) susuz benzen içinde şiddetli olarak karıştırıldı. Dikloroasetilklorür (0,5g, 0,32 ml, 3.3mmol) ile 2 saat refluks edildi. Damıtma ile çözücü geri kazanıldı ve beyaz renkli kristaller elde edildi.

**İ.T.K. ( $\text{SiO}_2 \cdot \text{CHCl}_3$ ) :  $R_f$ : 0,75**

**Verim : 0.6 g (% 84)**

**Erime noktası : 132°C**

**IR (KBr),  $v_{\max}$  (cm<sup>-1</sup>) : 1682 (Amit C=O), 1610-1470 (Aromatik yapı), 825 ve 835 (meta-disübstidue fenil), 1233.(C-O), 604 (C-Cl) (Şekil 8.40)**

**UV(Etanol),  $\lambda_{\max}$  (nm) : 336.4 (0.021), 289.6 (0.416), 285.2 (0.676), 282.4 (0.656),**

**$\text{H}^+$ ,  $\lambda_{\max}$  (nm) : 335.9 (0.042), 288.2 (0.436), 284.7 (0.696), 282.2(0.666)**

**$\text{OH}^-$ ,  $\lambda_{\max}$  (nm) : 331.4 (0.298), 285.0 (0.576), 283.2 (0.512) (Şekil 8.41)**

**<sup>1</sup>H-NMR (CDCl<sub>3</sub>) , δ (ppm) :** 2.21(3H,s) (CH<sub>3</sub>), 5.80 (1H,s) (N-(CO)-CHCl<sub>2</sub>), 5.22 (2H,s) (Ar-CH<sub>2</sub>-N-Ar), 6.69(1H,d, J<sub>5',6'</sub>=8.59 Hz) (H-6'), 6.85 (1H,s) (H-2'), 6.93 (1H,t, J<sub>5',6'</sub>=8.45 Hz) (H-5'), 7.10 (1H,t, J<sub>6,7'</sub>=7.50 Hz) (H-6), 7.18 (1H,d, J<sub>4,5'</sub>=8.78 Hz) (H-4'), 7.19(1H,t, J<sub>6,7'</sub>=2.45 Hz) (H-7), 7.21 (1H,d, J<sub>3,4'</sub>=4.48 Hz) (H-3), 7.62 (1H,d, J<sub>5,6'</sub>=7.98 Hz) (H-5), 7.21 (1H,d, J<sub>3,4'</sub>=2.07 Hz) (H-4), 7.68 (1H,d, J<sub>7,8'</sub>=8.9 Hz) (H-8), 9.5(1H.s)(FenilOH) (Şekil 8.42)

**<sup>13</sup>C-NMR (CDCl<sub>3</sub>), ppm:** 21.525 (CH<sub>3</sub>), 47.161 (Ar-CH<sub>2</sub>-N-Ar), 63.782 (N-(CO)CHCl<sub>2</sub>), 113.090(C-1), 155.430 (C-2), 122.441 (C-3), 130.628 (C-4), 129.231 (C-4a), 131.053 (C-5), 126.497 (C-6), 129.012 (C-7), 125.453 (C-8), 133.837 (C-8a), 141.304 (C-1'), 123.146 (C-2'), 139.900 (C-3'), 128.860 (C-4'), 131.492(C-5') 120.256(C-6'), 166.952 (N-(CO)CHCl<sub>2</sub>) (Şekil 8.43).

Bu Spektroskopik verilerden maddenin (1-N-dikloroasetil)-N-(meta-metilfenilaminometil)-2-naftol (167c) olduğu sonucuna varılmıştır.



(167c)

#### 8.3.4.1-N-(para-metilfenilaminometil)-2-naftol(166d)'ün Dikloroasetilklorür ile reaksiyonu

1-N-(para-metilfenilaminometil)-2-naftol (1g, 3.7mmol) susuz benzen içinde şiddetli olarak karıştırtıldı. Dikloroasetilklorür (1g, 0.65ml, 6.7mmol) ile 2 saat refluks edildi. Damıtma ile çözücü geri kazanıldı ve beyaz renkli kristaller elde edildi.

**İ.T.K. (SiO<sub>2</sub> . CHCl<sub>3</sub>) : R<sub>f</sub>: 0,55**

**Verim : 1 g (% 70)**

**Verim :** 1 g (% 70)

**Erime noktası :** 149°C

**I.R.(KBr), $\nu_{max}$  (cm<sup>-1</sup>) :** 1682(Amit C=O), 1547-1445 (Aromatik yapı), 850(para-disübstitüe fenil), 604 (C-Cl) (Şekil 8.44)

**UV (Metanol),  $\lambda_{max}$  (nm) :** 337.6 (0.220), 325.0 (0.190), 288.8 (0.396), 282.8 (0.380)

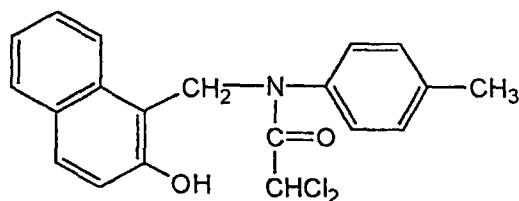
**H<sup>+</sup>,  $\lambda_{max}$  (nm) :** 337.0 (0.210), 325.2 (0.187), 289.1 (0.356), 283.1 (0.377)

**OH<sup>-</sup>,  $\lambda_{max}$  (nm) :** 337.9 (0.189), 325.4 (0.162), 287.6 (0.398), 282.6 (0.382) (Şekil 8.45)

**<sup>1</sup>H-NMR (CDCl<sub>3</sub>), δ (ppm) :** 2.34 (3H,s) (CH<sub>3</sub>), 5.79 (1H,s) (N(CO)CHCl<sub>2</sub>), 5.22 (2H,s) (Ar-CH<sub>2</sub>-N-Ar), 6.74 (2H,d, J<sub>3,4</sub>=8.58Hz) (H-3), 6.96 (1H,d, J<sub>3,4</sub>=1.15 Hz) (H-4), 6.94 (1H,t, J<sub>6,7</sub>=7.3 Hz) (H-6), 7.09 (1H, d, J<sub>3',4'</sub>=7.18 Hz) (H-3'), 7.15 (1H,d,J<sub>2',3'</sub>=11.75 Hz) (H-2'), 7.11 (1H, t, J<sub>7,8</sub>=8.12 Hz) (H-7), 7.62 (1H, d, J<sub>5,6</sub>=8.03 Hz) (H-5), 7.67 (1H, d, J<sub>7,8</sub>=8.89 Hz) (H-8), 9.5 (1H,s)(FenilOH) (Şekil 8.46)

**<sup>13</sup>C-NMR (CDCl<sub>3</sub>), ppm :** 21.603 (CH<sub>3</sub>), 47.159 (Ar-CH<sub>2</sub>-N-Ar), 63.735 (N(CO)-CHCl<sub>2</sub>), 167.125 (N(CO)-CHCl<sub>2</sub>), 122.401 (C-8), 113.030 (C-1), 123.134 (C-6), 120.488 (C-3), 126.601 (C-7), 128.242 (C-2'), 131.472 (C-5), 131.416 (C-3'), 128.877 (C-4), 133.844 (C-4'), 137.309 (C-8a), 129.220 (C-4a), 140.668 (C-1'), 155.420 (C-2) (Şekil 8.47)

Bu spektroskopik verilerden maddenin (1-N-dikloroasetil)-N-(**para**-metilfenilaminometil)-2-naftol (167d) olduğu sonucuna varılmıştır.



(167d)

#### 8.4. Bazik Ortamda Halka Oluşturma

##### 8.4.1. (1-N-dikloroasetil)-N-(fenilaminometil)-2-naftol (167a)'ün Bazik Ortamda Halka Oluşturma

(1-N-dikloroasetil)-N-(fenilaminometil)-2-naftol (0,3 g, 0,8 mmol) oda sıcaklığında 10ml ‘piridin içine alındı. İki gün odasıcaklığında ılıtıldı. Daha sonra elde edilen katı su ile yıkandı ve alkolden kristallendirildi.

**İ.T.K. ( $\text{SiO}_2 \cdot \text{CHCl}_3$ ) :**  $R_f$ : 0.55

**Verim :** 1.1g (% 83)

**Erime noktası :** 138 °C

**IR(KBr), $\nu_{\max}$  (cm<sup>-1</sup>) :** 1682 (Amit C=O), 1655-1421(Aromatik yapı), 1240(C-O), 760 ve 731 (monosübstitüe fenil) (Şekil 8.30)

**UV(Metanol),  $\lambda_{\max}$  (nm) :** 343.2 (0.870), 327.6 (0.034), 296.8 (0.938)

**H<sup>+</sup>,  $\lambda_{\max}$  (nm) :** 341.2 (0.810), 324.5 (0.036), 294.5 (0.698)

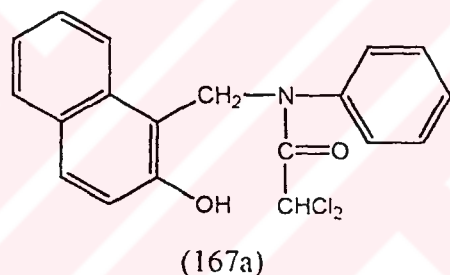
**OH<sup>-</sup>,  $\lambda_{\max}$  (nm) :** 342.3 (0.820), 321.5 (0.043), 293.2(0.712) (Şekil 8.31)

**<sup>1</sup>H-NMR (CDCl<sub>3</sub>), δ (ppm) :** 5,77(1H,s) (N(CO)CHCl<sub>2</sub>), 5,23 (2H,s) (Ar-CH<sub>2</sub>-N-Ar), 6,68 (1H,d, J<sub>3,4</sub>≈8.61 Hz) (H-3), 6,90 (1H,t, J'<sub>4,5</sub>≈7,1 Hz) (H-4'), 7,10 (2H,d, J<sub>4,5'</sub>

$\approx 7,21$  Hz) (H-2'), 7.17(1H,d,  $J_{4,5}=8.6$  Hz) (H-4), 7.06 (1H,t,  $J_{6,7}=7.43$  Hz) (H-6), 7.33 (2H,t,  $J_{3,4}\approx 7.20$  Hz) (H-3'), 7.41(1H,t,  $J_{7,8}=7.36$  Hz) (H-7), 7.62 (1H,d,  $J_{5,6}=7.98$  Hz) (H-5), 7.67 (1H,d,  $J_{7,8}\approx 8.88$  Hz) (H-8), 9,5(1H,S)(OH) (Şekil 8.32)

$^{13}\text{C-NMR}$  ( $\text{CDCl}_3$ ) , ppm : 47.104 (Ar- $\text{CH}_2\text{-N-Ar}$ ), 63.773 (N(CO)- $\text{CHCl}_2$ ), 120.432 (C-3), 122.226 (C-8), 123.174 (C-6), 126.660 (C-4'), 128.585 (C-2'), 128.910 (C-7), 130.379 (C-4), 130.910 (C-3'), 131.539 (C-5), 121.850 (C-1), 129.211 (C-4a), 133.810 (C-8a), 139.874 (C-1'), 155.401(C-2), 166.951 (N(CO)- $\text{CHCl}_2$ ) (Şekil 8.33)

Bu spektroskopik verilerden maddenin (1-N-dikloro)-N-(fenilaminometil)-2-naftol (167a) olduğu sonucuna varılmıştır.



#### 8.4.2. (1-N-dikloroasetil)-N-(orto-metilfenilaminometil)-2-naftol (167b)' ün Bazik Ortamda Halka Oluşturmaşı

(1-N-dikloroasetil)-N-(orto-metilfenilaminometil)-2-naftol (0,4 g, 0,82mmol) oda sıcaklığında 10 ml piridin içine alındı. İki gün süreyle oda sıcaklığında karıştırıldı. Daha sonra elde edilen katı su ile yıkandı ve alkolden kristallendirildi.

İ.T.K. ( $\text{SiO}_2 \cdot \text{CHCl}_3$ ) :  $R_f$ : 0,60

Verim : 0,92 g (% 65)

Erime noktası : 117 °C

**IR(KBr),  $\nu_{\max}$  (cm<sup>-1</sup>) :** 1698(Amit C=O), 1520-1400 (Aromatik yapı), 1245 (C-O), 723(ortho-disübstidue fenil), 3350(OH) (Şekil 8.36)

**UV(Metanol),  $\lambda_{\max}$  (nm) :** 343.2 (0.158), 328.0 (0.118), 289.6 (0.880)

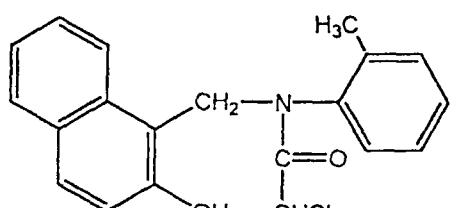
**H<sup>+</sup>,  $\lambda_{\max}$  (nm) :** 342.8 (0.143), 327.2 (0.108), 288.5 (0.900),

**OH<sup>-</sup>,  $\lambda_{\max}$  (nm) :** 344.6 (0.140), 327.5 (0.044), 288.3 (0.824) (Şekil 8.37)

**<sup>1</sup>H-NMR (CDCl<sub>3</sub>), δ (ppm):** 1.93 (3H,s)(CH<sub>3</sub>), 5.12 ve 5.27 (2H,d,J=15.01)(Ar-CH<sub>2</sub>-N-Ar), 5.71(1H,s)(N-(CO)-CHCl<sub>2</sub>), 6.63 (1H,d,J<sub>5',6'</sub>=8.6Hz) (H-6'), 6.91 (1H,t, J<sub>4',5'</sub>=1.45 Hz) (H-4'), 6.92(1H,t, J<sub>5',6'</sub>=3.52 Hz) (H-5'), 7.09(1H,t, J<sub>6,7</sub>=5.34 Hz) (H-6), 7.10 (1H,d, J<sub>3',4'</sub>=4.66 Hz) (H-3'), 7.15 (1H,d, J<sub>3,4</sub>=10.22 Hz) (H-3), 7.21(1H,d, J<sub>3,4</sub>=7.53 Hz) (H-4), 7.31(1H,t, J<sub>7,8</sub>=7.58 Hz) (H-7), 7.61 (1H,d, J<sub>5,6</sub>=8.05 Hz) (H-5), 7.67 (1H,d, J<sub>7,8</sub>=8.89 Hz) (8-H), 9.5(1H,s)(FenilOH) (Şekil 8.38)

**<sup>13</sup>C-NMR (CDCl<sub>3</sub>), ppm :** 17.718(CH<sub>3</sub>), 42.031(Ar-CH<sub>2</sub>-N-Ar), 64.028 (N(CO)-CHCl<sub>2</sub>), 120.157 (C-3), 122.114 (C-1), 124.302 (C-6'), 126.662 (C-8), 127.792 (C-6), 128.124 (C-4'), 129.028 (C-5'), 129.695 (C-7), 130.199 (C-4), 131.069 (C-5), 132.158 (C-3'), 122.114 (C-1), 132.254 (C-4a), 136.561 (C-8a), 137.180 (C-2), 163.108 (C-1'), 164.729 (N(CO)-CHCl<sub>2</sub>) (Şekil 8.39)

Bu spektroskopik verilerden maddenin (1-N-dikloro)-N-(ortho-metilfenilaminometil)-2-naftol (167b) olduğu sonucuna varılmıştır.



(168b)

**8.4.3. (1-N-dikloroasetil)-N-(meta-metilfenilaminometil)-2-naftol (167c)'ün  
Bazik Ortamda Halka Oluşturmaşı**

(1-N -dikloroasetil)-N-(meta-metilfenilaminometil)-2-naftol (0,15 g, 0,30 mmol) oda sıcaklığında 10 ml piridin içine alındı. İki gün süreyle karıştırıldı. Daha sonra elde edilen katı su ile yıkandı ve alkolden kristallendirildi.

**İ.T.K. ( $\text{SiO}_2 \cdot \text{CHCl}_3$ ) :  $R_f$ : 0,70**

**Verim : 0,13 g (% 90)**

**Erime noktası : 132 °C**

**IR(KBr),  $\nu_{\max}$  ( $\text{cm}^{-1}$ ) : 1682 (Amit C=O), 1610-1470(Aromatik yapı), 1242 (C-O),  
852 ve 835 (meta-disübstitüe fenil) (Şekil 8.40)**

**UV(Metanol),  $\lambda_{\max}$  (nm) : 336.4 (0.021), 289.6 (0.416), 285.2 (0.676), 282.4  
(0.656)**

**$\text{H}^+$ ,  $\lambda_{\max}$  (nm) : 335.9 (0.042), 288.2 (0.436), 284.2 (0.696), 282.2 (0.666)**

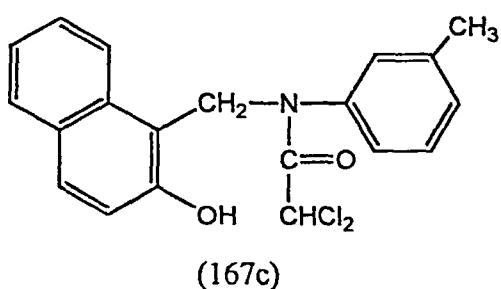
**$\text{OH}^-$ ,  $\lambda_{\max}$  (nm) : 331.4 (0.298), 285.1 (0.576), 283.2 (0.512) (Şekil 8.41)**

**$^1\text{H-NMR}$  ( $\text{CDCl}_3$ ),  $\delta$  (ppm) : 2.21(3H,s) ( $\text{CH}_3$ ), 5.80 (1H,s) ( $\text{N-(CO)-CHCl}_2$ ),  
5.22 (2H,s) ( $\text{Ar-CH}_2\text{-N-Ar}$ ), 6.69(1H,d,  $J_{5',6'}=8.59$  Hz) (H-6'), 6.85 (1H,s) (H-2'), 6.93  
(1H,t,  $J_{5',6'}=8.45$  Hz) (H-5'), 7.10 (1H,t,  $J_{6,7}=7.50$  Hz) (H-6), 7.18 (1H,d,  $J_{4',5'}=8.78$  Hz)  
(H-4'), 7.19(1H,t,  $J_{6,7}=J_{7,8}=2.45$  Hz) (H-7), 7.21 (1H,d,  $J_{3,4}=4.48$  Hz) (H-3), 7.62 (1H,d,  
 $J_{5,6}=7.98$  Hz) (H-5), 7.21 (1H,d,  $J_{3,4}=2.07$  Hz) (H-4), 7.68 (1H,d,  $J_{7,8}=8.9$  Hz) (H-8),  
9.5(1H,s)(FenilOH) (Şekil 8.42)**

**$^{13}\text{C-NMR}$  ( $\text{CDCl}_3$ ), ppm: 21.525 ( $\text{CH}_3$ ), 47.161 ( $\text{Ar-CH}_2\text{-N-Ar}$ ), 63.782 ( $\text{N-(CO)CHCl}_2$ ), 113.090(C-1), 155.430 (C-2), 122.441 (C-3), 130.628 (C-4), 129.231 (C-**

4a), 131.053 (C-5), 126.497 (C-6), 129.012 (C-7), 125.453 (C-8), 133.837 (C-8a), 141.304 (C-1'), 123.146 (C-2'), 139.900 (C-3'), 128.860 (C-4'), 131.492 (C-5') 120.256 (C-6'), 166.952 (N-(CO)CHCl<sub>2</sub>) (Şekil 8.43).

Bu spektroskopik verilerden maddenin (1-N-dikloro)-N-(meta-metil fenilaminometil)-2-naftol (167c) olduğu anlaşılmıştır.



#### 8.4.4. (1-N -dikloroasetil)-N-(para-metilfenilaminometil)-2-naftol (167d)' ün Bazik Ortamda Halka Oluşturma

(1-N-dikloroasetil)-N-(para-metilfenilaminometil)-2-naftol (0,2 g, 0,41 mmol) oda sıcaklığında 10 ml piridin içine alındı. İki gün süreyle karıştırdı. Daha sonra elde edilen katı su ile yıkandı ve alkolden kristallendirildi.

**İ.T.K. (SiO<sub>2</sub> . CHCl<sub>3</sub>) : R<sub>f</sub>: 0,60**

**Verim : 0,15 g (% 77)**

**Erime noktası : 149 °C**

**IR(KBr),v<sub>max</sub> (cm<sup>-1</sup>) : 1682 (Amit C=O), 1547-1445 (Aromatik yapı), 1217 (C-O), 850(para-disübstitüe fenil) (Şekil 8.44)**

**UV(Metanol), λ<sub>max</sub> (nm) : 337.6 (0.220), 325.0 (0.190), 288.8 (0.396), 282.8(0.380)**

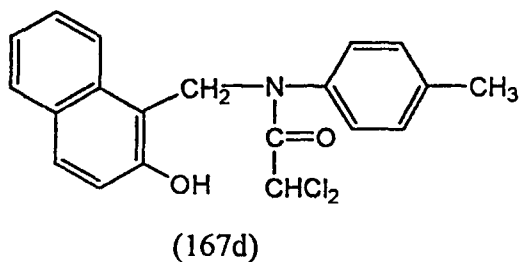
$\text{H}^+$ ,  $\lambda_{\max}$  (nm) : 337.0 (0.210), 325.2 (0.187), 289.1 (0.356), 283.1 (0.377)

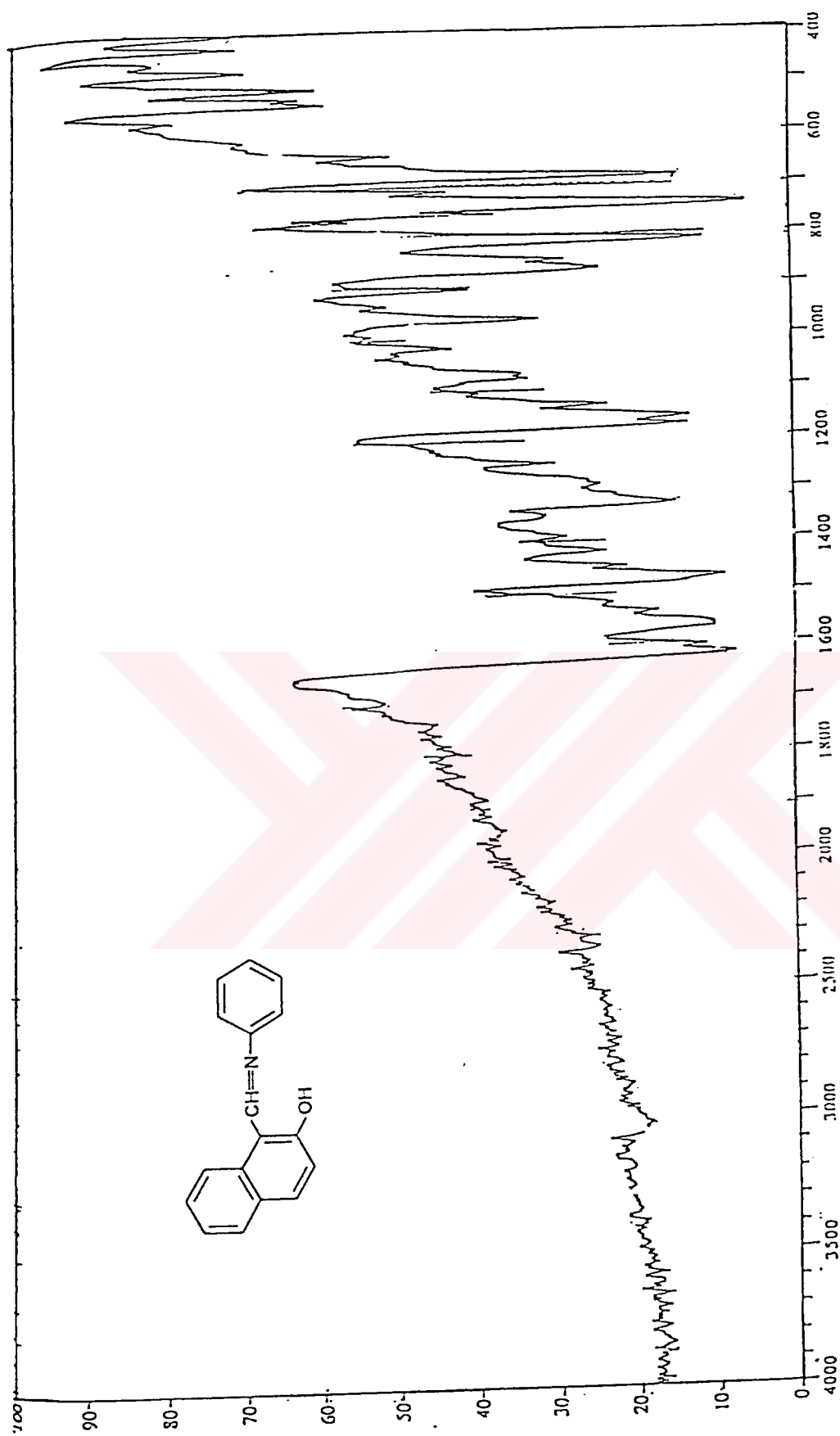
$\text{OH}^-$ ,  $\lambda_{\max}$  (nm) : 337.9 (0.189), 325.4 (0.162), 287.6 (0.398), 282.6 (0.382) (Şekil 8.45)

$^1\text{H-NMR}$  ( $\text{CDCl}_3$ ) ,  $\delta$  (ppm) : 2.34 (3H,s) ( $\text{CH}_3$ ), 5.79 (1H,s) ( $\text{N}(\text{CO})\text{CHCl}_2$ ), 5.22 (2H,s) ( $\text{Ar}-\text{CH}_2-\text{N}-\text{Ar}$ ), 6.74 (2H,d,  $J_{3,4}=8.58\text{Hz}$ ) (H-3), 6.96 (1H,d,  $J_{3,4}=1.15\text{ Hz}$ ) (H-4), 6.94 (1H,t,  $J_{6,7}=7.3\text{ Hz}$ ) (H-6), 7.09 (1H, d,  $J_{3',4'}=7.18\text{ Hz}$ ) (H-3'), 7.15 (1H,d,  $J_{2',3'}=11.75\text{ Hz}$ ) (H-2'), 7.11 (1H, t,  $J_{7,8}=8.12\text{ Hz}$ ) (H-7), 7.62 (1H, d,  $J_{5,6}=8.03\text{ Hz}$ ) (H-5), 7.67 (1H, d,  $J_{7,8}=8.89\text{ Hz}$ ) (H-8), 9.5 (1H,s) (FenilOH) (Şekil 8.46)

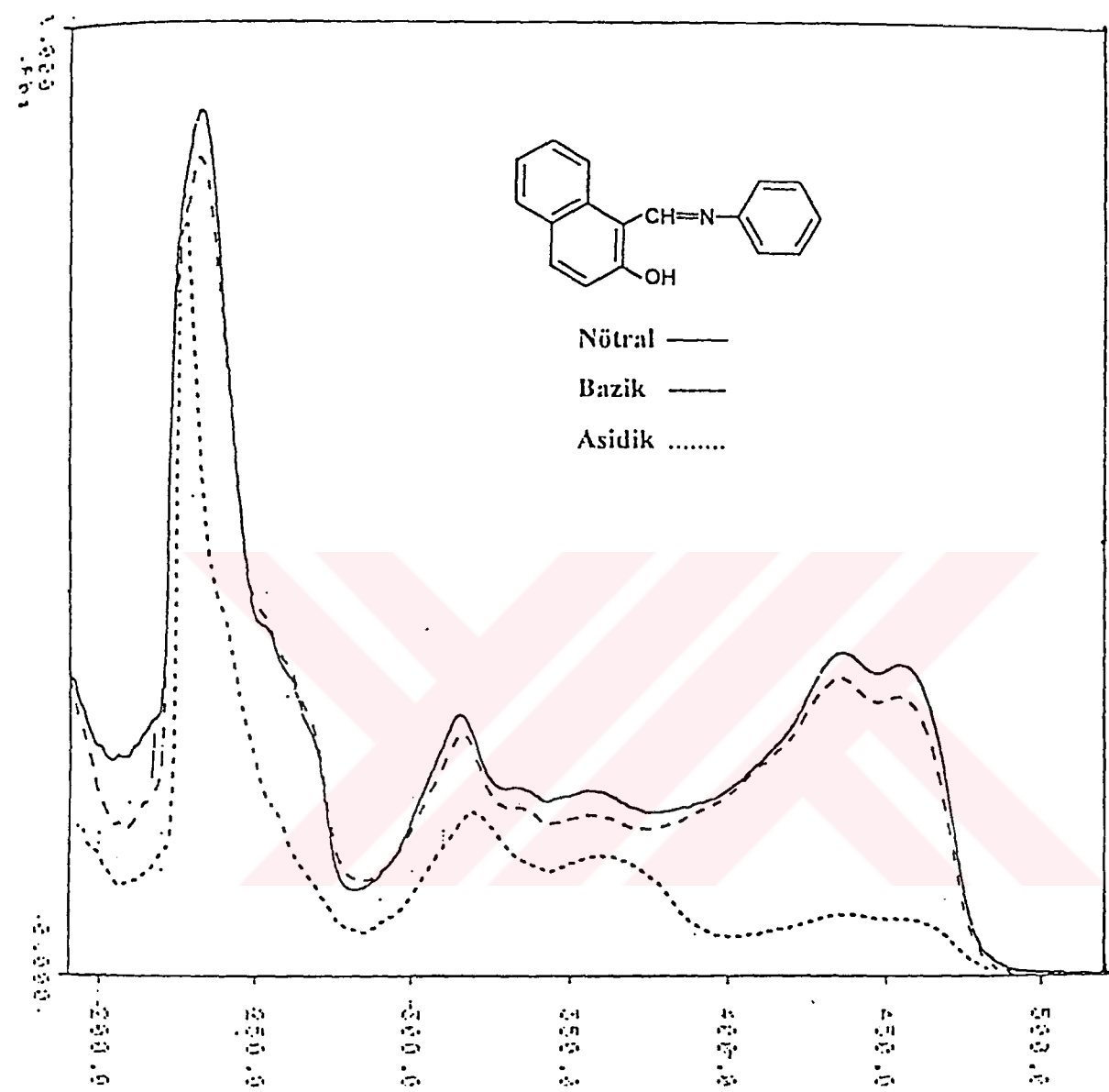
$^{13}\text{C-NMR}$  ( $\text{CDCl}_3$ ) , ppm : 21.603 ( $\text{CH}_3$ ), 47.159 ( $\text{Ar}-\text{CH}_2-\text{N}-\text{Ar}$ ), 63.735 ( $\text{N}(\text{CO})-\underline{\text{CHCl}}_2$ ), 167.125 ( $\text{N}(\text{CO})-\text{CHCl}_2$ ), 122.401 (C-8), 113.030 (C-1), 123.134 (C-6), 120.488 (C-3), 126.601 (C-7), 128.242 (C-2'), 131.472 (C-5), 131.416 (C-3'), 128.877 (C-4), 133.844 (C-4'), 137.309 (C-8a), 129.220 (C-4a), 140.668 (C-1'), 155.420 (C-2) (Şekil 8.47)

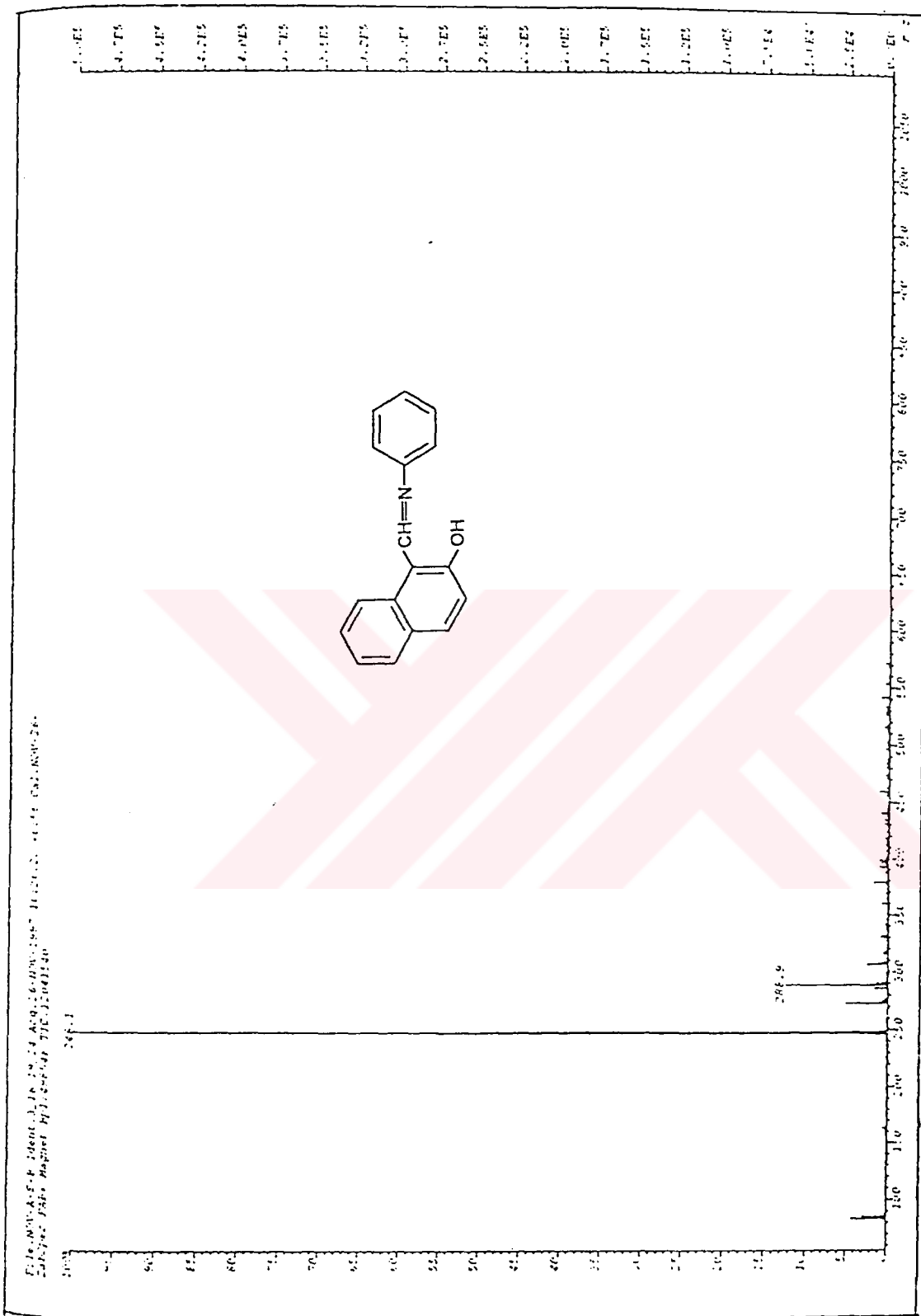
Bu spektroskopik verilerden maddenin (1-N-dikloro)-N-(para-metilfenilaminometil)-2-naftol (167d) olduğu sonucuna varılmıştır.



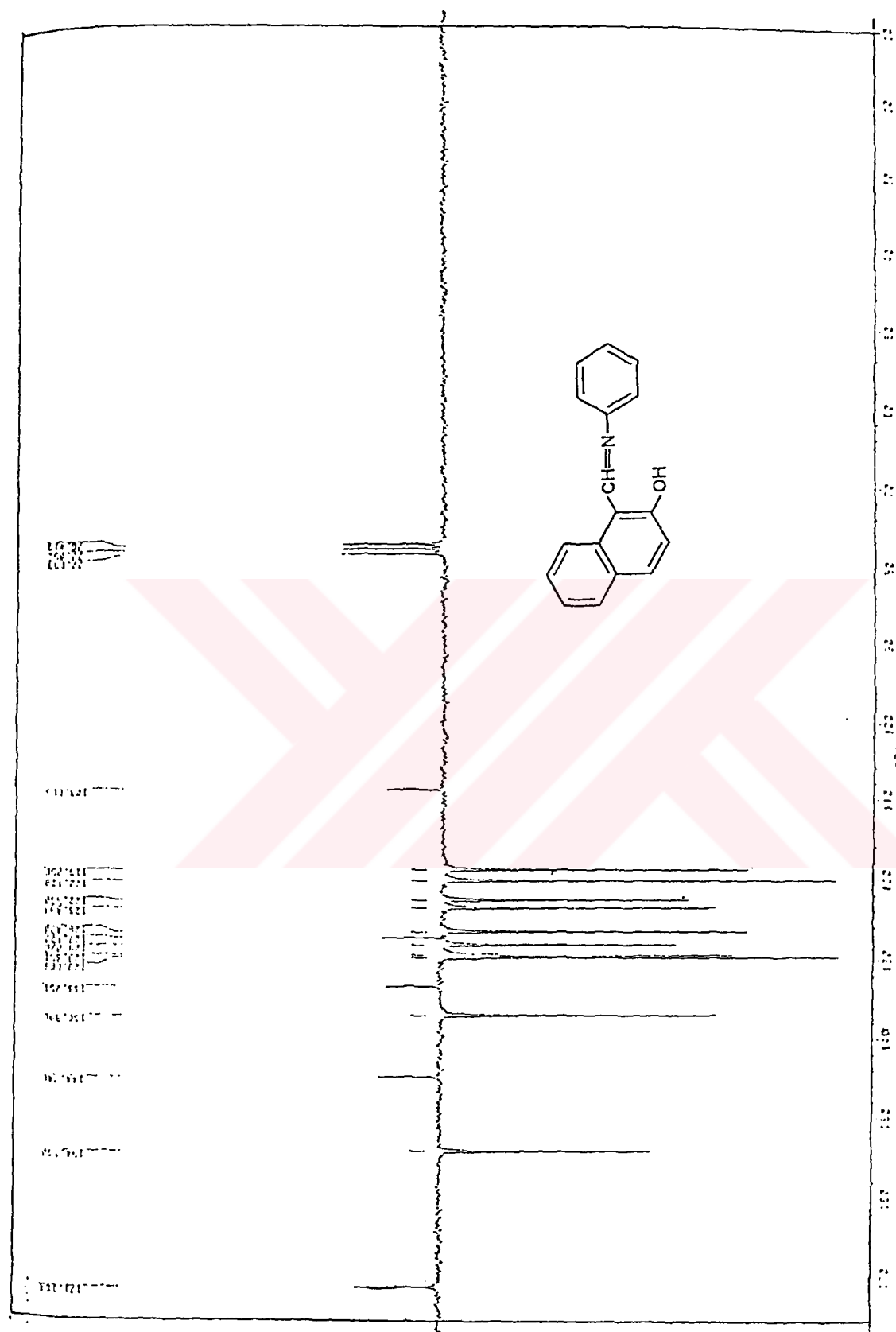


Şekil 8.1 1-(N-fenyliminomethyl)-2-naftol (165a)'ün IR spektrumu

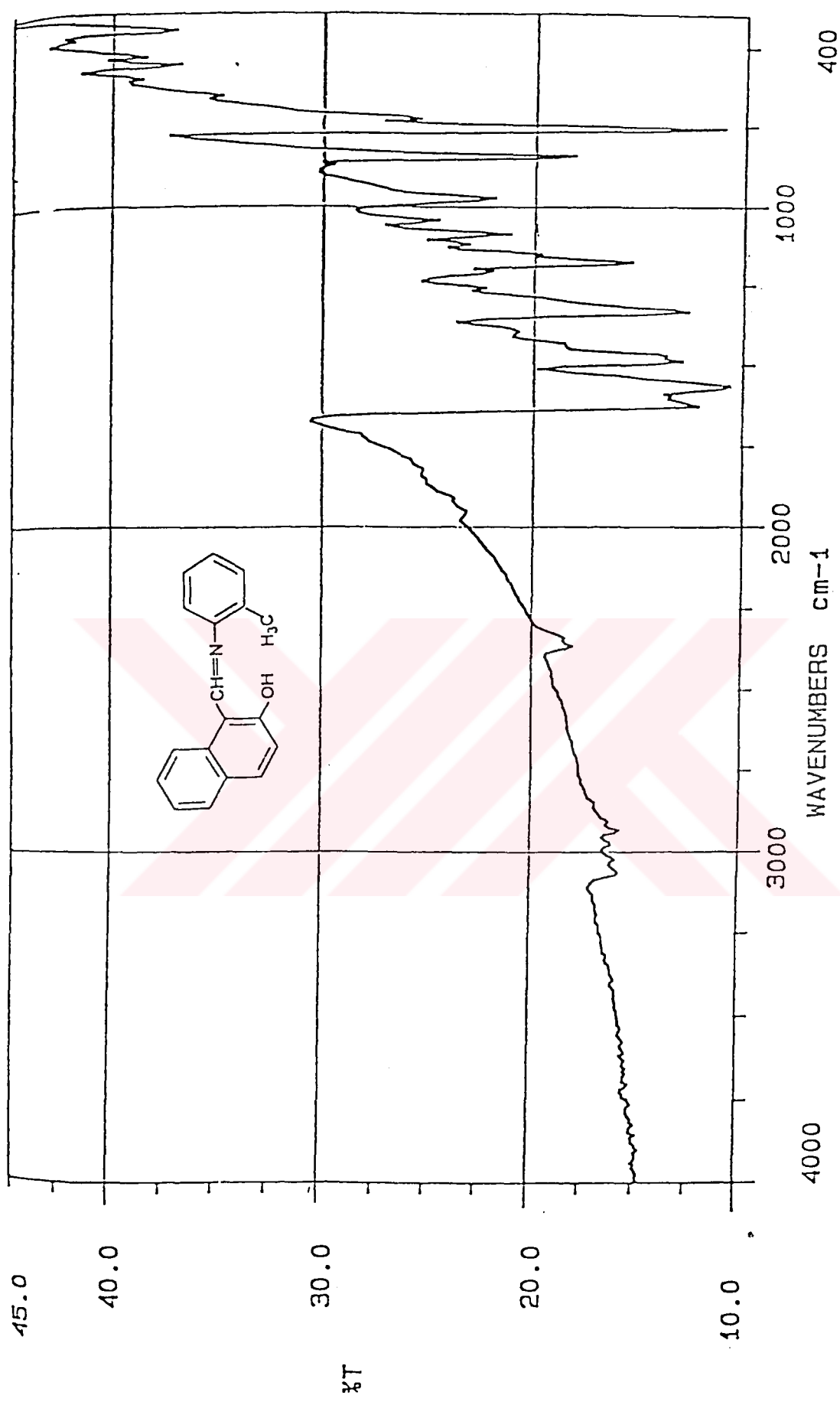




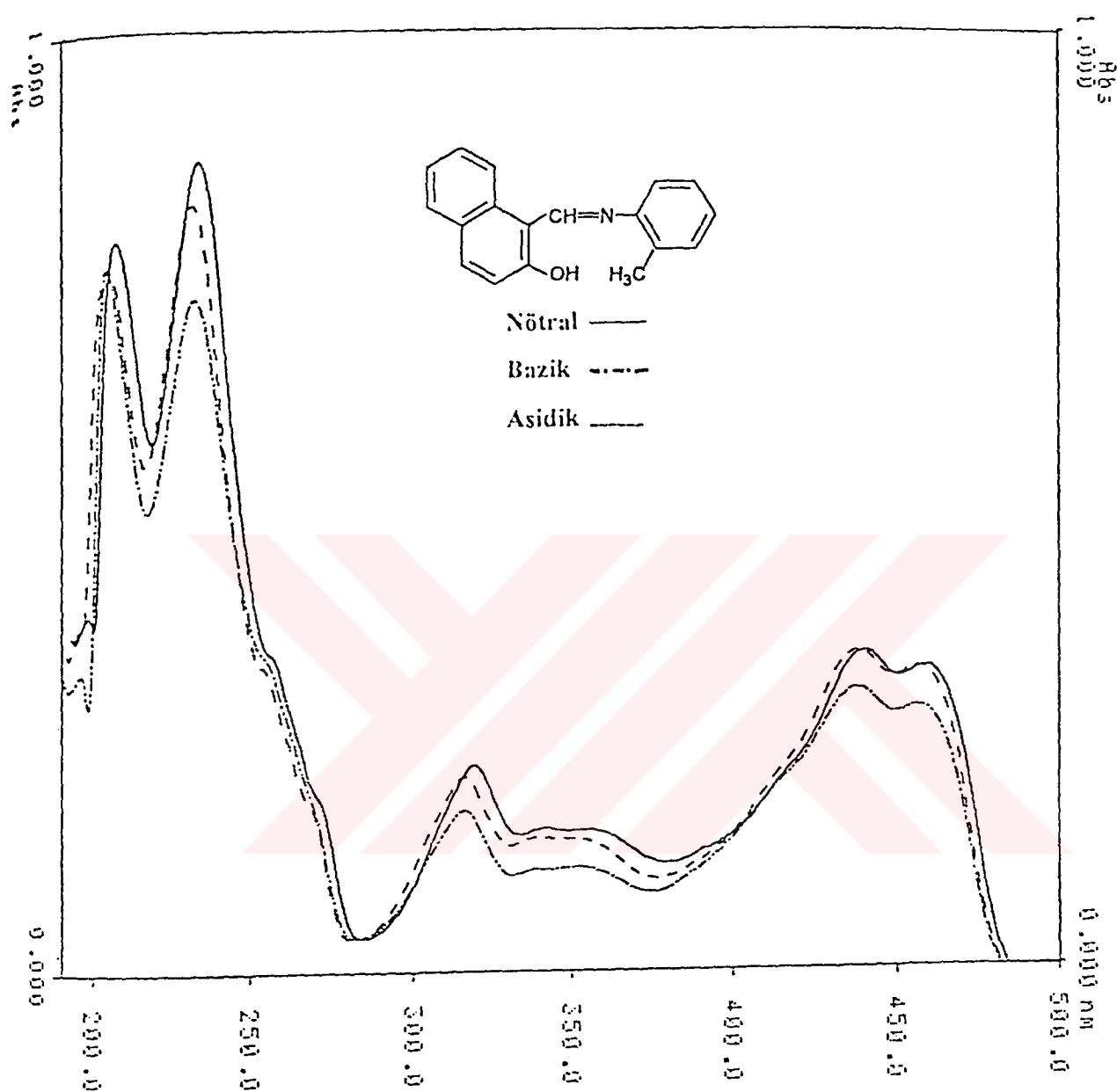
**Sekil 8.3** 1-(N-feniliminometil)-2-naftol (165a)'ün kütle spektrumu (FAB)



**Şekil 8.4** 1-(N-fenilikiminometil)-2-naftol (165a)ün  $^{13}\text{C}$ -NMR spektrumu( $\text{CDCl}_3$ ,  $\text{ApT}$ )

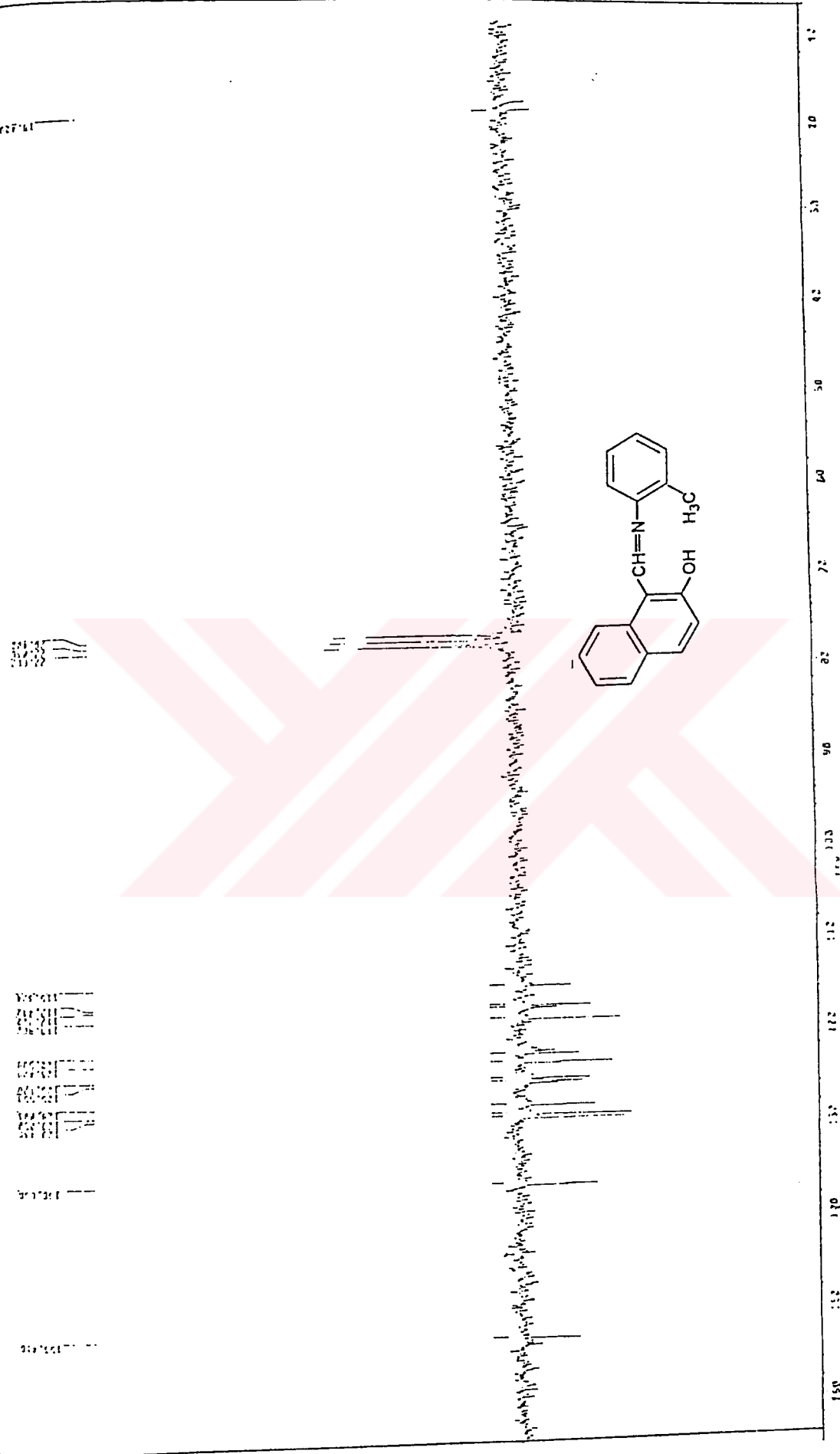


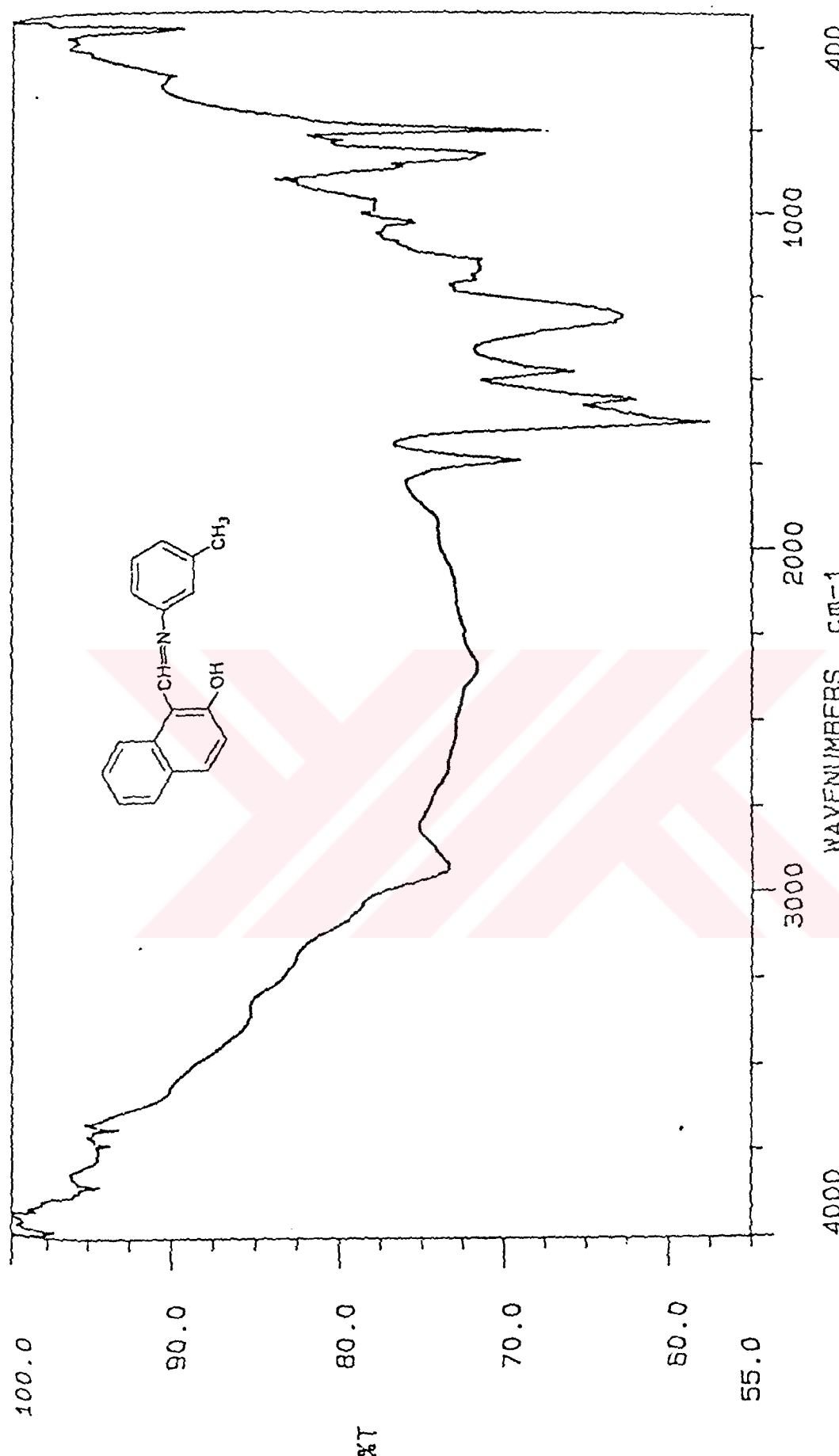
Sekil 8.5 1-(N-ortho-methylbenzimidinomethyl)-2-naphthol (165b)'ün IR spektrumu



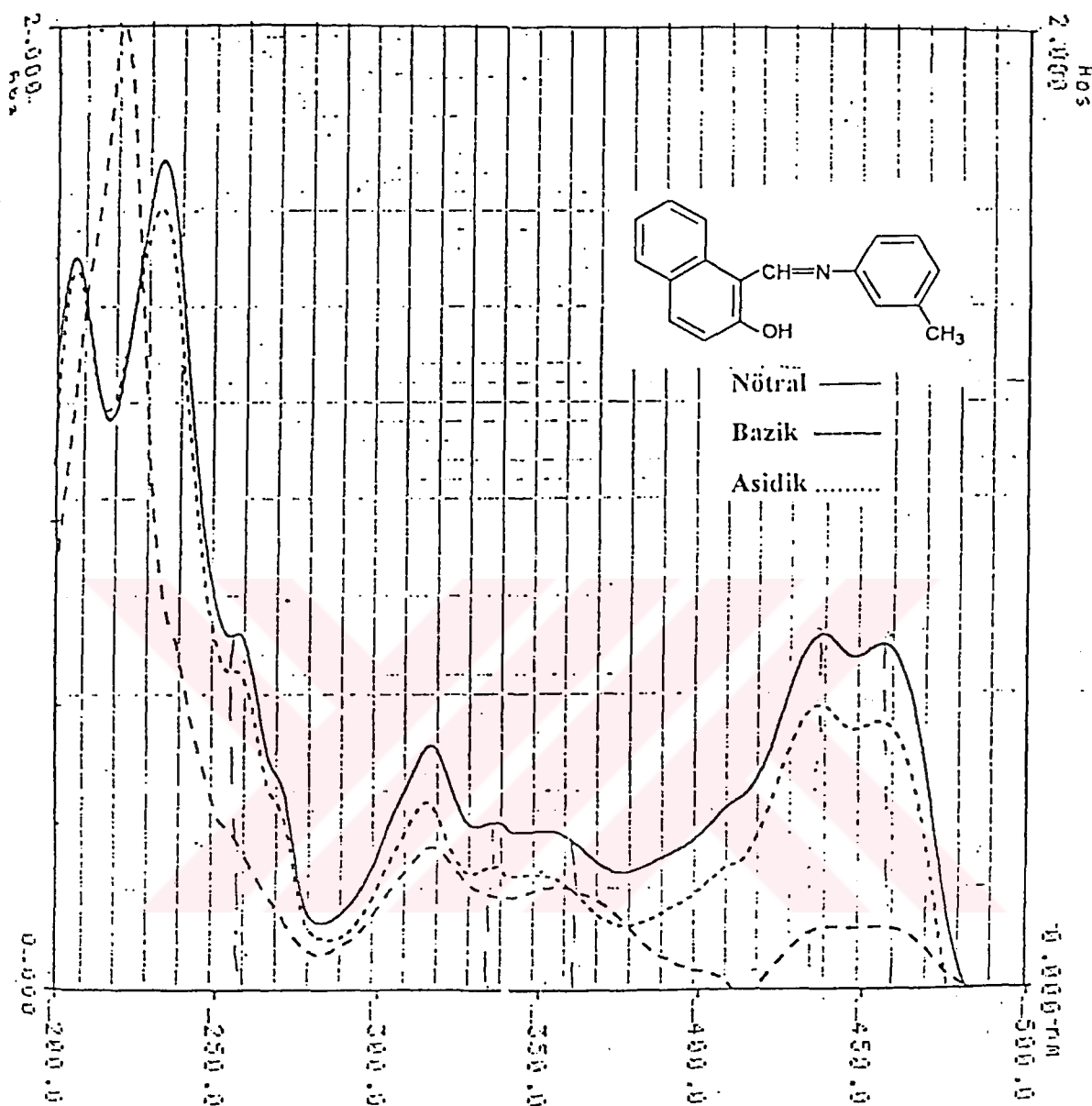
Şekil 8.6 1-(N-*ortho*-methylfeniliminometil)-2-naftol (165b)'ün UV spektrumu

Sekil 8 7 I-(N-orto-metilsfeniliminometyl)-2-naftol (165b)ün  $^{13}\text{C}$ -NMR spektrumu ( $\text{CDCl}_3$ ,  $\Delta\text{P}^{\prime}\text{T}$ )

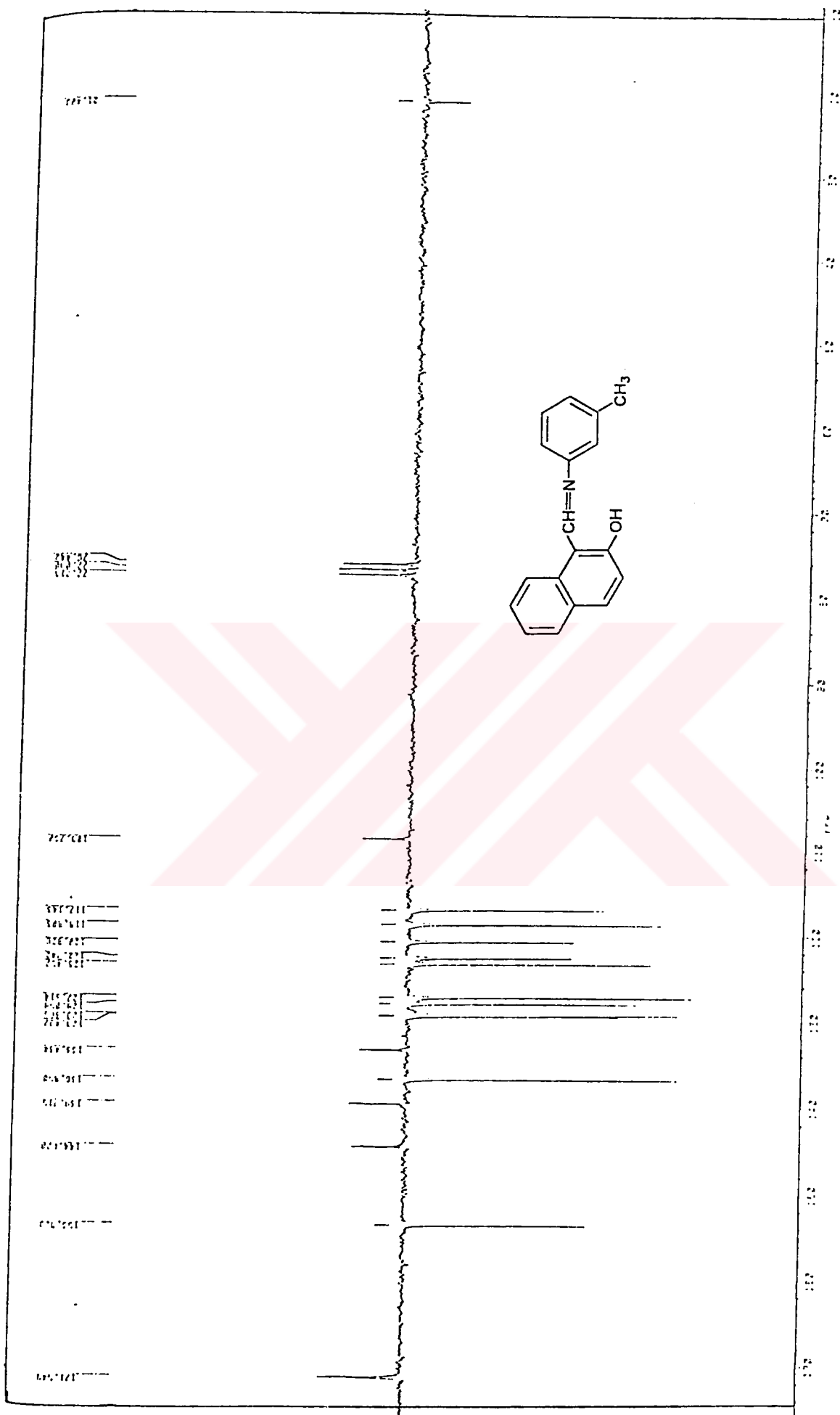




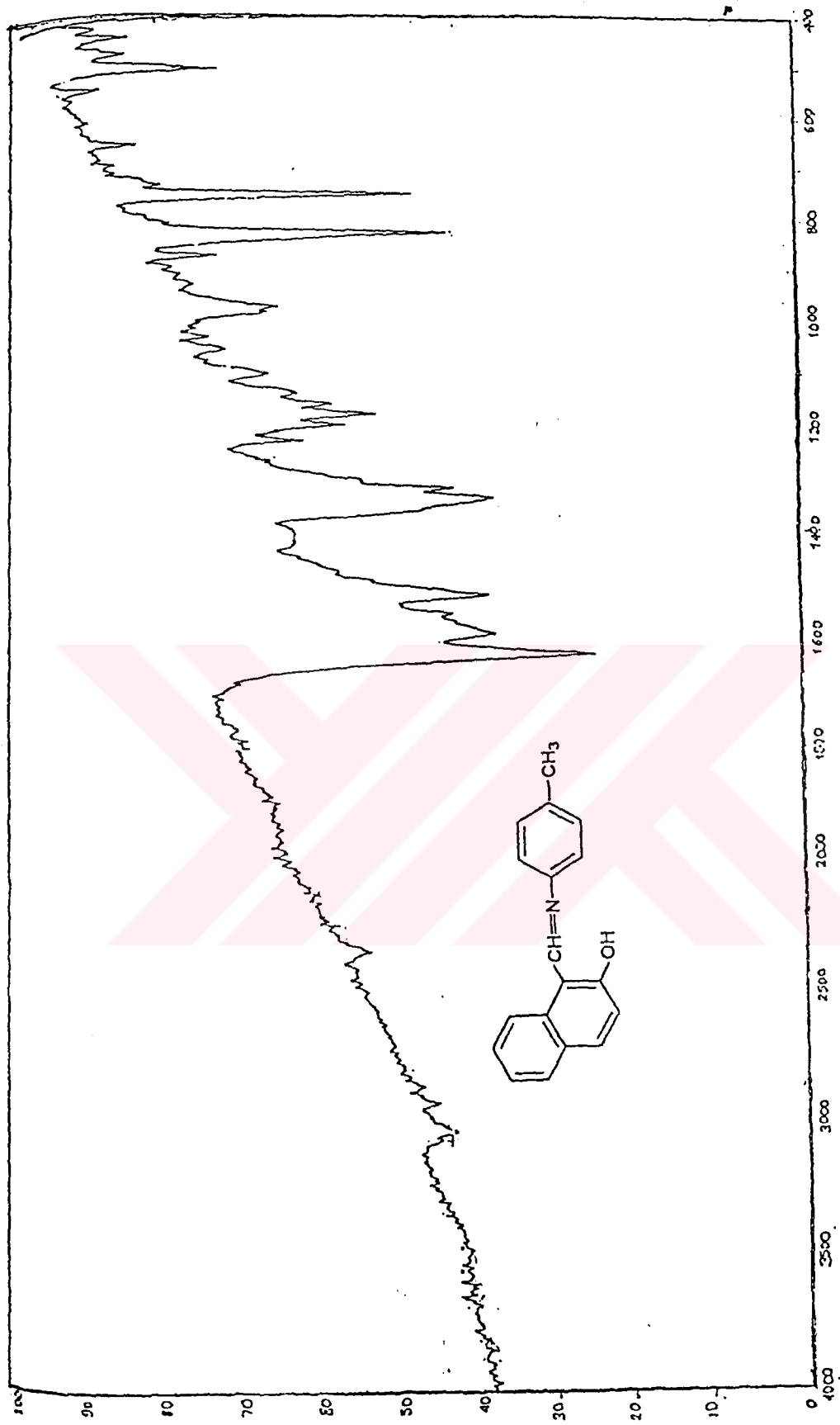
Şekil 8.8 1-(N-metilfenyliminometil)-2-naftol (165c)'ün IR spektrumu



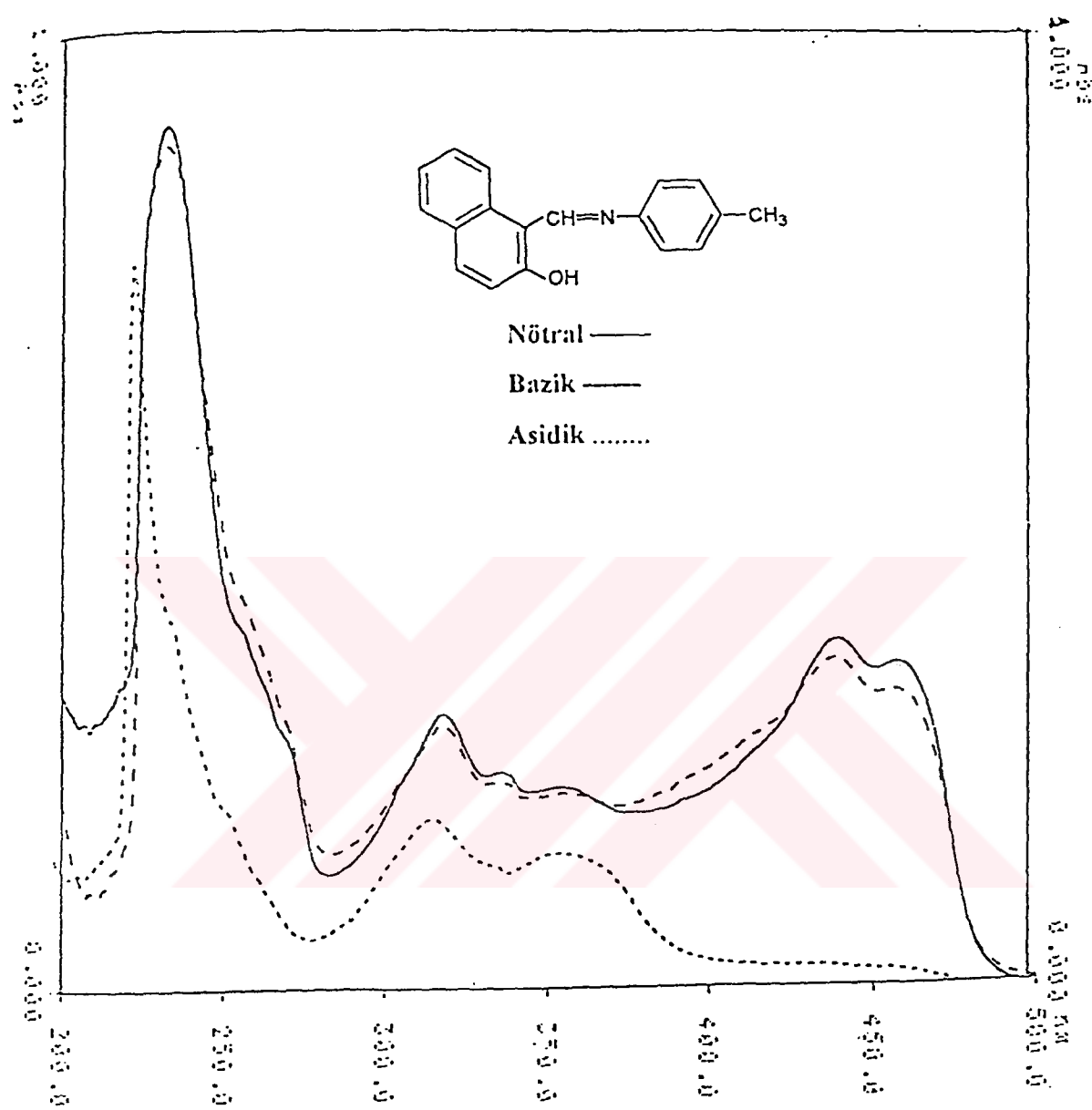
Şekil 8.9 1-(N-meta-metilfeniliminometil)-2-naftol (165c)'ün UV spektrumu



Sekil 8.10 1-(N-methylferiliminometil)-2-naftol (165c)ün  $^{13}\text{C}$ -NMR spektrumu



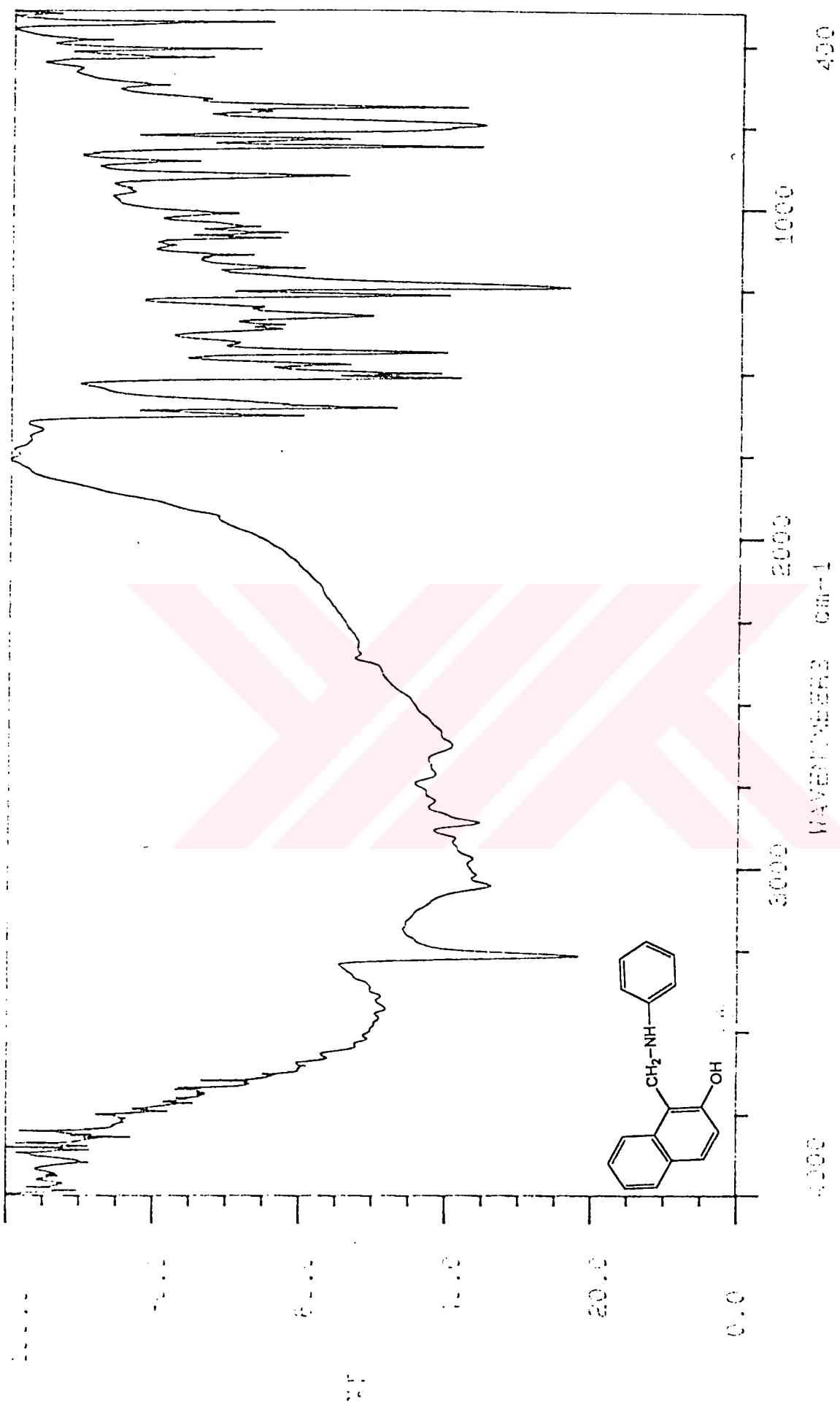
Şekil 8.11 1-(N-para-metilfeniliminometyl)-2-nafiol (165d)'ün IR spektrumu



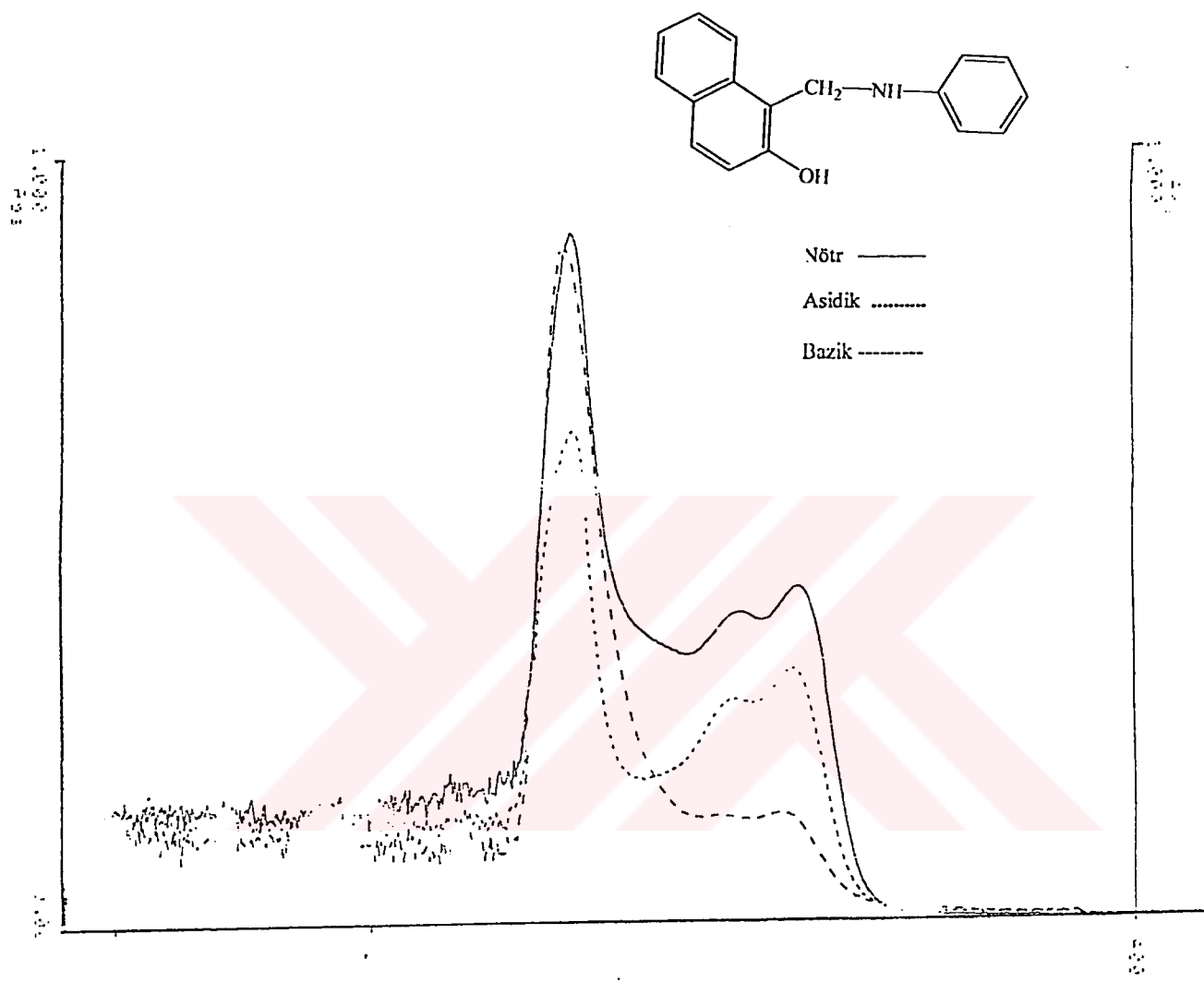
Şekil 8.12 1-(N-para-metilfeniliminometyl)-2-naftol (165d)'ün UVspektrumu

Sekil 8.13 1-(N-para-metileniminometil)-2-naftol (165d)'ün  $^{13}\text{C}$ -NMR spektrumu  $\text{CDCl}_3$ , APT)

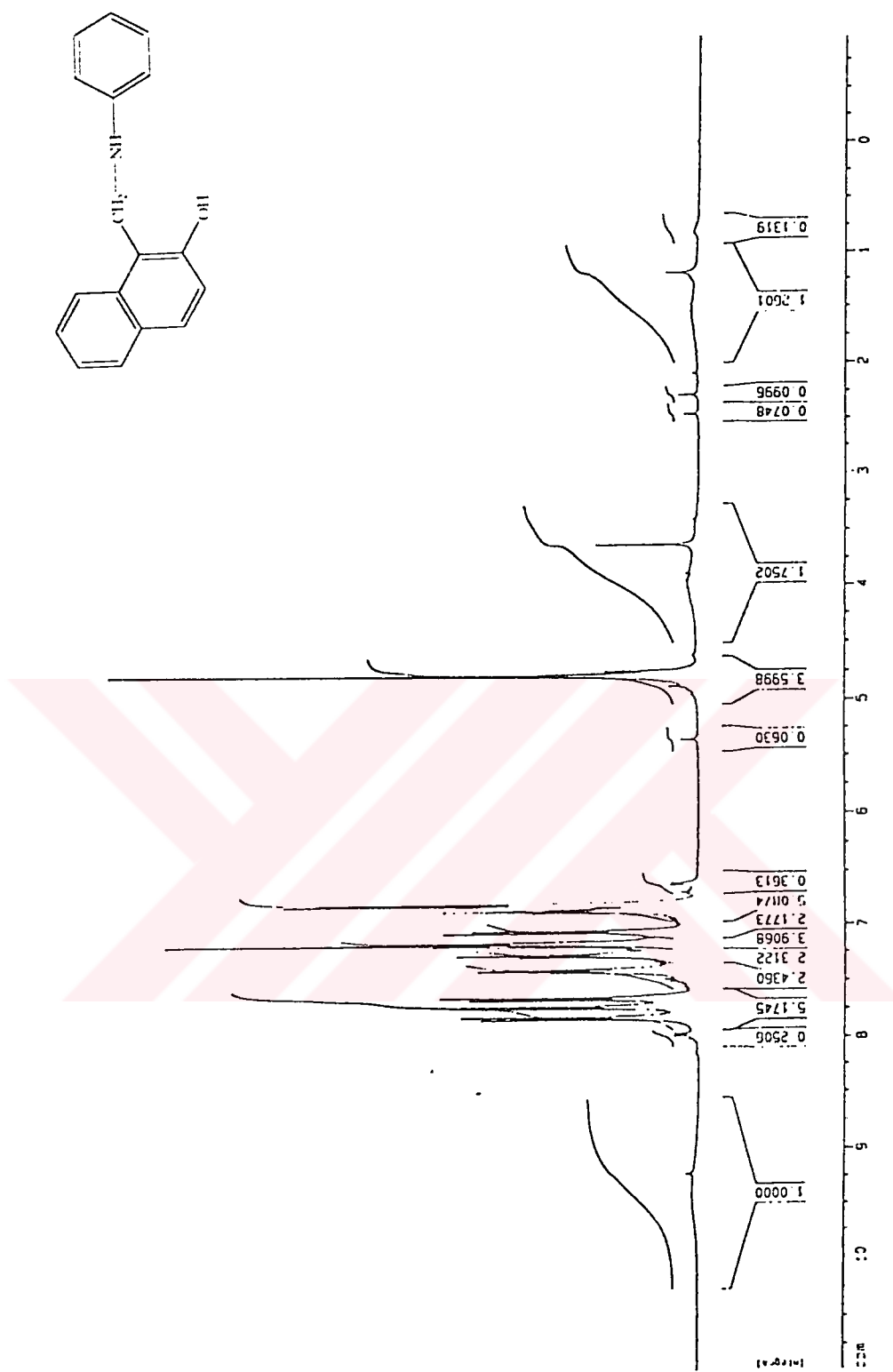




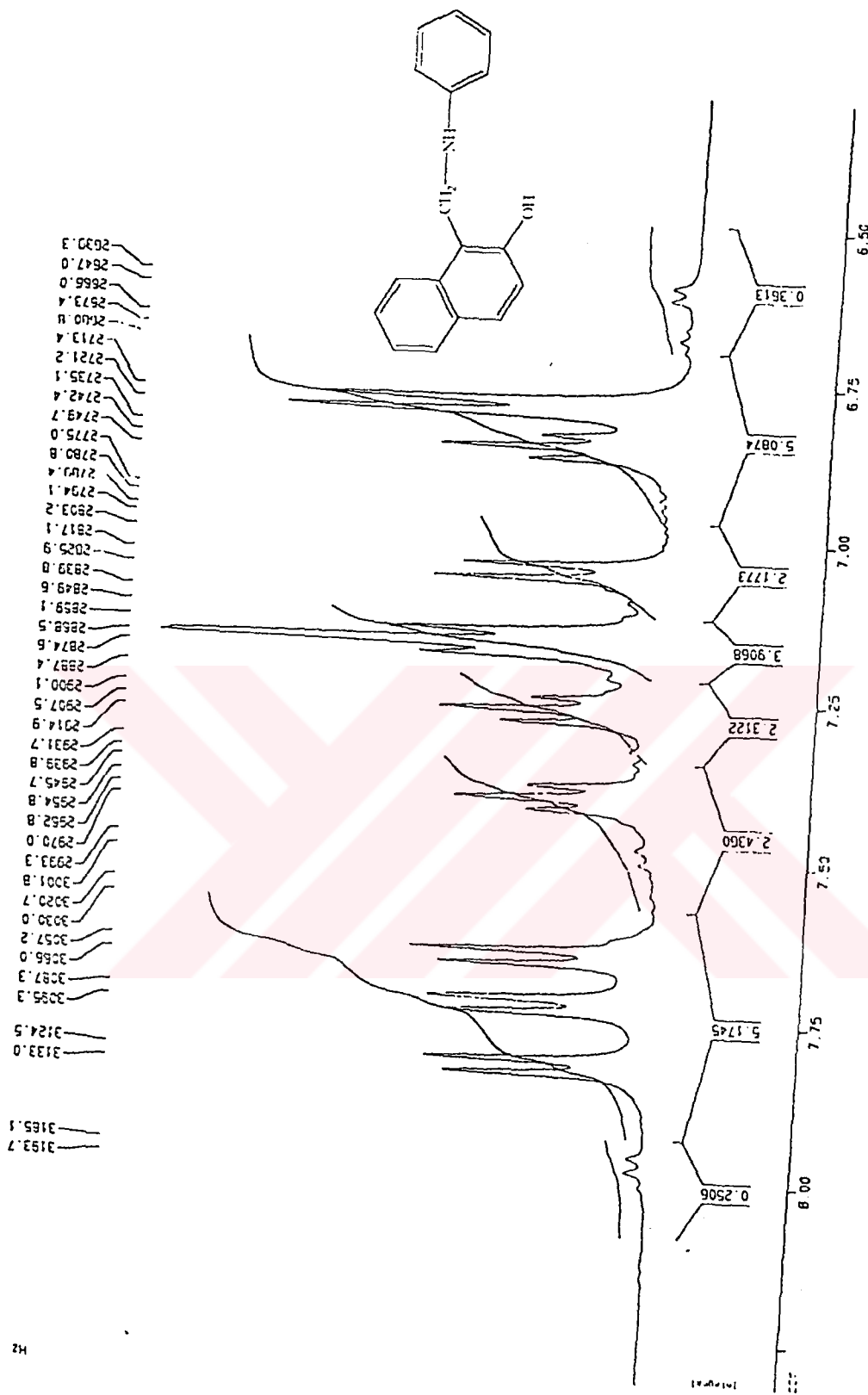
Sekil 8.14 1-(N-fenilaminometil)-2-naftol (16a)'ün IR spektrumu



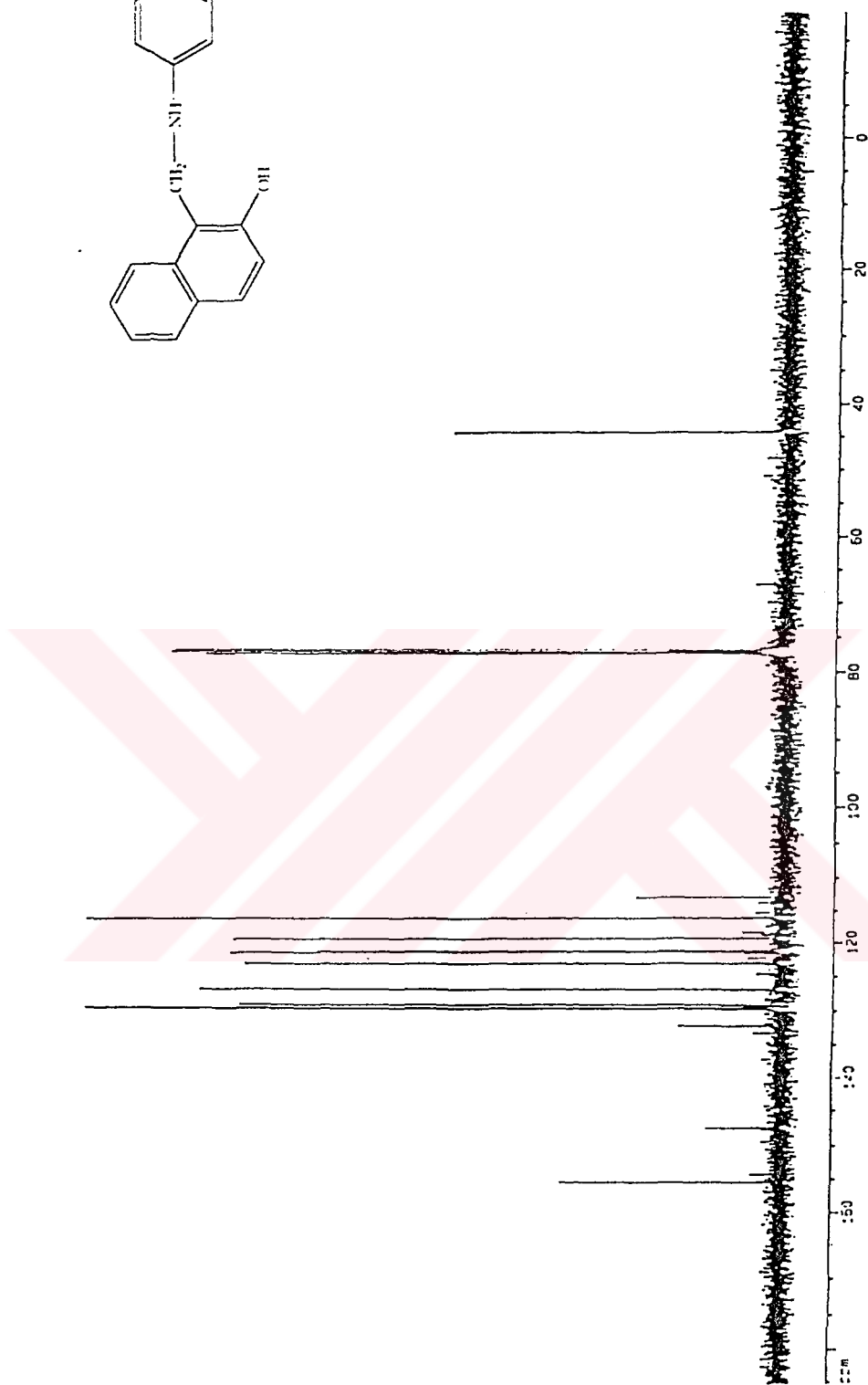
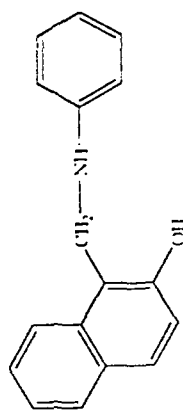
Sekil 8.15 1-(N-fenilaminometil)-2-naftol (166a)'ün UV spektrumu



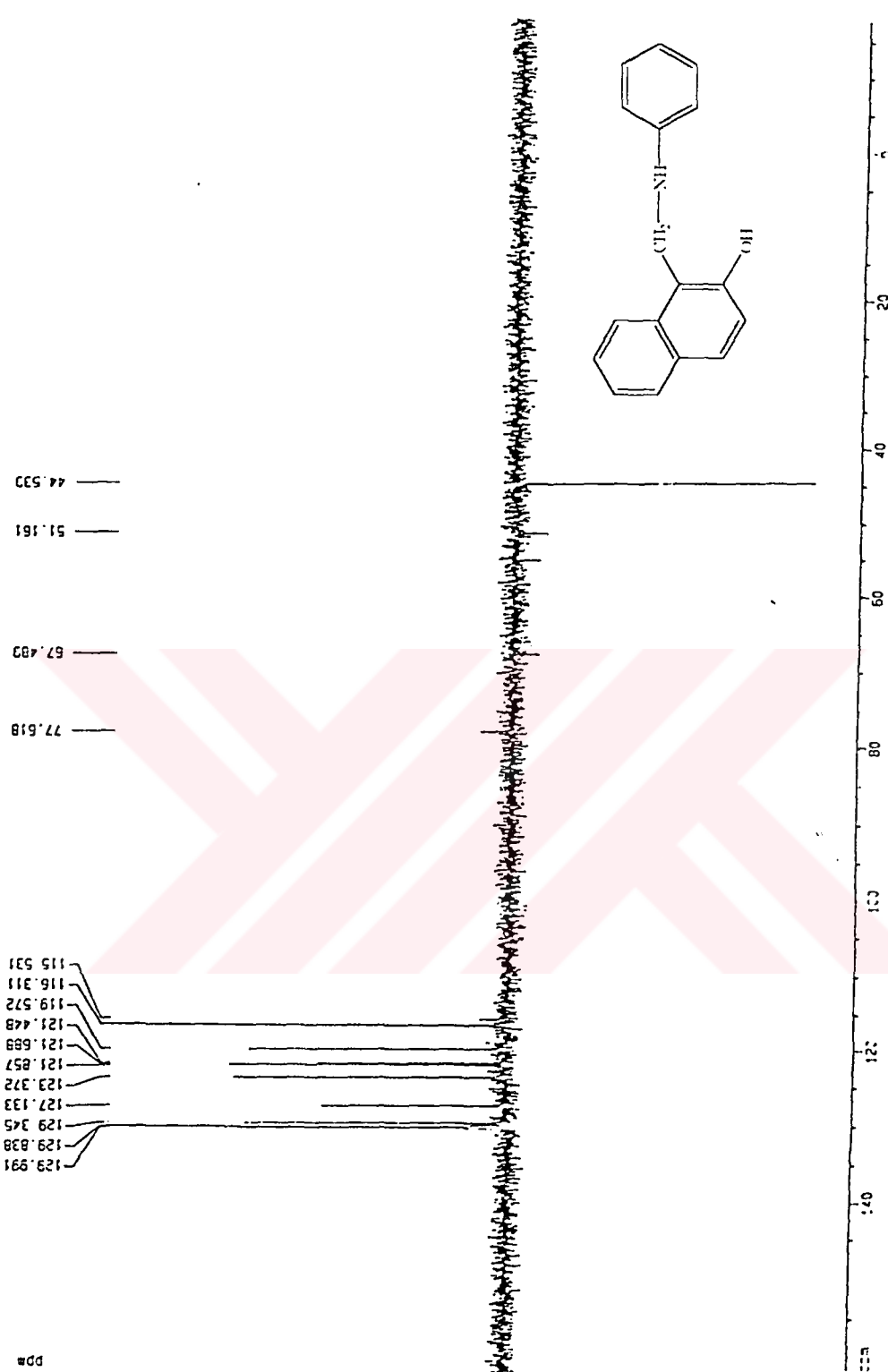
Şekil 8.16 1-(N-fenilaminometil)-2-nafiol (166a)ün  $^1\text{H-NMR}$  spektrumu



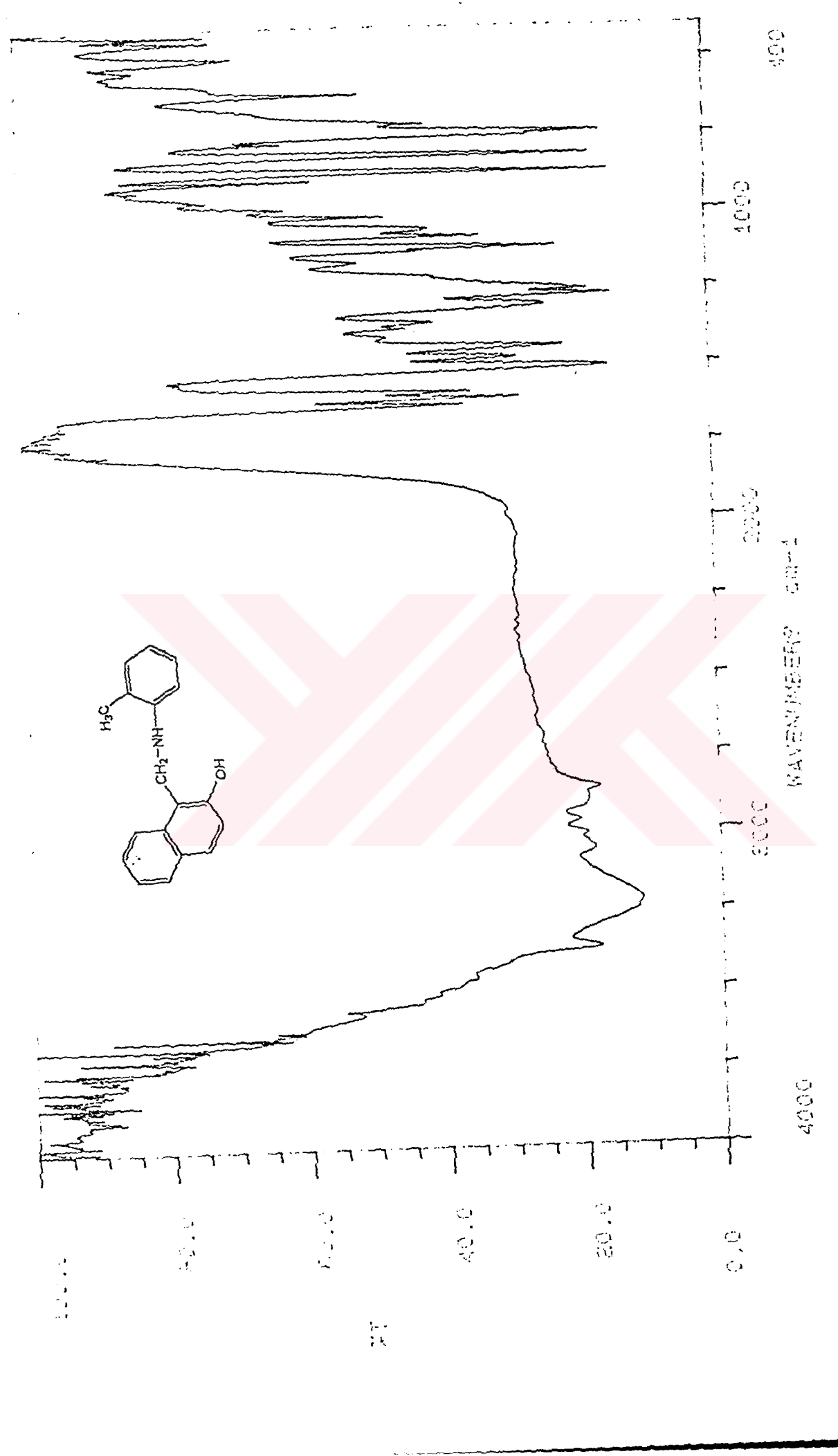
**Sekil 8.16a 1-(*N*-fenilaminometyl)-2-naftol (166a)’nın  $^1\text{H-NMR}$  spektrumu (aromatik bölge genişletilmiş)**



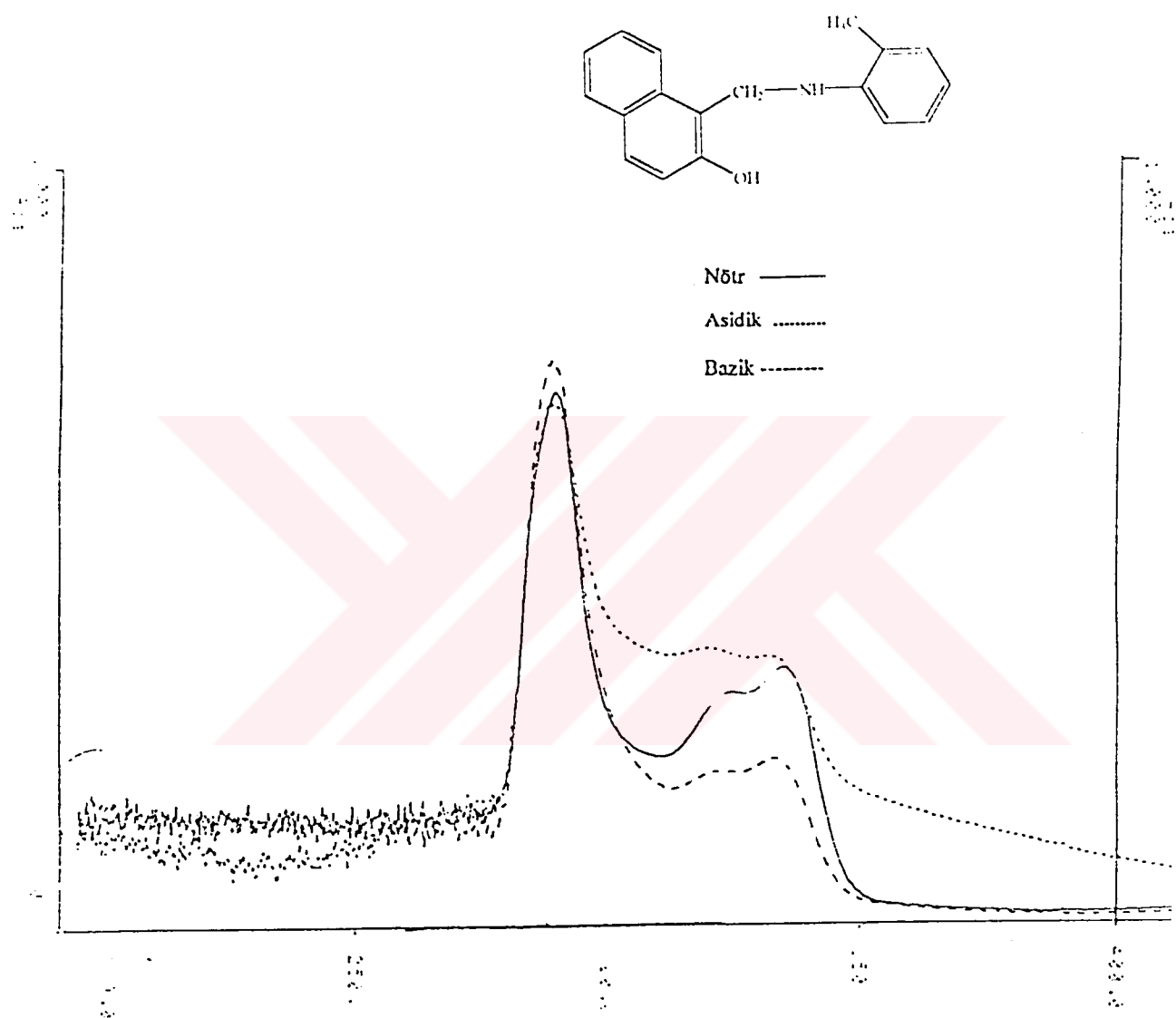
Sekil 8.17 1-(N-fenilaminometil)-2-naftol (166a)ün  $^{13}\text{C}$ -NMR spektrumu



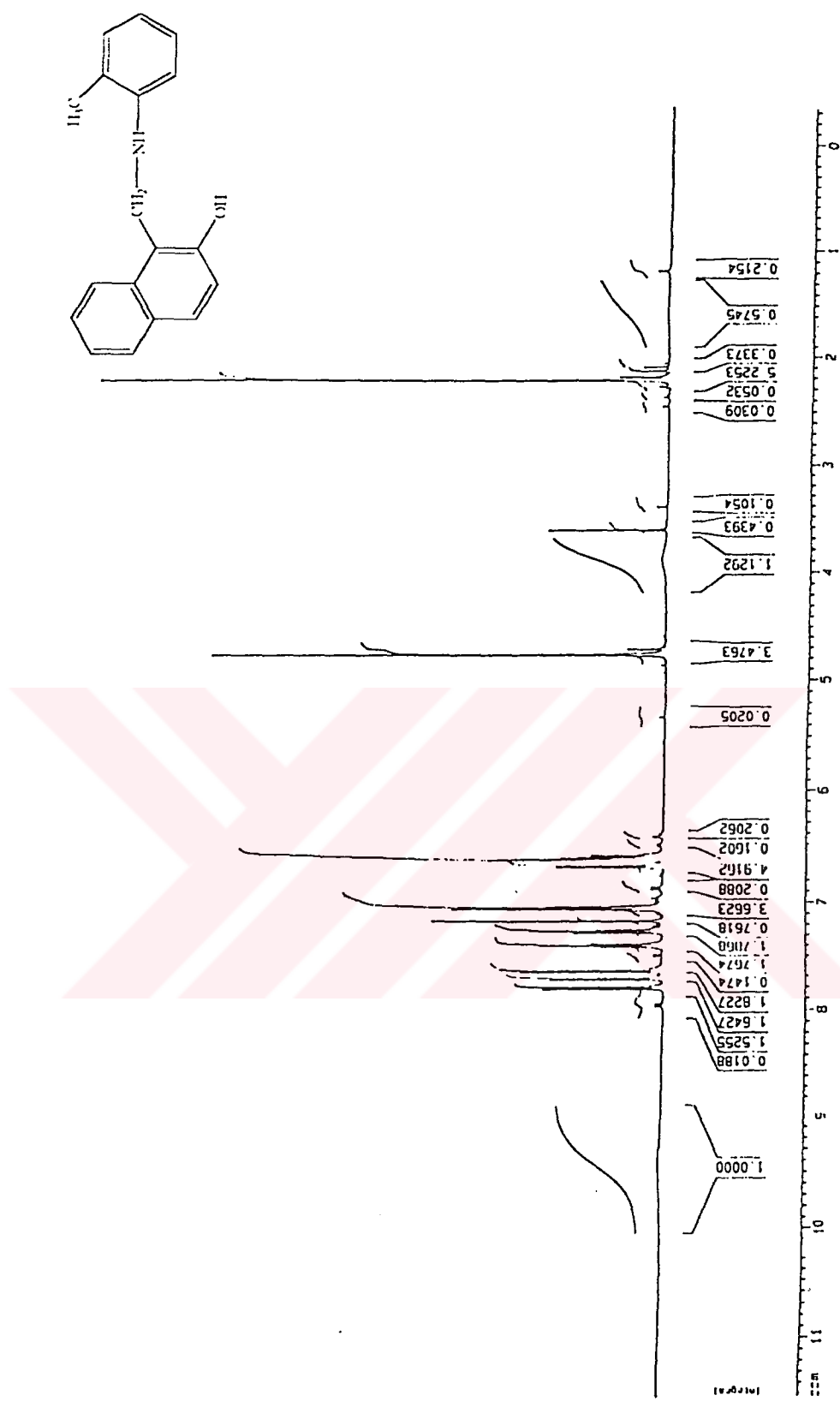
Sekil 8.17a 1-(N-fenilaminometil)-2-nafiol (166a)'ün  $^{13}\text{C}$ -NMR spektrumu (DEPT)



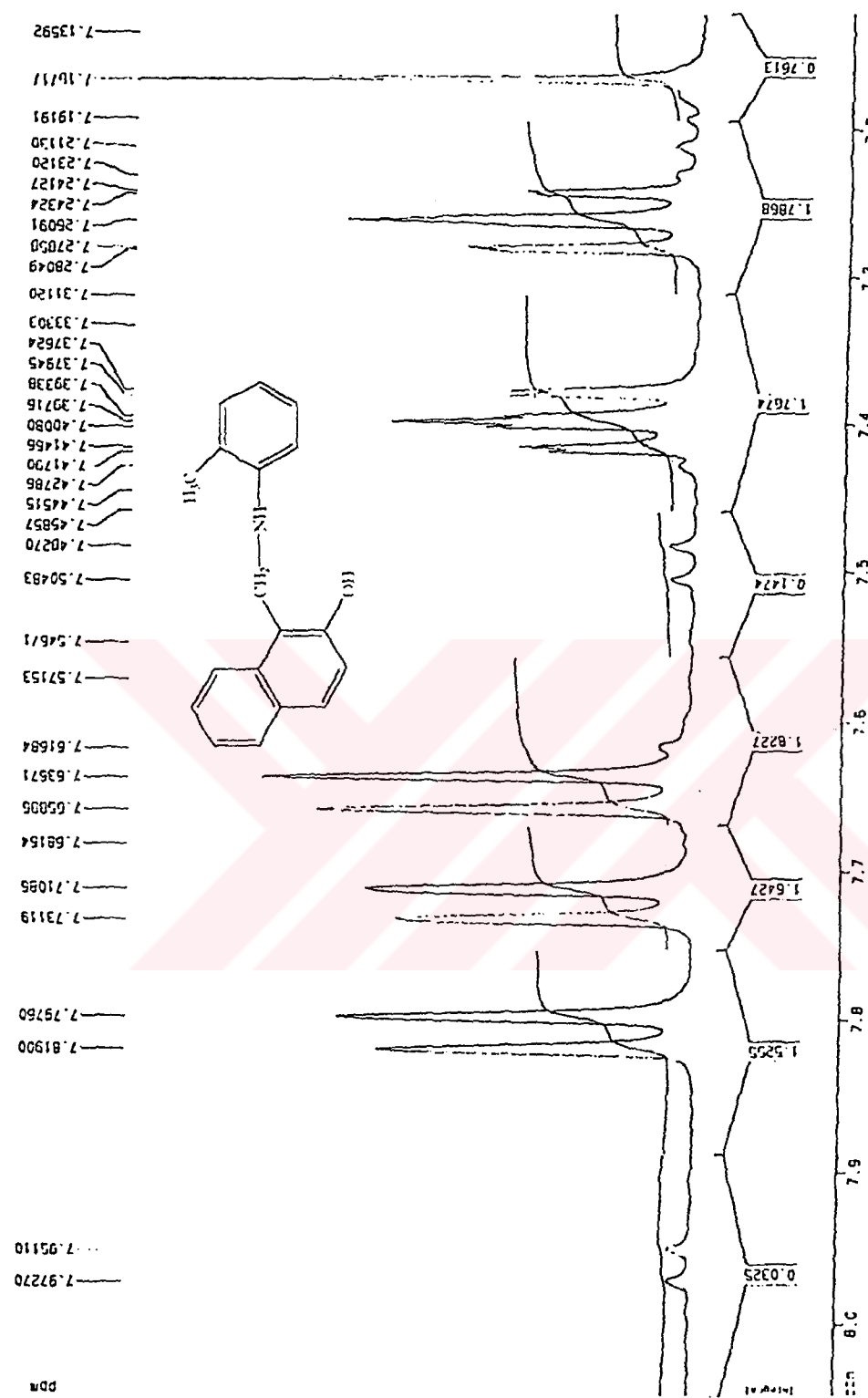
Sekil 8 18 1-(N-ortho-methylaminomethyl)-2-nafol (166b)ün IR spektrumu



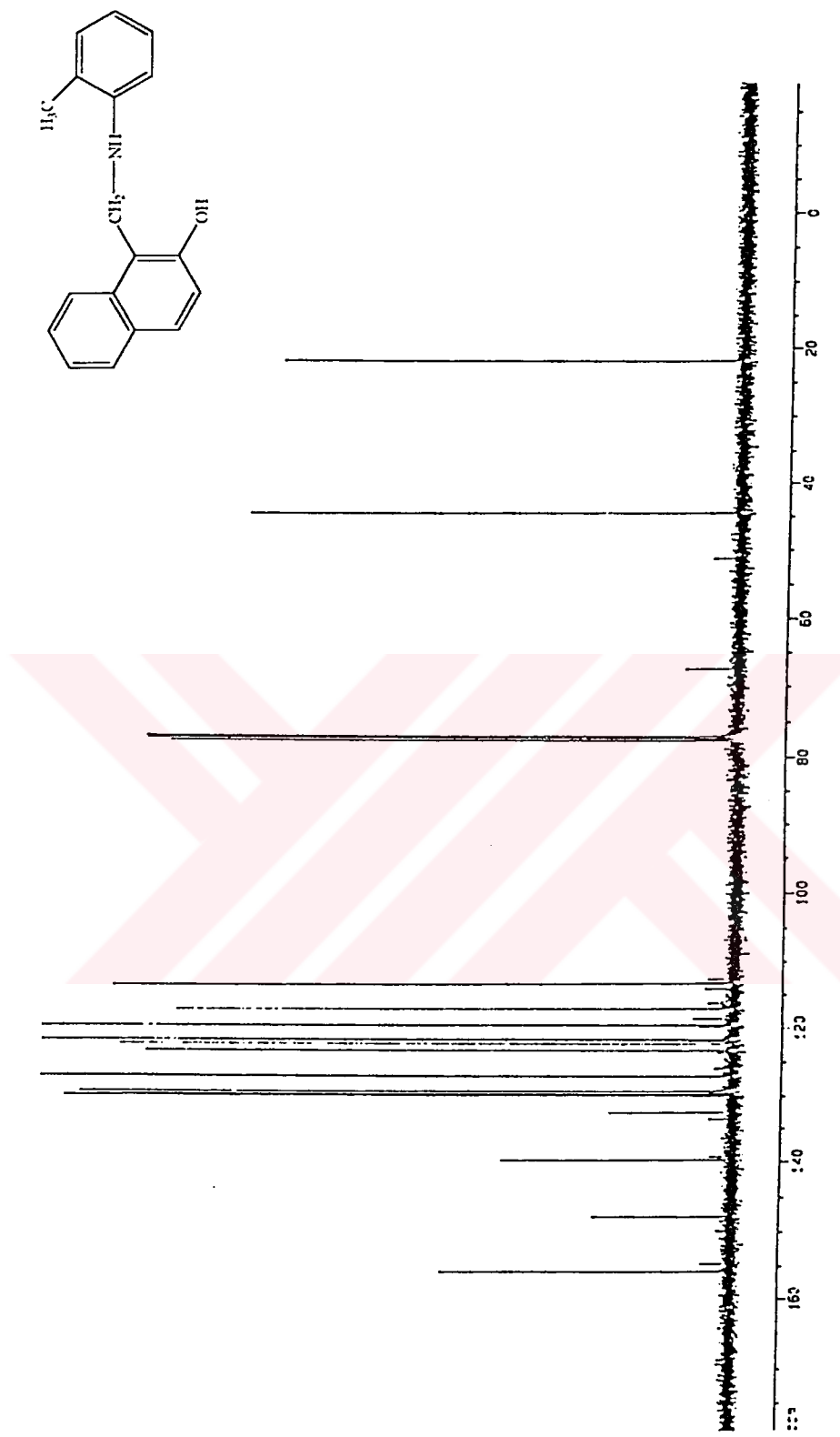
Şekil 8.19 1-(N-*ortho*-metilfenilaminometil)-2-naftol (166b)'ün UV spektrumu



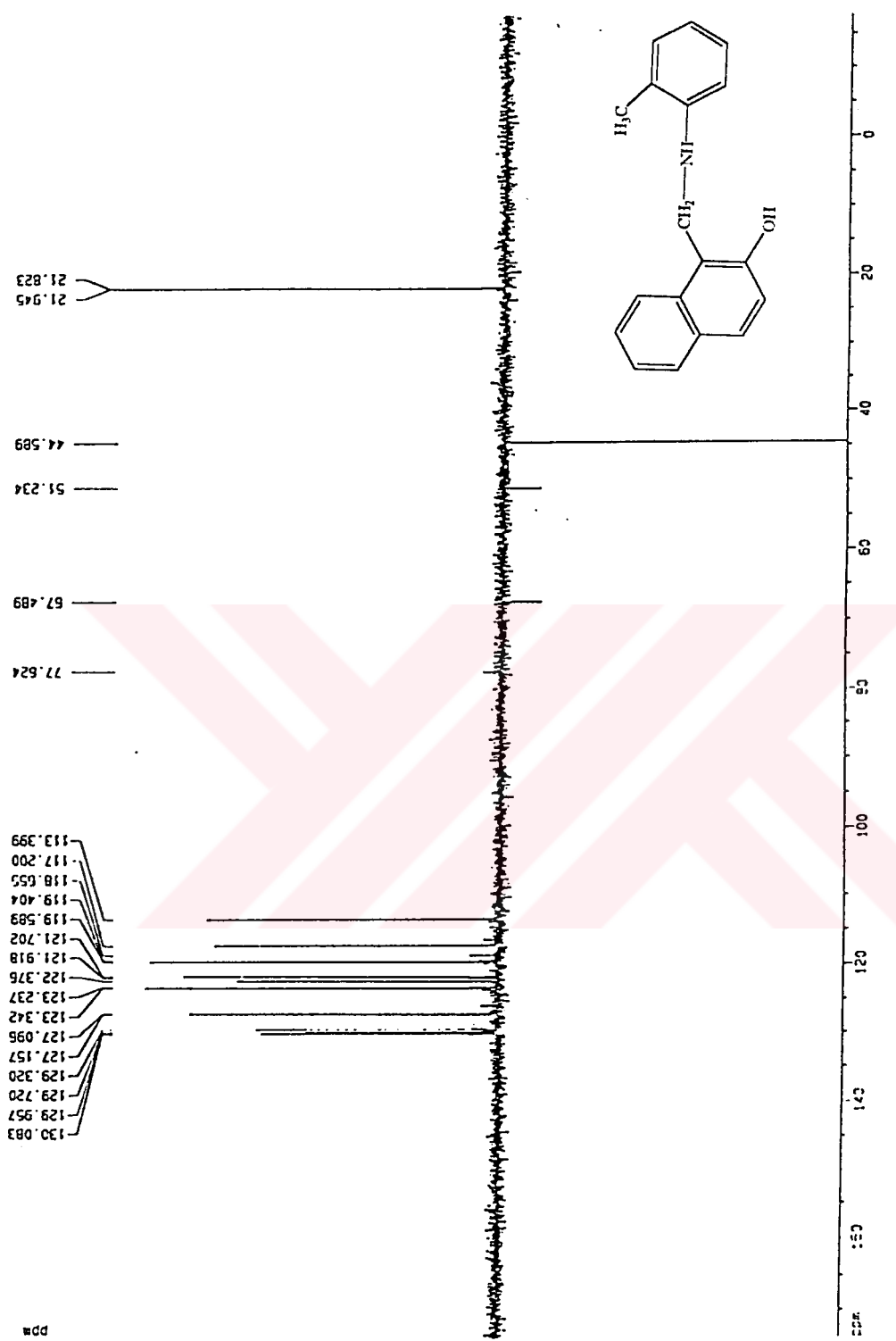
Şekil 8.20 1-(N-ortho-metilsfenilaminometil)-2-naftol (166b)ün  $^1\text{H-NMR}$  spektrumu



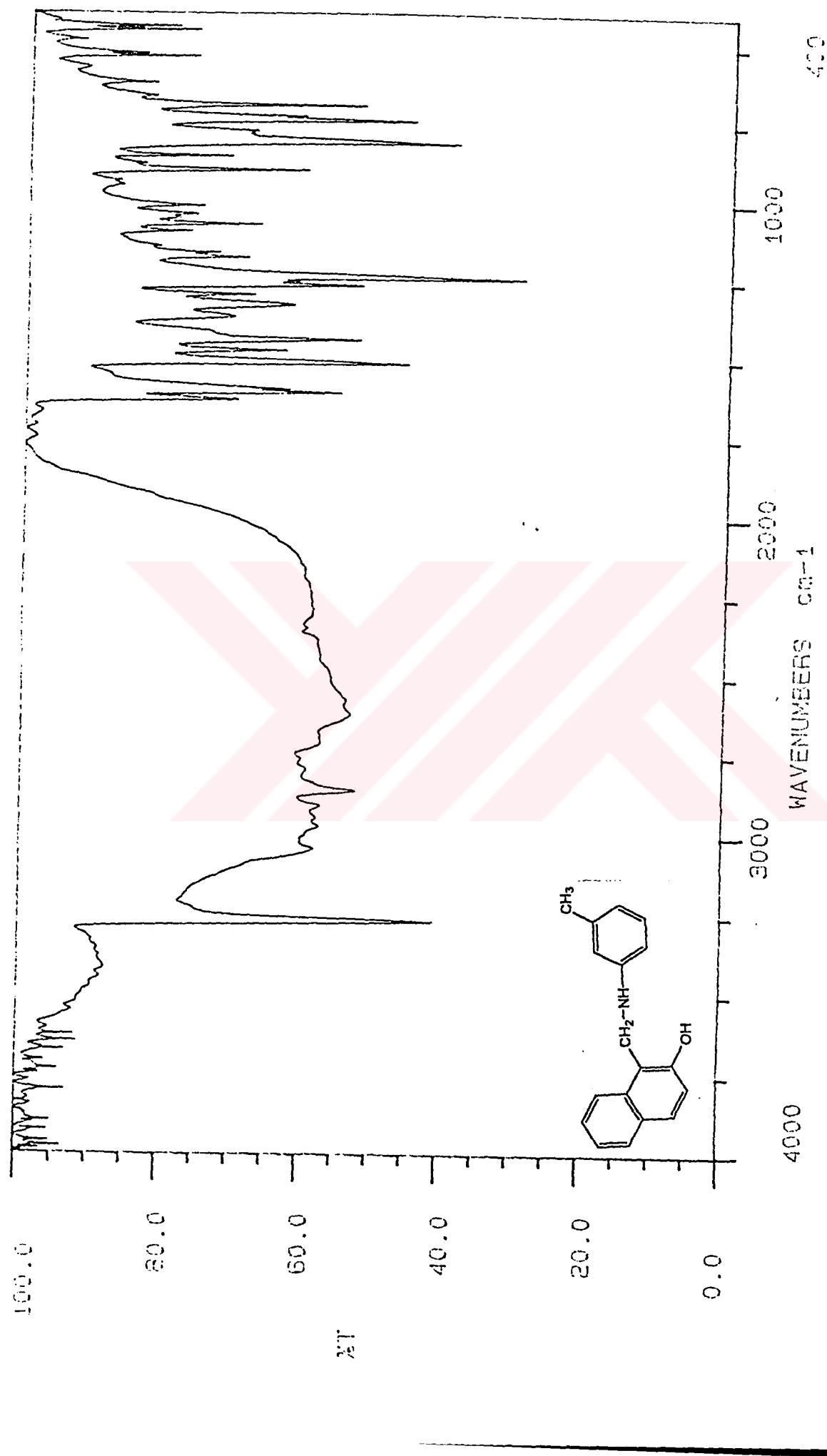
**Şekil 8.20a** 1-(N-*ortho*-metylfenilaminometil)-2-naftol (166b)ün  $^1\text{H-NMR}$  spektrumu (aromatik bölge genişletilmiş)



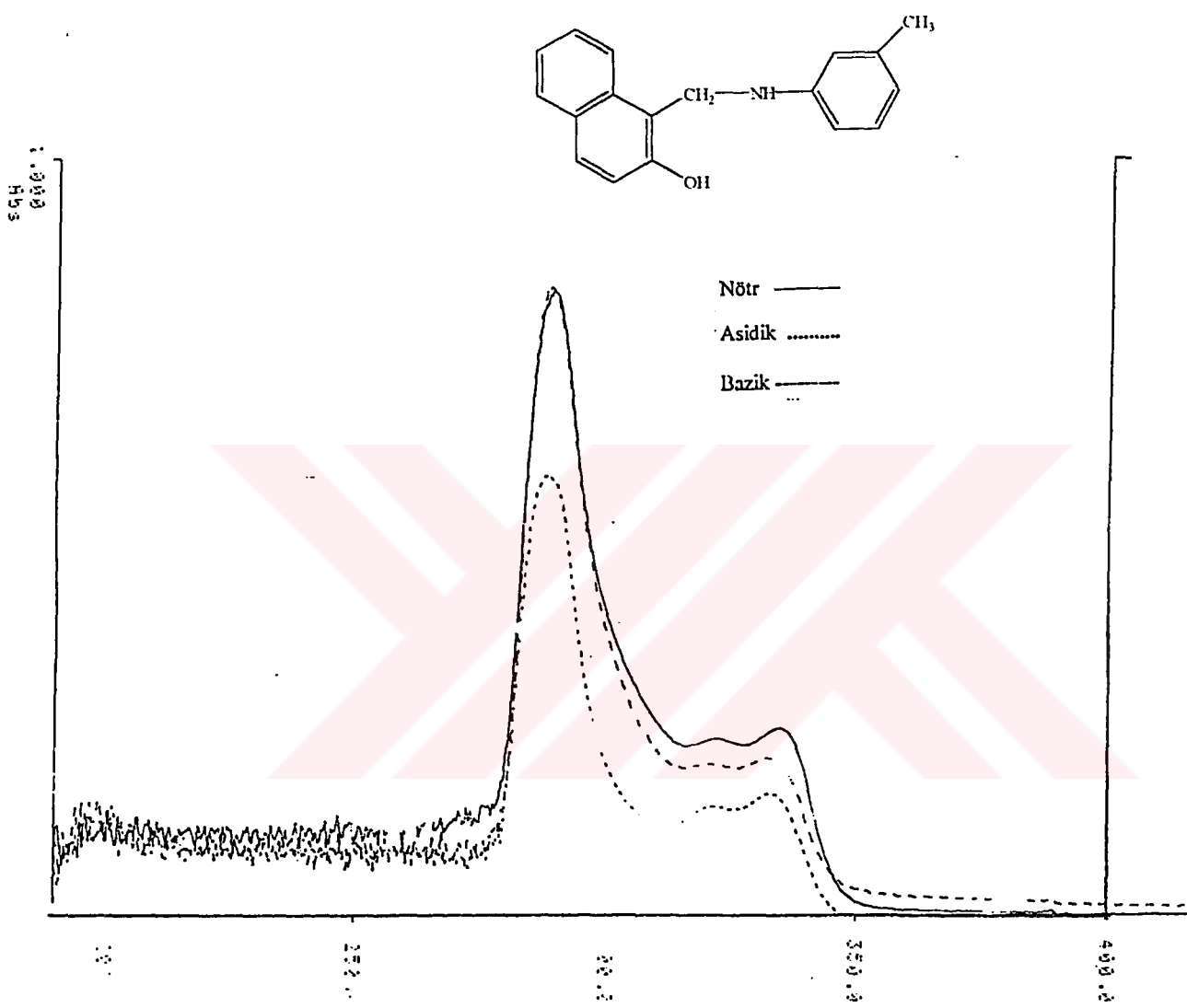
Sekil 8.21 1-(N-ortho-metilfenilaminometil)-2-naftol (166b)'ün  $^{13}\text{C}$ -NMR spektrumu



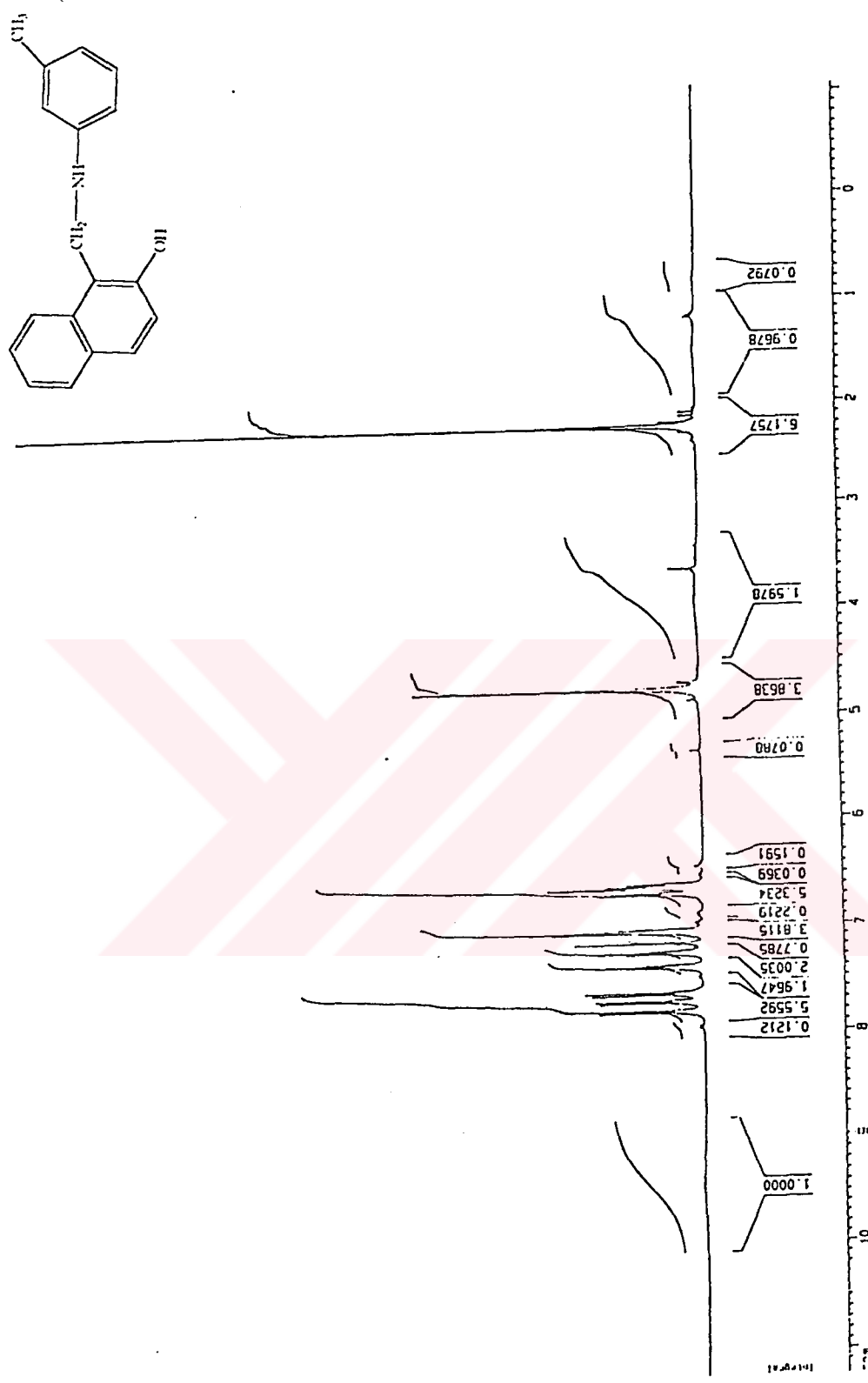
Sekil 8.21a 1-(N-ortho-metilenaminometil)-2-naftol (166b)'ün  $^{13}\text{C}$ -NMR spektrumu (DEPT)



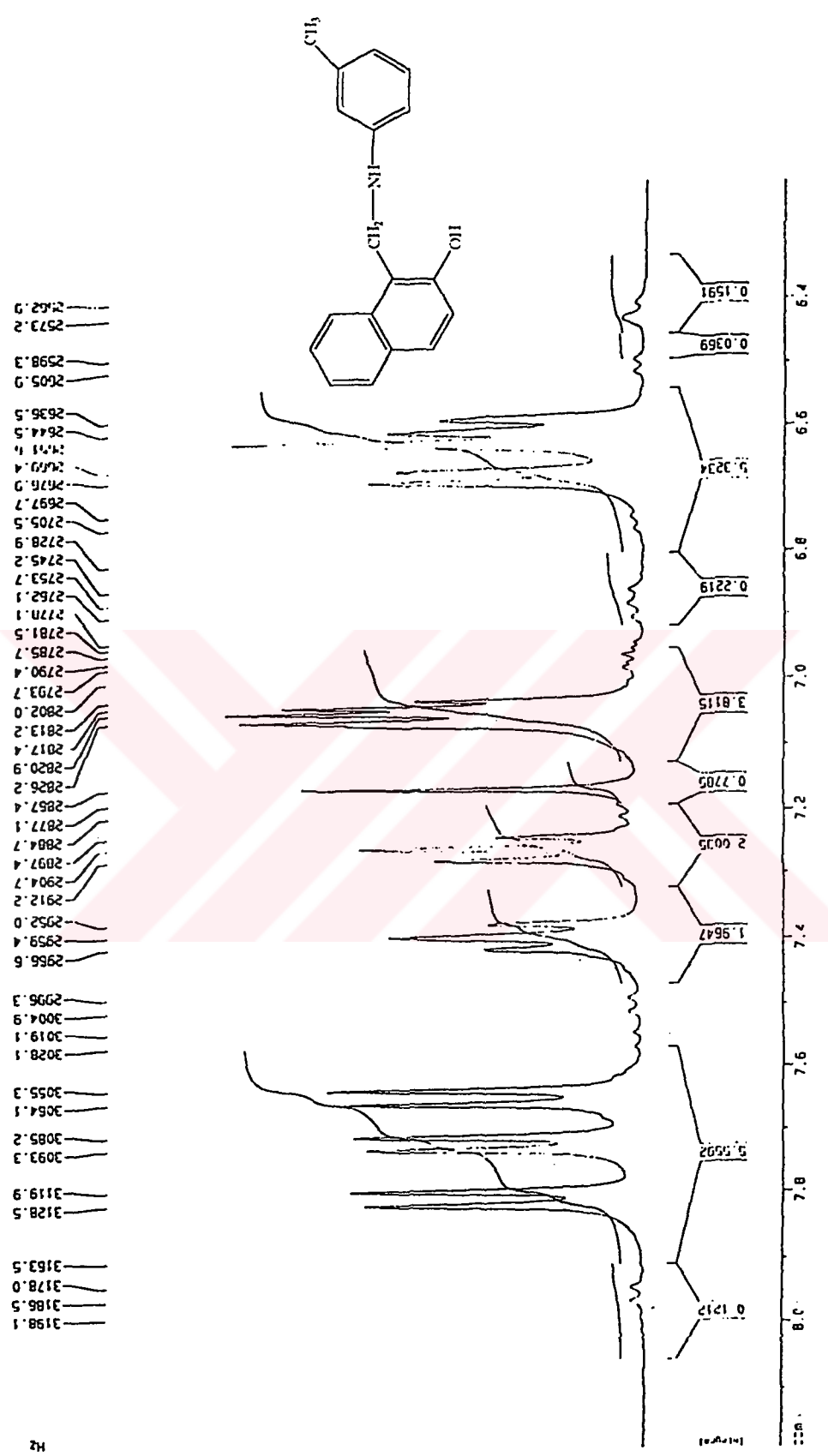
**Şekil 8.22** 1-(N-metila-minometyl)-2-naftol (166c)'ün IR spektrumu



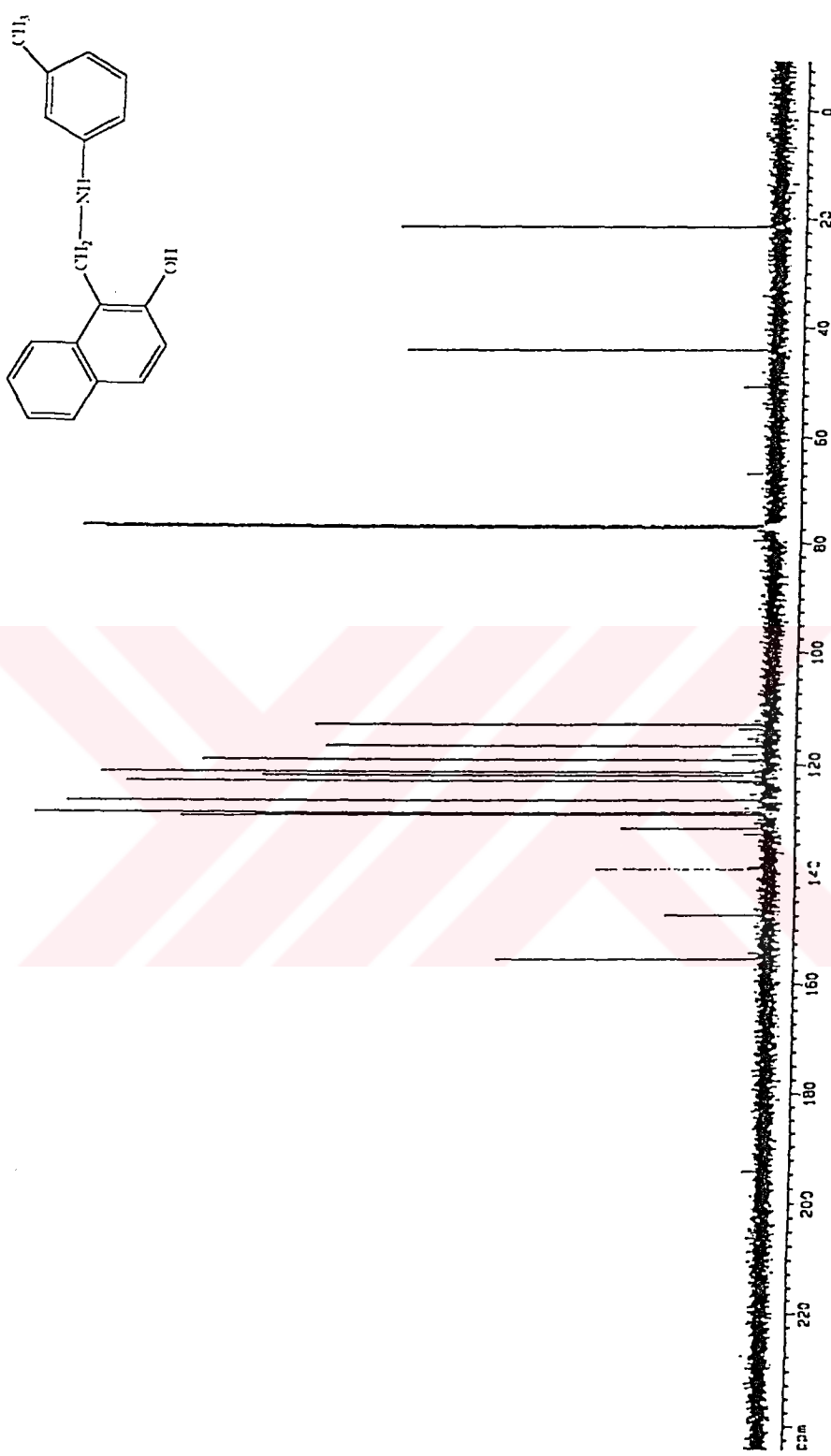
Şekil 8.23 1-(N-meta-metilfenilaminometil)-2-naftol (166c)'ün UV spektrumu



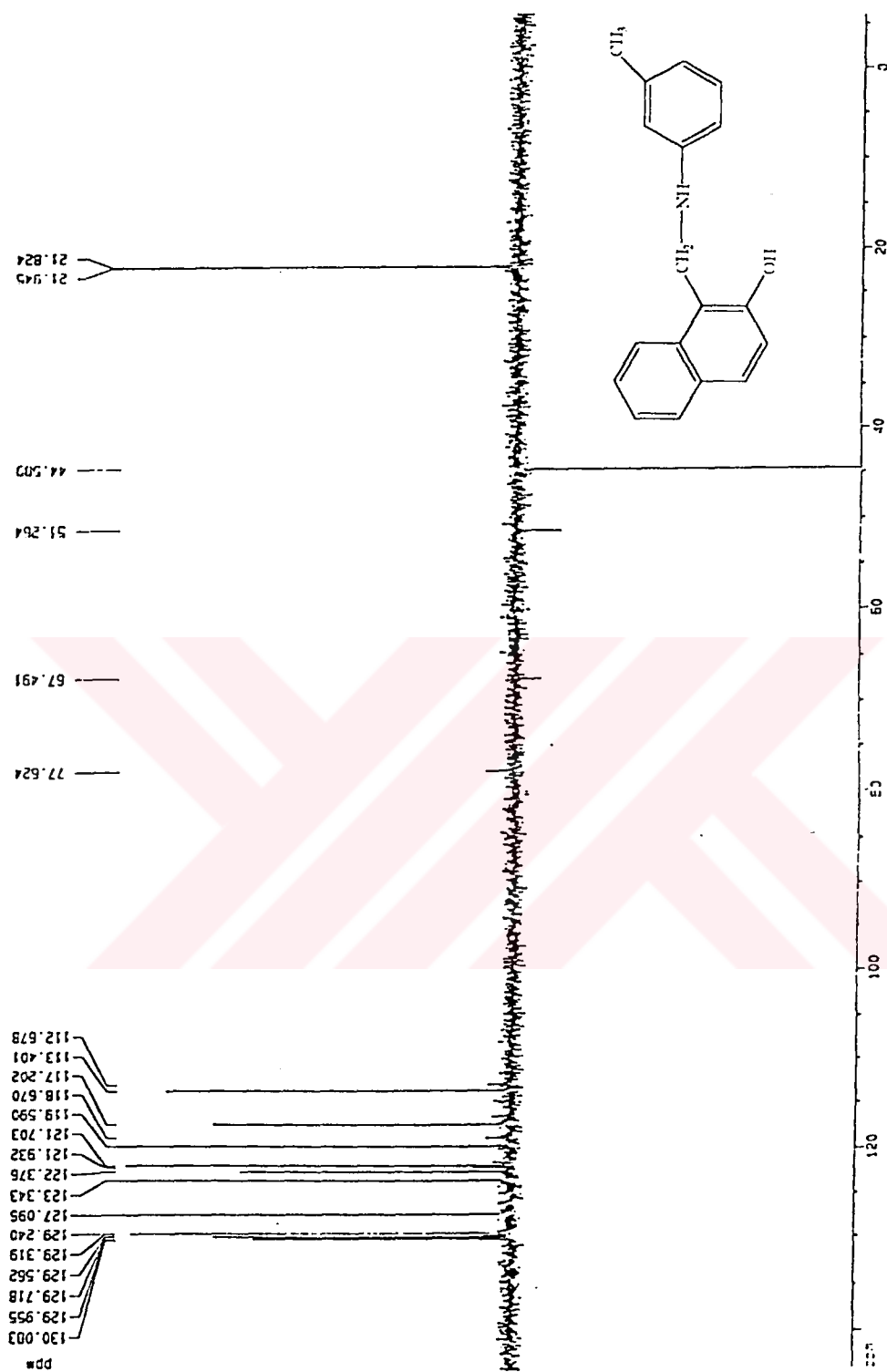
Sekil 8.24 1-(N-metifenilaminometil)-2-naftol (166c)'ün <sup>1</sup>H-NMR spektrumu



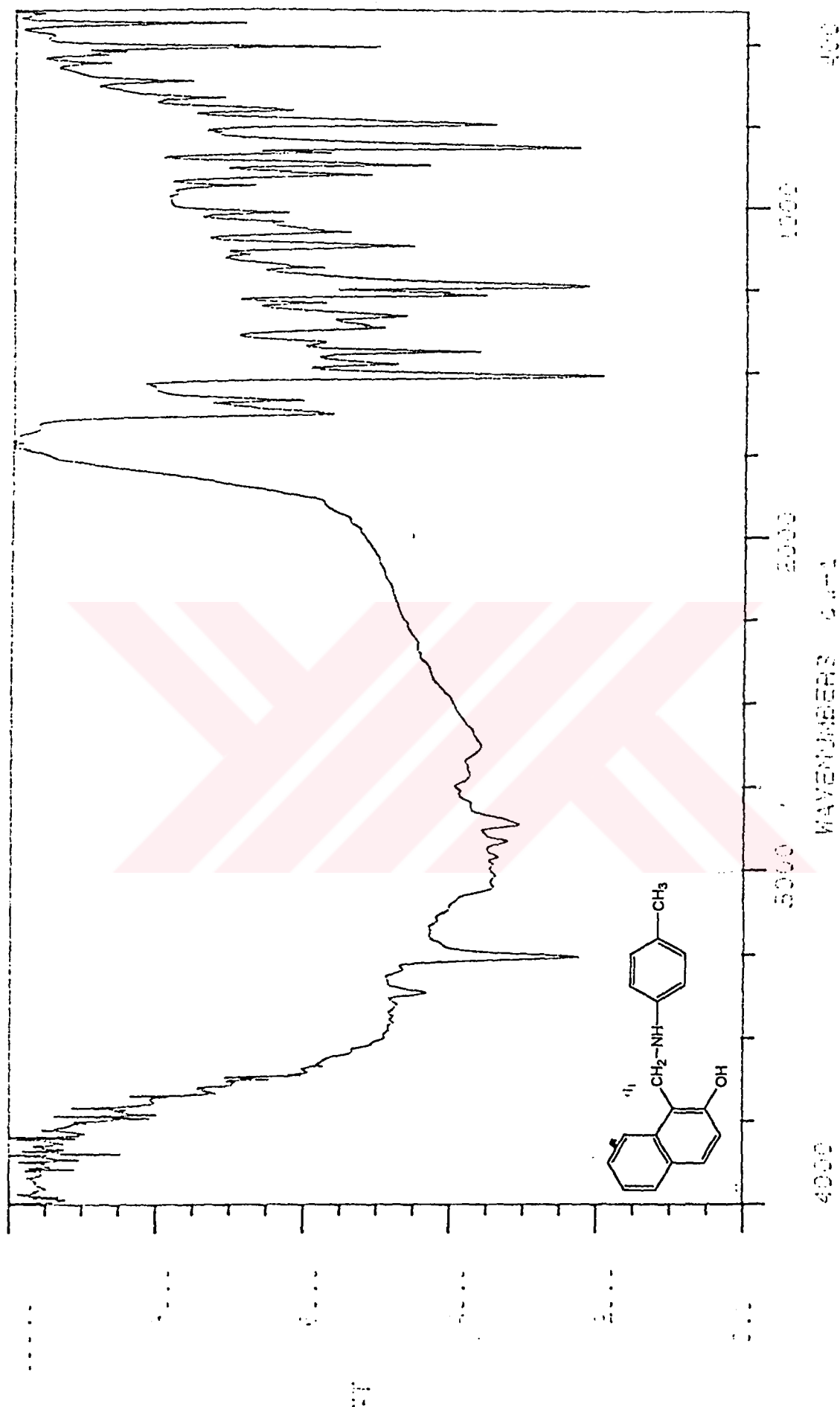
Sekil 8.24a 1-(N-metilbenzylaminometyl)-2-naftol (166c)'ün  $^1\text{H-NMR}$  spektrumu (aromatik bölge genişletilmiş)



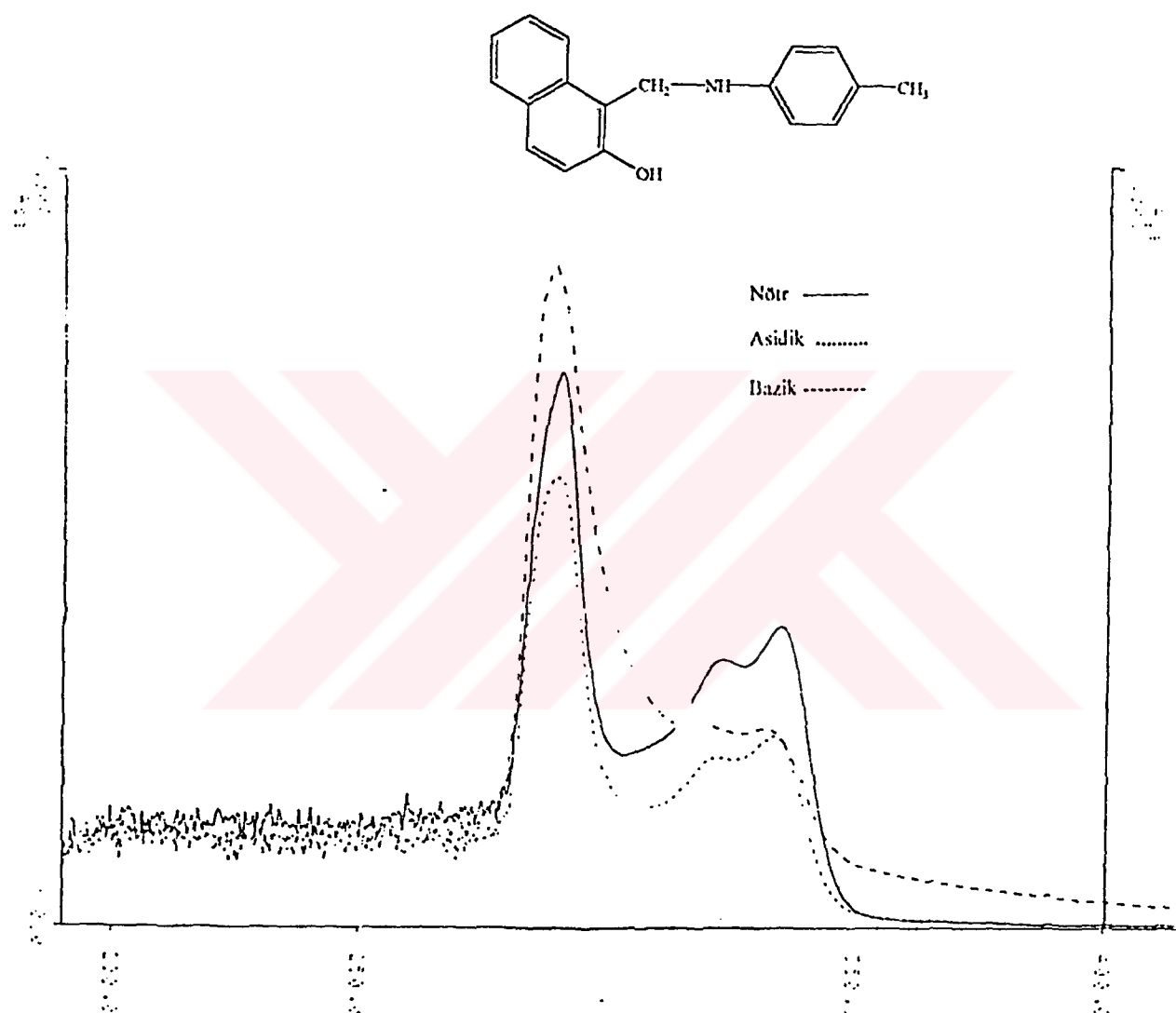
Şekil 8.25 1-(N-metilenaminometyl)-2-naftol (166c)'ün <sup>13</sup>C-NMR spektrumu



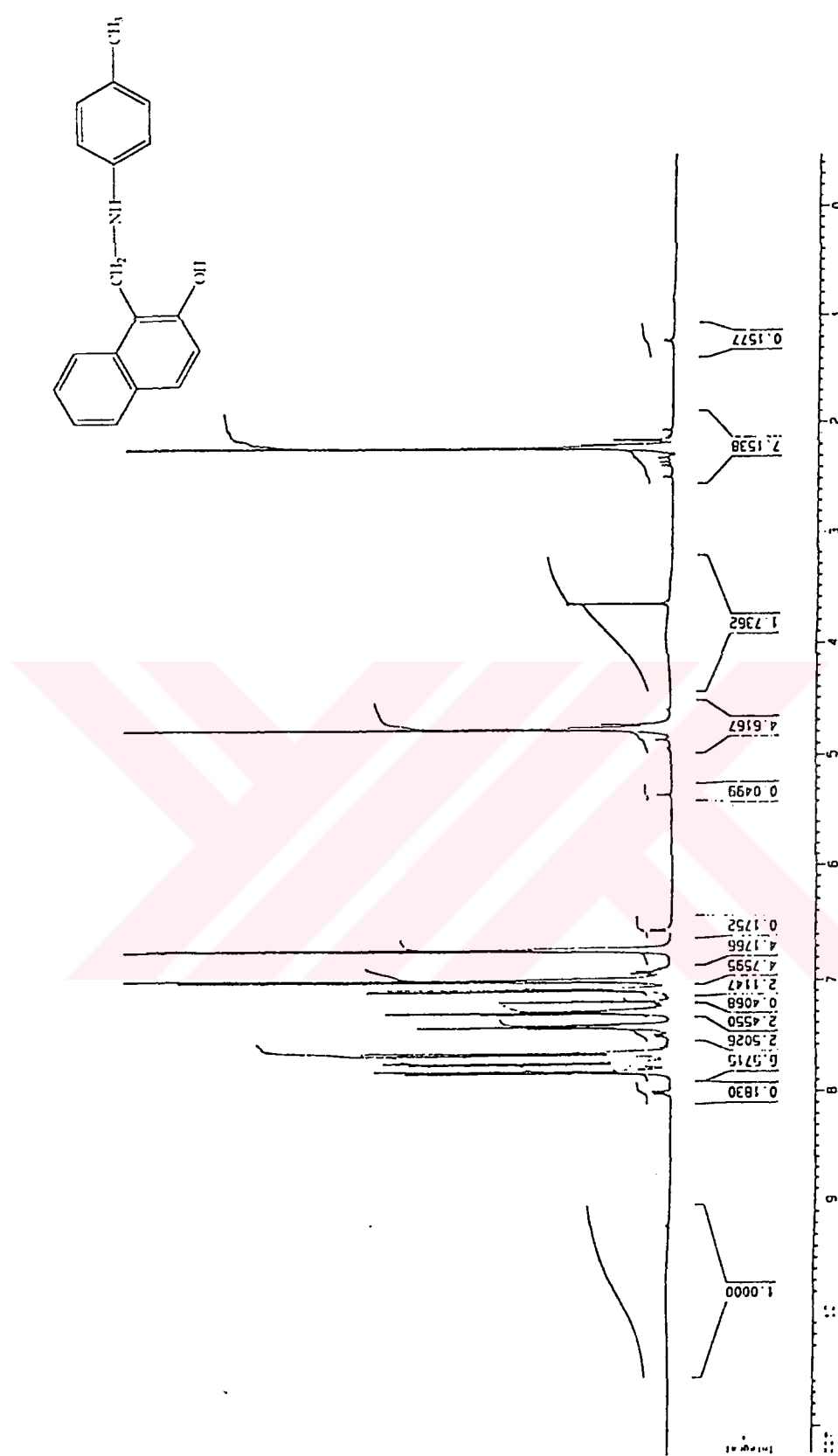
Sekil 8.25a 1-(N-metilfenilaminometil)-2-naftol (166c)'ün  $^{13}\text{C}$ -NMR spektrumu (DEPT)



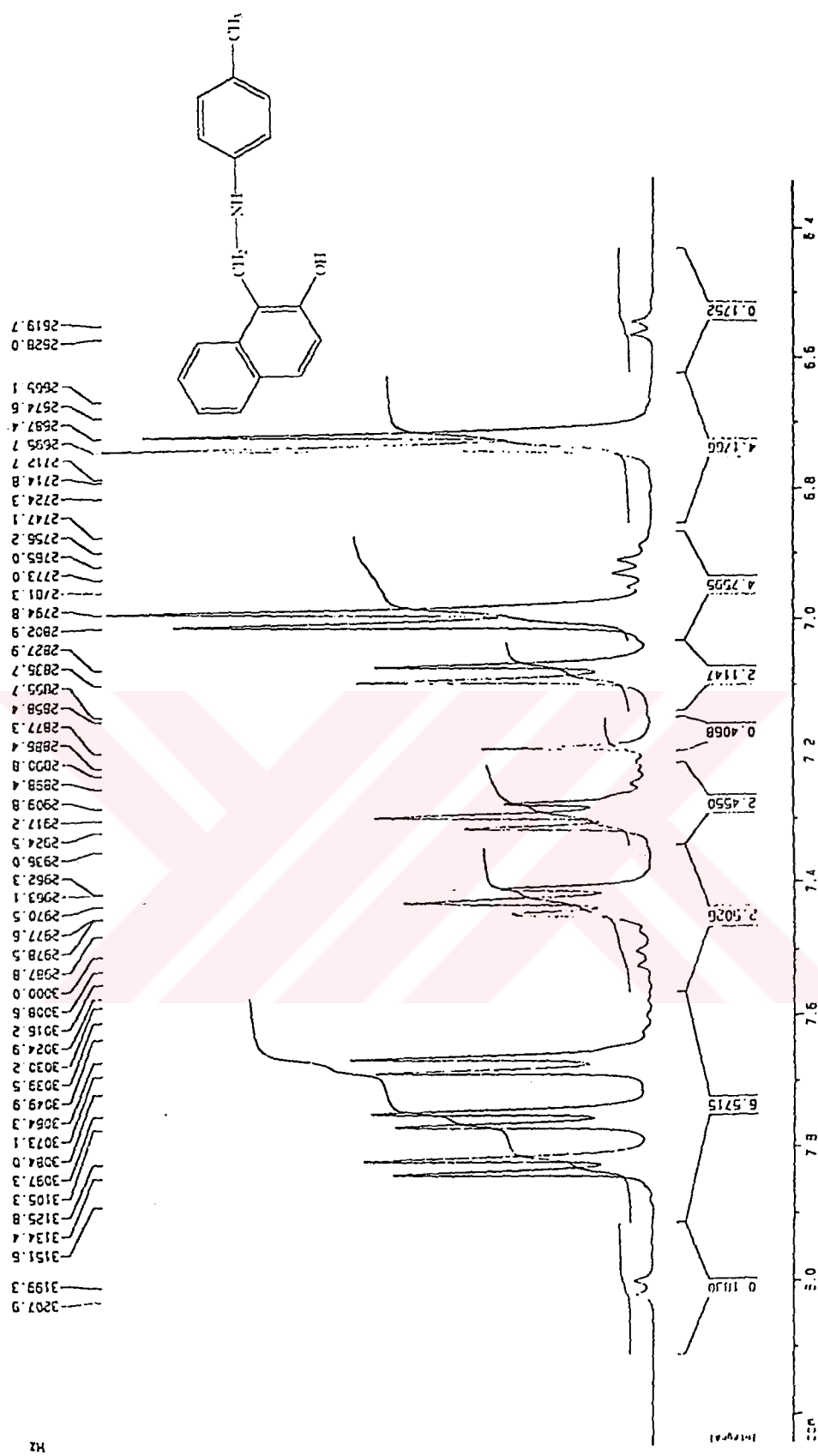
Sekil 8.26 1-(N-para-metilfenilaminometil)-2-naftol (166d)ün IR spektrumu



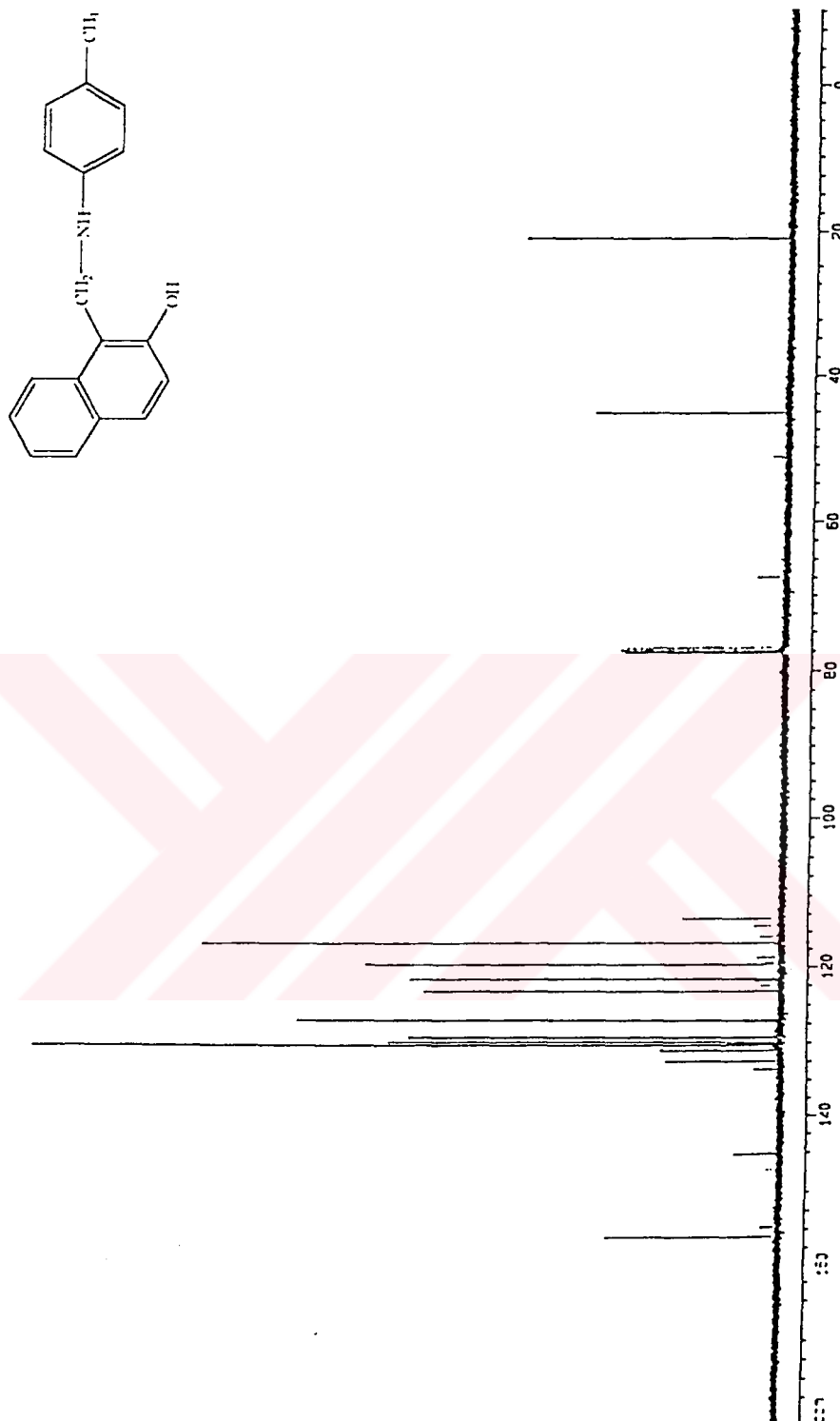
Şekil 8.27 1-(N-para-metilsfenilaminometil)-2-naftol (166d)'ün UV spektrumu



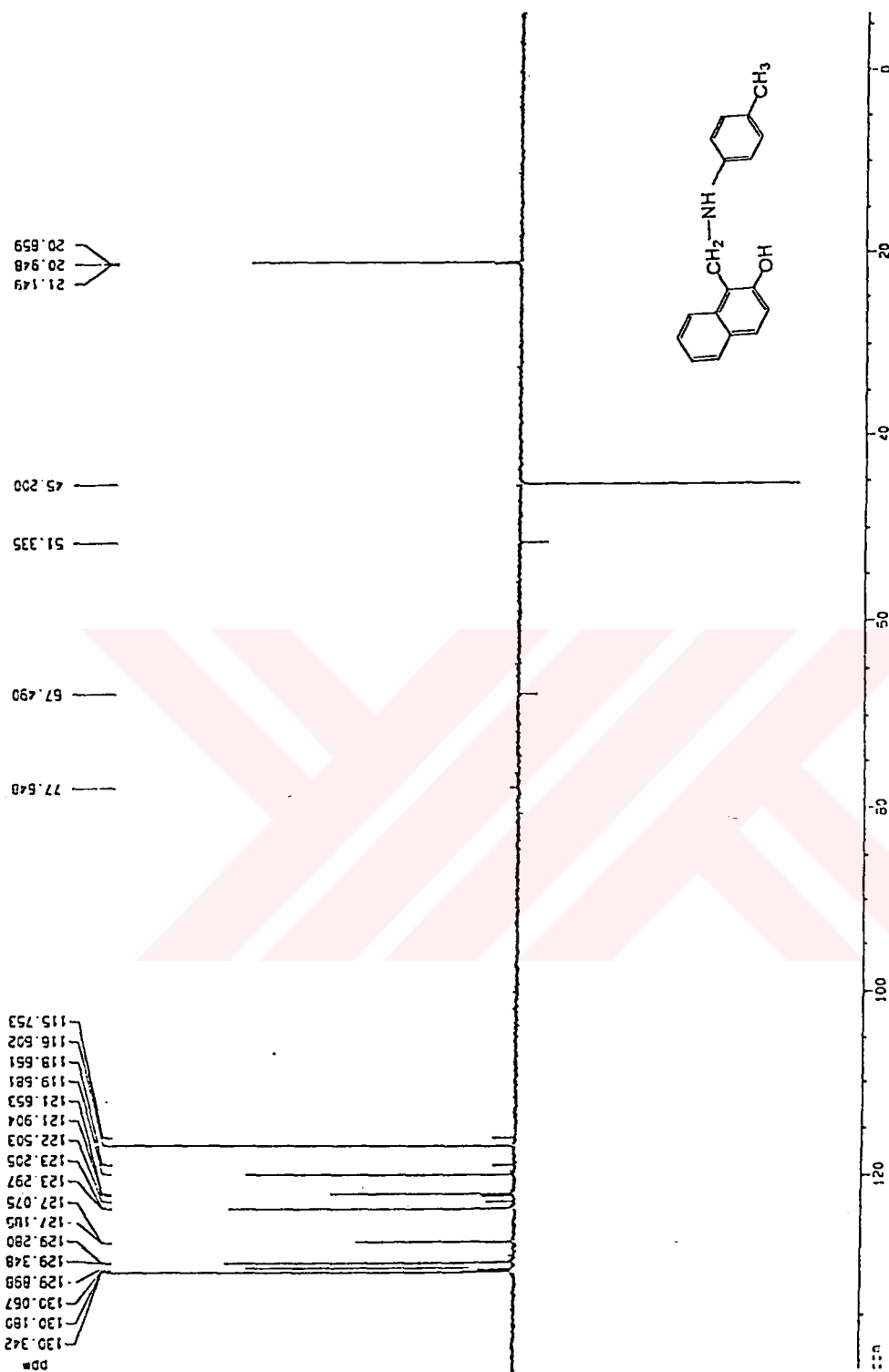
Sekil 8.28 1-(N-para-metilfenilaminometil)-2-naftol (166d)'ün  $^1\text{H-NMR}$  spektrumu



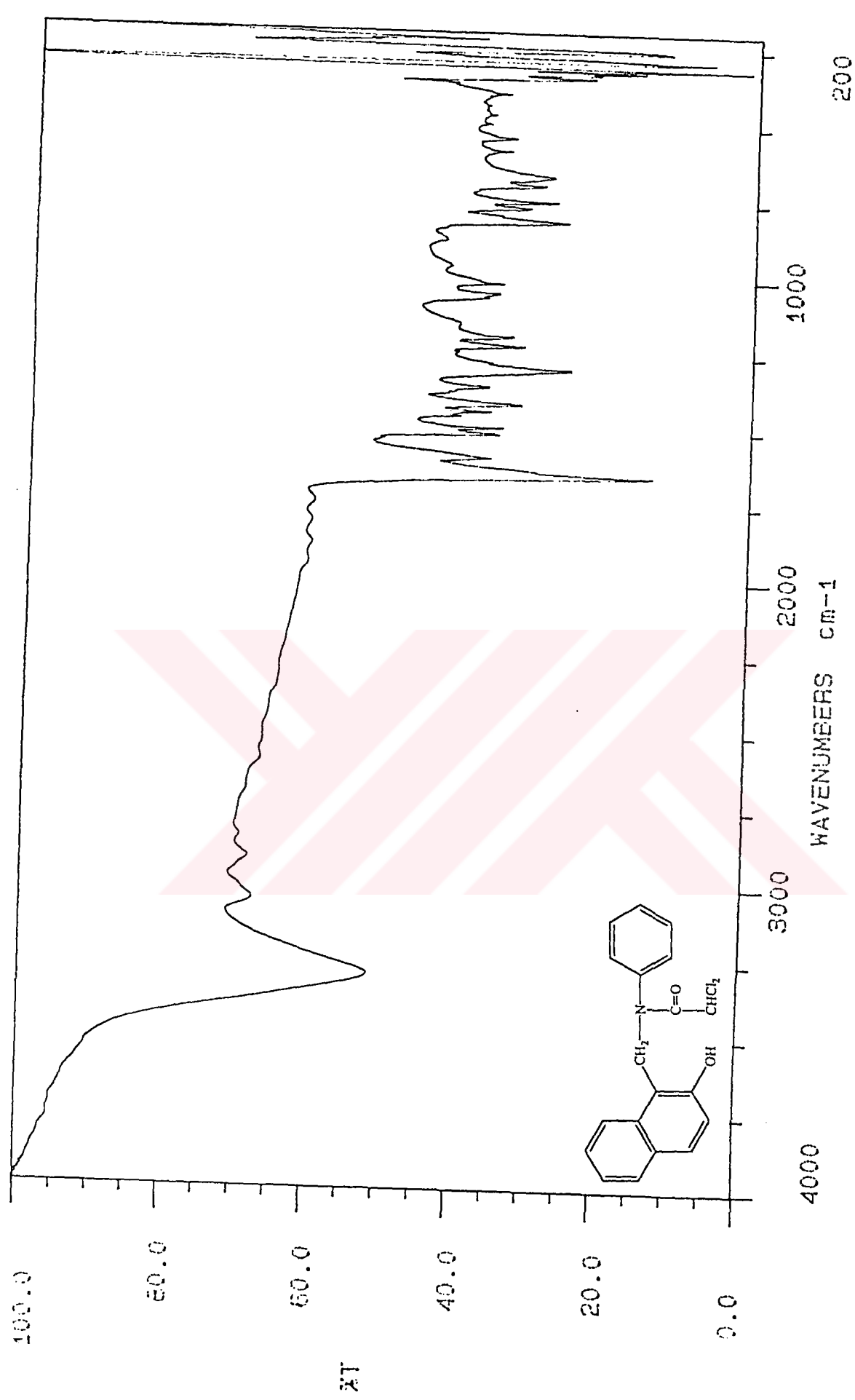
**Şekil 8.28a** 1-(N-para-metilfenilaminometil)-2-naftol (166d)'ün  $^1\text{H-NMR}$  spektrumu (aromatik bölge genişletilmiş)



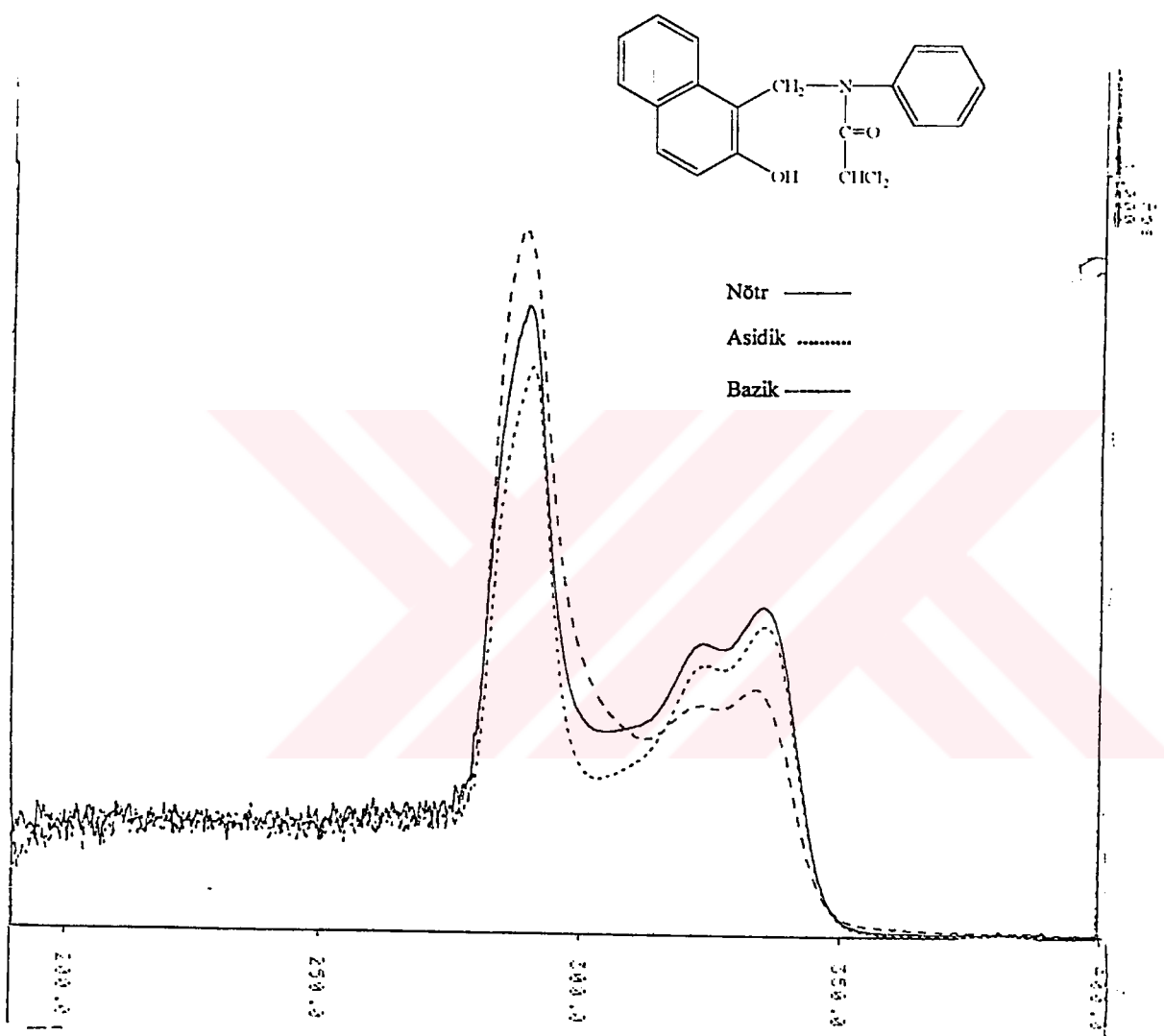
Sekil 8.29 1-(N-para-metilfenilaminometil)-2-naftol (166d)'ün  $^{13}\text{C}$ -NMR spektrumu



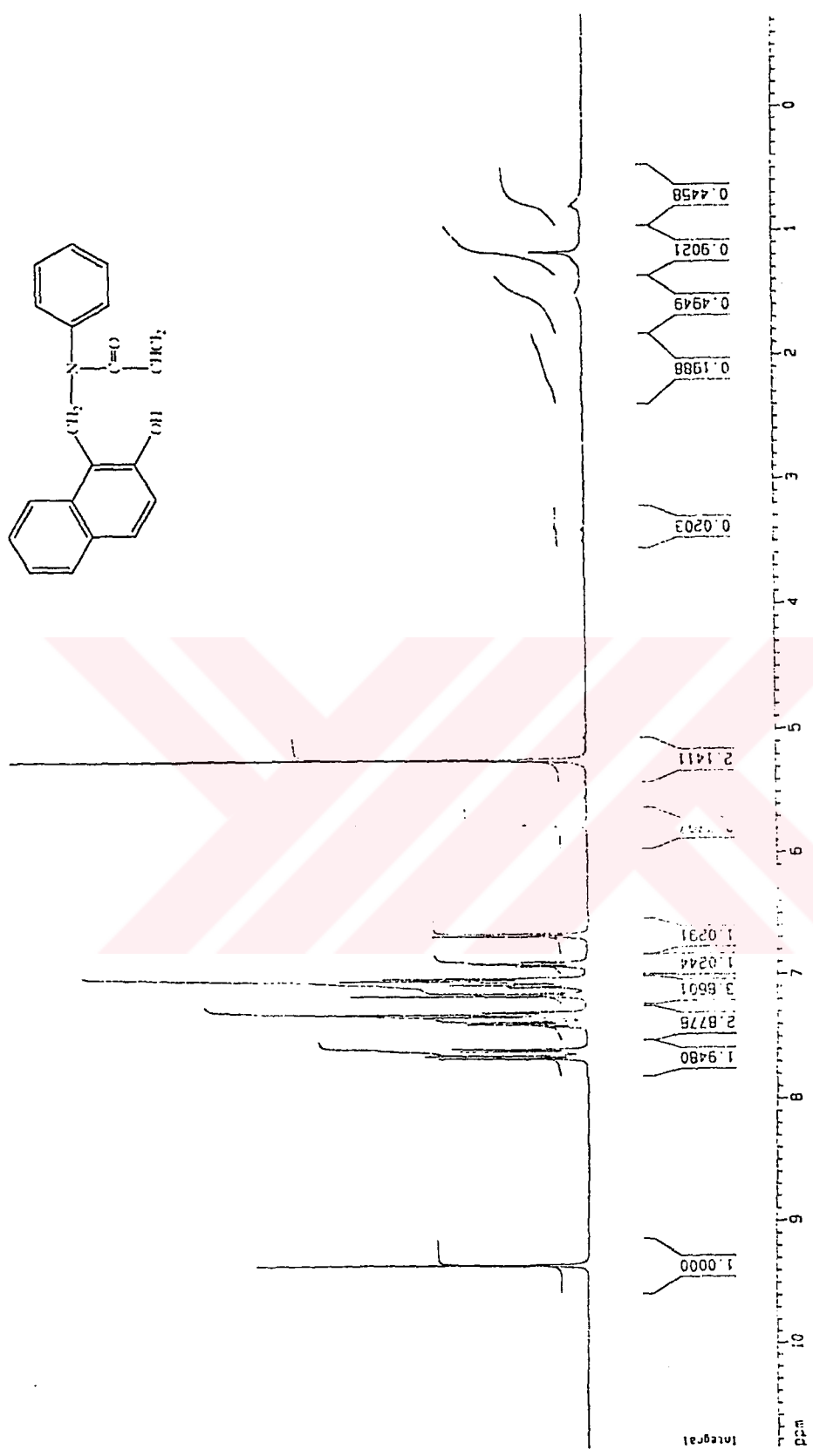
Sekil 8.29a 1-(N-para-metilsfenilaminometil)-2-naftol (166d)'ün <sup>13</sup>C-NMR spektrumu (DEPT)



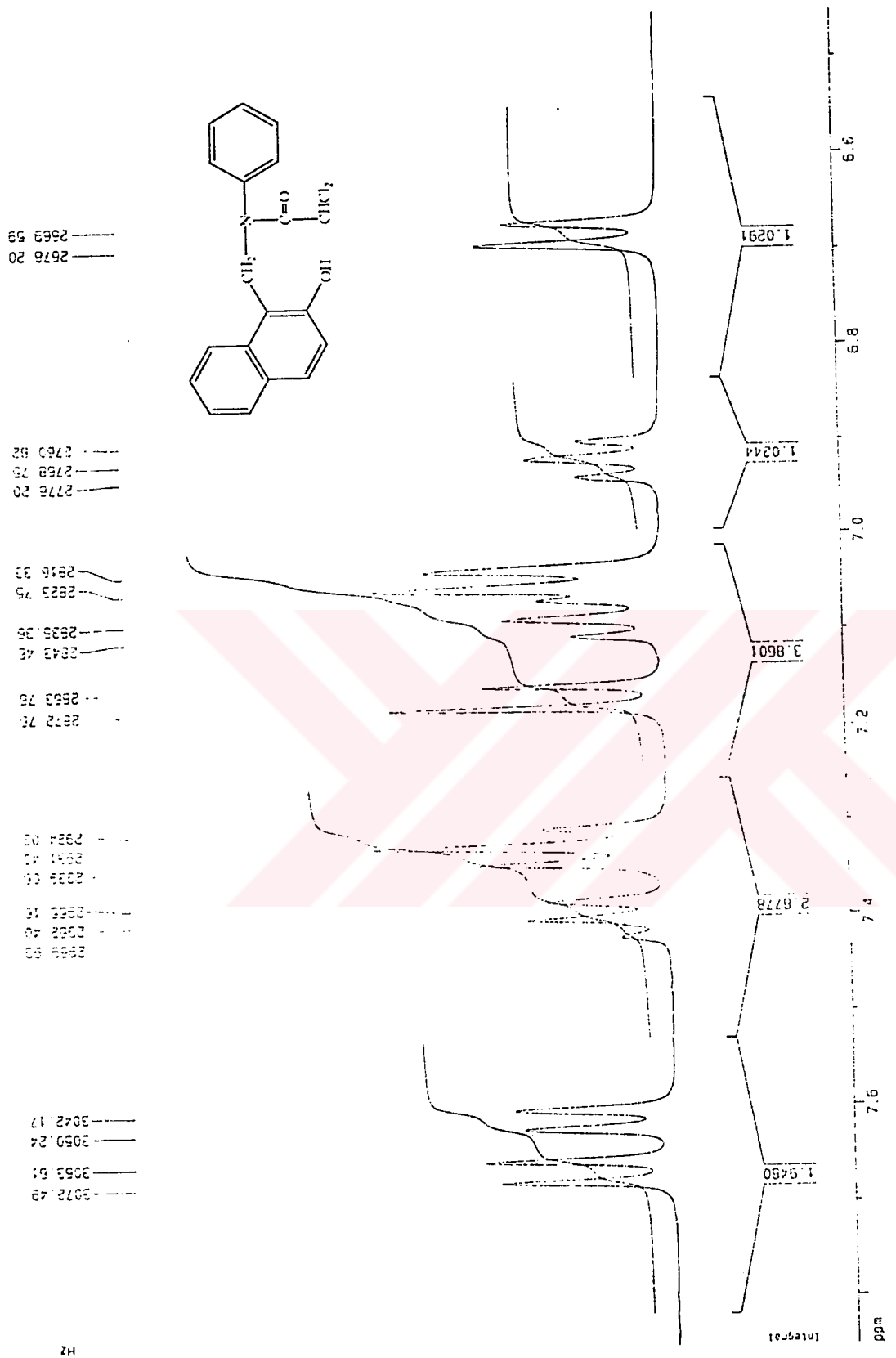
N-dikloroasetil)-N-(fenilaminometil)-2-naftol (167a) IR spektrumu



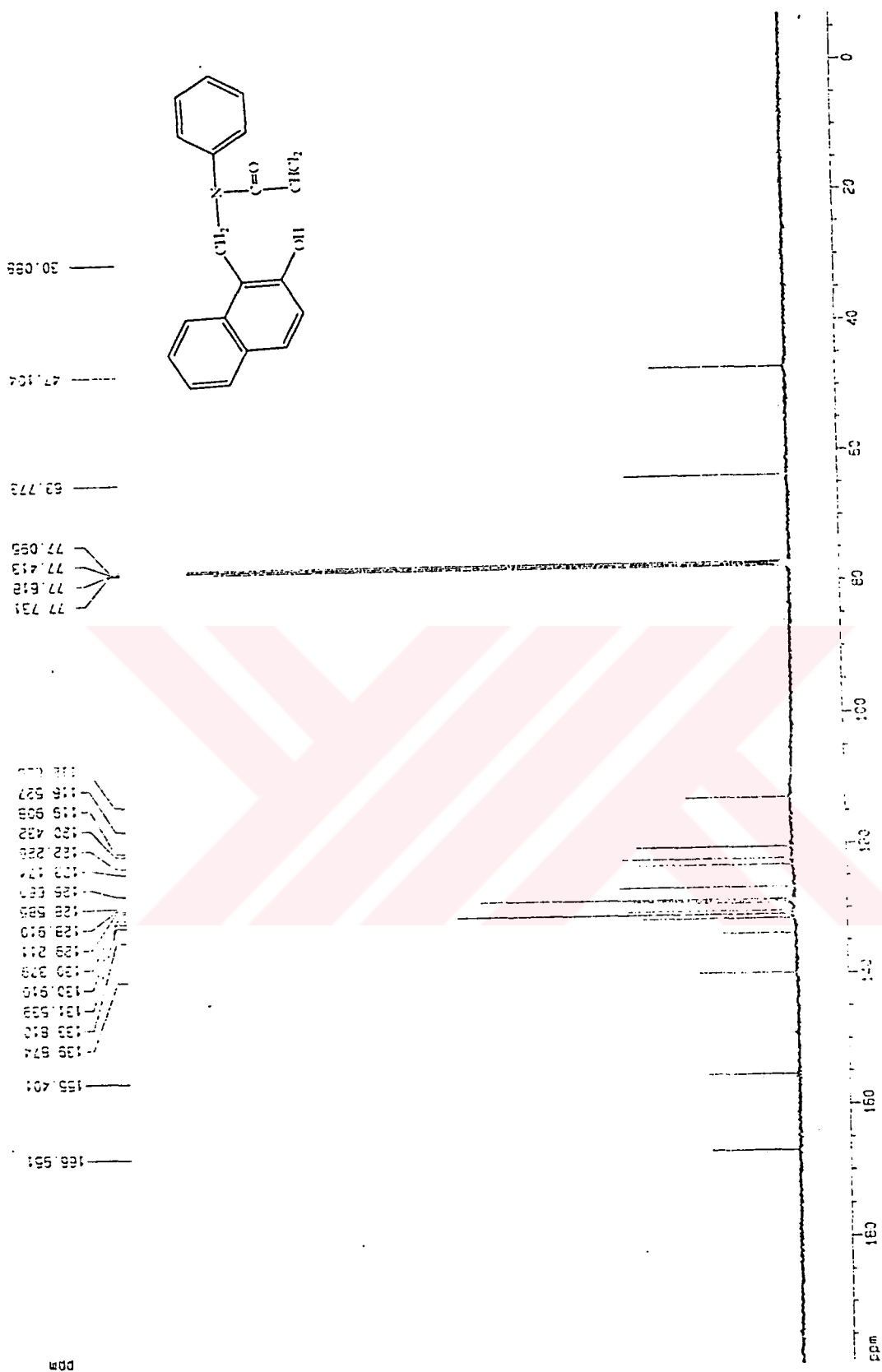
Şekil 8.31 1-(N-dikloroasetil)-N-(fenilaminometil)-2-naftol (167a) UV spektrumu



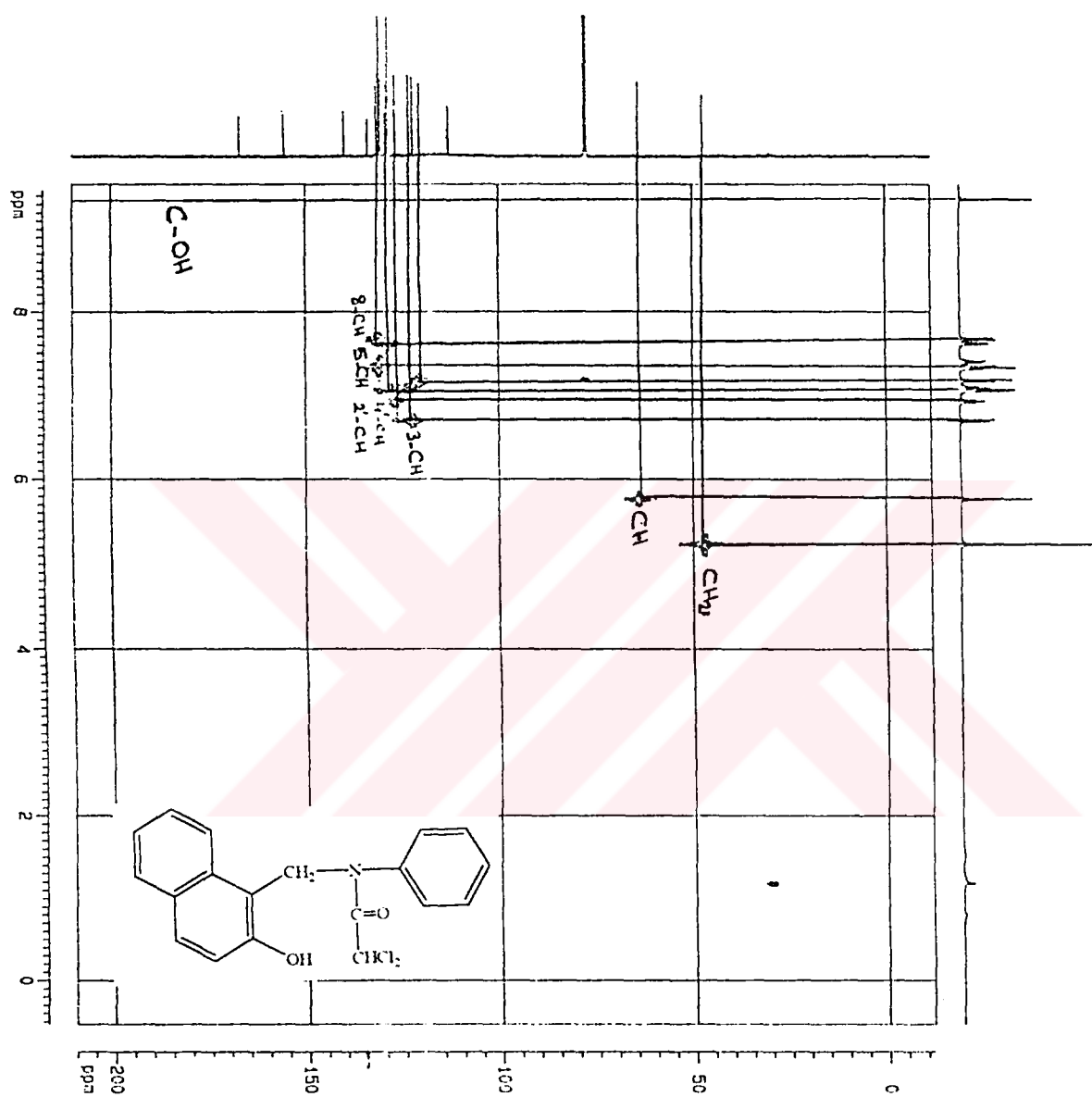
číl 8.32 1-(N-dikloroasetil)-N-(fenilaminometil)-2-naftol (167a)  $^1\text{H-NMR}$  spektrumu



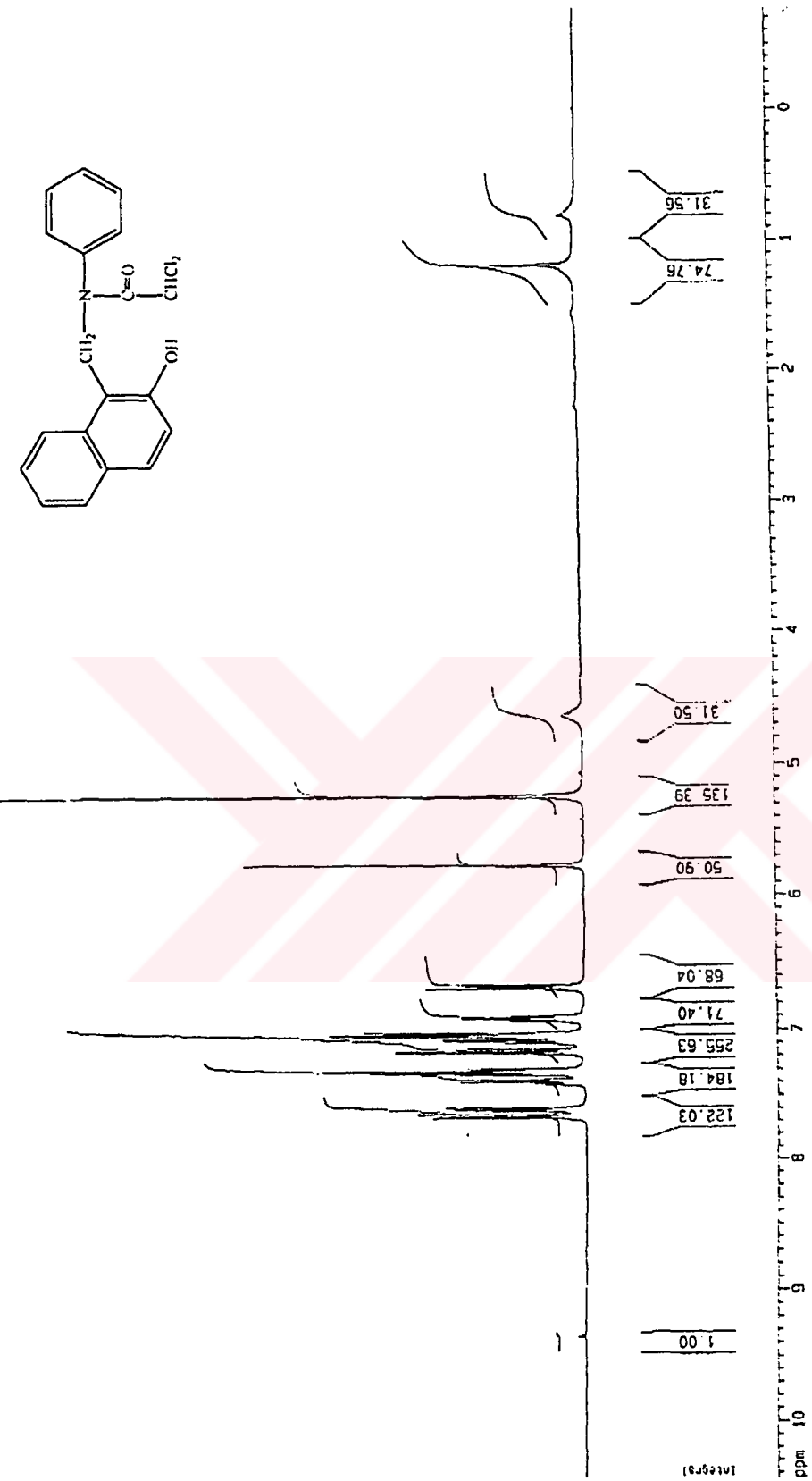
Sekil 8.32a 1-(N-dikloroasetil)-N-(fennaminomethyl)-2-naftol (167a)  $^1\text{H-NMR}$  spektrumu  
(aromatik bölge genişletilmiş)



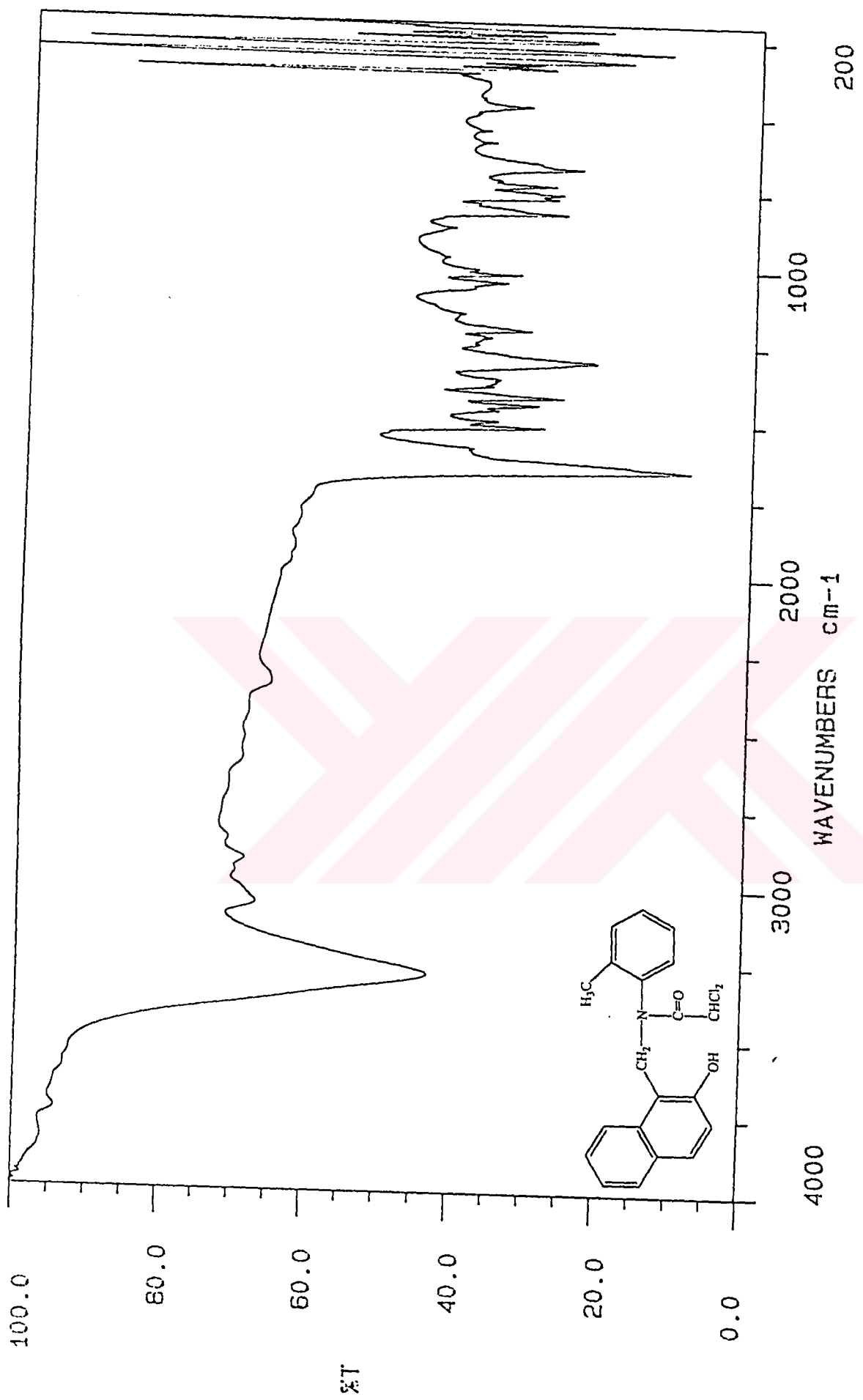
**Şekil 8.33** 1-(N-dikloroasetil)-N-(fenilaminometil)-2-naftol (167a)  $^{13}\text{C}$ -NMR spektrumu



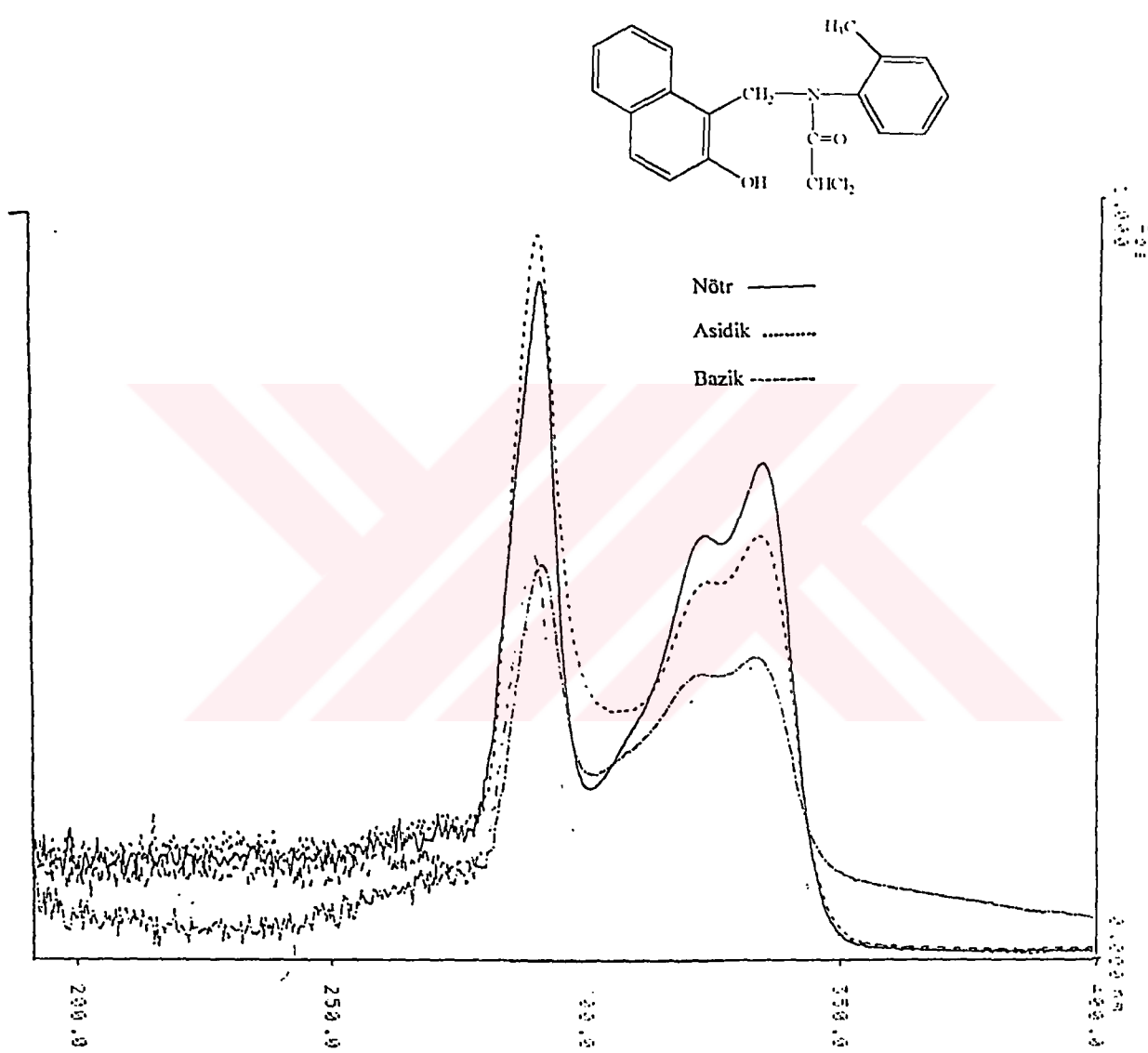
Şekil 8.34 1-(N-dikloroasetil)-N-(fenilaminometil)-2-naftol (167a)  $^1\text{H}$ - $^{13}\text{C}$  NMR-HETCOR



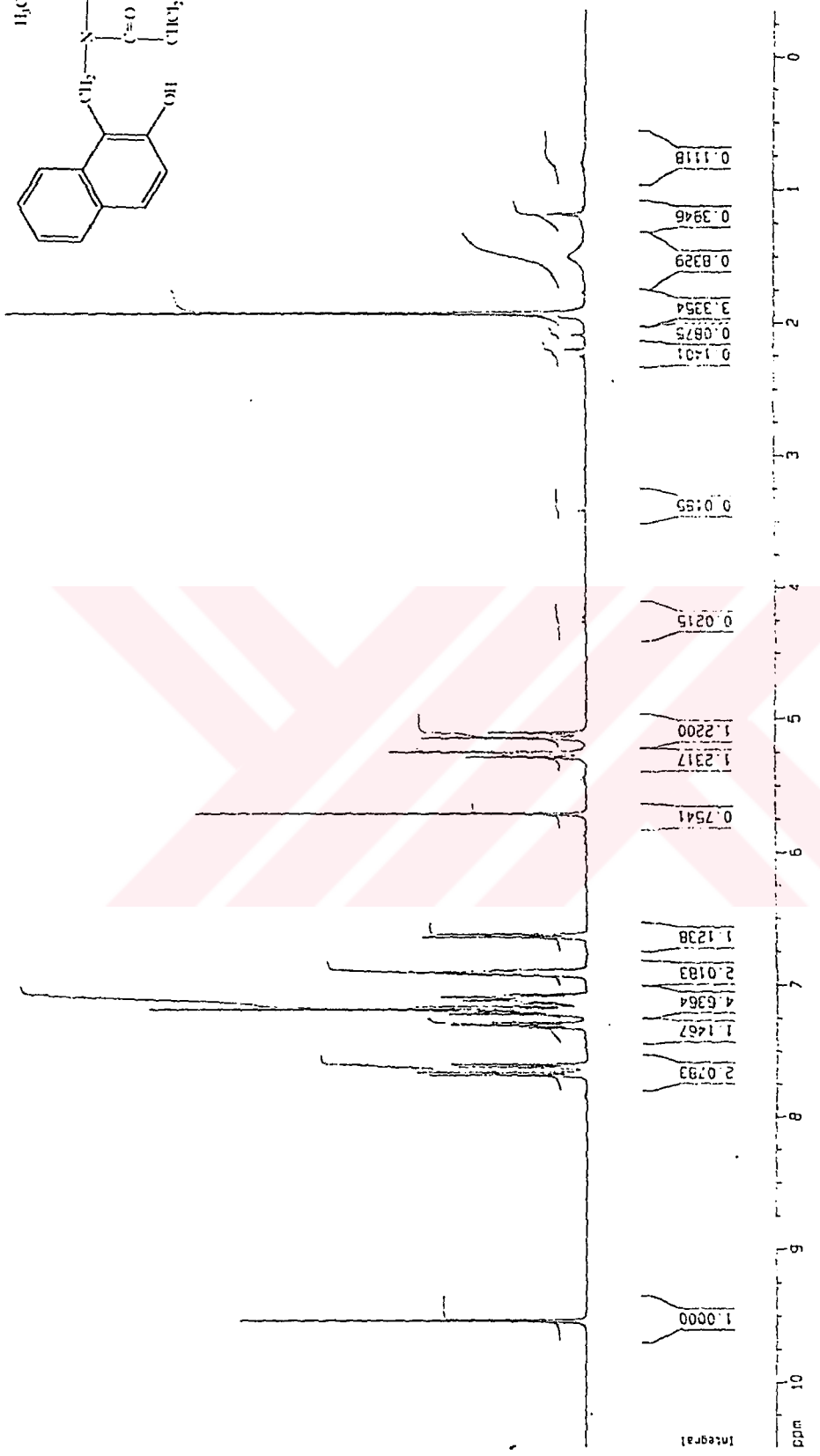
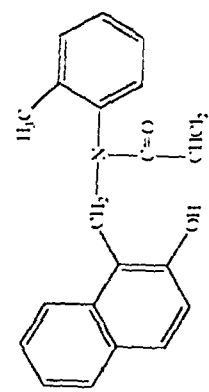
Şekil 8.35 1-(N-dikloroasetil)-N-(fenilaminometil)-2-naftol (167a) D<sub>2</sub>O exchange spektrumu



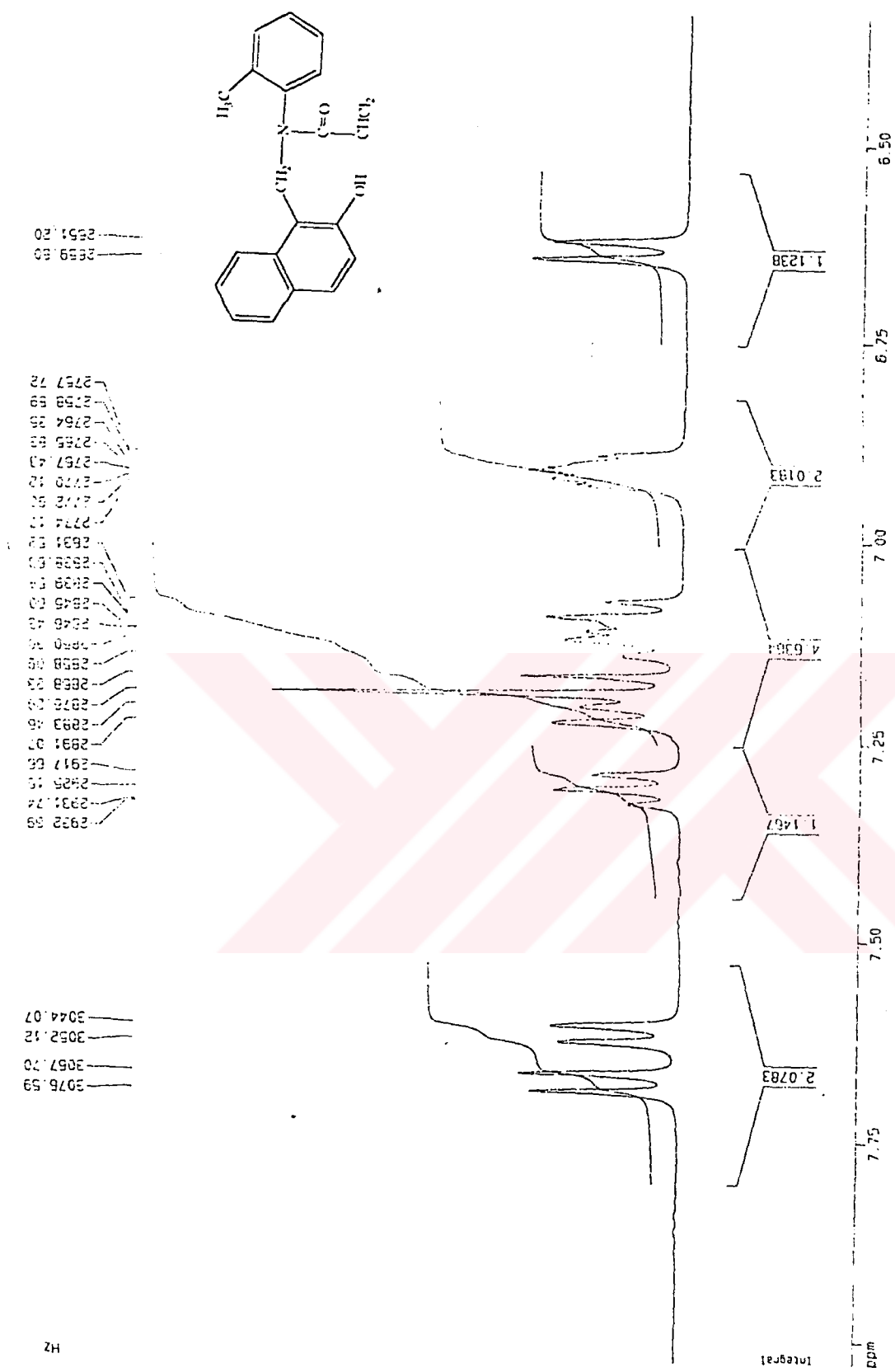
Sekil 8.36 1-(N-dikloroasetil)-N-(orto-metilfenilaminometil)-2-naftol (167b) IR spektrumu



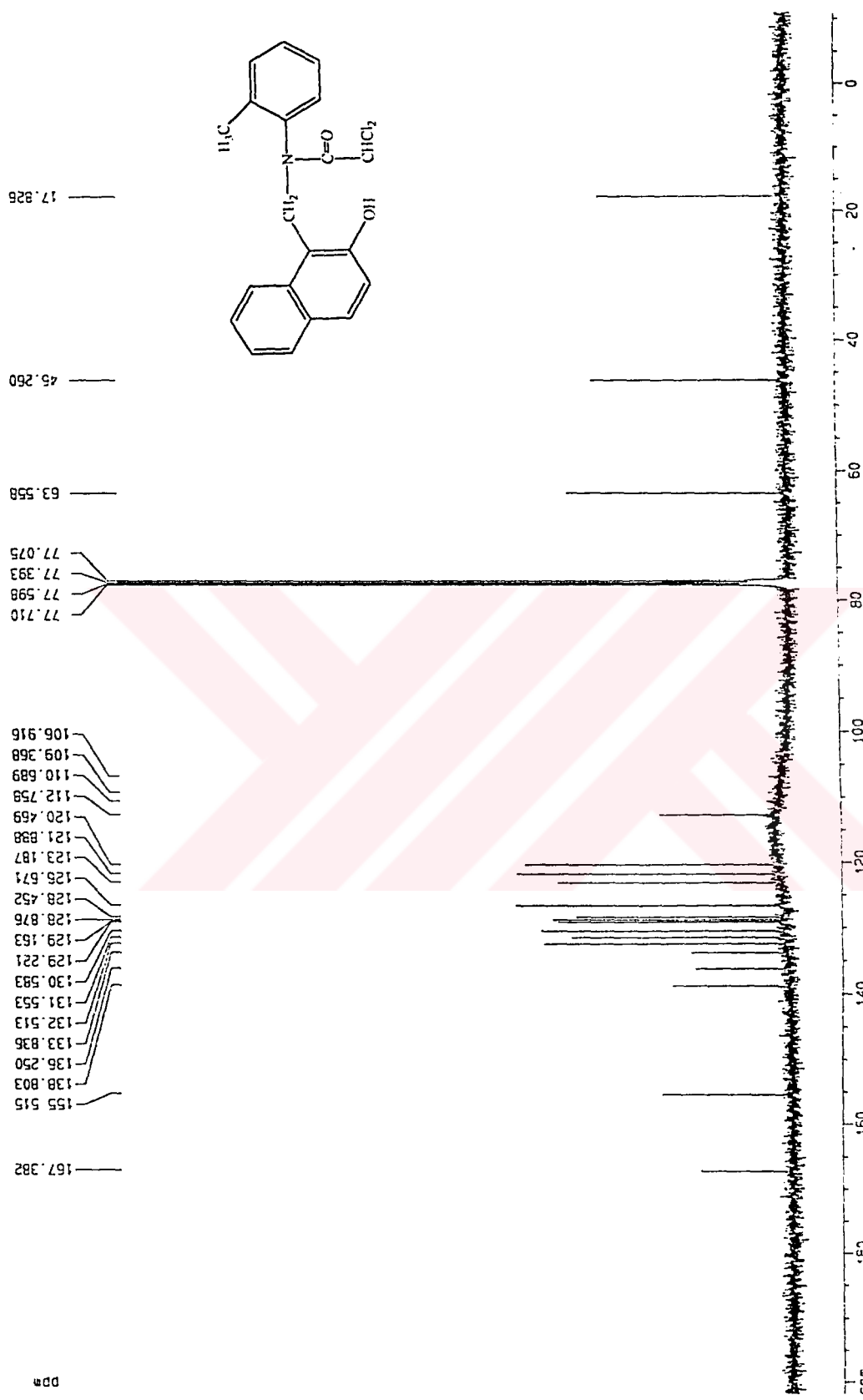
Şekil 8.37 1-(N-dikloroasetil)-N-(orto-metilsfenilaminometil)-2-naftol (167b) UV spektrumu



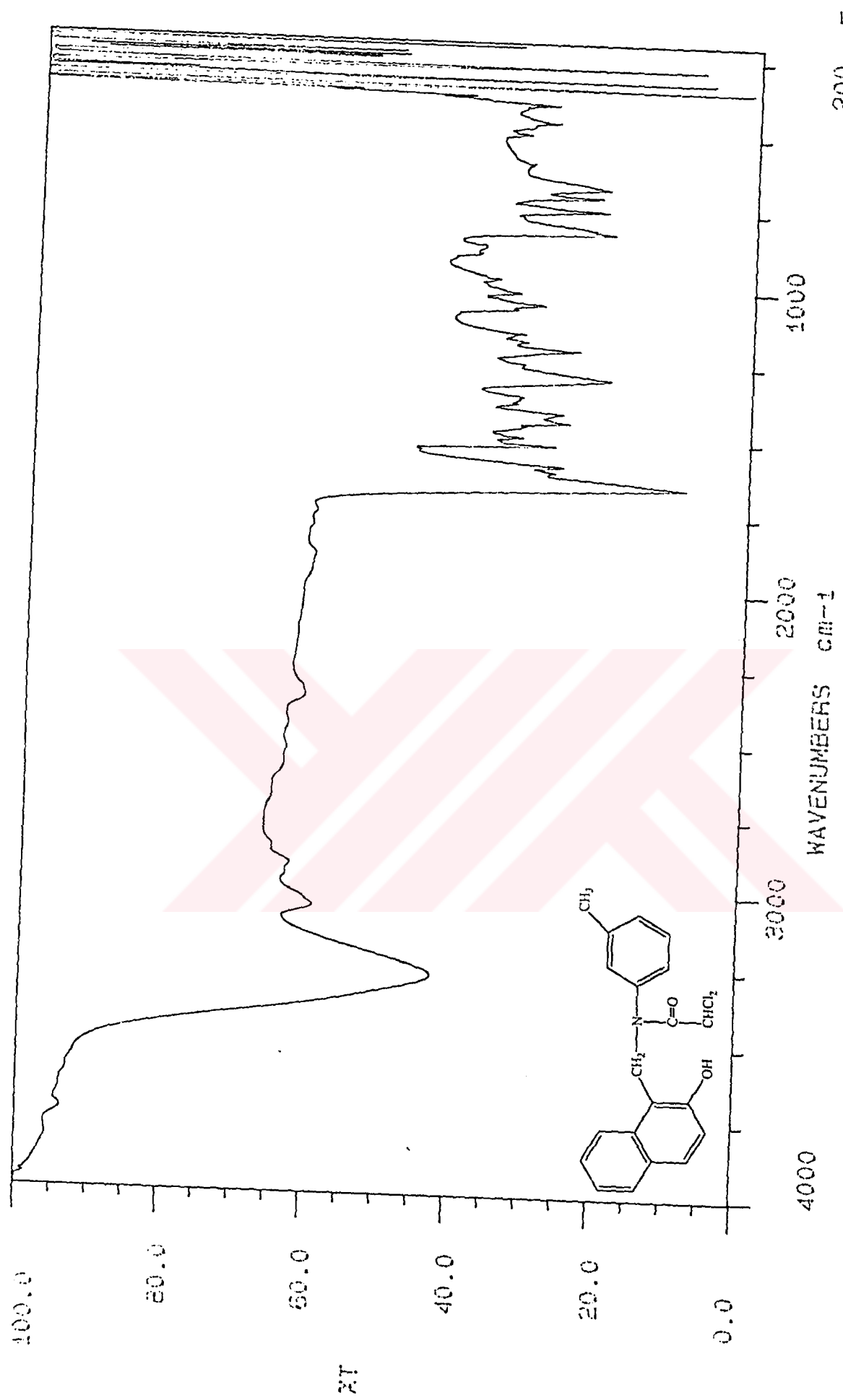
**Şekil 8.38** 1-(N-dikloroasetil)-N-(*ortho*-metilsfenilaminometil)-2-naftol (167b)  $^1\text{H-NMR}$  spektrumu



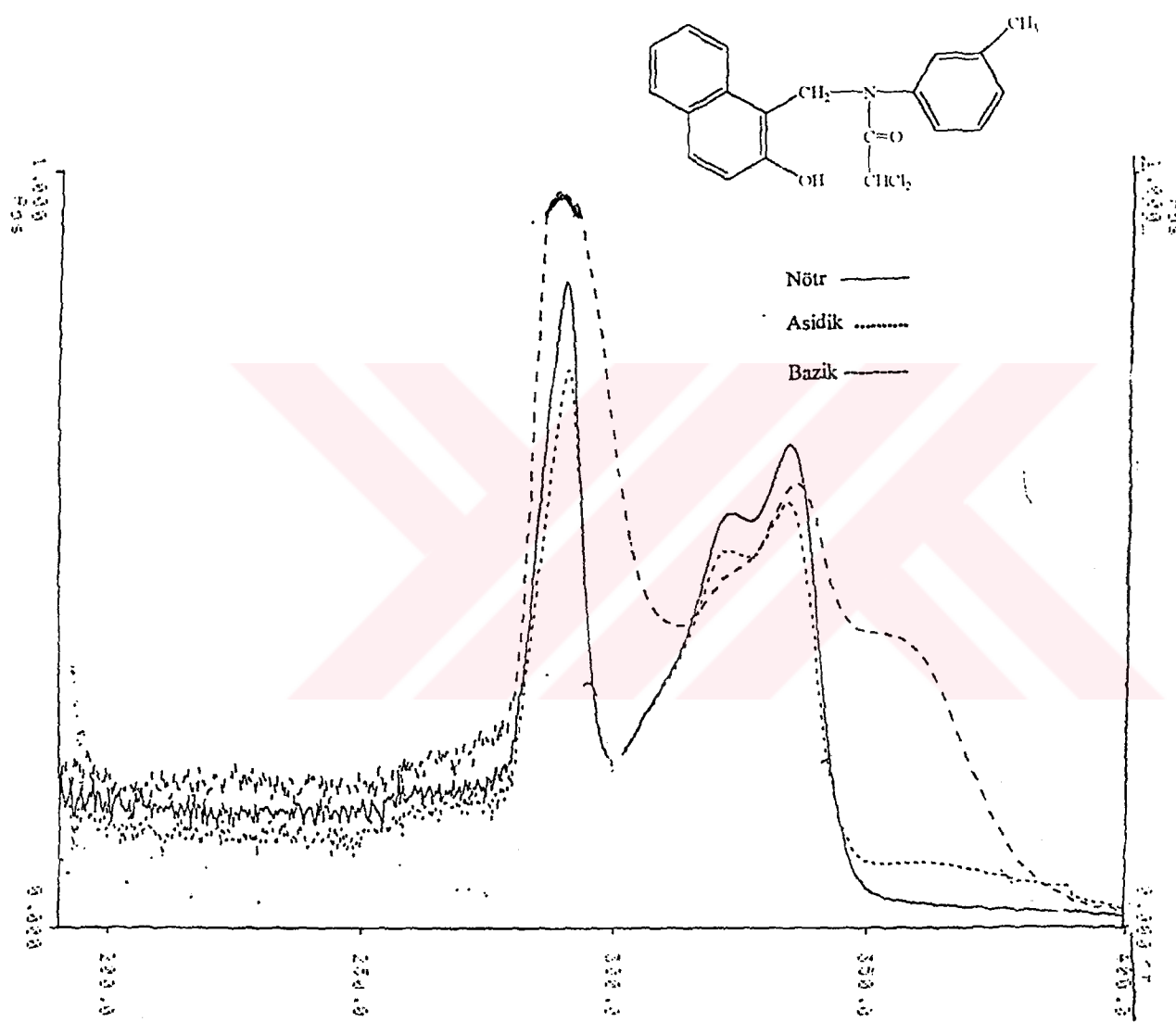
Sekil 8.38a 1-(*N*-dikloroasetil)-*N*-(*ortho*-metilenaminometil)-2-nafiol (167b)  $^1\text{H-NMR}$  spektrumu (aromatik bölge genişletilmiş)



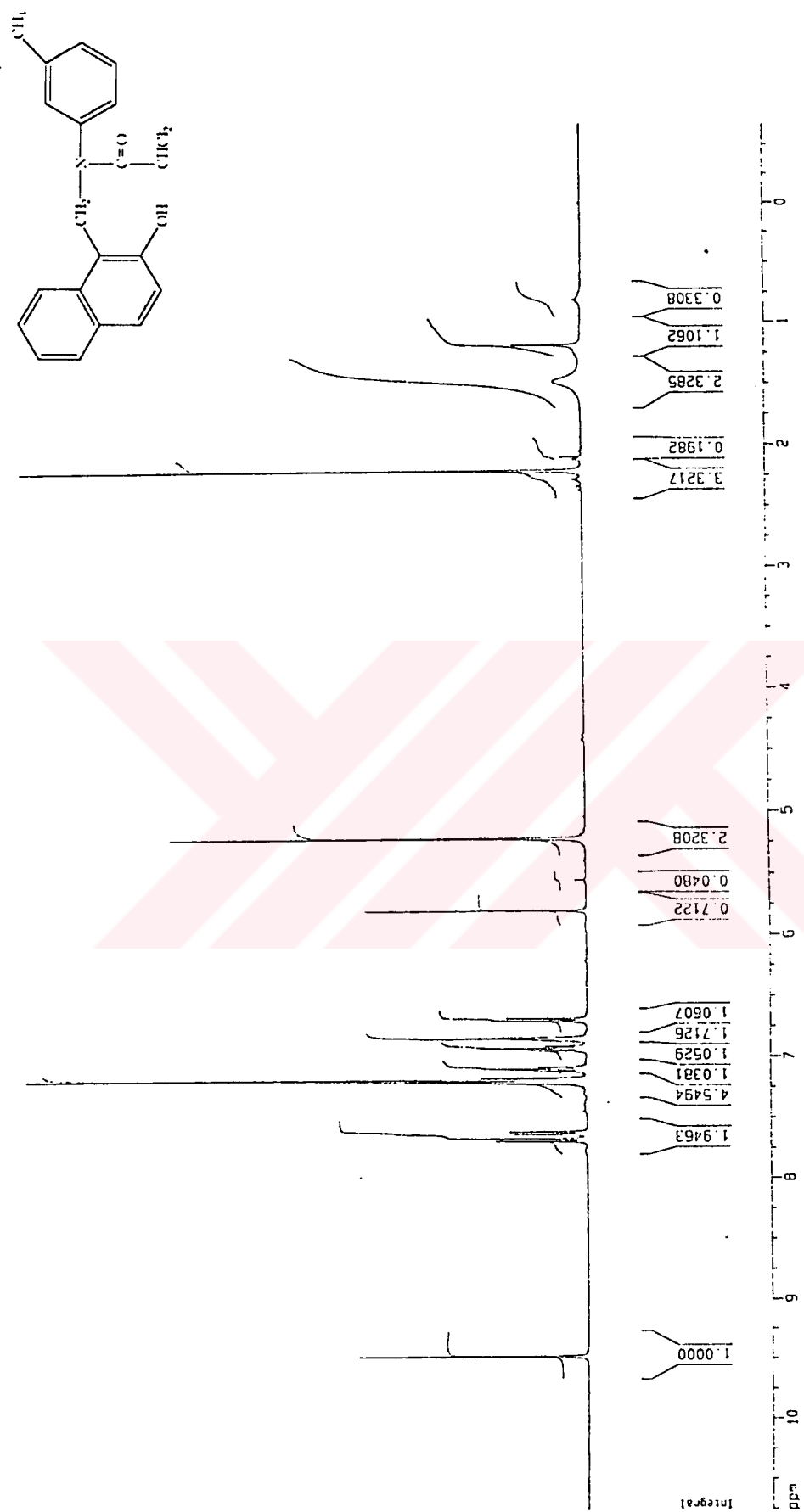
Sekil 8.39 1-(N-dikloroasetil)-N-(orto-metilfenilaminometil)-2-naftol (167b)  $^{13}\text{C}$ -NMR spektrumu



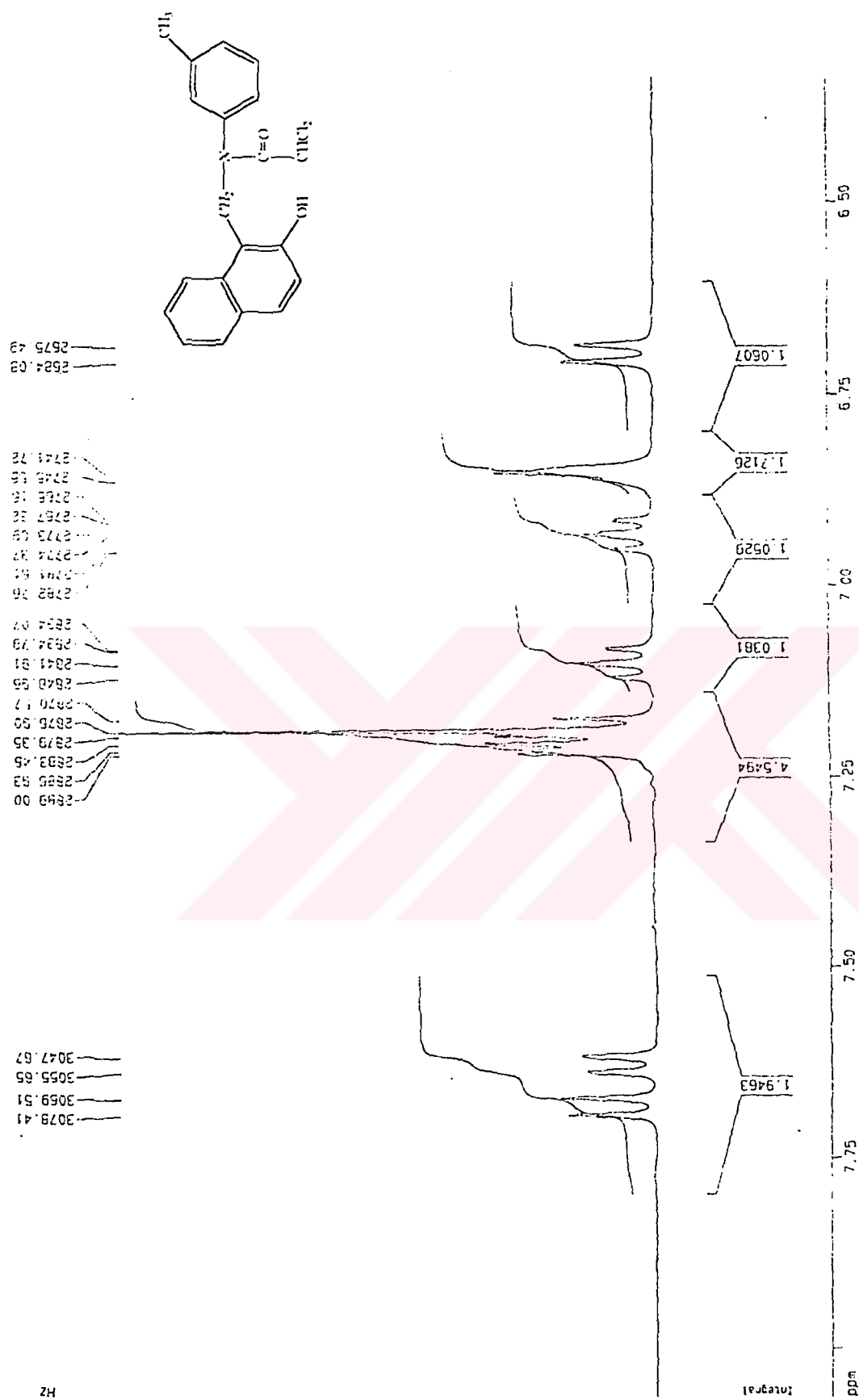
Sekil 8.40 1-(N-dikloroasetil)-N-(meta-metilenaminometil)-2-naftol (167c) IR spektrumu



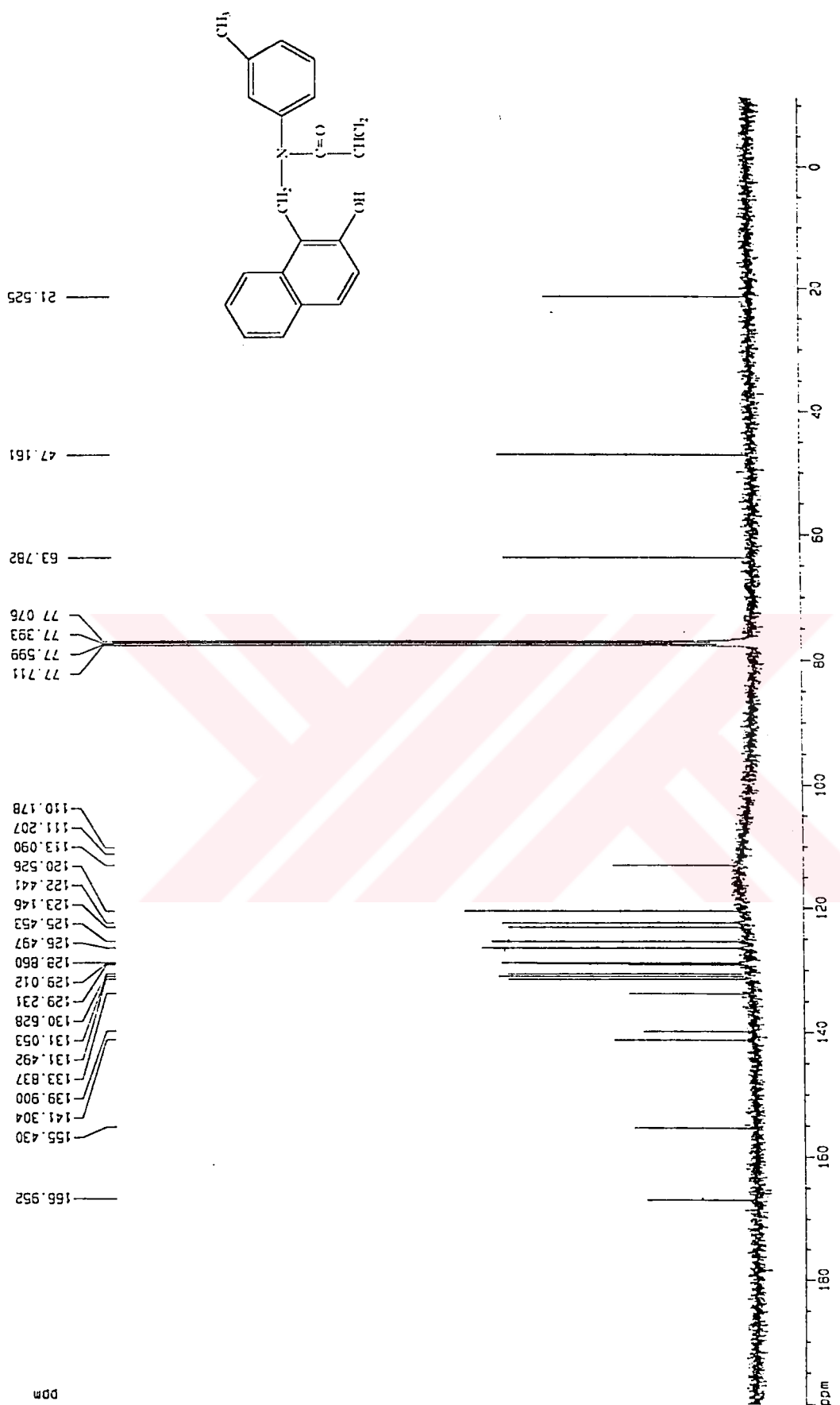
Şekil 8.41 1-(N-dikloroasetil)-N-(meta-metilfenilaminometil)-2-naftol (167c) UV spektrumu



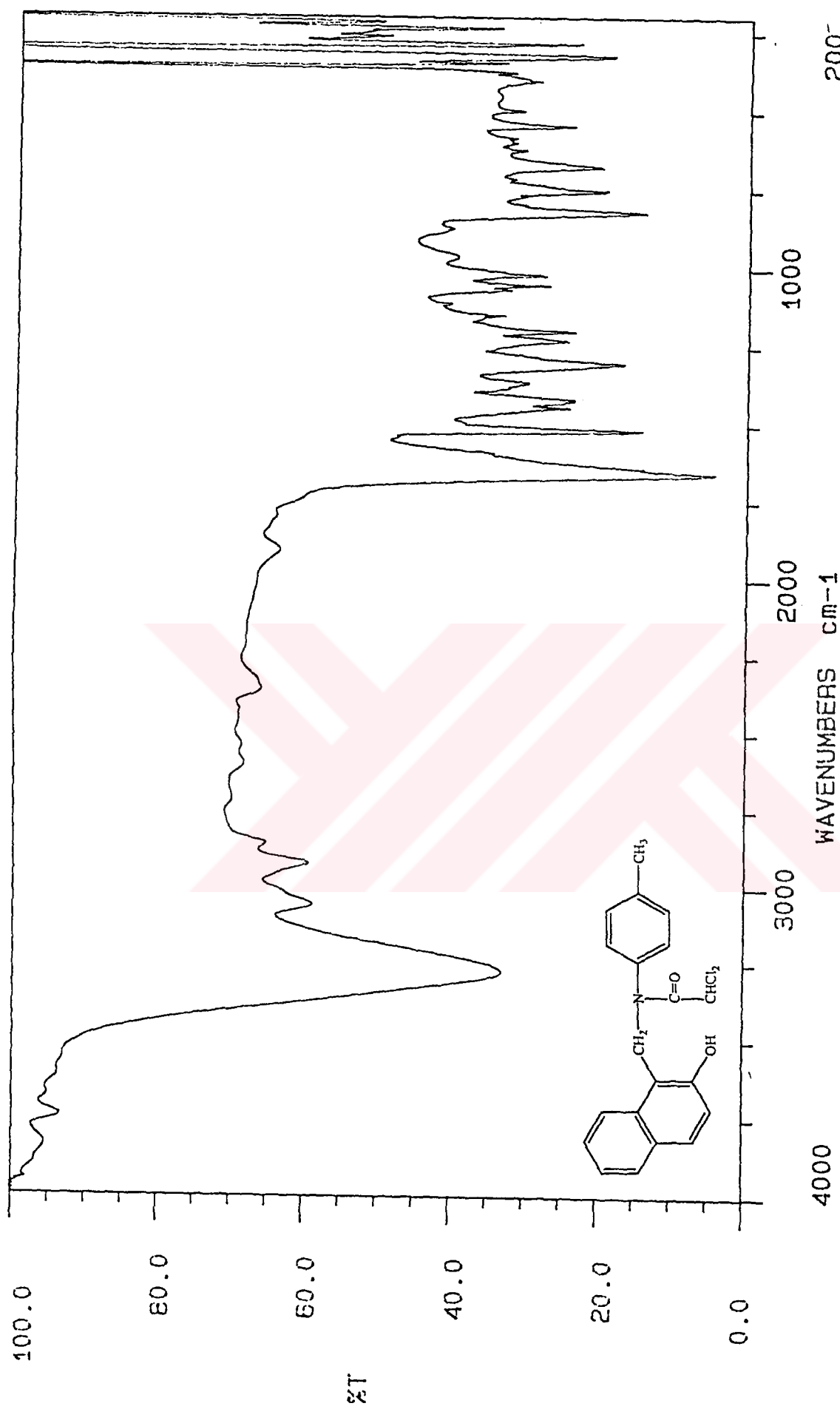
Sekil 8.42 1-(N-dikloroasetil)-N-(meta-metilsfenilaminometil)-2-naftol (167c)  $^1\text{H-NMR}$  spektrumu



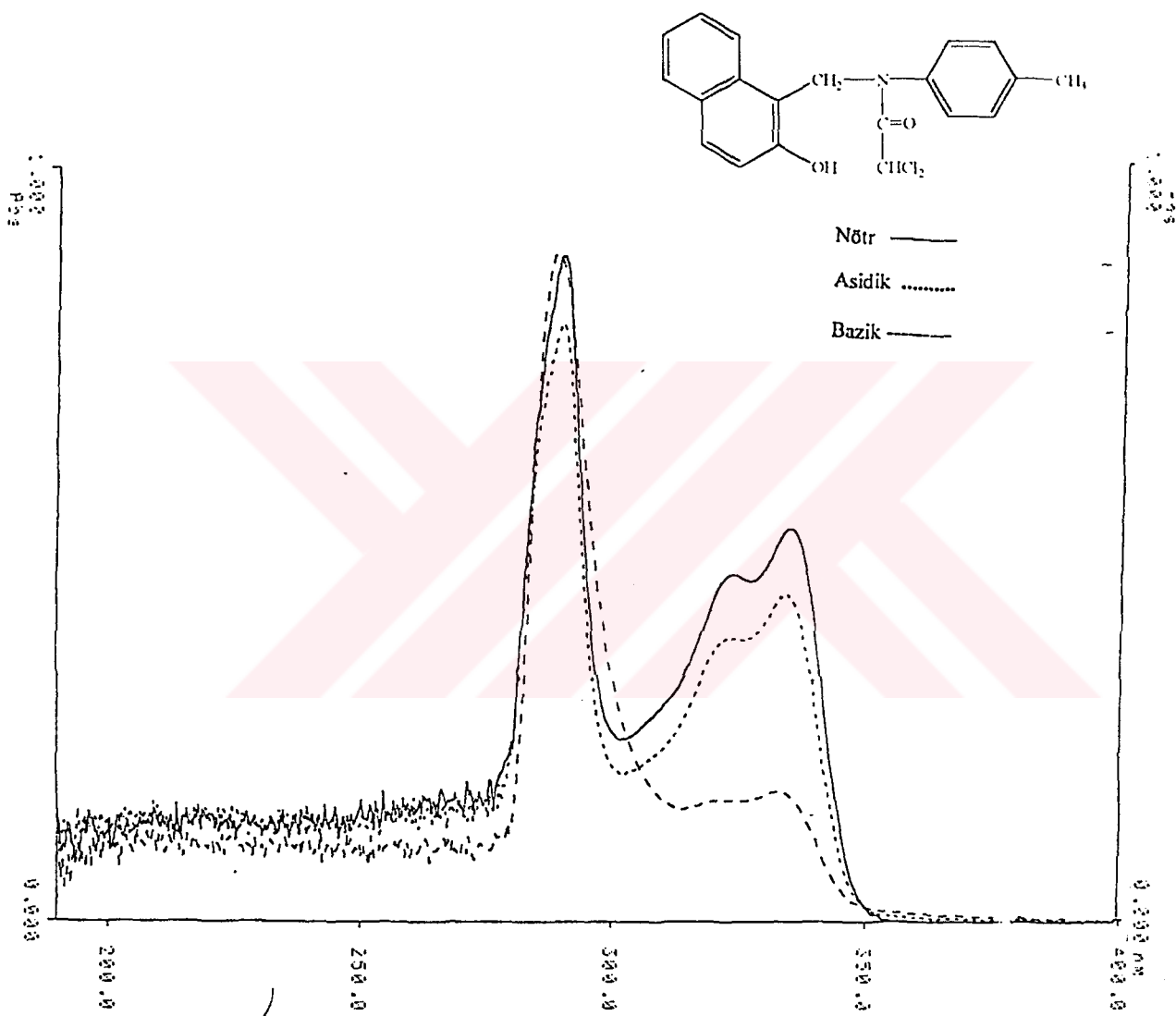
Şekil 8.42a 1-(N-dikloroasetil)-N-(meta-metilsfenilaminometil)-2-naftol (167c)  $^1\text{H-NMR}$  spektrumu (aromatik bölge genişletilmiş)



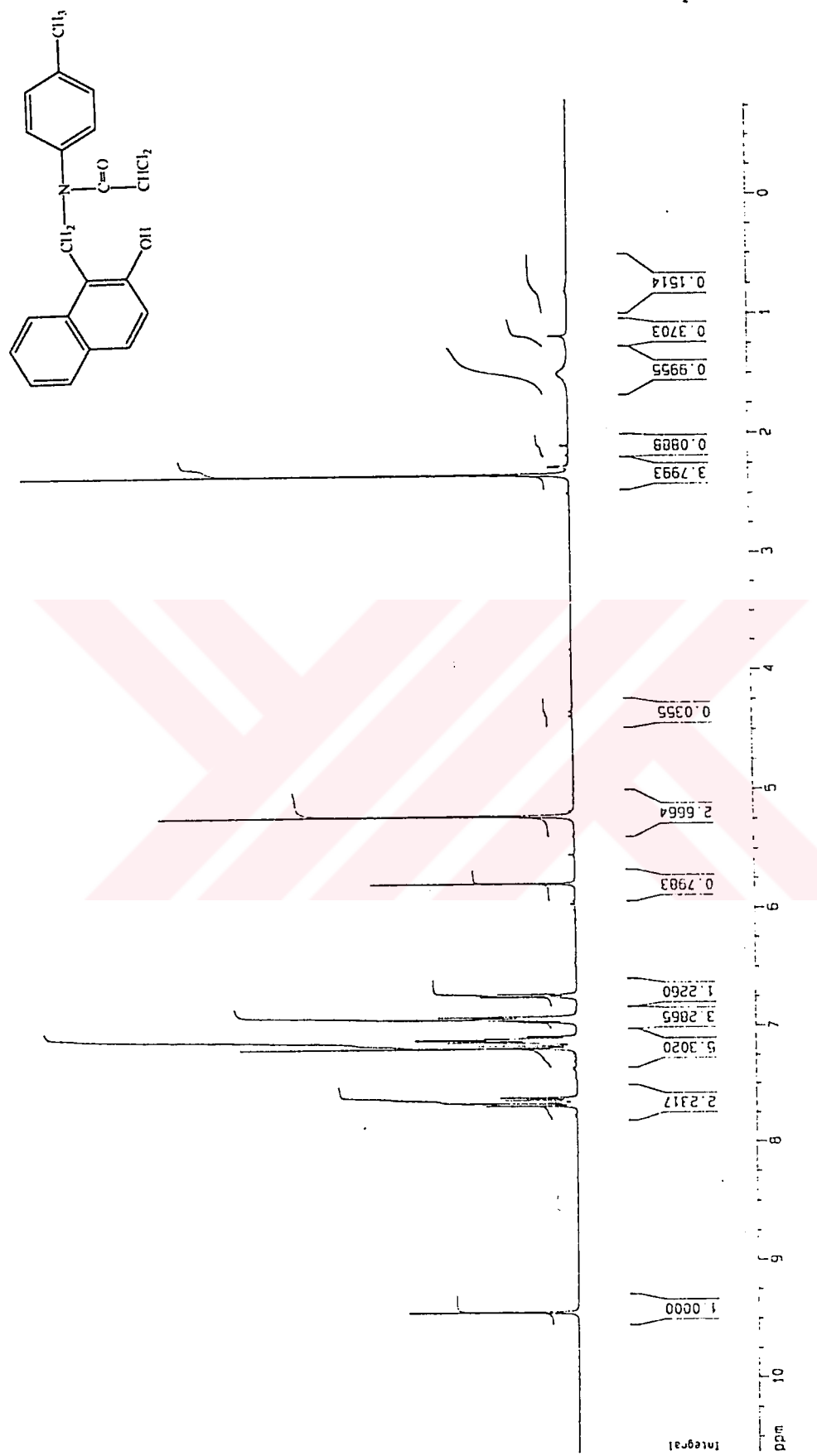
Sekil 8.43 1-(N-dikloroasetil)-N-(meta-metilfenilaminometil)-2-nafol (167c)  $^{13}\text{C}$ -NMR spektrumu



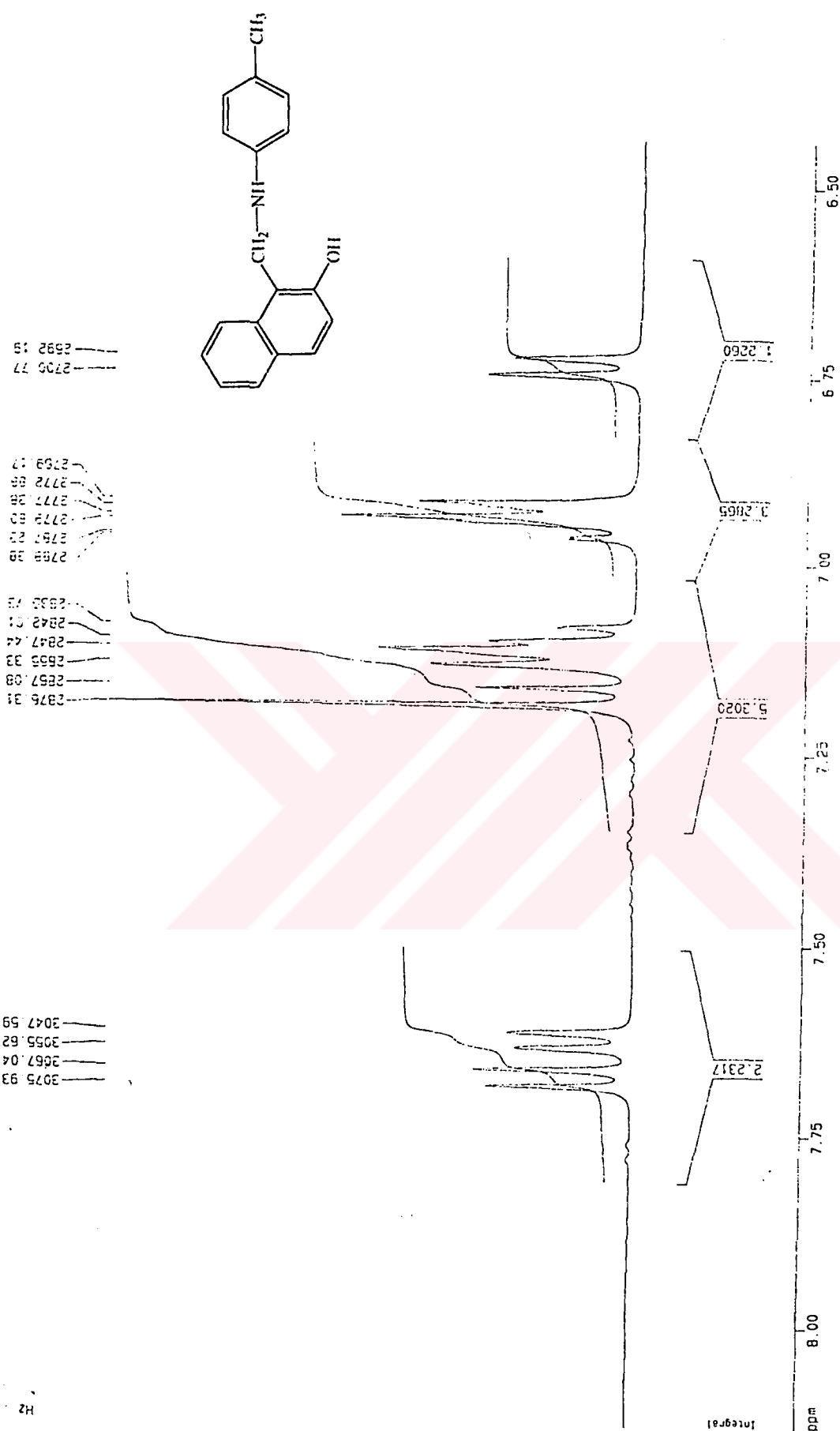
Sekil 8.44 1-(N-dikloroasetil)-N-(para-metilenaminometil)-2-naftol (167d) IR spektrumu



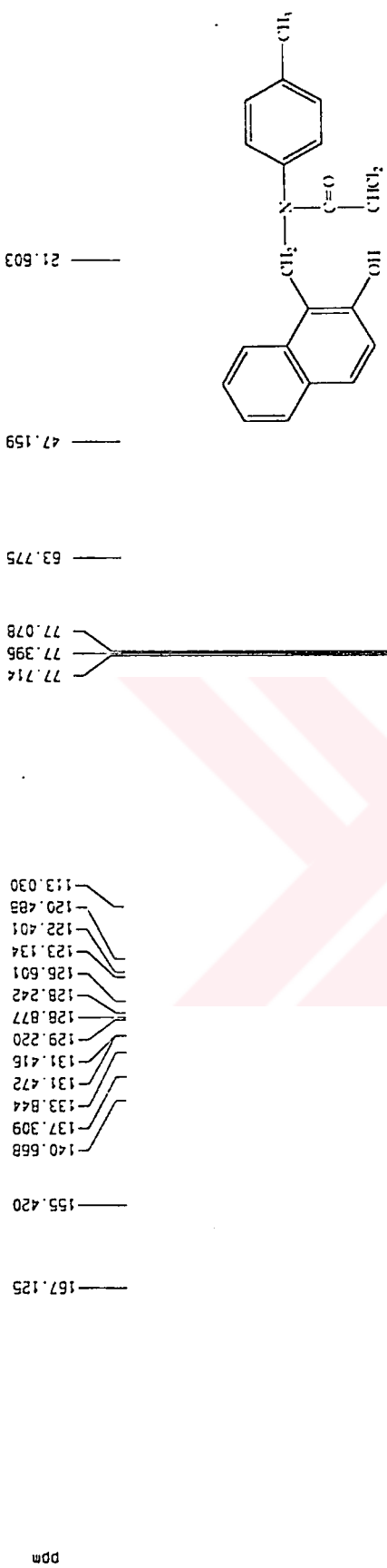
Şekil 8.45 1-(N-dikloroasetil)-N-(para-metilenaminometil)-2-naftol (167d) UV spektrumu



Sekil 8.46 1-(N-dikloroasetil)-N-(para-metilfenilaminometil)-2-naftol (<sup>167d</sup>) <sup>1</sup>H-NMR spektrumu



Şekil 8.46a 1-(N-dikloroasetil)-N-(para-metilenaminometil)-2-naftol (167d)  $^1\text{H-NMR}$  spektrumu (aromatik bölge genişletilmiş)



**Sekil 8.47** 1-(N-dikloroasetil)-N-(para-metilfenilaminometil)-2-naftol (167d)  $^{13}\text{C}$ -NMR spektrumu

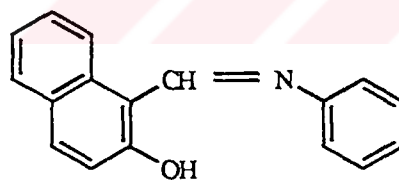
## 9. TARTIŞMA

Amaç kısmında belirtildiği gibi, naftolik Schiff bazlarının sentezi, indirgenmesi, açillenmesi ve halka kapama reaksiyonlarını gerçekleştirmek istedik. Tartışmamızı dört bölümde açıklamayı planladık.

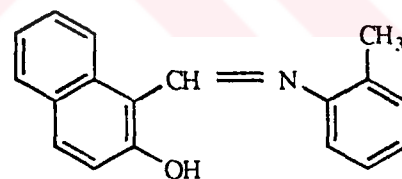
1. Naftolik schiff bazlarının sentezi IR, UV,  $^1\text{H-NMR}$  ve  $^{13}\text{C-NMR}$  spektrumları.
2. Naftolik schiff bazlarının  $\text{NaBH}_4$  ile indirgenmesi IR, UV,  $^1\text{H-NMR}$  ve  $^{13}\text{C-NMR}$  spektrumları.
3. Aminlerin dikloroasetilklorür ile muamelesi sonucu açil ve diaçil türevlerinin sentezlenmesi IR, UV,  $^1\text{H-NMR}$  ve  $^{13}\text{C-NMR}$  spektrumları .
4. Diaçil türevlerinden bazik ortamda halka kapaması ile 1,4- naftoksazepinlerin sentezlenmesi IR, UV,  $^1\text{H-NMR}$ ,  $^{13}\text{C-NMR}$  ve HETCOR, spektrumları

### 9.1. Naftolik Schiff Bazlarının (165 ) Sentezi IR, UV ve $^{13}\text{C-NMR}$ Spektrumları

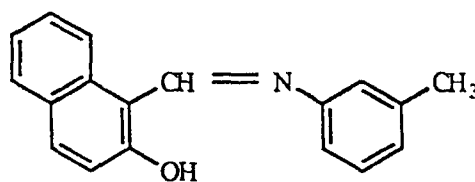
2-hidroksi-1-Naftaldehit(163 ) ve anilin, 2- metil, 3-metil, 4-metilanilin ile naftolik schiff bazları (164) Sawich ve çalışma arkadaşlarının yöntemine (1956) göre sentezlenmiştir.



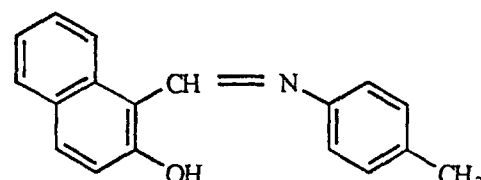
(165a)



(165b)



(165c)



(165d)

Sentezlenen bütün Schiff bazlarında  $3600\text{-}3200\text{ cm}^{-1}$  de H-bağlı OH'a ait pik gözlenmiştir. Ayrıca  $1625\text{cm}^{-1}$  de C=N imin pikine rastlanmıştır. Naftolik C-O bağına ait pik de  $1340\text{-}1308\text{cm}^{-1}$  de gözlenmiştir.

**Çizelge 9.1.1. Naftolik Schiff Bazlarının (165) IR (KBr) Spektrum Verileri.**

Schiff Bazı	Fenolik OH $\nu_{max}$ (cm $^{-1}$ )	C=N $\nu_{max}$ (cm $^{-1}$ )	Aromatik yapı $\nu_{max}$ (cm $^{-1}$ )	C-O $\nu_{max}$ (cm $^{-1}$ )	Digerleri $\nu_{max}$ (cm $^{-1}$ )
165a, R=H	3060	1625	1510-1436	1315	805-740-680
165b, R=o-CH <sub>3</sub>	3600	1625	1568-1489	1330-1194	795
165c, R=m-CH <sub>3</sub>	3350	1626	1557-1466	1250	842
165d, R=p-CH <sub>3</sub>	3060	1620	1606-1534-1512	1308	814-740

1-(N-feniliminometil)-2-naftol'ün (165a, R=H) IR spectrumunda mono sübstiyona ait kuvvetli pike 740 ve  $680\text{ cm}^{-1}$  de rastlanmıştır. Metil sübstitüe naftolik Schiff bazları (165 b,c,d) içinde sırasıyla 814,795,870 ve  $800\text{ cm}^{-1}$  de pikler yapıyı desteklemiştir.

**Çizelge 9.1.2. Naftolik Schiff Bazlarının (165) Nötral UV Spektrum Verileri (nm).**

Madde	UV(Etanol), $\lambda_{max}$ (Abs)					
165a, R=H	233.2 (0.904)	315.2 (0.272)	342.4 (0.182)	356.4 (0.293)	436.0 (0.337)	454.0 (0.324)
165d, R=p-CH <sub>3</sub>	232.8 (0.900)	311.6 (0.284)	335.2 (0.223)	355.2 (0.213)	438.8 (0.358)	456.8 (0.334)
165b, R=o-CH <sub>3</sub>	232.4 (0.859)	320.0 (0.216)	339.6 (0.150)	353.6 (0.147)	438.0 (0.333)	457.2 (0.316)
165c, R=m-CH <sub>3</sub>	235.0 (1.900)	315.0 (0.400)	333.3 (0.340)	352.0 (0.321)	447.6 (0.675)	456.0 (0.201)

Sentezlenen naftolik schiff bazlarının nötral UV spectrumları çizelge ( 9.1.2 ) de gösterilmiştir.Fenil halkasına metil gurubunun orto-meta ve para konumunda bağlanması (165,b,c,d) durumundaki UV spektrumlarının fenil halkasında sübstituent içermeyen schiff bazının 165a, (R=H) 'ın UV spektrumundan çok farklı olmadığı

anlaşılmıştır. Aynı schiff bazlarının asidik ve bazik UV spektrumlarında da fazla bir farklılık gözlenmemiştir (Çizelge 9.1.3 ve 9.1.4 ).

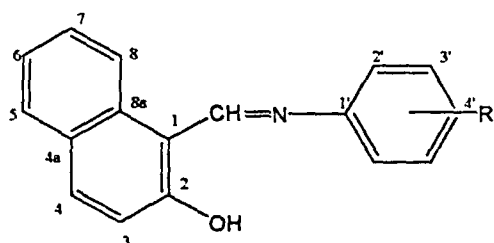
**Çizelge 9.1.3. Naftolik Schiff Bazlarının (165 ) Asidik UV spektrum verileri (nm).**

Madde	UV (Etanol), $\lambda_{\max}$ (Abs)				
165a, R=H	225.2 (0.187)	316.8 (0.171)	356.8 (0.127)	436.0 (0.065)	449.6 (0.059)
165d, R=p-CH <sub>3</sub>	226.0 (0.752)	311.6 (0.175)	358.0 (0.139)	—	—
165b, R=o-CH <sub>3</sub>	232.4 (0.813)	316.4 (0.204)	360.0 (0.150)	438.0 (0.333)	456.4 (0.274)
165c, R=m-CH <sub>3</sub>	220.8 (1.196)	316.0 (0.996)	356.4 (0.208)	447.2 (0.119)	455.2 (0.122)

**Çizelge 9.1.4. Naftolik Schiff Bazlarının (165 ) Bazik UV spektrum verileri (nm).**

Madde	UV(Etanol), $\lambda_{\max}$ (Abs)					
165a, R=H	232.8 (0.853)	315.2 (0.253)	342.0 (0.160)	355.6 (0.169)	436.0 (0.290)	453.6 (0.290)
165d, R=p-CH <sub>3</sub>	233.6 (0.752)	311.6 (0.273)	335.2 (0.213)	355.2 (0.200)	438.0 (0.338)	456.0 (0.305)
165b, R=o-CH <sub>3</sub>	232.8 (0.713)	316.0 (0.168)	338.8 (0.107)	351.6 (0.108)	438.0 (0.294)	456.0 (0.274)
165c, R=m-CH <sub>3</sub>	256.4 (0.652)	317.0 (0.280)	342.1 (0.229)	350.0 (0.232)	448.0 (0.527)	456.0 (0543)

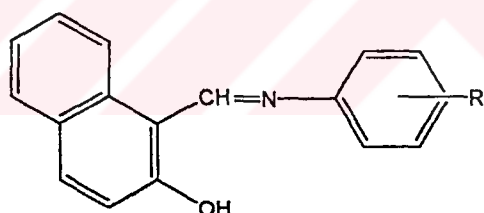
Sentezlediğimiz schiff bazları literatürde bilinen schiff bazları olduğu için karşılaştırma amacı düşünülerek sadece <sup>13</sup>C-NMR spektrumları alınmıştır.



165a, R=H

1-(N-Feniliminometil)-2-naftol'ün ( 165a, R=H) <sup>13</sup>C-NMR (APT) 5 tane C sinyali, 10 tane de CH sinyaline rastlanmıştır (Şekil 8.4 ). Pik işaretlemelerinde

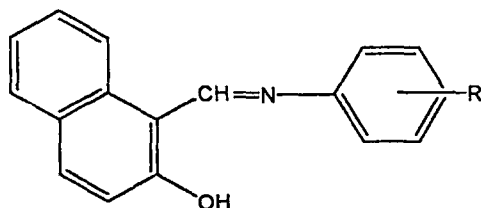
hesaplanan değerler ile gözlenen değerler arasındaki uyum araştırılmıştır. Hesaplanan ve gözlenen sinyallerin uyum içerisinde olduğu tespit edilmiştir. Hesaplanan değerler (Çizelge 9.1.5) prantez içerisinde gösterilmiştir. Hesaplamlarda naftol halkasına bağlı olarak -OH, -CHO grupları; fenil halkasına bağlı olarak da NH<sub>2</sub> grubu sübstitüent olarak alınmıştır (E.Erdik, 1993; Silverstein 1981). Hidrojen içermeyen C- sinyallerinden en solda ki sinalin hidroksil gurubuna bağlı C'a ait olduğu düşünülmüştür. Bu nedenle 171.164 ppm'deki pik C-2 karbonuna ait olarak işaretlenmiştir. 144.746 ppm'deki pikin azometin azotuna (CH=N) bağlı ipso karbonuna ait olduğu tahmin edilmiştir. Yapımızdaki diğer hidrojen içermeyen karbonlar C-1, C-4a ve C-8a karbonları olup bunlarda sırasıyla 108.663, 127.1777 ve 133.251 ppm'de gözlenmişlerdir (Şekil 8.4 ve çizelge 9.1.5). 10 tane CH aromatik sinyallerinden iki tanesi olan C-2' ve C-3' sinyalleri spektrumda daha şiddetli geleceğinden 120.129 ve 129.663 ppm'deki iki şiddetli pik C-2' ve C-3' karbonlarına ait olarak işaretlenmiştir. Geri kalan 8 sinyalden en solda 154.130 ppm'deki pikin de azometinkarbonuna (CH=N) ait olduğu düşünülmüştür. <sup>13</sup>C-NMR APT spektrumunda 126.530, 136.896, 129.351, 123.489, 128.026, 118.756 ppm'deki altı pikin sırasıyla C-3, C-4, C-5, C-6, C-7 ve C-8 karbonlarına ait olduğu düşünülmüştür. 1-(N-feniliminometil)-2-naftolün (165a, R=H) ün <sup>13</sup>C-NMR (APT) spektrum değerleri çizelge 9.1.5 'de gösterilmiştir.



165 b, R= p-CH<sub>3</sub>

1-(N-para-Metilfeniliminometil)-2-naftolün (165d, R=p-CH<sub>3</sub>) <sup>13</sup>C-NMR (APT) spektrumunda (CDCl<sub>3</sub>) 6 tane hidrojensiz karbon sinyali, 9 tane CH sinyali ve 1 tane de CH<sub>3</sub> sinyali gözlenmiştir (Şekil 8.13) ve APT spektrumunda CH<sub>3</sub> ve CH'lar taban çizgisinin altında, C'lar ise taban çizgisinin üzerine gelmiştir. Hidrojensiz C'ların işaretlendirilmesi yapılırken en soldaki 170.984 ppm'deki pikin hidroksil grubuna (-OH) bağlı C-2 karbonuna ait olduğu kabul edilmiştir. C-2 sinalini izleyen 142.138 ppm'deki pikin C-1 ipso karbonuna ait olduğu düşünülmüştür. 108.613, 127.128, 133.264 ve 130.908 ppm'deki piklerin sırasıyla C-1,C-4a, C-8a ve C-4' karbonlarına ait olduğu

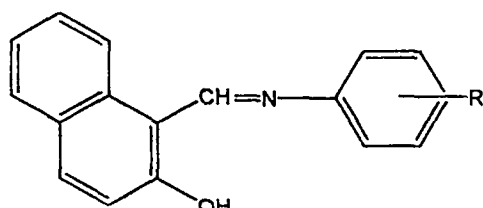
varsayılmıştır. Taban çizgisinin alt kısmında kalan 9 CH sinyalinden şiddetli fazla olan 119.936 ve 130.217 ppm'deki piklerin C-2' ve C-3' karbonlarına ait olduğu kabul edilmiştir. Geri kalan 7 sinyalden en soldaki 153.468 ppm'deki sinyalin azometin ( $\text{CH}=\text{N}$ ) karbonlarına ait olduğu düşünülmüştür. 122.555, 136.560, 129.301, 123.345, 127.957, 118.756 ppm'deki piklerin sırasıyla C-3, C-4, C-5, C-6, C-7 ve C-8 karbonlarına ait olduğu tespit edilmiştir. Metil karbonuda 20.992 ppm'de gözlenmiştir. Bu işaretlemelerde de hesaplanan değerlerin gözlenen değerlerle uyum içerisinde olduğu tespit edilmiştir (Çizelge 9.1.5 ).



165 b, R=o- $\text{CH}_3$

1-(N-ortho-metilfenilikiminometil)-2-naftol'ün (165b, R=o- $\text{CH}_3$ )  $^{13}\text{C}$ -NMR spektrumu (APT) iyi çıkmamıştır (Şekil 8.7 ). Taban çizgisinin üzerinde beklenen 6 sinyale rastlanmamıştır.  $\text{CH}_3$  ve aromatik CH'lara ait sinyaller de çok iyi değildir. Ancak bu spektrumlardan aşağıdaki işaretlemeler yapılmaya çalışılmıştır. 153.416 ppm'deki pik azometin  $\text{CH}=\text{N}$  karbonuna ait olarak işaretlenmiştir.  $^{13}\text{C}$ -NMR spektrumunda (APT) (Şekil 8.7 ) geri kalan 10 sinyalden 4'ü fenil, 6'sı da naftil halkasına aittir.

. 129.050, 117.442, 125.558 ve 115.374 ppm'deki sinyallerin sırası ile C-3', C-4', C-5' ve C-6' karbonlarına ait olduğu anlaşılmıştır. 122.598, 136.636, 129.436, 123.479, 128.093 ve 118.862 ppm'deki sinyallerin ise sırasıyla C-3, C-4, C-5, C-6, C-7 ve C-8 karbonlarına ait oldukları düşünülmüştür.  $\text{CH}_3$  grubuna ait pik ise 18.43 ppm'de gözlenmiştir. 1-(N-ortho-metilfenilikiminometil)-2-naftol'ün ( 165b , R=o- $\text{CH}_3$ )  $^{13}\text{C}$ -NMR değerlerinin hesaplanan değerlerle uyum içerisinde olduğu anlaşılmıştır (Çizelge 9.1.5 ).



165 c, R= m- $\text{CH}_3$

1-(N-meta-metilfeniliminometil)-2-naftol'ün (165c, R=m-CH<sub>3</sub>) <sup>13</sup>C-NMR spektrumunda (APT), 6 tane hidrojensiz karbon sinyali yerine 5 tane karbon sinyali gözlenmiştir (Şekil 8.10). Bu sinyaller de çok küçük gözlenmiştir. Taban çizgisinin üzerindeki sinyalerden en solda gelen 171.548 ppm'deki sinyalin hidroksil grubuna bağlı C-2 karbonuna, bunu izleyen 144.670 ppm'deki sinyalin C-1' ipsokarbonuna 139.715 ppm'deki sinyalin ise C-3' (CH<sub>3</sub>'e bağlı) karbona ait olduğu düşünülmüştür. 133.434 ppm'deki sinyalin C-8a karbonuna, 108.730 ppm'deki en sağdaki pikin ise C-1 karbonuna ait olduğu kabul edilmiştir. ~127 ppm civarında gelmesi beklenen C-4a sinyali spektrumda gözlenmemiştir. Bunun nedeni diğer sinyallerin çok küçük olmasından dolayı olabilir. Taban sinyalinin altında 11 tane aromatik CH, 1 tane de CH<sub>3</sub> sinyali gözlenmiştir. Aromatik CH sinyallerinden en solda gelen 153.829 ppm'deki sinyal azometin CH=N karbonuna ait olarak işaretlenmiştir. Fenil halkasındaki C-2', C-4', C-5' ve C-6' karbonlarına ait sinyallerde sırası ile 120.826, 127.314, 129.497 ve 117.143 ppm'de gözlenmiştir. Geri kalan 6 sinyalin de naftil halkasındaki =CH'lardan kaynaklandığı ve 122.742, 136.850, 129.363, 123.457, 128.058 ve 118.803 ppm'deki piklerin sırası ile C-3, C-4, C-5, C-6, C-7 ve C-8 karbonlarına ait olduğu düşünülmüştür. Metil sinyali ise 21.409 ppm'de gözlenmiştir. Bu işaretlemelerde uyum içerisinde olduğu tespit edilmiştir (Çizelge 9.1.5).

Çizelge 9.1.5. Naftolik Schiff Bazlarının (165)  $^{13}\text{C}$ -NMR Spektrum Verileri.

Karbon numarası	(R=H)	(R=p-CH <sub>3</sub> )	(R=o-CH <sub>3</sub> )	(R=m-CH <sub>3</sub> )
C-1	108.663 (124.4)	108.613 (124.4)	<u>124.4</u>	108.730 (124.4)
C-2	171.164 (154)	170.984 (154)	<u>154</u>	171.548 (154)
C-3	122.530 (114.4)	122.555 (114.4)	<u>114.4</u>	122.742 (114.4)
C-4	136.896 (135.5)	136.560 (135.5)	<u>135.5</u>	136.850 (135.5)
C-4a	127.177 (127.6)	127.128 (127.6)	<u>127.6</u>	<u>127.6</u>
C-5	129.351 (128.1)	129.301 (128.1)	<u>128.1</u>	129.363 (128.1)
C-6	123.498 (125.9)	123.345 (125.9)	<u>125.9</u>	123.457 (125.9)
C-7	128.076 (125.9)	127.957 (125.9)	<u>125.9</u>	128.058 (125.9)
C-8	118.756 (128.1)	118.756 (128.1)	<u>128.1</u>	118.803 (128.1)
C-8a	133.251 (136.3)	133.264 (136.3)	<u>136.3</u>	133.434 (136.3)
C-1'	144.746 (147.7)	142.138 (144.6)	<u>148.3</u>	144.670 (147.7)
C-2'	120.129 (116)	119.936 (116)	<u>116</u>	120.826 (116.7)
C-3'	129.663 (129.8)	130.217 (129.2)	<u>129.2</u>	139.715 (139)
C-4'	126.470 (119)	130.908 (128.3)	<u>128.3</u>	127.314 (119)
C-5'	<u>129.8</u>	<u>129.2</u>	<u>126.7</u>	129.497 (129.8)
C-6'	<u>116.1</u>	<u>116</u>	<u>116</u>	117.143 (113)
C-H=N	154.130	153.468	153.416	153.829
C-2-CH <sub>3</sub>	—	—	18.429	—
C-3-CH <sub>3</sub>	—	—	—	21.409
C-4-CH <sub>3</sub>	—	20.992	—	—
Parantez içindeki değerler teorik olarak hesaplanan değerlerdir.				

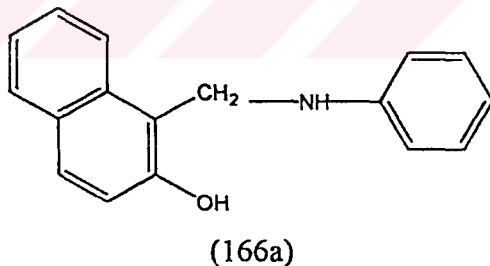
## 9.2. Naftilik Schiff Bazlarının $\text{NaBH}_4$ İle İndirgenmesi

1-(N-feniliminometil)-2-naftol (165a), 1:1 oranındaki metanol ve dioksan içinde çözündükten sonra  $\text{NaBH}_4$  eklerek sarı renkli Schiff bazının rengi yok oluncaya kadar (1 saat) karıştırılmış ve daha sonra buzlu su ile madde çöktürülmüştür (Mohan, K.R., Rajeshwar, K. ve Sudhakar, C., 1984). %75 verimle elde edilen ürünün erime noktası 95 °C olarak bulunmuştur.

Maddenin IR spektrumunda,  $3387 \text{ cm}^{-1}$  'de OH ve  $3300 \text{ cm}^{-1}$  'de NH grubuna ait absorbsiyon bantları gözlenmiştir.  $1600-1450 \text{ cm}^{-1}$ 'deki absorbsiyon bantları aromatik yapıyı desteklemiştir.  $1242 \text{ cm}^{-1}$  'de C-O bandı gözlenmiştir.  $775$  ve  $700 \text{ cm}^{-1}$  'deki bantlar da monosubstitüe fenil halkasına ait olarak işaretlenmiştir (Şekil 8.14).

Maddenin UV spektrumunda  $334.8$ ,  $323.2$  ve  $289.6 \text{ nm}$  'de absorbsiyon pikleri gözlenmiştir (Şekil 8.15). Asit eklendikten sonra maddenin UV spektrumu tekrar alındığında  $2.5 \text{ nm}$  hipsokromik kayma gözlenmiştir. Baz eklendikten sonra alınan spektrumun nötral UV spektrumu ile aynı olduğu anlaşılmıştır.

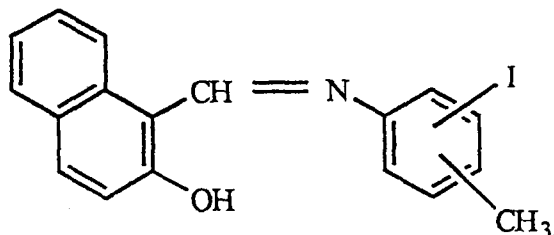
**Çizelge 9.2.1. 1-(N-fenilaminometil)-2-naftol (166a)'nın nötral, bazik ve asidik ortamda  $\lambda_{\max}$  (nm) değerleri**



UV (Metanol), $\lambda_{\max}$ (abs)	UV(OH <sup>-</sup> ), $\lambda_{\max}$ (abs)	UV (H <sup>+</sup> ), $\lambda_{\max}$ (abs)
334.8 (0.440)	330.5 (0.140)	332.5 (0.340)
323.2 (0.405)	289.0 (0.855)	321.2 (0.302)
289.6 (0.895)		287.3 (0.640)

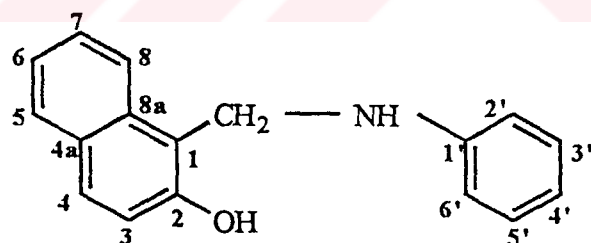
Maddenin <sup>1</sup>H-NMR spektrumu da yapıyı desteklemiştir.  $4.78 \text{ ppm}$ 'de 2-protonluk singlet ve aromatik bölgede 11-protonluk sinyaller gözlenmiştir (Şekil 8.16).  $4.78 \text{ ppm}$ 'deki 2-protonluk singletin  $-\text{CH}_2\text{-NH-}$  metilen protonlarına ait olduğu

düşünülmüştür. Aromatik bölgenin genişletilmiş spektrumundan aromatik protonlar işaretlenmiştir (Şekil 8.16a). Aromatik protonların işaretlenmesinde Schiff bazlarının (165)  $^1\text{H-NMR}$  spektrum değerlendirmelerinden yararlanılmıştır (D.Özögüt, 1998).



(165)

Genişletilmiş  $^1\text{H-NMR}$  spektrumunda 7.82 ppm ( $J_{7,8}=8.5$  Hz), 7.65 ppm ( $J_{5,6}=8.8$  Hz) ve 7.73 ppm ( $J_{3,4}=8.0$  Hz) değerlerindeki birer protonluk doubletler sırasıyla H-8, H-5 ve H-4 protonlarına ait olarak işaretlenmiştir. 7.39 ppm ( $J_{6,7}=7.2$  Hz,  $J_{7,8}=8.0$  Hz) ve 7.27 ppm ( $J_{5,6}=8.8$  Hz) değerlerindeki birer protonluk iki tripletin H-7 ve H-6 protonlarına ait olduğu düşünülmüştür. Naftil halkasındaki H-3 protonu ise 7.05 ppm'de 1-protonluk doublet ( $J_{3,4}=8.8$  Hz) olarak gözlenmiştir. 7.18 ppm'deki 2-protonluk tripletin ( $J_{2',3'}=7.0$  Hz,  $J_{3',4'}=8.9$  Hz) H-3' ve H-5' protonlarına ait olduğu varsayılmıştır. 6.86 ppm'deki 1-protonluk triplet ( $J_{3',4'}=J_{4',5'}=7.3$  Hz) H-4' protonuna; 6.79 ppm'deki 2-protonluk doublet ( $J_{2',3'}=J_{5',6'}=7.8$  Hz) H-2' ve H-6 protonlarına ait olarak işaretlenmiştir.



(166a)

Maddenin  $^{13}\text{C-NMR}$  spektrumu da yapıyı doğrulamıştır (Şekil 8.17). Maddenin DEPT spektrumunda 1 tane  $-\text{CH}_2-$  sinyali, 9 tane de aromatik  $-\text{CH}-$  sinyali gözlenmiştir (Şekil 8.17a).  $^{13}\text{C-NMR}$  spektrumu değerlendirilmesinde önce hesaplamalar yapılmıştır. Hesaplamalar yapılırken 2-hidroksi-1-metilnaftalen ve aniline göre hesaplamalar yapılmıştır ve işaretlemelerde bu değerlerden yararlanılmıştır.

DEPT spektrumunda şiddeti yüksek gelen 116.310 ve 129.838 ppm'deki sinyallerin C-2'-C-6' ve C-3'-C-5' karbonlarına ait olduğu anlaşılmıştır. Gözlenen değerler hesaplanan (115.2 ve 129.4 ppm) değerlerle uyum içinde bulunmuştur. Geri kalan 6 sinalın de naftil halkasındaki aromatik protonlara ait olduğu düşünülperek işaretlemeler yapılmıştır. 121.448, 129.991, 129.345, 123.372 ve 119.572 ppm'deki sinyallerin sırasıyla C-3, C-4, C-5, C-6, C-7 ve C-8 karbonlarına ait olduğu düşünülmüştür. C-1, C-2, C-4a, C-8a ve C-1' karbonlarının işaretlenmesinde normal  $^{13}\text{C}$ -NMR spektrumundan yararlanılmıştır. 155.315 ve 147.358 ppm'deki düşük alandaki sinyaller C-2 ve C-1' karbonlarına ait olarak işaretlenmiştir.  $^{13}\text{C}$ -NMR spektrumunda aromatik bölgenin en sağında 112.750 ppm'de gelen küçük sinalın C-1 karbonuna ait olduğu düşünülmüştür. 131.094 ve 132.094 ppm'deki sinyaller sırasıyla C-8a ve 'C-4a karbonlarına ait olarak işaretlenmiştir.

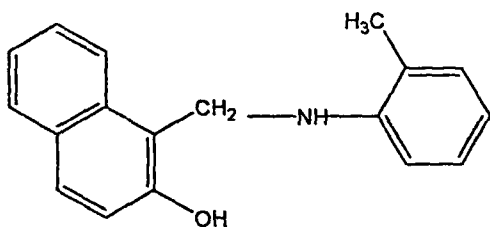
Yukarıdaki açıklanan spektroskopik verilerden yapının 1-(N-fenilaminometil)-2-naftol (166a) olduğu anlaşılmıştır.

1-(N-ortho-metilfeniliminometil)-2-naftol (165b), 1:1 oranındaki metanol ve dioksan içinde çözündükten sonra  $\text{NaBH}_4$  eklenderek sarı renkli Schiff bazının rengi yok oluncaya kadar (1 saat) karıştırılmış ve daha sonra buzlu su ile madde çöktürülmüştür (Mohan, K.R. , Rajeshwar, K. ve Sudhakar, C. , 1984). %84 verimle elde edilen ürünün erime noktası  $60^\circ\text{C}$  olarak bulunmuştur.

Maddenin IR spektrumunda,  $3438\text{ cm}^{-1}$  'de OH ve  $3285\text{ cm}^{-1}$  'de NH grubuna ait absorbсиyon bantları gözlenmiştir.  $1650-1500\text{ cm}^{-1}$ 'deki absorbсиyon bantları aromatik yapıyı desteklemiştir.  $1242\text{ cm}^{-1}$  'de C-O bandı gözlenmiştir.  $760\text{ cm}^{-1}$  'deki bant da orto-disubstitüe fenil halkasına ait olarak işaretlenmiştir (Şekil 8.18).

Maddenin UV spektrumunda 334.8, 326.8 ve  $290.0\text{ nm}$  'de absorbсиyon pikleri gözlenmiştir (Şekil 8.19). Asit eklenderek maddenin UV spektrumu tekrar alındığında 333.6, 320.2 ve  $291.2\text{ nm}$ 'de baz eklenderek alınan spektrumda da 333.8, 318.2, 288.1 nm'de absorbсиyon maksimumları gözlenmiştir.

**Çizelge 9.2.2. 1-(N-orto-metilfenilaminometil)-2-naftol (166b)'ün nötral, bazik ve asidik ortamındaki  $\lambda_{\text{max}}$  (nm) değerleri**



(166b)

UV (Metanol), $\lambda_{\text{max}}$ (abs)	UV ( $\text{OH}^-$ ), $\lambda_{\text{max}}$ (abs)	UV ( $\text{H}^+$ ), $\lambda_{\text{max}}$ (abs)
334.8 (0.339)	333.8 (0.219)	333.6 (0.345)
326.8 (0.304)	318.2 (0.214)	320.2 (0.364)
290.0 (0.697)	288.1 (0.737)	291.2 (0.687)

Maddenin  $^1\text{H-NMR}$  spektrumu da yapıyı desteklemiştir. 2.32 ppm'de 3-protonluk singlet, 4.76 ppm'de 2-protonluk singlet ve aromatik bölgede 10-protonluk sinyaller gözlenmiştir (Şekil 8.20). 2.32 ve 4.76 ppm'deki sinyallerin metil ve  $-\text{CH}_2\text{-NH-}$  metilen protonlarına ait olduğu düşünülmüştür.

Aromatik bölgenin genişletilmiş spektrumundan aromatik protonlar işaretlenmiştir (Şekil 8.20a). Genişletilmiş  $^1\text{H-NMR}$  spektrumunda, 7.81 ppm ( $J_{7,8}=8.5$  Hz), 7.72 ppm ( $J_{4,5}=8.2$  Hz) ve 7.65 ppm ( $J_{5,6}=8.9$  Hz) değerlerindeki birer protonluk doubletler sırasıyla H-8, H-4 ve H-5 protonlarına ait olarak işaretlenmiştir. 7.40 ppm ( $J_{5,7}=1.9$  Hz,  $J_{7,8}=J_{6,7}=6.2$  Hz) ve 7.26 ppm ( $J_{6,8}=1.0$  Hz,  $J_{5,6}=J_{6,7}=7.5$  Hz) değerlerindeki birer protonluk doubletlerin tripletlerinin H-7 ve H-6 protonlarına ait olduğu düşünülmüştür. 7.041 ppm'deki 1 protonluk doubletin ( $J_{3,4}=7.8$  Hz) H-3 protonuna ait olarak işaretlenmiştir. 7.053 ppm'deki 1-protonluk doubletin ; 6.68 ppm'deki 1-protonluk doubletin ( $J_{4',5'}=7.6$  Hz) ; 6.63 ppm'deki 1-protonluk yayvan singletin ve 6.60 ppm'deki 1-protonluk doubletin ( $J_{5',6'}=8.8$  Hz) sırasıyla H-3', H-5', H-4' ve H-6' protonlarına ait olduğu anlaşılmıştır.

Maddenin  $^{13}\text{C-NMR}$  spektrumu da yapıyı desteklemiştir (Şekil 8.21).  $^{13}\text{C-N.M.R.}$  spektrumunda aromatik bölgede 16 sinyal ve 1 tane metilen ve 1 tane de metil sinyalleri gözlenmiştir. Maddenin DEPT spektrumunda ise 44.589 ppm'deki sinyalin  $-\text{CH}_2\text{-NH-}$

metilen karbonlarından kaynaklandığı düşünülmüştür (Şekil 8.21a). 21.945 ppm'deki sinyal ise metil karbonuna ait olarak işaretlenmiştir. Aromatik -CH-ların işaretlenmesinde ise 1-N-(para-metilfenilaminometil)-2-naftol'ün (165d) <sup>13</sup>C-N.M.R. spektrumundaki verilerden yararlanılmıştır.

DEPT spektrumundaki 10 tane -CH- sinyali aşağıdaki gibi işaretlenmiştir. 121.668, 129.957, 129.320, 123.237, 127.096 ve 119.554 ppm'deki sinyaller sırasıyla C-3, C-4, C-5, C-6, C-7 ve C-8 karbonlarına ait olarak işaretlenmiştir. 129.720, 117.200, 122.376 ve 113.399 ppm'deki sinyallerin ise fenil halkasındaki C-3', C-4', C-5' ve C-6' karbonlarına ait olduğu anlaşılmıştır. Geri kalan 6 sinyal de <sup>13</sup>C-NMR ve DEPT spektrumlarından yararlanılarak işaretlenmiştir. DEPT spektrumunda gözlenmeyip <sup>13</sup>C-NMR spektrumunda gözlenen 115.707, 147.727, 139.706, 133.520, 132.474 ve 112.641 ppm'deki küçük sinyallerin de sırasıyla C-2, C-1', C-2', C-4a, C-8a ve C-1 karbonlarına ait olduğu anlaşılmıştır.

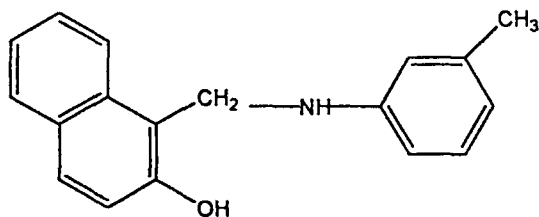
Yukarıdaki açıklanan spektroskopik verilerden yapının 1-(N-ortho-metilfenilaminometil)-2-naftol (166b) olduğu anlaşılmıştır.

1-(N-meta-metilfeniliminometil)-2-naftol (165c), 1:1 oranındaki metanol ve dioksan içinde çözündükten sonra NaBH<sub>4</sub> eklenderek sarı renkli Schiff bazının rengi yok oluncaya kadar (1 saat) karıştırılmış ve daha sonra buzlu su ile madde çöktürülmüştür(Mohan, K.R. , Rajeshwar, K. ve Sudhakar, C. , 1984). %69 verimle elde edilen ürünün erime noktası 102°C olarak bulunmuştur.

Maddenin IR spektrumunda, 3489 cm<sup>-1</sup> 'de OH ve 3300 cm<sup>-1</sup>'de NH grubuna ait absorbsiyon bantları gözlenmiştir. 1650-1470 cm<sup>-1</sup>'deki absorbsiyon bantları aromatik yapıyı desteklemiştir. 1250cm<sup>-1</sup> 'de C-O bandı gözlenmiştir. 850-706 cm<sup>-1</sup> 'deki bantlar da meta-disübsttüe fenil halkasına ait olarak işaretlenmiştir (Şekil 8.22).

Maddenin UV spektrumunda 334.4, 322.0 ve 288.4 nm'de absorbsiyon pikleri gözlenmiştir (Şekil 8.23). Asit eklenderek maddenin UV spektrumu tekrar alındığında 332.0, 320.1 ve 286.0 nm'de baz eklenderek alınan spektrumda da 330.0, 318.1 ve 285.0 nm'de absorbsiyon maksimumları gözlenmiştir.

**Çizelge 9.2.3. 1-(N-meta-metilfenilaminometil)-2-naftol (166c)'ün nötral, bazik ve asidik ortamındaki  $\lambda_{\text{max}}$  (nm) değerleri**



(166c)

UV (Metanol), $\lambda_{\text{max}}$ (abs)	UV ( $\text{OH}^-$ ), $\lambda_{\text{max}}$ (abs)	UV ( $\text{H}^+$ ), $\lambda_{\text{max}}$ (abs)
334.4(0.253)	330.0(0.213)	332.0(0.163)
322.0(0.258)	318.1(0.140)	320.1(0.142)
288.4(0.819)	285.0(0.821)	286.0(0.579)

Maddenin  $^1\text{H}$ -NMR spektrumu da yapıyı desteklemiştir. 2.18 ppm'de 3-protonluk singlet, 4.76 ppm' de 2-protonluk singlet ve aromatik bölgede 10-protonluk sinyaller gözlenmiştir (Şekil 8.24). 2.18 ve 4.76 ppm'deki sinyallerin metil ve  $-\text{CH}_2\text{-NH-}$  metilen protonlarına ait olduğu düşünülmüştür.

Aromatik bölgenin genişletilmiş spektrumundan aromatik protonlar işaretlenmiştir (Şekil 8.24a). Genişletilmiş  $^1\text{H-N.M.R.}$  spektrumunda, 7.81 ppm ( $J_{7,8}=8.5$  Hz), 7.72 ppm ( $J_{3,4}=8.05$  Hz) ve 7.65 ppm ( $J_{5,6}=8.8$  Hz) ' deki birer protonluk dubletler sırasıyla H-8, H-4 ve H-5 protonlarına ait olarak işaretlenmiştir. 7.40 ppm ( $J_{6,7}=7.2$  Hz,  $J_{7,8}=7.4$  Hz) ve 7.26 ppm ( $J_{5,6}=J_{6,7}=7.4$  Hz)' deki birer protonluk tripletler de H-7 ve H-6 protonlarına ait olduğu düşünülmüştür. 7.04 ppm'deki 1-protonluk dubletin ( $J_{3,4}=7.7$  Hz) H-3 protonuna ait olduğu düşünülmüştür. 7.05 ppm'deki 1-protonluk tripletin ( $J'_{4,5'}=5.35$  Hz,  $J'_{5',6'}=7.7$  Hz); 6.68 ppm'deki 1-protonluk dubletin ( $J'_{3,4'}=7.4$  Hz) ; 6.62 ppm'deki 1-protonluk yayvan singletin ve 6.59 ppm'deki 1-protonluk dubletin ( $J'_{5',6'}=7.7$  Hz) sırasıyla H-5', H-4', H-2' ve H-6' protonlarına ait olduğu düşünülmüştür.

Maddenin  $^{13}\text{C-NMR}$  spektrumu da yapıyı desteklemiştir (Şekil 8.25).  $^{13}\text{C-NMR}$  spektrumunda aromatik bölgede 16 sinal ve 1 tane metilen ve 1 tane de metil sinyalleri

gözlenmiştir. Maddenin DEPT spektrumunda ise 44.174 ppm'deki sinyalin -CH<sub>2</sub>-NH-metilen karbonundan kaynaklandığı düşünülmüştür (Şekil 8.25a). 21.950 ppm'deki sinyal ise metil karbonuna ait olarak işaretlenmiştir. Aromatik -CH- ların işaretlenmesinde ise 1-N-(para-metilfenilaminometil)-2-naftol'ün (166d) <sup>13</sup>C-N.M.R. spektrumundaki verilerden yararlanılmıştır.

DEPT spektrumundaki 10 tane -CH- sinyali aşağıdaki gibi işaretlenmiştir. 121.703, 129.955, 129.319, 123.343, 127.096 ve 119.590 ppm'deki sinyaller sırasıyla C-3, C-4, C-5, C-6, C-7 ve C-8 karbonlarına ait olarak işaretlenmiştir. 117.200, 122.376, 129.718 ve 113.401 ppm'deki sinyallerin ise fenil halkasındaki C-2', C-4',C-5' ve C-6' karbonlarına ait olduğu anlaşılmıştır. Geri kalan 6 sinyal de <sup>13</sup>C-N.M.R. ve DEPT spektrumlarından yararlanılarak işaretlenmiştir. DEPT spektrumunda gözlenmeyip <sup>13</sup>C-NMR spektrumunda gözlenen 155.333, 147.354, 139.050, 130.083, 132.104 ve 112.846 ppm'deki küçük sinyallerin de sırasıyla C-2, C-1', C-3', C-4a, C-8a ve C-1 karbonlarına ait olduğu anlaşılmıştır.

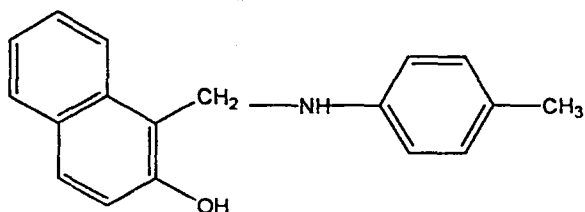
Yukarıda açıklanan spektroskopik verilerden yapının 1-(N-metilfenilaminometil)-2-naftol (166c) olduğu anlaşılmıştır.

1-(N-para-metilfeniliminometil)-2-naftol (165d), 1:1 oranındaki metanol ve dioksan içinde çözündükten sonra NaBH<sub>4</sub> eklenderek sarı renkli Schiff bazının rengi yok oluncaya kadar (1 saat) karıştırılmış ve daha sonra buzlu su ile madde çöktürülmüştür(Mohan, K.R. , Rajeshwar, K. ve Sudhakar, C. , 1984). %60 verimle elde edilen ürünün erime noktası 127°C olarak bulunmuştur.

Maddenin IR spektrumunda, 3464 cm<sup>-1</sup> 'de OH ve 3300 cm<sup>-1</sup>'de NH grubuna ait absorbsiyon bantları gözlenmiştir. 1640-1460 cm<sup>-1</sup>'deki absorbsiyon bantları aromatik yapıyı desteklemiştir. 1240 cm<sup>-1</sup> 'de C-O bandı gözlenmiştir. 810 cm<sup>-1</sup> 'deki bantlar da para-disübstüe fenil halkasına ait olarak işaretlenmiştir (Şekil 8.26).

Maddenin UV spektrumunda 334.8, 327.2 ve 290.4 nm'de absorbsiyon pikleri gözlenmiştir (Şekil 8.27). Asit eklenderek maddenin UV spektrumu tekrar alındığında 332.4, 324.3 ve 287.2 nm'de baz eklenderek alınan spektrumda da 330.6, 322.1 ve 285.4 nm'de absorbsiyon maksimumları gözlenmiştir.

**Çizelge 9.2.4. 1-(N-para-metilfenilaminometil)-2-naftol (166d)'ün nötral, bazik ve asidik ortamındaki  $\lambda_{\text{max}}$  (nm) değerleri**



(166d)

UV (Metanol), $\lambda_{\text{max}}$ (abs)	UV ( $\text{OH}^-$ ), $\lambda_{\text{max}}$ (abs)	UV ( $\text{H}^+$ ), $\lambda_{\text{max}}$ (abs)
334.8 (0.401)	330.6 (0.271)	332.4 (0.261)
327.2 (0.346)	322.1 (0.256)	324.3 (0.216)
290.4 (0.720)	285.4 (0.860)	287.2 (0.580)

Maddenin  $^1\text{H-NMR}$  spektrumunda, 2.23 ppm'de 3-protonluk singlet, 4.77 ppm'de 2-protonluk singlet ve aromatik bölgede 8-protonluk sinyaller gözlenmiştir (Şekil 8.28). 2.23 ve 4.77 ppm'deki sinyallerin metil ve  $-\text{CH}_2\text{-NH-}$  metilen protonlarına ait olduğu düşünülmüştür.

Aromatik bölgenin genişletilmiş spektrumundan aromatik protonlar işaretlenmiştir (Şekil 8.28a). Genişletilmiş  $^1\text{H-NMR}$  spektrumunda, 7.83 ppm ( $J_{7,8}=8.6$  Hz), 7.75 ppm ( $J_{3,4}=8.0$  Hz) ve 7.67 ppm ( $J_{5,6}=8.8$  Hz) 'deki birer protonluk dubletler sırasıyla H-8, H-4 ve H-5 protonlarına ait olarak işaretlenmiştir. 7.43 ppm'deki 1-protonluk dubletin tripleti ( $J_{6,7}=7.2$  Hz,  $J_{7,8}=7.4$  Hz,  $J_{5,7}=0.8$  Hz) ve 7.29 ppm ( $J_{5,6}=J_{6,7}=7.4$  Hz)'deki 1-protonluk triplet de H-7 ve H-6 protonlarına ait olduğu ve 7.08 ppm'deki 1-protonluk dubletin ( $J_{3,4}=8.8$  Hz) H-3 protonuna ait olduğu düşünülmüştür. 6.99 ve 6.73 ppm'deki 2-protonluk dubletler ( $J'_{2,3}=8.3$  Hz ;  $J'_{2,3}=8.1$  Hz) sırasıyla 3'-H ve 2'-H protonlarına ait olduğu anlaşılmıştır.

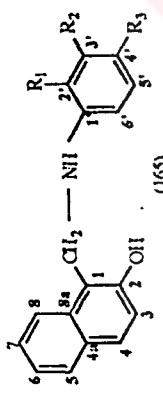
Maddenin  $^{13}\text{C-NMR}$  spektrumu da yapıyı desteklemiştir (Şekil 8.29).  $^{13}\text{C-N.M.R.}$  spektrumunda aromatik bölgede 13 sinyal ve 1 tane metilen ve 1 tane de metil sinyalleri gözlenmiştir. Maddenin DEPT spektrumunda ise 45.220 ppm'deki sinyalin  $-\text{CH}_2\text{-NH-}$

metilen karbonundan kaynaklandığı düşünülmüştür (Şekil 8.29a). 20.948 ppm'deki sinyal ise metil karbonuna ait olarak işaretlenmiştir.

DEPT spektrumundaki 8 tane -CH- sinyali aşağıdaki gibi işaretlenmiştir. 121.653, 129.898, 129.348, 123.297, 127.075 ve 119.681 ppm'deki sinyaller sırasıyla C-3, C-4, C-5, C-6, C-7 ve C-8 karbonlarına ait olarak işaretlenmiştir. 130.342 ve 116.602 ppm'deki sinyallerin ise fenil halkasındaki C-3' ve C-2' karbonlarına ait olduğu anlaşılmıştır. Geri kalan 6 sinyal de  $^{13}\text{C-N.M.R}$ . ve DEPT spektrumlarından yararlanılarak işaretlenmiştir. 155.986, 145.258, 132.056, 131.055, 129.264 ve 113.242 ppm'deki sinyaller de sırasıyla C-2, C-1', C-4a, C-8a, C-4', ve C-1 karbonlarına ait olduğu anlaşılmıştır.

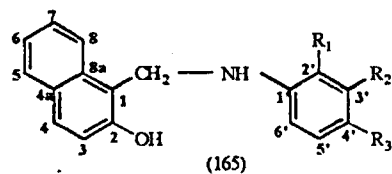
Yukarıdaki açıklanan spektroskopik verilerden yapının 1-(N-para-metilfenilaminometil)-2-naftol (166d) olduğu anlaşılmıştır.

**Çizelge 9.2.5 İndirgemiş Naftolik Schiff Bazlarının (165)  $^1\text{H-NMR}$  Spektrum Verileri**



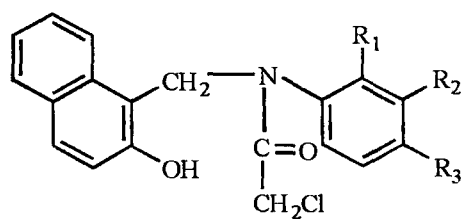
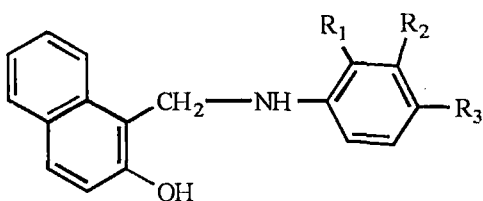
Proton No	165a, $\text{R}_1=\text{R}_2=\text{R}_3=\text{H}$		165b, $\text{R}_2=\text{R}_3=\text{H}, \text{R}_1=\text{CH}_3$		165c, $\text{R}_1=\text{R}_3=\text{H}, \text{R}_2=\text{CH}_3$		165d, $\text{R}_1=\text{R}_2=\text{H}, \text{R}_3=\text{CH}_3$	
	Chemical Shift (ppm)	J Coupling (Hz)	Chemical Shift (ppm)	J Coupling (Hz)	Chemical Shift (ppm)	J Coupling (Hz)	Chemical Shift (ppm)	J Coupling (Hz)
3-H	7.05 (1H,d, $\text{J}_{3,4}=8.8$ Hz)	7.041 (1H,d, $\text{J}_{3,4}=7.71$ Hz)	7.04 (1H,d, $\text{J}_{3,4}=7.7$ Hz)	7.04 (1H,d, $\text{J}_{3,4}=8.8$ Hz)	7.08 (1H,d, $\text{J}_{3,4}=8.0$ Hz)	7.08 (1H,d, $\text{J}_{3,4}=8.8$ Hz)	7.08 (1H,d, $\text{J}_{3,4}=8.0$ Hz)	7.08 (1H,d, $\text{J}_{3,4}=8.8$ Hz)
4-H	7.73 (1H,d, $\text{J}_{3,4}=8.0$ Hz)	7.72 (1H,d, $\text{J}_{4,5}=8.2$ Hz)	7.72 (1H,d, $\text{J}_{4,5}=8.05$ Hz)	7.72 (1H,d, $\text{J}_{4,5}=8.0$ Hz)	7.75 (1H,d, $\text{J}_{3,4}=8.0$ Hz)	7.75 (1H,d, $\text{J}_{3,4}=8.0$ Hz)	7.75 (1H,d, $\text{J}_{3,4}=8.0$ Hz)	7.75 (1H,d, $\text{J}_{3,4}=8.0$ Hz)
5-H	7.65 (1H,d, $\text{J}_{5,6}=8.8$ Hz)	7.65 (1H,d, $\text{J}_{5,6}=8.9$ Hz)	7.65 (1H,d, $\text{J}_{5,6}=8.8$ Hz)	7.65 (1H,d, $\text{J}_{5,6}=8.8$ Hz)	7.67 (1H,d, $\text{J}_{5,6}=8.8$ Hz)	7.67 (1H,d, $\text{J}_{5,6}=8.8$ Hz)	7.67 (1H,d, $\text{J}_{5,6}=8.8$ Hz)	7.67 (1H,d, $\text{J}_{5,6}=8.8$ Hz)
6-H	7.27 (1H,t, $\text{J}_{5,6}=8.8$ Hz)	7.24-7.26-7.28 (1H,d,dt, $\text{J}_{6,8}\cong 1.0$ Hz, $\text{J}_{5,6}=\text{J}_{6,7}=7.5$ Hz)	7.26 (1H,t, $\text{J}_{5,6}=\text{J}_{6,7}=7.4$ Hz)	7.26 (1H,t, $\text{J}_{5,6}=\text{J}_{6,7}=7.4$ Hz)	7.29 (1H,t, $\text{J}_{5,6}=7.3$ Hz, $\text{J}_{6,7}=7.4$ Hz)	7.29 (1H,t, $\text{J}_{5,6}=7.3$ Hz, $\text{J}_{6,7}=7.4$ Hz)	7.29 (1H,t, $\text{J}_{5,6}=7.3$ Hz, $\text{J}_{6,7}=7.4$ Hz)	7.29 (1H,t, $\text{J}_{5,6}=7.3$ Hz, $\text{J}_{6,7}=7.4$ Hz)
7-H	7.39 (1H,t, $\text{J}_{6,7}=7.2$ Hz, $\text{J}_{7,8}=8.0$ Hz)	7.38-7.40-7.42 (1H, dxt, $\text{J}_{5,7}=1.29$ Hz, $\text{J}_{7,8}=6.23$ Hz, $\text{J}_{6,7}=6.20$ Hz)	7.40 (1H,t, $\text{J}_{6,7}=7.2$ Hz, $\text{J}_{7,8}=7.4$ Hz)	7.40 (1H,t, $\text{J}_{6,7}=7.2$ Hz, $\text{J}_{7,8}=7.4$ Hz)	7.43 (1H,dnt, $\text{J}_{6,7}=7.2$ Hz, $\text{J}_{7,8}=7.4$ Hz, $\text{J}_{5,7}=0.8$ Hz)	7.43 (1H,dnt, $\text{J}_{6,7}=7.2$ Hz, $\text{J}_{7,8}=7.4$ Hz, $\text{J}_{5,7}=0.8$ Hz)	7.43 (1H,dnt, $\text{J}_{6,7}=7.2$ Hz, $\text{J}_{7,8}=7.4$ Hz, $\text{J}_{5,7}=0.8$ Hz)	7.43 (1H,dnt, $\text{J}_{6,7}=7.2$ Hz, $\text{J}_{7,8}=7.4$ Hz, $\text{J}_{5,7}=0.8$ Hz)
8-H	7.82 (1H,d, $\text{J}_{7,8}=8.5$ Hz)	7.81 (1H,d, $\text{J}_{7,8}=8.5$ Hz)	7.81 (1H,d, $\text{J}_{7,8}=8.5$ Hz)	7.81 (1H,d, $\text{J}_{7,8}=8.5$ Hz)	7.83 (1H,d, $\text{J}_{7,8}=8.6$ Hz)	7.83 (1H,d, $\text{J}_{7,8}=8.6$ Hz)	7.83 (1H,d, $\text{J}_{7,8}=8.6$ Hz)	7.83 (1H,d, $\text{J}_{7,8}=8.6$ Hz)
2'-H	6.79 (2H,d, $\text{J}_{2,3}^{-1}=7.8$ Hz)	.....	.....	.....	6.62 (1H,s)	6.62 (1H,s)	6.73 (6.4) (2H,d, $\text{J}_{2,3}^{-1}=8.1$ Hz)	6.73 (6.4) (2H,d, $\text{J}_{2,3}^{-1}=8.1$ Hz)
3'-H	7.18 (2H,t, $\text{J}_{2,3}^{-1}\cong 7.0$ Hz, $\text{J}_{3,4}^{-1}=8.9$ Hz)	7.053 (1H,d, $\text{J}_{3,4}^{-1}=8.86$ Hz)	7.053 (1H,d, $\text{J}_{3,4}^{-1}=8.86$ Hz)	7.053 (1H,d, $\text{J}_{3,4}^{-1}=8.86$ Hz)	.....	.....	6.99 (6.82) (2H,d, $\text{J}_{2,3}^{-1}=8.3$ Hz)	6.99 (6.82) (2H,d, $\text{J}_{2,3}^{-1}=8.3$ Hz)
4'-H	6.86 (1H,t, $\text{J}_{3,4}^{-1}=7.3$ Hz)	6.63 (1H, yayw. s.)	6.63 (1H, yayw. s.)	6.63 (1H, yayw. s.)	6.68 (1H,d, $\text{J}_{3,4}^{-1}=7.4$ Hz)	6.68 (1H,d, $\text{J}_{3,4}^{-1}=7.4$ Hz)	.....	.....
5'-H	.....	6.68 (1H,d, $\text{J}_{4,5}^{-1}=7.6$ Hz)	7.05 (1H,t, $\text{J}_{4,5}^{-1}=5.35$ Hz, $\text{J}_{5,6}^{-1}=7.7$ Hz)	7.05 (1H,t, $\text{J}_{4,5}^{-1}=5.35$ Hz, $\text{J}_{5,6}^{-1}=7.7$ Hz)	.....	.....	.....	.....
6'-H	.....	6.60 (1H,d (dxd), $\text{J}_{5,6}^{-1}\cong 8.8$ Hz)	6.59 (1H,d, $\text{J}_{5,6}^{-1}=7.7$ Hz)	6.59 (1H,d, $\text{J}_{5,6}^{-1}=7.7$ Hz)	.....	.....	.....	.....
-CH <sub>2</sub> -NH-	-4.78 (2H,s)	4.76 (2H,s)	4.76 (2H,s)	4.76 (2H,s)	4.77 (2H,s)	4.77 (2H,s)	2.23 (3H,s)	2.23 (3H,s)
-CH <sub>3</sub>	.....	2.32 (3H,s)	2.18 (3H,s)	2.18 (3H,s)	2.23 (3H,s)	2.23 (3H,s)	2.23 (3H,s)	2.23 (3H,s)

**Çizelge 9.2.6. İndirgenmiş Naftolik Schiff Bazlarının (165)  $^{13}\text{C}$ -NMR Spektrum Verileri**



Karbon No	165a, $\text{R}_1=\text{R}_2=\text{R}_3=\text{H}$	165b, $\text{R}_2=\text{R}_3=\text{H}$ , $\text{R}_1=\text{CH}_3$ ,	165c, $\text{R}_1=\text{R}_3=\text{H}$ , $\text{R}_2=\text{CH}_3$	165d, $\text{R}_1=\text{R}_2=\text{H}$ , $\text{R}_3=\text{CH}_3$
C-1	112.754	112.641	112.846	113.142
C-2	155.315	155.707	155.333	155.986
C-3	121.448	121.668	121.703	121.653
C-4	129.991	129.957	129.955	129.898
C-4a	132.094	133.520	130.083	132.056
C-5	129.345	129.320	129.319	129.348
C-6	123.372	123.237	123.343	123.297
C-7	127.133	127.096	127.096	127.075
C-8	119.572	119.554	119.590	119.681
C-8a	131.094	132.474	132.104	131.055
C-1'	147.358 (136.5)	147.727 (137.2)	147.354 (146.4)	145.258 (143.6)
C-2'	116.310 (115.2)	139.706 (124.1)	117.200 (114.5)	116.602 (115.1)
C-3'	129.838 (129.4)	129.720 (130.1)	139.050 (138.3)	130.342 (130.1)
C-4'	121.688 (118.7)	117.200 (118.6)	122.376 (119.4)	129.264 (127.6)
C-5'	.....	122.376 (126.5)	129.718 (129.2)	.....
C-6'	.....	113.399 (115.4)	113.401 (112.3)	.....
-CH <sub>2</sub> -NH-	44.540	44.589	44.174	45.220
-CH <sub>3</sub>	.....	21.945	21.950	20.948
Parantez içindeki değerler teorik olarak hesaplanan değerlerdir.				

### 9.3. İndirgenen Schiff Bazlarının Dikloroasetilklorür İle Reaksiyonu



- a)  $R_1 = R_2 = R_3 = H$
- b)  $R_1 = CH_3, R_2 = R_3 = H$
- c)  $R_1 = R_3 = H, R_2 = CH_3$
- d)  $R_1 = R_2 = H, R_3 = CH_3$

Amaç kısmında da belirtildiği gibi  $NaBH_4$  ile indirgeyerek elde edilen aminleri

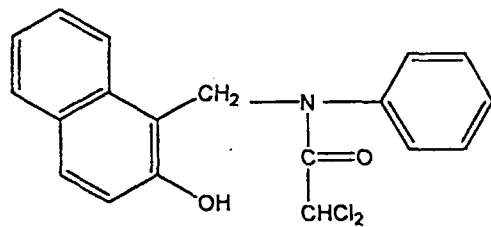
(166) dikloroasetilklorürle reaksiyona girdirerek diaçil türevleri sentezlenmek istenmiş ancak N-acil türevleri (167) elde edilmiştir.

1-N-(fenilaminometil)-2-naftol (4.01mmol) (166a) susuz benzen içinde dikloroasetilklorür ile (6.7 mmol) iki saat geri soğutucu altında ısıtılmıştır. Çözücü ve dikloroasetilklorürün fazlası damıtma yöntemiyle ortamdan uzaklaştırılarak geri kalan ham ürün alkolden %83 verimle kristallendirilmiştir (e.n:138°C) (Mohan, K.R. , Rajeshwar, K. ve Sudhakar, C. , 1984).

Elde edilen ürünün IR spektrumunda  $1682\text{ cm}^{-1}$ 'deki pikin amit karbonilinden kaynaklandığı anlaşılmıştır.  $1655 - 1421\text{ cm}^{-1}$ 'de aromatik yapıya ait absorbsiyon bantları gözlenmiştir.  $760$  ve  $731\text{ cm}^{-1}$ 'deki absorbsiyon bantları monosübstitüsyonu doğrulamıştır.  $604\text{ cm}^{-1}$ 'deki absorbsiyon pikinin de C-Cl bağından kaynaklandığı düşünülmüştür (Şekil 8.30 ).

Maddenin UV spektrumunda 343.2, 327.6 ve 296.8 nm'de absorbsiyon maksimumları gözlenmiştir. Asit eklenmesiyle 341.5, 324.5 ve 294.5 nm'de baz eklenmesiyle de 342.3, 321.5 ve 293.2 nm'de absorbsiyon maksimumları gözlenmiştir (Şekil 8.31).

**Çizelge 9.3.1. (1-N -dikloroasetil)-N-(fenilaminometil)-2-naftol (167a)'ün nötral, bazik ve asidik ortamındaki (nm) değerleri**



(167a)

UV (Metanol), $\lambda_{\text{max}}$ (abs)	UV ( $\text{OH}^-$ ), $\lambda_{\text{max}}$ (abs)	UV ( $\text{H}^+$ ), $\lambda_{\text{max}}$ (abs)
343.2 (0.870)	342.3 (0.820)	341.2 (0.810)
327.6 (0.034)	321.5 (0.043)	324.5 (0.036)
296.8 (0.938)	293.2 (0.712)	294.5 (0.698)

Maddenin  $^1\text{H}$ -NMR spektrumu da yapıyı desteklemiştir. 5.77 ve 5.23 ppm'de sırasıyla H-1 ve H-2 lik iki singlet gözlenmiştir. Bu iki singletin gözlenmesi fenolik oksijenin de açıllenmediğini göstermiştir (Şekil 8.32). Bu nedenle yapının (167) olabileceği düşünülmüştür. Zaten I.R. spektrumunda da bir karbonil pikinin gelmesi bu düşünceyi doğrulamıştır.

5.77 ppm'deki 1-protonluk singletin N(CO)-CH-Cl<sub>2</sub> protonuna, 5.23 ppm'deki 2-protonluk singletin -CH<sub>2</sub>-N- metilen protonlarına ait olduğu düşünülmüştür. Genişletilmiş  $^1\text{H}$ -NMR. spektrumunda aromatik -CH- protonları işaretlenmiştir (Şekil 8.32a). 6.68 ppm deki 1-protonluk dublet ( $J_{3,4}=8.61$  Hz) H-3 protutuna, 6.90 ppm'deki 1-protonluk tripletin ( $J_{4,5}=7.1$  Hz) H-4' protonlarına ait olduğu düşünülmüştür. 7.1 ppm'deki 2-protonluk dublet ( $J_{2,3}=7.21$  Hz) ve 7.17 ppm'de 1- protonluk dublet ( $J_{4,3}=8.6$  Hz) H-2', H-6' ve H-4 protonlarına ait olarak işaretlenmiştir. Benzendeki H-3' ve H-5' konumundaki protonlar eşdeğer olduğu için 7.33 ppm'deki 2-protonluk triplet ( $J_{3',4'}=J_{5',6'}=7.2$  Hz.) H-3' ve H-5' protonlarına ait olarak işaretlenmiştir. 7.06 –7.41 ppm'deki birer protonluk tripletlerin ( $J_{6,7}=7.43$  Hz;  $J_{7,8}=7.36$  Hz) H-6 ve H-7 protonlarına ait olduğu düşünülmüştür. 7.62 –7.67 ppm deki birer protonluk dubletler ( $J_{5,6}=7.98$  Hz;  $J_{7,8}=8.88$  Hz.) H-5 ve H-8 protonları olarak işaretlenmiştir. Maddenin D<sub>2</sub>O exchange spektrumu

(Şekil 8.35) alınmış, 9.5 ppm deki 1-protonluk singletin kaybolduğu görülmüş, bu pikin OH grubuna ait olduğu düşünülmüştür.

Maddenin  $^{13}\text{C}$ -NMR spektrumunda 17 tane sinyal gözlenmiştir (Şekil 8.33). Bunlardan ikisi doymuş gruba ait bölgede gelmiştir. 47.104 ve 63.773 ppm'deki sinyallerin sırasıyla

$-\text{CH}_2\text{-N-}$ ,  $\text{N}(\text{CO})\text{-CH}_2\text{-Cl}$  karbonlarına ait olduğu düşünülmüştür. 166.951 ppm'deki sinyalin  $\text{N}(\text{CO})$ - karbonil karbonuna ait olarak işaretlenmiştir. Aromatik  $-\text{CH-}$  ve  $-\text{C-}$  karbonlarının işaretlenmesi için maddenin  $^{13}\text{C}$ -NMR ve HETCOR spektrumundan yararlanılmıştır (Şekil 8.33 ve 8.34).  $^{13}\text{C}$ -NMR spektrumunda 9 tane  $-\text{CH-}$  sinyali gözlenmiştir. 120.432, 130.379, 130.910, 126.660, 128.910 ve 123.174 ppm'deki sinyaller sırasıyla C-3, C-4, C-3', C-4', C-7 ve C-6 karbonlarına, 122.226, 133.539, ve 128.585 ppm'deki sinyaller ise C-8, C-5 ve C-2' karbonlarına ait olarak işaretlenmiştir. Geriye kalan proton içermeyen karbon işaretlenmesi aşağıdaki gibidir. 21.850, 139.879 ve 155.401 ppm'deki sinyaller C-1, C-1' ve C-2 karbonlarına; 129.211-133.810 ppm deki sinyaller C-4a ve C-8a karbonlarına ait olarak işaretlenmiştir.

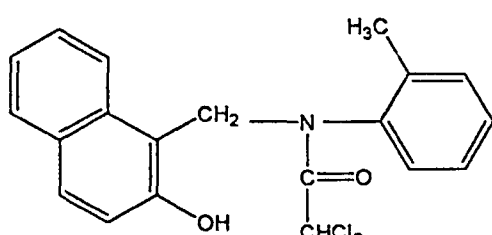
Yukarıdaki spektroskopik verilerden maddenin (1-N-dikloroasetil)-N-(fenilaminometil)-2-naftol (167a) olduğu anlaşılmıştır.

1-N-(orto-metilfenilaminometil)-2-naftol (3.7 mmol) (166b) susuz benzen içinde dikloroasetilklorür ile (6.7 mmol) iki saat geri soğutucu altında ısıtılmıştır. Çözücü ve dikloroasetilklorürün fazlası damıtma yöntemiyle ortamdan uzaklaştırılarak geri kalan ham ürün alkolden %165 verimle kristallendirilmiştir (e.n: 117 °C) (Mohan, K.R., Rajeshwar, K. ve Sudhakar, C., 1984).

Elde edilen ürünün IR spektrumunda  $1755 \text{ cm}^{-1}$ 'deki pikin dikloroasetilklorürün karbonil grubuna ait olabileceği düşünülmüştür.  $1698 \text{ cm}^{-1}$ 'deki sinyalin amit karbonilinden kaynaklandığı anlaşılmıştır.  $1520-1400 \text{ cm}^{-1}$ 'de aromatik yapıya ait absorbsiyon bantları gözlenmiştir.  $3350 \text{ cm}^{-1}$ 'deki geniş pikin OH'a ait olduğu düşünülmüştür.  $723 \text{ cm}^{-1}$ 'deki absorbsiyon bantı orto-disubstitüsüyonu doğrulamıştır.  $604 \text{ cm}^{-1}$ 'deki absorbsiyon pikinin de C-Cl bağından kaynaklandığı düşünülmüştür (Şekil 8.36).

Maddenin UV spektrumunda 343.2, 328.0 ve 289.6 nm'de absorbsiyon maksimumları gözlenmiştir. Asit eklenmesiyle 342.8, 327.2 ve 288.5 nm'de ve baz eklenmesiyle de 344.6, 327.5 ve 288.3 nm'de absorbsiyon maksimumları gözlenmiştir (Şekil 8.37).

**Çizelge 9.3.2. (1-N-dikloroasetil)-N-(ortho-metilsfenilaminometil)-2-naftol (167b)'ün nötral, bazik ve asidik ortamda  $\lambda_{\text{max}}$  (nm) değerleri**



(167b)

UV (Metanol), $\lambda_{\text{max}}$ (abs)	UV ( $\text{OH}^-$ ), $\lambda_{\text{max}}$ (abs)	UV ( $\text{H}^+$ ), $\lambda_{\text{max}}$ (abs)
343.2 (0.158)	344.6 (0.140)	342.8 (0.143)
328.0 (0.118)	327.5 (0.044)	327.2 (0.108)
289.6 (0.880)	288.3 (0.824)	288.5 (0.900)

Maddenin  $^1\text{H-NMR}$  spektrumunda 1.93 ppm'de 3-protonluk, 5.71 ppm'de 1-protonluk singlet, 5.12-5.27 ppm'de birer protonluk dublet ve aromatik bölgede 10-protonluk sinyaller gözlenmiştir. 1.93 ppm'deki 3-protonluk sinyalin metil protonlarına, 5.12-5.27 ppm'deki birer protonluk dubletin, Ar-CH<sub>2</sub>-N-Ar metilen protonlarına, 5.71 ppm'deki 1-protonluk sinyalin -N-(CO)-CH- protonlarına ait olduğu anlaşılmıştır (Şekil 8.38). Ar-CH<sub>2</sub>-N- Ar metilen protonlarının geminal eşleşmesi sonucu her bir proton dublete yarılmış ve 1-protonluk dubletler 5.12 ile 5.27 ppm'de işaretlenmiştir. Aromatik bölgenin genişletilmiş spektrumundan aromatik protonlar işaretlenmeye çalışılmıştır (Şekil 8.38a). 7.31 ve 7.09 ppm'deki birer protonluk tripletin ( $J_{6,7}=5.34 \text{ Hz}$  ;  $J_{7,8}=7.58 \text{ Hz}$ ) H-7 ve H-6 protonlarından kaynaklandığı düşünülmüştür. 7.21-7.15 ppm'deki birer

protonluk dubletin ( $J_{3,4}=7.53$  Hz ;  $J_{3,4}=10.22$  Hz) H-4 ve H-3 protonlarına ait olarak işaretlenmiştir. 7.67-7.61 ppm'deki birer protonluk dubletin ( $J_{7,8}=8.89$  Hz ;  $J_{5,6}=8.05$  Hz) H-8 ve H-5 protonlarına ait olduğu düşünülmüştür. Fenil halkasındaki protonların işaretlenmeside aşağıdaki gibi yapılmıştır. 6.63 ppm'deki 1-protonluk dubletin ( $J_{5',6'}=8.6$  Hz ) H-6', 7.10 ppm'deki 1-protonluk dubletin ( $J_{3',4'}=4.66$  Hz ) H-3', 6.92-6.91 ppm'deki 1-protonluk tripletin ( $J_{5',6'}=3.52$  Hz ;  $J_{4',5'}=1.45$  Hz ) H-5' ve H-4' protonlarına ait olduğu gözlenmiştir. 9.50 ppm'deki 1-protonluk singletin, yapının enolik formundaki  $-C=C-OH$  hidroksil grubuna ait olduğu düşünülmüştür.

Maddenin  $^{13}C$ -NMR spektrumunda 20 tane sinyal gözlenmiştir (Şekil 8.24). Bunlardan üçü doymuş gruba ait bölgede gelmiştir. 17.718, 42.031 ve 64.028 ppm'deki sinyallerin sırasıyla  $-CH_3$ ,  $-CH_2-N-$ , N-(CO)-CHCl<sub>2</sub> karbonlarına ait olduğu düşünülmüştür. Aromatik -CH- ve -C- karbonlarının işaretlenmesi için maddenin  $^{13}C$ -N.M.R. spektrumundan yararlanılmıştır (Şekil 8.39).  $^{13}C$ -NMR spektrumunda 10 tane -CH- sinyali gözlenmiştir. Bu sinyallerden 133.259 ve 163.108 ppm'deki sinyaller C-2' ve C-1' karbonlarına ait olarak işaretlenmiştir. 122.114, 137.180, 132.254 ve 136.561 ppm'deki sinyaller sırasıyla C-1, C-2, C-4a ve C-8a karbonlarına ait olduğu varsayılmıştır. 128.124, 129.028 ve 124.302 ppm'deki sinyaller fenil halkasındaki C-4', C-5' ve C-6' karbonlarına ait olarak işaretlenmiştir.

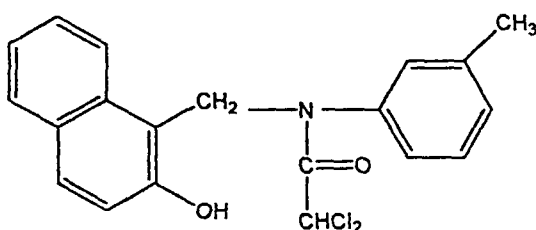
$^{13}C$ -NMR spektrumunda geriye kalan 120.157, 130.199, 131.069, 127.792, 126.695 ve 126.662 ppm'deki sinyallerin ise sırasıyla C-3, C-4, C-5, C-6, C-7 ve C-8 karbonlarına ait olduğu anlaşılmıştır.

Yukarıdaki spektroskopik verilerden maddenin (1-N-dikloroasetil)-N-(ortometilfenilaminometil)-2-naftol (167b) olduğu anlaşılmıştır.

1-N-(meta-metilfenilaminometil)-2-naftol (1.90 mmol) (166c) susuz benzen içinde dikloroasetilklorür ile (3.3 mmol) iki saat geri soğutucu altında ısıtılmıştır. Çözücü ve dikloroasetilklorürün fazlası damıtma yöntemiyle ortamdan uzaklaştırılarak geri kalan ham ürün alkolden %84 verimle kristallendirilmiştir (c.n: 132-133 °C) (Mohan, K.R. , Rajeshwar, K. ve Sudhakar, C. , 1984).

Elde edilen ürünün IR spektrumunda  $1682\text{ cm}^{-1}$ deki sinyalin amit karbonilinden kaynaklandığı anlaşılmıştır.  $1610\text{-}1470\text{ cm}^{-1}$ de aromatik yapıya ait absorbsiyon bantları gözlenmiştir.  $852$  ve  $835\text{ cm}^{-1}$ deki absorbsiyon bantı meta-disübstitüsyonu doğrulamıştır (Şekil 8.40 ).

**Çizelge 9.3.3. (1-N -dikloroasetilklorür)-N-(meta-metilfenilaminometil)-2-naftol (167c)'ün nötral, bazik ve asidik ortamındaki  $\lambda_{\max}$  (nm) değerleri**



(167c)

UV (Metanol), $\lambda_{\max}$ (abs)	UV ( $\text{OH}^-$ ), $\lambda_{\max}$ (abs)	UV ( $\text{H}^+$ ), $\lambda_{\max}$ (abs)
336.4(0.0210)	331.4(0.298)	335.9 (0.042)
289.6(0.416)	285.1(0.576)	288.2 (0.436)
285.2(0.676)	283.2(0.512)	284.2 (0.696)
282.4(0.656)		282.2(0.666)

Maddenin UV spektrumunda  $336.4$ ,  $289.6$ ,  $285.2$  ve  $282.4\text{ nm}$ 'de absorbsiyon maksimumları gözlenmiştir. Asit eklenmesiyle  $335.9$ ,  $288.2$ ,  $284.2$  ve  $282.2\text{ nm}$ 'de ve baz eklenmesiyle de  $331.4$ ,  $285.1$  ve  $283.2\text{ nm}$ 'de absorbsiyon maksimumları gözlenmiştir (Şekil 8.41).

Maddenin  $^1\text{H-NMR}$  spektrumunda  $2.21\text{ ppm}$ 'de 3-protonluk,  $5.22\text{ ppm}$ 'de 2-protonluk ve  $5.80\text{ ppm}$ 'de 1-protonluk toplam 3 singlet ve aromatik bölgede 10-protonluk sinyaller gözlenmiştir.  $2.21\text{ ppm}$ 'deki 3-protonluk sinyalin metil protonlarına,  $5.22\text{ ppm}$ 'deki 2-protonluk ve  $5.80\text{ ppm}$ 'deki 1-protonluk singletlerin ise sırasıyla Ar-CH<sub>2</sub>-N-Ar, -N-(CO)-CHCl<sub>2</sub>, protonlarına ait olduğu anlaşılmıştır (Şekil 8.42 ). Aromatik

bölgelinin genişletilmiş spektrumundan aromatik protonlar işaretlenmeye çalışılmıştır (Şekil 8.42a). 7.68, 7.21, ve 7.62 ppm'deki birer protonluk 3 dubletin ( $J_{7,8}=8.9$  Hz ;  $J_{3,4}=2.07$  Hz ;  $J_{5,6}=7.98$  Hz) sırasıyla H-8, H-4 ve H-5 protonlarına ait olduğu anlaşılmıştır. H-7 ve H-6 7.19 ve 7.10 ppm'deki birer protonluk 2 triplet ( $J_{6,7}=2.45$  ;  $J_{7,8}=7.5$  Hz) halinde gözlenmiştir. 7.21 ppm'deki 1-protonluk dubletin ( $J_{3,4}=4.48$  Hz) H-3 protonuna ait olarak işaretlenmiştir. Fenil halkasındaki H-5' ve H-4' protonları, H-2' ve H-6' protonlarından daha düşük alanda gözlenmiştir. 6.93 ve 7.19 ppm'deki birer protonluk dubletler ( $J_{5',6'}=8.45$  Hz ;  $J_{4',5'}=8.78$  Hz) H-5' ve H-4' protonlarına ait olarak işaretlenmiştir. H-2' protonu 6.85 ppm'de 1-protonluk singlet olarak gözlenmiştir. 6.69 ppm'deki 1-protonluk dubletin de ( $J_{5',6'}=8.59$  Hz) H-6' protonuna ait olduğu anlaşılmıştır.

Maddenin  $^{13}\text{C-N.M.R}$ . spektrumunda toplam 20 sinyal gözlenmiştir (Şekil 8.43). -CH<sub>3</sub>, -CH<sub>2</sub>- ve -CH- karbonlarına ait sinyallern 17.826, 46.260 ve 63.558 ppm de işaretlenmiştir. 122.441, 130.628, 131.053, 126.497, 129.012 ve 125.453 ppm'deki sinyaller sırasıyla C-3, C-4, C-5, C-6, C-7 ve C-8 karbonlarına ; 123.146, 128.860, 131.492 ve 120.256 ppm'deki sinyaller ise C-2', C-4', C-5' ve C-6' fenil karbonlarına ait olarak işaretlenmiştir. 166.952 ppm'deki sinyal karbonil karbonuna ait olduğu düşünülmüştür. 113.090, 155.430, 129.231, 133.837 ve 141.304 ppm'deki sinyaller C-1, C-2, C-4a, C-8a, ve C-1' karbonlarına ait olduğu düşünülmüştür.

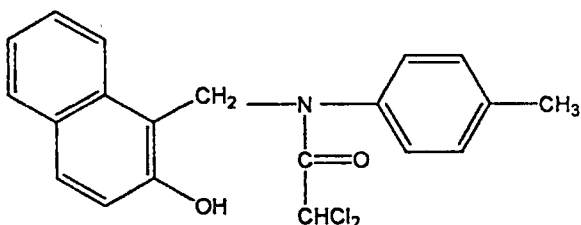
Yukarıdaki spektroskopik verilerden maddenin (1-N-dikloroasetil)-N-(meta-metilfenilaminometil)-2-naftol (167c) olduğu anlaşılmıştır.

1-N-(para-metilfenilaminometil)-2-naftol (3.8 mmol) (167d) susuz benzen içinde dikloroasetilklorür ile (6.7 mmol) iki saat geri soğutucu altında ısıtılmıştır. Çözücü ve dikloroasetilklorürün fazlası damıtma yöntemiyle ortamdan uzaklaştırılarak geri kalan ham ürün alkolden %70 verimle kristallendirilmiştir (e.n: 149 °C) (Mohan, K.R. , Rajeshwar, K. ve Sudhakar, C. , 1984).

Elde edilen ürünün IR spektrumunda  $1682\text{ cm}^{-1}$ 'deki sinyalin amit karbonilinden kaynaklandığı anlaşılmıştır.  $1547-1445\text{ cm}^{-1}$ 'de aromatik yapıya ait absorbsiyon bantları

gözlenmiştir.  $850\text{ cm}^{-1}$ 'deki absorbsiyon bantı ise para-disübstitüsyonu doğrulamıştır.  $604\text{cm}^{-1}$ 'deki absorbsiyon pikinin de C-Cl bağından kaynaklandığı düşünülmüştür. (Şekil 8.44).

**Çizelge 9.3.4. ( 1-N-dikloroasetil)-N-(para-metilfenilaminometil)-2-naftol (167d)'ün nötral, bazik ve asidik ortamındaki  $\lambda_{\max}$  (nm) değerleri**



(167d)

UV(Metanol), $\lambda_{\max}$ (abs)	UV ( $\text{OH}^-$ ), $\lambda_{\max}$ (abs)	UV ( $\text{H}^+$ ), $\lambda_{\max}$ (abs)
337.6(0,220)	337.9(0.189)	337.0(0.210)
325.0(0.190)	325.4(0.162)	325.2(0.187)
288.8(0.396)	287.6(0.398)	289.1(0.356)
282.8(0.380)	282.6(0.382)	283.1(0.377)

Maddenin UV spektrumunda 337.6, 325.0, 288.8 ve 282.8 nm'de absorbsiyon maksimumları gözlenmiştir. Asit eklenmesiyle 337.0, 325.2, 289.1 ve 283.1 nm'de ve baz eklenmesiyle de 337.9, 325.4, 287.6 ve 282.6 nm'de absorbsiyon maksimumları gözlenmiştir (Şekil 8.41).

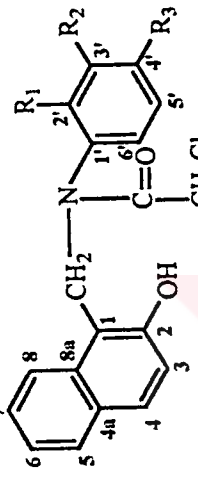
Maddenin  $^1\text{H-NMR}$  spektrumunda 2.34 ppm'de 3-protonluk, 5.22 ppm'de 2-protonluk ve 5.79 ppm'de 1-protonluk toplam 3 singlet gözlenmiştir. 2.134 ppm'deki 3-protonluk sinyalin metil protonlarına, 5.22 ppm'deki 2- protonluk ve 5.79 ppm'deki 1-protonluk singletlerin ise  $\text{Ar}-\text{CH}_2-\text{N}-\text{Ar}$ ,  $-\text{N}-(\text{CO})-\text{CHCl}_2$ , protonlarına ait olduğu anlaşılmıştır (Şekil 8.46). Aromatik bölgenin genişletilmiş spektrumundan aromatik protonlar işaretlenmeye çalışılmıştır (Şekil 8.46a). 7.15 ve 7.09 ppm'deki 2-protonluk iki dublet ( $J_{2',3'}=11.7\text{ Hz}$ ;  $J_{3',4'}\approx7.18\text{ Hz}$ ) H-2', H-6' ve H-3', H-5' protonlarına ait olarak

işaretlenmiştir. Böylece fenil halkasındaki işaretlemeler tamamlanmıştır. Geri kalan sinyallerin naftil halkasındaki -CH- lar olduğu anlaşılmıştır. 7.67, 7.62 ve 6.96 ppm'deki birer protonluk üç dublet ( $J_{7,8} = 8.89$  Hz ;  $J_{5,6} = 8.03$  Hz ;  $J_{3,4} = 1.15$  Hz) H-8, H-5 ve H-4 protonlarına ait olarak işaretlenmiştir. H-7 ve H-6 protonları 7.11 ile 6.94 ppm'de birer protonluk triplet ( $J_{7,8} = 8.12$  Hz;  $J_{6,7} = 7.30$  Hz) olarak gözlenmiştir. 6.74 ppm'deki 1-protonluk dublet ise ( $J_{3,4} = 8.58$  Hz) H-3 protonuna ait olarak işaretlenmiştir.

Maddenin  $^{13}\text{C}$ -NMR spektrumunda toplam 19 sinyal gözlenmiştir (Şekil 8.47). 21.63 ppm'deki sinyalin metil karbonuna, 47.159 ppm'deki sinyalin Ar-CH<sub>2</sub>-N metilen karbonuna 63.775 ppm'deki sinyalin -N-(CO)-CH- karbona ait olduğu düşünülmüştür.  $^{13}\text{C}$ -N.M.R. spektrumunda 8 tane -CH- sinyali gözlenmiştir. Bu sinyallerden 122.401 ve 131.0472 ppm'deki şiddeti yüksek gelen iki sinyal C-8 ve C-5 karbonlarına ait olarak işaretlenmiştir. 120.488, 128.242, 128.877, 131.416, 126.601 ve 123.134 ppm'deki sinyallerin sırasıyla C-3, C-2', C-4, C-3', C-7 ve C-6 karbonlarına ait olduğu düşünülmüştür. 167.125 ppm'deki sinyal karbonil karbonuna ait olarak işaretlenmiştir. C-1' ve C-1 karbonlarına ait sinyaller 140.668 ve 113.030 ppm'de gözlenmiştir. 137.309, 155.420, 129.220 ve 133.844 ppm'deki sinyallerin de sırasıyla C-8a, C-2, C-4a ve C-4' karbonlarına ait olduğu düşünülmüştür.

Yukarıdaki spektroskopik verilerden maddenin (1-N-dikloroasetil)-N-(parametilfenilaminometil)-2-naftol (167d) olduğu anlaşılmıştır.

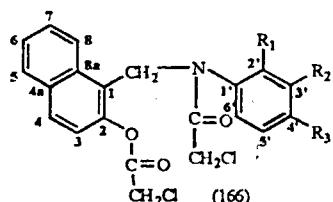
**Cizelge 9.3.5. Kloroasetilklorürilen Maddelerin (166)  $^1\text{H}$ -NMR Spektrum Verileri**



(166)

Proton No	167a, $\text{R}_1=\text{R}_2=\text{R}_3=\text{H}$		167b, $\text{R}_2=\text{R}_3=\text{H}, \text{R}_1=\text{CH}_3$		(166)		167c, $\text{R}_1=\text{R}_3=\text{H}, \text{R}_2=\text{CH}_3$		167d, $\text{R}_1=\text{R}_2=\text{H}, \text{R}_3=\text{CH}_3$	
	6.68 (1H,d, $J_{3,4} \approx 8.61$ Hz)	7.13 (1H,d, $J_{3,4} \approx 7.79$ Hz)	7.21 (1H,d, $J_{3,4} = 4.48$ Hz)	7.21 (1H,d, $J_{3,4} = 2.07$ Hz)	7.21 (1H,d, $J_{3,4} = 2.07$ Hz)	7.62 (1H,d, $J_{5,6} = 7.98$ Hz)	7.62 (1H,d, $J_{5,6} = 7.98$ Hz)	7.10 (1H,t, $J_{6,7}=J_{7,8}=7.58$ Hz)	7.10 (1H,t, $J_{6,7}=J_{7,8}=7.50$ Hz)	6.94 (1H,t, $J_{6,7}=J_{7,8}=7.3$ Hz)
3-H	7.17 (1H,d, $J_{3,4} = 8.6$ Hz)	7.21 (1H,d, $J_{3,4} = 7.61$ Hz)	7.62 (1H,d, $J_{4,5} = 8.05$ Hz)	7.62 (1H,d, $J_{4,5} = 8.05$ Hz)	7.62 (1H,d, $J_{4,5} = 8.05$ Hz)	7.62 (1H,d, $J_{4,5} = 8.05$ Hz)	7.31 (1H,t, $J_{6,7}=J_{7,8}=7.06$ Hz)	7.19 (1H,t, $J_{6,7}=J_{7,8}=2.45$ Hz)	7.11 (1H,t, $J_{6,7}=J_{7,8}=8.12$ Hz)	7.11 (1H,t, $J_{6,7}=J_{7,8}=8.12$ Hz)
4-H	7.41 (1H,t, $J_{6,7}=J_{7,8}=7.36$ Hz)	7.68 (1H,d, $J_{7,8} \approx 8.89$ Hz)	7.67 (1H,d, $J_{7,8} \approx 8.88$ Hz)	7.67 (1H,d, $J_{7,8} \approx 8.88$ Hz)	7.67 (1H,d, $J_{7,8} \approx 8.88$ Hz)	7.67 (1H,d, $J_{7,8} \approx 8.88$ Hz)	7.68 (1H,d, $J_{7,8} = 8.9$ Hz)	7.68 (1H,d, $J_{7,8} = 8.9$ Hz)	7.67 (1H,d, $J_{7,8} = 8.89$ Hz)	7.67 (1H,d, $J_{7,8} = 8.89$ Hz)
5-H	7.1 (2H,t, $J_{2,3} \approx 7.21$ Hz)	—	—	—	—	—	6.85 (1H,s)	6.85 (1H,s)	7.15 (2H,d, $J_{2,3} = J_{5,6} = 11.75$ Hz)	7.18 (2H,d, $J_{2,3} = J_{5,6} = 7.18$ Hz)
6-H	7.33 (2H,t, $J_{3,4} = J_{5,6} \approx 7.2$ Hz)	7.15 (1H,d, $J_{3,4} = 10.14$ Hz)	—	—	—	—	—	—	—	—
4'-H	6.9 (1H,t, $J_{4',5'} \approx 7.1$ Hz)	6.91 (1H,d, $J_{4',5'} = 1.48$ Hz)	6.92 (1H,t, $J_{5',6'} = 1.27$ Hz)	6.92 (1H,t, $J_{5',6'} = 1.27$ Hz)	6.93 (1H,t, $J_{5',6'} \approx 8.45$ Hz)	6.93 (1H,t, $J_{5',6'} \approx 8.45$ Hz)	6.63 (1H,d, $J_{5',6'} = 8.6$ Hz)	6.69 (1H,d, $J_{5',6'} \approx 8.59$ Hz)	6.69 (1H,d, $J_{5',6'} \approx 8.59$ Hz)	6.69 (1H,d, $J_{5',6'} \approx 8.59$ Hz)
5'-H	—	—	—	—	—	—	1.93 (3H,s)	2.21 (3H,s)	2.21 (3H,s)	2.21 (3H,s)
-CH <sub>3</sub>	—	—	—	—	—	—	—	—	—	—
N-(CO)-CHCl <sub>2</sub>	5.77 (1H,s)	5.71 (1H,s)	—	—	—	—	—	—	—	—
Ar-CH <sub>2</sub> -N-Ar	5.23 (2H,s)	5.12 (1H,d, $J_{a,b} = 15.01$ Hz)	5.27 (1H,d, $J_{a,b} = 15.01$ Hz)	5.27 (1H,d, $J_{a,b} = 15.01$ Hz)	5.22 (2H,s)	5.22 (2H,s)	5.22 (2H,s)	5.22 (2H,s)	5.22 (2H,s)	5.22 (2H,s)

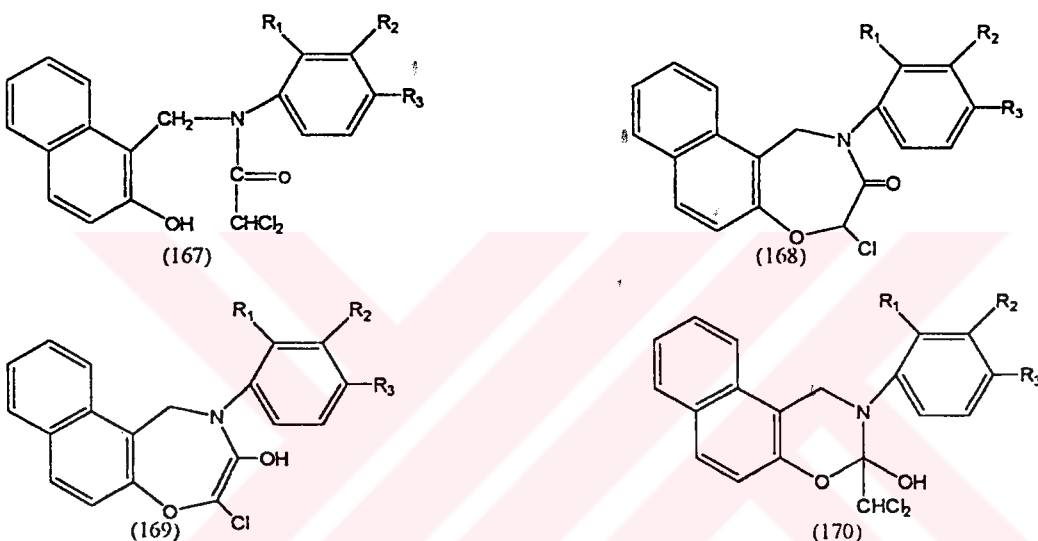
**Çizelge 9.3.6. Dikloroasetilklorürleren Maddelerin (167)  $^{13}\text{C}$ -NMR Spektrum Verileri**



Karbon No	167a, $\text{R}_1=\text{R}_2=\text{R}_3=\text{H}$	167b, $\text{R}_2=\text{R}_3=\text{H}$ , $\text{R}_1=\text{CH}_3$	167c, $\text{R}_1=\text{R}_3=\text{H}$ , $\text{R}_2=\text{CH}_3$	167d, $\text{R}_1=\text{R}_2=\text{H}$ , $\text{R}_3=\text{CH}_3$
C-1	121.850	122.114	113.090	113.030
C-2	139.874	137.180	155.430	155.420
C-3	120.432	120.157	122.441	120.488
C-4	130.379	130.199	130.628	128.877
C-4a	129.211	132.254	129.231	129.220
C-5	130.910	131.069	131.053	131.472
C-6	126.660	127.792	126.497	123.134
C-7	128.910	129.695	129.012	126.601
C-8	123.174	126.662	125.453	122.401
C-8a	133.810	136.561	133.837	137.309
C-1'	155.401	163.108	141.304	140.668
C-2'	122.226	133.259	123.146	128.242
C-3'	131.539	132.158	139.900	131.416
C-4'	128.585	128.124	128.860	133.844
C-5'	—	129.028	131.492	—
C-6'	—	124.302	120.256	—
$-\text{N}-(\text{CO})-\text{CHCl}_2$	63.773	64.028	63.782	63.775
$-\text{N}(\underline{\text{CO}})-\text{CHCl}_2$	166.951	164.729	166.952	167.725
$\text{Ar}-\text{CH}_2-\text{N}-\text{Ar}$	47.104	42.031	47.161	47.159
$-\text{CH}_3$	—	17.718	21.525	21.603

#### 9.4. Bazik Ortamda 1,4-Naftoksazepinlerin Eldesi

(1-N-dikloroasetil-N-(metil sübstidue ve sübstidue olmamış fenilaminometil)-2-naftollerin (167) sentezinden sonra bazik ortamda halka oluşturulmak istenmiştir. Ancak reaksiyon kuvvetli bir baz olan % 5 lik NaOH içerisinde yapıldığında dikloroasetilklorürün oksitlendiği ve açıllenmiş maddenin 1-(N-(o,m,p)-metilfenilaminometil-2-naftol'leri verdiği gözlenmiştir. Reaksiyon zayıf bir baz olan piridin içerisinde yapıldığında ise aşağıdaki dört maddededen birinin oluşması beklenmiştir.



- a)  $R_1 = R_2 = R_3 = H$
- b)  $R_2 = R_3 = H, R_1 = CH_3$
- c)  $R_1 = R_3 = H, R_2 = CH_3$
- d)  $R_1 = R_2 = H, R_3 = CH_3$

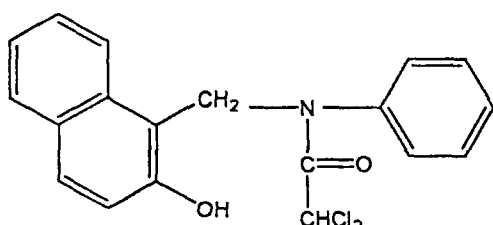
Hangi maddenin olduğunu tespit etmek için teorik  $^1\text{H-NMR}$ ,  $^{13}\text{C-NMR}$  değerleri hesaplanmıştır (Çizelge 9.3.7) ve deneysel verilerle karşılaştırılmıştır. Teorik aromatik protonların ve aromatik karbonların sinyalleri yaklaşık aynı değerde gelmiştir. Ancak dört yapıdaki fonksiyonel grupların teorik değerlerinin farklı olduğu anlaşılmıştır.  $-\text{N}(\text{CO})\text{CHCl}$  ve  $-\text{N}(\text{CO})\text{CHCl}_2$  için teorik  $^1\text{H-NMR}$  değerleri 6.40 ile 6.62 ppm de,  $^{13}\text{C-NMR}$  için ( $\text{C}=\text{O}$ ) değerleri ise 156.7 ile 161.7 ppm de sinyaller vermiştir. Bu değerlerin deneysel verilerle uyum içinde gözlenmiştir. Şekil 169 daki yapının

fonksiyonel grubu  $-OC(Cl)=Cl(OH)-$  proton içermediği için teorik  $^1H$ -NMR sinyalleri hesaplanamamış şekil 170 yapısı için  $O-C(OH)-CHCl_2$  sinyali 6.27 ppm'de görülmüştür. Ancak bu fonksiyonel grubların teorik  $^{13}C$ -NMR 'larına bakıldığından, C=O grup içermedikleri için 162 ppm'de sinyalleri gözlenmemiştir, her iki maddenin (Şekil 169 ve 170)  $C-OH$  sinyalleri 132.9 ve 128.8 ppm'de gelmiştir. Bu veriller deneysel verilerle karşılaştırılmıştır. Denysel veriler sonucunda maddenin  $^{13}C$ -NMR 'na göre 166.959 ppm'de sinyal verdiği gözlenmiş C=O grubuna ait olduğu işaretlenmiştir. Dolayısıyla şekil 169, şekil 170 yapıları elenmiştir. Daha sonra kütle spektrumu alınmış maddenin molekül kütlesinin 360 olduğu görülmüştür. Bu veriler sonucunda beklenen yapının (1-N-dikloroasetilklorür)-N-(fenilaminometil)-2-naftol (167a) olduğu anlaşılmış ve deneysel verileri aşağıda verilmiştir.

(1-N-dikloroasetil-N-(fenilaminometil)-2-naftol (0,8 mmol) (167a) oda sıcaklığında 3ml piridin içine alınarak piridin ortamdan uzaklaşana kadar (24 saat) karıştırma işlemine devam edildi. Oluşan katı su ile yıkandı preparatif İTK da saflaştırılarak alkolde %74 verimle kristallendirilmiştir (Mohan, K.R. , Rajeshwar, K. ve Sudhakar, C. , 1984) (en : 120°C).

Maddenin IR spektrumunda,  $1655\text{ cm}^{-1}$ 'de amit karboniline ait absorbsiyon bantları gözlenmiştir.  $1628-1410\text{ cm}^{-1}$ 'deki absorbsiyon bantları aromatik yapıyı destelemiştir.  $1260\text{ cm}^{-1}$  de C-O bandı gözlenmiştir. 760 ve  $731\text{ cm}^{-1}$ 'deki bantlar da monosubstitüefenil halkasına ait olarak işaretlenmiştir (Şekil 8.30).

**Çizelge 9.4.1. (1-N-dikloroasetil)-N-(fenilaminometil)-2 naftol (167a)' ün nötral, bazik ve asidik ortamdaki  $\lambda_{max}$  (nm) değerleri**



(167a)

UV (Metanol), $\lambda_{\text{max}}$ (abs)	UV ( $\text{OH}^-$ ), $\lambda_{\text{max}}$ (abs)	UV ( $\text{H}^+$ ), $\lambda_{\text{max}}$ (abs)
343.2 (0.870)	342.3 (0.820)	341.2 (0.810)
327.6 (0.034)	321.5 (0.043)	324.5 (0.036)
296.8 (0.938)	293.2 (0.712)	294.5 (0.698)

Maddenin UV spektrumunda 343.2, 327.6 ve 296.8 nm'de absorbsiyon pikleri gözlenmiştir. Asit eklenmesiyle 341.2, 324.5 ve 294.5 nm'de ve baz eklenmesiyle de 342.3, 321.5 ve 293.2 nm'de absorbsiyon maksimumları gözlenmiştir (Şekil 8.31).

Maddenin  $^1\text{H-NMR}$  spektrumunda 5.77 ppm'de 2-protonluk N-CH<sub>2</sub>-metilen protonları, 5.25 ppm'deki 1-protonluk N-(CO)-CHCl<sub>2</sub> ve 11-protonluk aromatik protonlara ait sinyaller gözlenmiştir (Şekil 8.32). Aromatik bölgenin genişletilmiş spektrumundan aromatik protonlar işaretlenmeye çalışılmıştır (Şekil 8.32a). 7.68-7.10 ppm'deki bölge incelendiğinde, 6.68 ppm'deki 1-protonluk dubletin ( $J_{3,4}=8.6$  Hz), 7.10 ppm'deki 1-protonluk dubletin ( $J_{3,4}=7.15$  Hz) H-3 ve H-4 protonlarına ait olduğu düşünülmüştür. 7.33-7.41 ppm'deki birer protonluk tripletin ( $J_{6,7}=7.71$ ;  $J_{7,8}=7.48$  Hz) H-6 ve H-7 protonlarına ait olarak işaretlenmiştir. 7.62 ve 7.68 ppm'deki birer protonluk dubletin ( $J_{5,6}=8.06$  Hz;  $J_{7,8}=8.89$  Hz) H-5 ve H-8 protonlarına ait olduğu düşünülmüştür. 7.10 ppm'deki 1-protonluk dublet ise ( $J_{3,4}=7.15$  Hz) H-4 protonuna ait olarak işaretlenmiştir. Fenil halkasındaki 2', 6' ile 3', 5' protonları ve 4' protonu aşağıdaki gibi işaretlenmiştir. 7.07 ppm'deki 2-protonluk tripletin ( $J_{3',4'}=J_{4',5'}=8.11$  Hz) H-3' ile H-5' 7.18 ppm'deki 2-protonluk tripletin ( $J_{2',3'}=J_{5',6'}=8.47$  Hz) H-2' ile H-6' protonlarına ait olarak düşünülmüştür. 6.92 ppm'deki 1-protonluk tripletin ( $J_{4',5'}=7.73$  Hz) H-4' protonu olarak işaretlenmiştir.

Maddenin  $^{13}\text{C-N.M.R}$ . spektrumunda toplam 17 sinyal gözlenmiştir (Şekil 8.33). Bu sinyallerden 47.119 ve 63.748 ppm'deki sinyallerin Ar-CH<sub>2</sub>-N- ve N-(CO)-CH-karbonlarına ait olduğu düşünülmüştür.  $^{13}\text{C-N.M.R}$ . spektrumundan da beklenildiği gibi 9 tane araomatik -CH- ve 6 tane hidrojen içermeyen karbonlara ait sinyaller gözlenmiştir. 130.903 ve 128.591 ppm'de şiddeti yüksek gelen sinyallerin C-2', C-6' ve C-3', C-5' karbonlarına ait olduğu düşünülmüştür. 126.635 ppm'deki sinyal de C-4' karbonuna ait olarak işaretlenmiştir. Spektrumda geri kalan -CH- ların da naftil halkasına ait olması

nedeniyle 120.240, 122.207, 123.154, 128.906, 130.368 ve 131.538 ppm'deki sinyaller sırasıyla C-3, C-8, C-6, C-7, C-4 ve C-5 karbonlarına ait olarak işaretlenmiştir. 166.959 ppm'deki sinyalin karbonil karbonundan kaynaklandığı düşünülmüştür. 121.838, 155.417, 129.208, 133.807 ve 139.889 ppm'deki sinyallerin de C-1, C-2, C-4a, C-8a ve C-1' karbonlarına ait olduğu anlaşılmıştır.

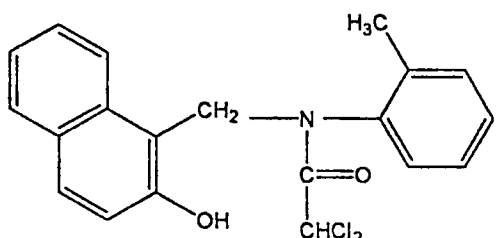
Yukarıdaki spektroskopik verilerden maddenin (1-N-dikloroasetil-N-(fenilaminometil)-2-naftol (167a) olduğu anlaşılmıştır.

(1-N,-dikloroasetil-N-(ortho-metilfenilaminometil)-2-naftol (1.06 mmol) (167b) oda sıcaklığında 4 ml merck piridin içine alınarak 24 saat karıştırma işlemeye devam edildi. Oluşan katı su ile yikanarak preparatif İTK da saflaştırıldıktan sonra alkolden %62 verimle kristallendirilmiştir (Mohan, K.R. , Rajeshwar, K. ve Sudhakar, C. , 1984) (en : 122 °C).

Maddenin teorik  $^1\text{H-NMR}$  ve  $^{13}\text{C-NMR}$  değerleri hesaplanmıştır (Çizelge 9.3.8). Bu değerlerin aşağıdaki verilerle karşılaştırılması sonucu maddenin (1-N-dikloroasetil)-N-(ortho-metilfenilaminometil)-2-naftol olduğu sonucuna varılmıştır.

Maddenin IR spektrumunda,  $1682 \text{ cm}^{-1}$ 'de amit karboniline ait absorbsiyon bantları gözlenmiştir.  $1655-1495 \text{ cm}^{-1}$ 'deki absorbsiyon bantları aromatik yapıyı destelemiştir.  $1231 \text{ cm}^{-1}$ 'de C-O bandı gözlenmiştir.  $710 \text{ cm}^{-1}$ 'deki bant da orto-disübstüfenil halkasına ait olarak işaretlenmiştir (Şekil 8.36).

**Çizelge 9.3.2. (1-N-dikloroasetil)-N-(fenilaminometil)-2 naftol (167b)'ün nötral, bazik ve asidik ortamındaki  $\lambda_{\text{max}}$  (nm) değerleri**



(167b)

UV (Metanol), $\lambda_{\text{max}}$ (abs)	UV ( $\text{OH}^-$ ), $\lambda_{\text{max}}$ (abs)	UV ( $\text{H}^+$ ), $\lambda_{\text{max}}$ (abs)
343.2 (0.158)	344.6 (0.140)	342.8 (0.143)
328.0 (0.118)	327.5 (0.044)	327.2 (0.108)
289.6 (0.880)	288.3 (0.824)	288.5 (0.900)

Maddenin UV spektrumunda 343.2, 328.0 ve 289.6 nm'de absorbsiyon pikleri gözlenmiştir. Baz eklenerek alınan UV spektrumunda 344.6, 327.5 ve 288.3 nm'de asit eklenerek alınan UV spektrumunda 342.8, 327.2 ve 288.5 nm'de absorbsiyon maksimumları gözlenmiştir. (Şekil 8.37).

Maddenin  $^1\text{H-NMR}$  spektrumunda 1.93 ppm'de 3-protonluk, 5.71 ppm'de 1-protonluk singlet, 5.12-5.27 ppm'de birer protonluk dublet ve aromatik bölgede 10-protonluk sinyaller gözlenmiştir. 1.93 ppm'deki 3-protonluk sinyalin metil protonlarına, 5.12-5.27 ppm'deki birer protonluk dubletin, -N-CH<sub>2</sub>- metilen protonlarına, 5.71 ppm'deki 1-protonluk sinyalin -N-(CO)-CH- protonlarına ait olduğu anlaşılmıştır (Şekil 8.38). Ar-CH<sub>2</sub>-N- metilen protonlarının geminal eşleşmesi sonucu her bir proton dublete yarılmış ve 1-protonluk dubletler 5.12 ile 5.27 ppm'de işaretlenmiştir. Aromatik bölgenin genişletilmiş spektrumundan aromatik protonlar işaretlenmeye çalışılmıştır (Şekil 8.38a). 7.31 ve 7.09 ppm'deki birer protonluk tripletin ( $J_{6,7}=5.34$  Hz ;  $J_{7,8}=7.58$  Hz) H-7 ve H-6 protonlarından kaynaklandığı düşünülmüştür. 7.21-7.15 ppm'deki birer protonluk dubletin ( $J_{3,4}=7.53$  Hz ;  $J_{3,4}=10.22$  Hz) H-4 ve H-3 protonlarına ait olarak işaretlenmiştir. 7.67-7.61 ppm'deki birer protonluk dubletin ( $J_{7,8}=8.89$  Hz ;  $J_{5,6}=8.05$  Hz) H-8 ve H-5 protonlarına ait olduğu düşünülmüştür. Fenil halkasındaki protonların işaretlenmeside aşağıdaki gibi yapılmıştır. 6.63 ppm'deki 1-protonluk dubletin ( $J_{5',6'}=8.6$  Hz ) H-6', 7.10 ppm'deki 1-protonluk dubletin ( $J_{3',4'}=4.66$  Hz ) H-3', 6.92-6.91 ppm'deki 1-protonluk tripletin ( $J_{5',6'}=3.52$  Hz ;  $J_{4',5'}=1.45$  Hz ) H-5' ve H-4' protonlarına ait olduğu gözlenmiştir. 9.50 ppm'deki 1-protonluk singletin, yapının enolik formundaki -C=C-OH hidroksil grubuna ait olduğu düşünülmüştür.

Maddenin  $^{13}\text{C-NMR}$ . spektrumunda toplam 20 sinyal gözlenmiştir (Şekil 8.39). 17.826 ppm'deki sinyalin metil karbonuna, 46.260 ppm'deki sinyalin Ar-CH<sub>2</sub>-N- metilen

karbonuna, 63.558 ppm'deki sinyalin -N-(CO)-CH- karbonuna ait olduğu düşünülmüştür.  $^{13}\text{C}$ -N.M.R. spektrumunda 10 tane aromatik -CH- sinyali gözlenmiştir (Şekil 8.39). Bu sinyallerden 120.469, 130.583, 131.553, 126.671, 129.221 ve 123.187 ppm'deki sinyaller sırasıyla C-3, C-4, C-5, C-6, C-7 ve C-8 karbonlarına ; 132.513, 128.452, 128.876 ve 121.888 ppm'deki sinyaller ise C-3', C-4', C-5' ve C-6' karbonlarına ait olarak işaretlenmiştir. Geri kalan proton içermeyen karbon işaretlenmesi aşağıdaki gibidir. 167.382 ppm'deki sinyalin karbonil karbonuna ; 129.163, 136.250, 138.803, 133.836, 112.758 ve 155.515 ppm'deki sinyaller sırasıyla C-4a, C-8a, C-1', C-2', C-1 ve C-2 karbonlarına ait olduğu düşünülmüştür.

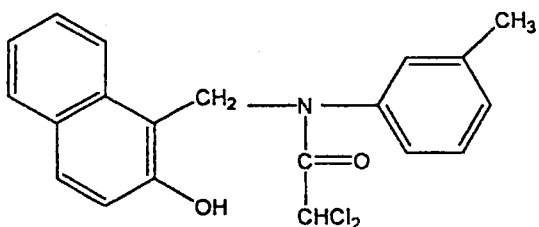
Yukarıdaki spektroskopik verilerden maddenin (1-N-dikloroasetil-N-(**ortho**-metilfenilaminometil)-2-naftol (167b) olduğu anlaşılmıştır.

(1-N-dikloroasetil-N-(**meta**-metilfenilaminometil)-2-naftol (0,40 mmol) (167c) oda sıcaklığında merck piridin (3 ml) içinde 24 saat karıştırılmıştır. Daha sonra elde edilen su ile yıkayıp preparatif İTK da saflaştırılıp alkolden %67 verimle kristallendirilmiştir (Mohan, K.R , Rajeshwar, K. ve Sudhakar, C. , 1984) (en : 123°C).

Maddenin teorik  $^1\text{H}$ -NMR ve  $^{13}\text{C}$ -NMR değerleri hesaplanmıştır (Çizelge 9.3.7). Bu değerlerin aşağıdaki verilerle karşılaştırılması sonucu maddenin (1-N-dikloroasetil)-N-(**meta**-metilfenilaminometil)-2-naftol olduğu sonucuna varılmıştır.

Maddenin IR spektrumunda,  $1682 \text{ cm}^{-1}$ 'de amit karboniline ait absorbsiyon bantları gözlenmiştir.  $1610-1470 \text{ cm}^{-1}$ 'deki absorbsiyon bantları aromatik yapıyı destelemiştir.  $1233 \text{ cm}^{-1}$ 'de C-O bandı gözlenmiştir. 852 ve  $835 \text{ cm}^{-1}$ 'deki bantlar da meta-disübstitüefenil halkasına ait olarak işaretlenmiştir.  $604 \text{ cm}^{-1}$  'deki absorbsiyon pikinin de C-Cl bağından kaynaklandığı düşünülmüştür(Şekil 8.40).

**Çizelge 9.3.3. (1-N-dikoloroasetil)-N-(fenilaminometil)-2-naftol (167c)'ün nötral, bazik ve asidik ortamındaki  $\lambda_{\text{max}}$  (nm) değerleri**



(167c)

UV (Metanol), $\lambda_{\text{max}}$ (abs)	UV ( $\text{OH}^-$ ), $\lambda_{\text{max}}$ (abs)	UV ( $\text{H}^+$ ), $\lambda_{\text{max}}$ (abs)
336.4(0.0210)	331.4(0.298)	335.9 (0.042)
289.6(0.416)	285.1(0.576)	288.2 (0.436)
285.2(0.676)	283.2(0.512)	284.2 (0.696)
282.4(0.656)		282.2(0.666)

Maddenin UV spektrumunda 336.4, 289.6, 285.2 ve 282.4 nm'de absorbsiyon pikleri gözlenmiştir. Asit eklenmesiyle 335.9, 288.2, 284.2 ve 292.2 nm'de baz eklenmesiyle 331.4, 285.1 ve 283.2 nm'de absorbsiyon maksimumları gözlenmiştir (Şekil 8.41).

Maddenin  $^1\text{H-NMR}$  spektrumunda 2.21 ppm'de 3-protonluk, 5.22 ppm'de 2-protonluk 3 singlet ve 10-protonluk sinyaller gözlenmiştir. 2.21 ppm'deki 3-protonluk sinyalin metil protonlarına, 5.22 ppm'deki 2-protonluk ve 5.80 ppm'de 1-protonluk singletler ise  $-\text{N}-\text{CH}_2-$  ve  $-\text{N}-(\text{CO})-\text{CH}-$  protonlarına ait olarak işaretlenmiştir. 9.48 ppm'deki 1-protonluk singlet yapının enol formundaki hidroksil grubuna ve 5.80 ppm'deki yaklaşık 1-protonluk singletin keto formundaki  $-\text{N}-(\text{CO})-\text{CH}-$  protununa ait olduğu anlaşılmıştır (Şekil 8.42). Aromatik bölgenin genişletilmiş spektrumundan aromatik protonlar işaretlenmeye çalışılmıştır (Şekil 8.42a). 7.68, 7.62, 7.21 ve 7.19 ppm'deki birer protonluk 4 dubletin ( $J_{7,8}=8.89$  Hz ;  $J_{5,6}=8.06$  Hz ;  $J_{3,4}=5.19$  Hz ;  $J_{3,4}=2.07$  Hz) sırasıyla H-8, H-5, H-4 ve H-3 protonlarına ait olduğu anlaşılmıştır. 7.19 –

7.10 ppm'deki birer protonluk tripletin ( $J_{7,8}=7.76$  Hz ;  $J_{6,7}=7.3$  Hz) sırasıyla H-7 ve H-6 protunlarına ait olarak işaretlenmiştir. Fenil halkasındaki -CH-ların işaretlemesi de aşağıdaki gibi yapılmıştır. 6.85 ppm'de 1-protonluk singletin H-2 protonuna ait olarak gözlenmesi beklenirken 2-protonluk singlet gözlenmiştir. H-2' ve H-6' protonları eş değer olduğundan H-6' protonuna ait olduğundan dubletin H-2' protonunun singleti ile çakışmış olacağrı düşünülmüştür. 6.69 ppm'deki 1-protonluk dubletin ( $J_{4',5'}=8.61$  Hz) H-4' protonuna 6.93 ppm'deki 1-protonluk tripletin ( $J_{5',6'}=8.05$  Hz) protonuna ait olarak işaretlenmiştir.

Maddenin  $^{13}\text{C-NMR}$  spektrumunda toplam 20 sinyal gözlenmiştir (Şekil 8.43). -CH<sub>3</sub>, -CH<sub>2</sub>- ve -CH- karbonlarına ait sinyallern 17.826, 46.260 ve 63.558 ppm'de işaretlenmiştir. 122.441, 130.628, 131.053, 126.497, 129.012 ve 125.453 ppm'deki sinyaller sırasıyla C-3, C-4, C-5, C-6, C-7 ve C-8 karbonlarına ; 123.146, 128.860, 131.492 ve 120.256 ppm'deki sinyaller ise C-2', C-4', C-5' ve C-6' fenil karbonlarına ait olarak işaretlenmiştir. 166.952 ppm'deki sinyal karbonil karbonuna ait olduğu düşünülmüştür. 113.090, 155.430, 129.231, 133.837 ve 141.304 ppm'deki sinyaller C-1, C-2, C-4a, C-8a, ve C-1' karbonlarına ait olduğu düşünülmüştür.

Yukarıdaki spektroskopik verilerden maddenin (1-N-dikloroasetil)-N-(meta-fenilaminometil)-2-naftol (167c) olduğu anlaşılmıştır .

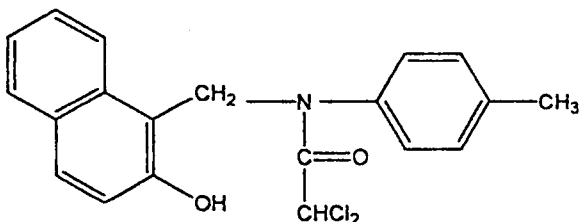
1-(N-dikloroasetil)-N-(para-metilfenilaminometil)-2-naftol (0,53 mmol) (167d) oda sıcaklığında 3 ml merck piridin içine alınarak 24 saat süreyle karıştırma işlemeye devam edilmiştir. Oluşan katı su ile yıkandı preparatif İTK da saflaştırıldıktan sonra %74 verimle alkolden kristallendirilmiştir (Mohan, K.R. , Rajeshwar, K. ve Sudhakar, C. , 1984) (en : 145 °C) .

Maddenin teorik  $^1\text{H-NMR}$  ve  $^{13}\text{C-NMR}$  değerleri hesaplanmıştır (Çizelge 9.3.10). Bu değerlerin aşağıdaki verilerle karşılaştırılması sonucu maddenin (1-N-dikloroasetil)-N-(para-metilfenilaminometil)-2-naftol olduğu sonucuna varılmıştır.

Maddenin IR spektrumunda, 1682 cm<sup>-1</sup>'de amit karboniline ait absorbsiyon bantları gözlenmiştir. 1547-1445 cm<sup>-1</sup>'deki absorbsiyon bantları aromatik yapıyı

destelemiştir.  $1264\text{ cm}^{-1}$ de C-O bandı gözlenmiştir.  $850\text{ cm}^{-1}$ deki bant da para-disübstüfenil halkasına ait olarak işaretlenmiştir (Şekil 8.44 ).

**Çizelge 9.3.4. (1-N-dikoloroasetil)-N-(para-fenilaminometil)-2 naftol (167d)'ün nötral, bazik ve asidik ortamda  $\lambda_{\max}$  (nm) değerleri**



(167d)

UV (Metanol), $\lambda_{\max}$ (abs)	UV ( $\text{OH}^-$ ), $\lambda_{\max}$ (abs)	UV ( $\text{H}^+$ ), $\lambda_{\max}$ (abs)
337.6(0,220)	337.9(0.189)	337.0(0.210)
325.0(0.190)	325.4(0.162)	325.2(0.187)
288.8(0.396)	287.6(0.398)	289.1(0.356)
282.8(0.380)	282.6(0.382)	283.1(0.377)

Maddenin UV spektrumunda 337.6, 325.0, 288.8 ve 282.8 nm'de absorbsiyon pikleri gözlenmiştir. Baz eklenerek alınan U.V. spektrumunda 337.9, 325.4, 287.6 ve 282.6 nm'de absorbsiyon maksimumları gözlenmiştir. Asit eklenerek alınan U.V. spektrumunda 337.0, 325.2, 289.1 ve 283.1 nm'de absorbsiyon maksimumları gözlenmiştir (Şekil 8.45).

Maddenin  $^1\text{H-NMR}$  spektrumunda 2.41 ppm'de 3-protonluk, 5.30 ppm'de 2-protonluk, 5.87 ppm 1-protonluk 3 singlet ve aromatik bölgede 10-protonluk sinyaller gözlenmiştir. 2.41 ppm'deki 3-protonluk sinyalin metil protonlarına, 5.30 ppm'deki 2-protonluk sinyalin -N-CH<sub>2</sub>- protonuna ve 5.87 ppm'deki 1-protonluk sinyalin -N-(CO)-CH-protonuna ait olduğu anlaşılmıştır (Şekil 8.46). Aromatik bölgenin genişletilmiş spektrumundan aromatik protonlar işaretlenmeye çalışılmıştır (Şekil 8.46a). 7.01 ve 7.23 ppm'deki ikişer protonluk dubletin ( $J_{2',3'}=J_{5',6'}=10.69\text{ Hz}$ ;  $J_{3',4'}=J_{5',6'}=11.74\text{ Hz}$ ) H-2', H-6' ve H-3', H-5' protonlarına ait olarak işaretlenmiştir. Geri kalan sinyallerin naftil

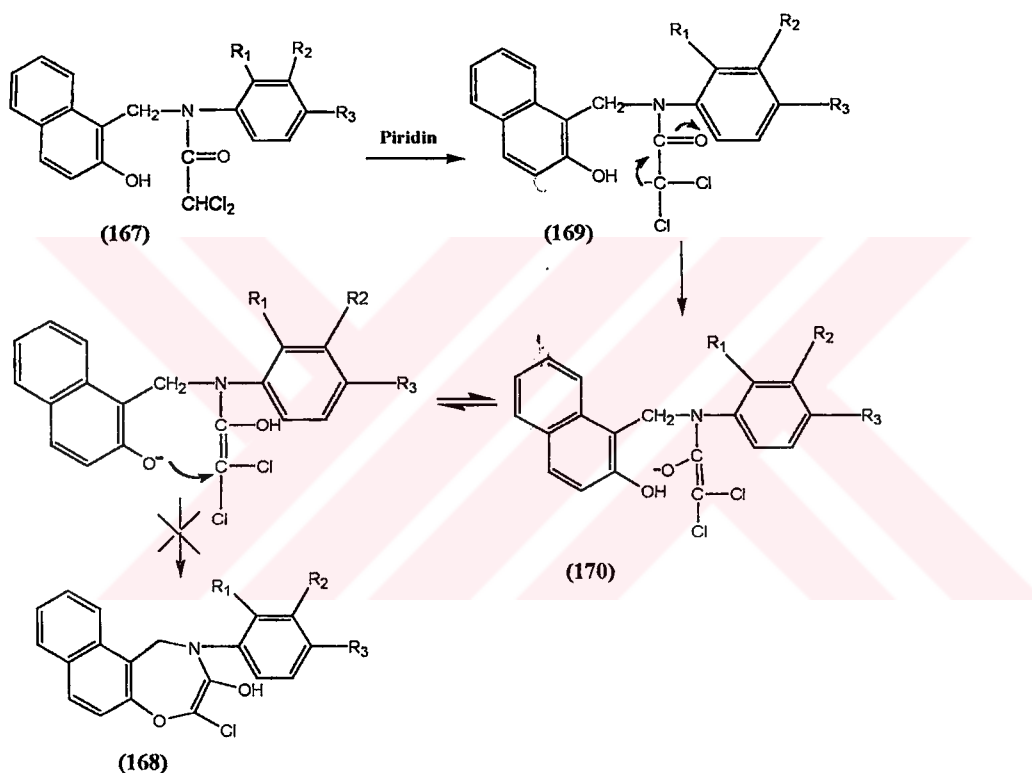
halkasındaki 6.82, 7.17 ve 7.70 ppm'deki birer protonluk doubletin ( $J_{3,4}= 8.6$  Hz ;  $J_{3,4}= 7.86$  Hz ;  $J_{5,6}= 8.05$  Hz) sırasıyla H-3, H-4 ve H-5 protonlarına ait olarak işaretlenmiştir. 7.02 ve 7.19 ppm'deki birer protonluk tripletin ( $J_{6,7}= 8.7$  Hz ;  $J_{7,8}= 7.69$  Hz ) sırasıyla H-6 ve H-7 protonuna ait olduğu düşünülmüştür.

Maddenin  $^{13}\text{C}$ -NMR spektrumunda toplam 19 sinyal gözlenmiştir (Şekil 8.47). 21.63 ppm'deki sinyalin metil karbonuna, 47.159 ppm'deki sinyalin Ar-CH<sub>2</sub>-N metilen karbonuna 63.775 ppm'deki sinyalin -N-(CO)-CH- karbona ait olduğu düşünülmüştür.  $^{13}\text{C}$ -N.M.R. spektrumunda 8 tane -CH- sinyali gözlenmiştir. Bu sinyallerden 122.401 ve 131.0472 ppm'deki şiddeti yüksek gelen iki sinyal C-2' ve C-3' karbonlarına ait olarak işaretlenmiştir. 120.488, 128.242, 128.877, 131.416, 126.601 ve 123.134 ppm'deki sinyallerin sırasıyla C-3, C-4, C-5, C-6, C-7 ve C-8 karbonlarına ait olduğu düşünülmüştür. 167.125 ppm'deki sinyal karbonil karbonuna ait olarak işaretlenmiştir. C-2 ve C-1 karbonlarına ait sinyaller 140.668 ve 113.030 ppm'de gözlenmiştir. 137.309, 155.420, 129.220 ve 133.844 ppm'deki sinyallerin de sırasıyla C-1', C-4', C-4a ve C-8a karbonlarına ait olduğu düşünülmüştür.

Yukarıdaki spektroskopik verilerden maddenin (1-N-dikoloroasetil)-N-(para-fenilaminometil)-2 naftol (167d) olduğu anlaşılmıştır.

## SONUÇ

1-( N-( o, m, p )-metilfenilaminometil-2-naftol'lerin(166) dikloroasetilklorürlerle muamelesinden diaçil türevleri elde edilmek istenmiş ancak N-açil türevleri sentezlenmiştir (167). Elde edilen N- açil türevlerinin bazik ortamda halka kapanma reaksiyonu vermediği ve açil türevlerine dönüştüğü IR, UV,  $^1\text{H-NMR}$ ,  $^{13}\text{C-NMR}$ , HETCOR,  $\text{D}_2\text{O}$  exchange, Kütle spektrumlarının yorum ve analiziyle anlaşılmıştır. N-açil türevlerinin bazik ortamda reaksiyon mekanizması aşağıdaki gibi önerilmiştir.



Reaksiyon sırasında oluşan fenoksit iyonu nükleofilik karakteri olan C=C bağına saldırımı gerçekleştiremediği düşünülmüştür. Ayrıca C etrafındaki iki klor atomu sterik etki oluşturduğu için halka kapanma reaksiyonu vermediği sonucuna varılmıştır. Daha sonraki çalışmalarda farklı reaksiyon şartları denenecek, naftoksazepinlerin oluşup olmadığı incelenerek açılıp kapanma reaksiyonu verip vermedikleri araştırılacaktır.

**Çizelge ( 9.3.7 ) 167a, 168a, 169a, 170a Yapılarının  $^1\text{H-NMR}$  ve  $^{13}\text{C-NMR}$  Spektrum Verileri**

$^1\text{H-NMR}$				
	167a	168a	169a	170a
H-3	6.84	6.91	6.84	6.91
H-4	7.46	7.44	7.46	7.44
H-5	7.60	7.61	7.60	7.61
H-6	7.18	7.18	7.18	7.18
H-7	7.29	7.31	7.29	7.31
H-8	7.63	7.76	7.63	7.70
H-2'	7.10	7.10	6.43	6.59
H-3'	7.31	7.31	7.04	7.08
H-4'	7.24	7.24	6.58	6.60
H-5'	7.31	7.31	7.04	7.08
H-6'	7.10	7.10	6.43	6.59
Ar-CH <sub>2</sub> -N-Ar	5.08	5.08	4.76	5.05
(CO)CHCl	6.40	6.62	—	—
OC(OH)CHCl <sub>2</sub>	—	—	—	6.27
(CO)CHCl <sub>2</sub>	—	—	—	—
$^{13}\text{C-NMR}$				
	167a	168a	169a	170a
C-1	115.4	111.8	115.4	111.8
C-2	153.7	158.2	153.7	158.2
C-3	118.2	119.4	118.2	119.4
C-4	128.0	127.7	128.0	127.7
C-4a	128.7	129.1	128.7	129.1
C-5	128.0	128.0	128.0	128.0
C-6	122.8	123.0	122.8	123.0
C-7	125.9	125.9	125.9	125.9
C-8	122.2	122.7	122.2	122.7
C-8a	133.4	133.5	133.4	135.5
C-1'	140.8	14.08	143.5	144.5
C-2'	120.4	120.4	112.3	113.1
C-3'	128.7	128.7	129.3	129.4
C-4'	124.1	124.7	116.9	118.0
C-5'	128.7	128.7	129.3	129.4
C-6'	120.4	42.7	112.3	113.1
Ar-CH <sub>2</sub> -N-Ar	42.2	161.7	42.9	42.4
ClCH-(CO)	156.7	100.7	—	—
COCHCl <sub>2</sub>	71.7	100.7	—	—
COCHCO	—	—	—	—
Cl-C=C-OH	—	—	132.9	—
Cl-C=C-OH	—	—	90.8	—
CHCl <sub>2</sub> -C-OH	—	—	—	128.8
CHCl <sub>2</sub> C(OH)	—	—	—	76.2

**Çizelge ( 9.3.8 ) 167b, 168b, 169b, 170b Yapılarının  $^1\text{H-NMR}$  ve  $^{13}\text{C-NMR}$  Spektrum Verileri**

$^1\text{H-NMR}$				
	167b	168b	169b	170b
H-3	6.84	6.91	6.84	6.91
H-4	7.46	7.44	7.46	7.44
H-5	7.60	7.61	7.60	7.61
H-6	7.18	7.18	7.18	7.18
H-7	7.29	7.31	7.29	7.31
H-8	7.63	7.70	7.63	7.70
H-2'				
H-3'	7.11	7.11	6.84	7.08
H-4'	7.12	7.12	6.46	6.60
H-5'	7.12	7.12	6.85	7.08
H-6'	6.98	6.98	6.31	6.59
Ar-CH <sub>2</sub> -N-Ar	5.08	5.08	4.76	5.05
COCHCl <sub>2</sub>	6.40			
(CO)CHCl		6.62		
C(OH)CHCl <sub>2</sub>				6.27
CH <sub>3</sub>	2.85	2.35	2.35	0.86
$^{13}\text{C-NMR}$				
	167b	168b	169b	170b
C-1	115.4	111.8	115.4	111.8
C-2	153.7	158.2	153.7	158.2
C-3	118.2	119.4	118.2	119.4
C-4	128.0	127.7	128.0	127.7
C-4a	128.7	129.1	128.7	129.1
C-5	128.0	128.0	128.0	128.0
C-6	122.8	123.0	122.8	123.0
C-7	125.9	125.9	125.9	125.9
C-8	122.2	122.7	122.2	122.7
C-8a	133.4	133.5	133.4	135.5
C-1'	141.5	141.5	144.2	144.5
C-2'	129.6	129.6	121.5	113.1
C-3'	129.4	129.4	130.0	129.4
C-4'	124.0	124.0	116.8	118.0
C-5'	125.7	125.7	126.3	129.4
C-6'	120.3	120.3	112.2	113.1
Ar-CH <sub>2</sub> -N-Ar	42.5	43.0	43.2	42.4
(CO)CHCl <sub>2</sub>	156.7			
(CO)CHCl <sub>2</sub>	71.2			
COCHCl		161.7		
COCHCl		100.7		
Cl-C=C-OH			132.9	
Cl-C=C-OH			90.8	
CHCl <sub>2</sub> -C-OH				128.8
CHCl <sub>2</sub> -C-OH				76.9
-CH <sub>3</sub>	12.1	12.1	12.5	6.8

**Çizelge ( 9.3.9 ) 167c, 168c, 169c, 170c Yapılarının  $^1\text{H-NMR}$  ve  $^{13}\text{C-NMR}$  Spektrum Verileri**

<b>1H-NMR</b>				
	<b>167c</b>	<b>168c</b>	<b>169c</b>	<b>170c</b>
H-3	6.84	6.91	6.84	6.91
H-4	7.46	7.44	7.46	7.44
H-5	7.60	7.61	7.60	7.61
H-6	7.18	7.18	7.18	7.18
H-7	7.29	7.31	7.29	7.31
H-8	7.63	7.70	7.63	7.70
H-2'	6.90	6.90	6.23	6.59
H-3'				
H-4'	7.04	7.04	6.38	6.60
H-5'	7.19	7.19	6.92	7.08
H-6'	6.91	6.91	6.24	6.59
Ar-CH <sub>2</sub> -N-Ar	5.08	5.08	4.76	5.05
COCHCl <sub>2</sub>	6.40			
(CO)CHCl		6.62		
C(OH)CHCl <sub>2</sub>				6.27
CH <sub>3</sub>	2.35	2.35	2.35	0.86
<b>13C-NMR</b>				
	<b>167c</b>	<b>168c</b>	<b>169c</b>	<b>170c</b>
C-1	115.4	111.8	115.4	111.8
C-2	153.7	158.2	153.7	158.2
C-3	118.2	119.4	118.2	119.4
C-4	128.0	127.7	128.0	127.7
C-4a	128.7	129.1	128.7	129.1
C-5	128.0	128.0	128.0	128.0
C-6	122.8	128.0	122.8	123.0
C-7	125.9	125.9	125.9	125.9
C-8	122.2	122.7	122.2	122.7
C-8a	133.4	133.5	133.4	135.5
C-1'	140.7	140.7	143.4	144.5
C-2'	121.1	121.1	113.0	113.8
C-3'	137.9	137.9	138.5	138.6
C-4'	124.8	124.8	117.6	118.7
C-5'	128.6	128.6	129.2	129.3
C-6'	117.4	117.4	109.3	110.1
Ar-CH <sub>2</sub> -N-Ar	42.2	42.7	42.9	45.9
(CO)CHCl <sub>2</sub>	156.7			
(CO)CHCl <sub>2</sub>	71.7			
COCHCl		161.7		
COCHCl		100.7		
Cl-C=C-OH			132.9	
Cl-C=C-OH			90.8	
CHCl <sub>2</sub> -C-OH				117.0
CHCl <sub>2</sub> -C-OH				63.1
-CH <sub>3</sub>	20.9	20.9	20.9	20.9

**Çizelge ( 9.3.10 ) 167d, 168d, 169d, 170d Yapılarının  $^1\text{H-NMR}$  ve  $^{13}\text{C-NMR}$  Spektrum Verileri**

	<b><math>^1\text{H-NMR}</math></b>			
	<b>167d</b>	<b>168d</b>	<b>169d</b>	<b>170d</b>
H-3	6.84	6.91	6.84	6.91
H-4	7.46	7.44	7.46	7.44
H-5	7.60	7.61	7.60	7.61
H-6	7.18	7.18	7.18	7.18
H-7	7.29	7.31	7.29	7.31
H-8	7.63	7.70	7.63	7.70
H-2'	6.98	6.98	6.31	6.59
H-3'	7.11	7.11	6.84	7.08
H-4'				
H-5'	7.11	7.11	6.84	7.08
H-6'	6.98	6.98	6.31	6.59
Ar-CH <sub>2</sub> -N-Ar	5.08	5.08	4.76	5.05
COCHCl <sub>2</sub>	6.40			
(CO)CHCl		6.62		
C(OH)CHCl <sub>2</sub>				6.27
CH <sub>3</sub>	2.35	2.35	2.35	0.86
<b><math>^{13}\text{C-NMR}</math></b>				
	<b>167d</b>	<b>168d</b>	<b>169d</b>	<b>170d</b>
C-1	115.4	111.8	115.4	111.8
C-2	153.7	158.2	153.7	158.2
C-3	118.2	119.4	118.2	119.4
C-4	128.0	127.7	128.0	127.7
C-4a	128.7	129.1	128.7	129.1
C-5	128.0	128.0	128.0	128.0
C-6	122.8	123.0	122.8	123.0
C-7	125.9	125.9	125.9	125.9
C-8	122.2	122.7	122.2	122.7
C-8a	133.4	133.5	133.4	135.5
C-1'	137.8	137.8	140.5	141.5
C-2'	120.3	120.3	121.2	113.0
C-3'	129.4	129.4	130.0	130.1
C-4'	133.3	133.3	126.1	127.2
C-5'	129.4	129.4	130.0	130.1
C-6'	120.3	120.3	112.2	113.0
Ar-CH <sub>2</sub> -N-Ar	42.2	42.7	42.9	45.9
(CO)CHCl <sub>2</sub>	156.7			
(CO)CHCl <sub>2</sub>	71.7			
COCHCl		161.7		
COCHCl		100.7		
Cl-C=C-OH			132.9	
Cl-C=C-OH			90.8	
CHCl <sub>2</sub> -C-OH				117.0
CHCl <sub>2</sub> -C-OH				63.1
-CH <sub>3</sub>	20.9	20.9	20.9	20.9

## KAYNAKLAR DİZİNİ

Alig, Leo; Hadvary, Paul; Huerzeler Mueller, Marianne; Mueller, Marcel; Steiner, Beat; Weller, Thomas (F. Hoffman-La Roche AG) Eur. Pat. Appl. EP 656,348 (Cl. C07C257/18), 07 Jun 1995, CH Appl. 93/3,609, 03 Dec 1993; 69 pp.

Arya, V. P.; Kaul, C. L.; Grewal, R. S.; David, J.; Talwalker, P. K.; Shenoy, S. J. (Res. Cent., Ciba-Geigy, Bombay, India) Indian J. Chem., Sect. B 1977, 15(8), 720-6.

Bernard Belleau (to Corega Chemical Co.). U.S. 2,807,628, Sept. 24, 1957.

Bhalerao, U.T.; Thyagarajan, G. (Reg. Res. Lab., Hyderabad, India). Indian J. Chem. 1968, 6(3), 176.

Bhalerao, U. T.; Thyagarajan, G. (Reg. Res. Lab. Hyderabad India). Can. J. Chem. 1968, 46(21), 3367-74.

Blackburn, Brent; Barker, Peter; Gadek, Thomas; McDowell, Robert; McGee, Lawrence; Somers, Todd; Webb, Rob; Roberge, Kirk (Genentech, Inc.) PCT Int. Appl. WO 93 08,174 (CL. C07D243/14), 29 Apr 1993, US Appl. 781,477, 18 Oct 1991; 407 pp.

Bodanszky, Miklos (Squibb, E. R., and Sons, Inc.) U.S. 3,704,246 (Cl. 260-333; C07d), 28 Nov 1972, Appl. 451,609, 28 Apr 1965

Bodanszky, Miklos (Squibb, E. R., and Sons, Inc.) Brit. 1,171,109 (Cl. C07d), 19 Nov 1969, Appl. 08 Nov 1966; 6 pp.

Bodanszky, Miklos (Squibb, E. R., and Sons, Inc.) U.S. 3,880,838 (Cl. 260-239.3B; C07d), 29 Apr 1975, Appl. 451,609, 28 Apr 1965

Bose, Ajay K.; Hoffman, William A.; Manhas, Maghar S. (Dep. Chem. Chem. Eng., Stevens Inst. Teechnol., Hoboken, N. J.) J. Chem., Perkin Trans. 1 1976, (21),2343-8.

Bremner, John B.; Browne, Elaine J.; Gunawardana, Indrani W. K. (Dep. Chem., Univ. Tasmania, Hobart, 7001 Australia). Aust. J. Chem. 1984, 37(1), 129-41.

Bremner, John B.; Browne, Elaine J.; Engelhardt, Lutz M.; Gunawardana, Indrani W. K.; White, Allan H. (Dep. Chem., Univ. Tasmania, Hobart, 7001 Australia). Aus. J. Chem. 1988, 41(3), 293-303.

Cale, Albert D., Jr. (Robins, A.H., Co., Inc.) U.S. US 4,705,853 (Cl. 540-490; C07D281/08), 10 Nov 1987, US Appl. 431,500, 30 Sep 1982

Cale, Albert D., Jr.; Franko, Bernard Vincent; Leonard, Charles Arthur (Robins, A. H., Co., Inc.) Eur. Pat. Appl. EP 107,930 (Cl. C07D267/14), 09 May 1984, US Appl. 431,500, 30 Sep 1982

Cale, Albert D., Jr. (Robins, A.H., Co., Inc.) U.S. US 4,592,866 (Cl. 260-239.3T; C07D281/08), 03 Jun 1986, US Appl. 431,500, 30 Sep 1982

Cale, Albert D., Jr.; Gero, Thomas W.; Walker, Kathleen R.; Lo, Youngs S.; Welstead, William J., Jr.; Jaques, Larry W.; Johnson, Ashby F.; Leonard, Charles A.; Nolan, Joseph C.; Johnson, David N. (Res. Lab., A. H. Robins Co., Inc., Richmond, VA 23261-6609 USA). J. Med. Chem. 1989, 32(9), 2178-99

Cattaneo, P. Galimberti, and Melandri M., Ibid. 541-7

Cattaneo, P. Galimberti, and Melandri M. (Soc. Ital. Prod. Schering, Milan). Boll. Chim. Farm. 102, 541-7(1963) (Ital).

Chemische pharmazeutische Fabrik Dr. Hermann Thiemann G. m. b. H. (by Helmut Schafer). Ger. 1,085,879, July 28, 1960 (Cl. 12 p).

Chugai Pharmaceutical Co., Ltd. Jpn. Kokai Tokkyo Koho 80 76,869 (Cl. C07D267/20), 10 Jun 1980, Appl. 78/149,934, 06 Dec 1978

Dall'Asta, Leone; Pedrazzoli, Andrea; Perotti, Angelo (Farm. Midy S. p. A., Milan, Italy). Bull. Soc. Chim. Fr. 1968, (1), 401-6 (Fr).

Derieg M. E. And Sternbach L. H. (Hoffmann-La Roche, Nutley, N. J.). J. Heterocyclic Chem. 3(2), 237-8(1966).

Duckworth, Paul A.; Stephens, Frederick S.; Wainwright, Kevin P.; Weerasuria, K. D. V.; Wild, S. Bruce (Res. Sch. Chm., Aust. Natl. Univ., Canberra, 2601 Australia). Inorg. Chem. 1989, 28(25), 4531-5

Dudeck, Helmut; Levai, Albert (Abt. Chem. , Ruhr-Univ. Bochum, D-4630 Bochum, 1 Fed. Rep. Ger.). Arch. Pharm. (Weinheim, Ger.) 1983, 316 (2), 100-5

Farbenfabriken Bayer A.-G. Brit 888,646, Jan.31,1962 Ger. Appl. May 16,1959.

Ghosh, C. K.; Mukhopadhyay, K. K. (Dep. Biochem., Calcutta Univ., Calcutta, India). Synthesis 1978, (10), 779-81

Goto, Giichi; Miyamoto, Masaomi; Ishihara, Yuji (Takeda Chemical Industries, Ltd.) Eur. Pat. Appl. EP 567,090 (Cl. C07D267/14), 27 Oct 1993, JP Appl. 92/106,789, 24 Apr 1992

Griengl, Herfried; Bleikolm, Anton ("Gebro" G. Broschek K.-G. Chemisch-Pharmazeutische Fabrik) Austrian 336,026 (Cl. C07D267/10), 12 Apr 1977, Appl. 75/1,905, 12 Mar 1975

Griengl, Herfried; Bleikolm, Anton; Grubbauer, Wolfgang; Soelradl, Helbert (Inst. Org. Chem., Austria). Liebigs Ann. Chem. 1979, (3), 392-9

Himizu, Junichi; Ishida, Akihiko; Yoshikawa, Kaoru (Tanabe Seiyaku Co., Ltd.)  
Japan. 72 48,380 (Cl. C 07cd, A 61k ), 16 Dec 1972, Appl. 70 125,906, 25 Dec 1970.

Himizu, Junichi; Ishiada, Teruhiko; Yoshikawa, Kaoru (Tanabe Seiyaku Co.,  
Ltd.) Japan. 73 12,756 (Cl. C 07d), 23 Apr 1973, Appl. 70 125,907, 25 Dec 1970

Hirohashi, Toshiyuki; Izumi, Takahiro; Yamamoto, Hisao (Sumitomo Chemical  
Co. Ltd.) Ger. Offen. 2,014,223 (Cl. C 07d), 01 Oct 1970, Japan. Appl. 28 Mar 1969-06  
May 1969.

Hofmann, Hans; Fischer, Herbert (Inst. Org. Chem., Univ. Erlangen-Nurnberg, D-  
8520 Erlangen, Fed. Rep. Ger.). Liebigs Ann. Chem. 1990, (9), 917-21

Huckle D., I. M. Lockhard, and Wright M. (Parke, Davis, Co., Hounslow, Eng.).  
J. Chem. Soc. 1965 (Feb.), 1137-41.

Ishihara, Yuji; Tanaka, Toshimasa; Miwatashi, Seici; Fujishima, Akira; Goto,  
Giichi (Pharmaceutical Research Laboratories I, Takeda Chemical Industries, Ltd. Osaka,  
Japan 532). J. Chem. Soc., Perkin Trans. 1 1994, (20), 2993-9.

Jacques Gilbert and Henry Gault (C. N. R. S. Bellevue, France ). Compt. Rend.  
254, 884-6(1962)

Kametani, Tetsuji; Ohkubo, Kazumi; Takano, Seiichi (Pharm. Inst., Tohoku  
Univ., Sendai, Japan ). Yakugaku Zasshi 1969, 89(8), 1048-55.

Kaneko, Yutaka (Konica Co.) Jpn. Kokai Tokyo Koho JP 63 95,442 [88 95,442]  
(Cl. G03C7/38), 26 Apr 1988, Appl. 86/240,552, 09 Oct 1986.

Kaye, Perry T.; Whittal, Rory D. (Dep. Chem., Rhodes Univ., Grahamstown,  
6140 S. Afr.). S. Afr. J. Chem. 1991 44(1), 30-1.

Khan, Aijaz A. (Reg. Res. Lab., Hyderabad, India). Z. Kristallogr. 1968, 126(4), 317.

Kluiber, Rudolph W.; Sasso G. (Dep. Of Chem., Rutgers State Univ., Newark, N. J.). Inorg. Chim. Acta 1970, 4(2), 226-30.

Kost, A. N.; Lubas, A. A.; Stankevicius, A. (Kaunas Appl. 05 Aug 1968; Form Otkryiya, Izobret., Prom. Obraztsy, Tovarnye Znaki 1971, 48(13), 96.

Kost, A. N.; Stankevicius, A. (Mosk. Gos. Univ. im. Lomonosova, Moscow, USSR). Khim. Geterotsikl. Soedin. 1971, 7(9), 1288-92

Kwiecien, H. (Inst. Fundamental Chemistry, Politechnical Univ., 71-065 Szczecin, Pol.). Pol. J. Chem. 1996, 70(6), 733-741

Levai, A.; Bognar, R. (Inst. Org. Chem., Kossuth Lajos Univ., Debrecen, Hung.). Top. Flavanoid Chem. Biochem., Proc. Hung. Bioflavanoid Symp., 4 th 1973 (pub. 1975), 119-23

Levai, A.; Bognar, R. (Inst. Org. Chem., Kossuth Lajos Univ., Debrecen, Hung.). Acta Chim. Acad. Sci. Hung. 1978, 97(1), 77-83

Levai A.; Timar T.; Frank L.; Hosztafi S. (Dep. Org. Chem., Lajos Kossuth Univ., H-4010 Debrecen, Hung.). Heterocycles 1992, 34(8), 1523-38

Levai A.; Timar T.; Frank L.; Hosztafi S.; Toth G. (Dep. Org. Chem., Lajos Kossuth Univ., H-4010 Debrecen, Hung.). Heterocycles 1994, 38(2), 305-18

Litkei, G.; Patonay, T. (Inst. Org. Chem., Lajos Kossuth Univ., H-4010 Debrecen, 20 Hung.). Study Org. Chem. (Amsterdam) 1981 (Pub. 1982). 11(Flavanoids Bioflavanoids), 11-17

Litkei, G.; Patonay, T. (Inst. Org. Chem., Lajos Kossuth Univ., H-4010 Debrecen, Hung.). *Acta Chim. Hung.* 1983, 114(1), 47-56

Majo, V. J.; Venugopal, M.; Prince, A. A. M.; Perumal, P. T. (Org. Chem. Lab., Central Leather Res. Inst., Madras, 600 020 India). *Synth. Commun.* 1995, 25(23), 3863-8

Marnet, Lawrence J.; Kalkutkar, Amit S. (Vanderbilt University) PCT Int. Appl. WO 95 15,163 (Cl. A61K31/40), 08 Jun 1995, US Appl. 162,404, 03 Dec 1993.

Martin, John W. L.; Wainwright, Kevin P.; Weerasuria, K. D. V.; Wild, S. B. (Res. Sch. Chem., Aust. Natl. Univ., Canberra, 2601 Australia). *Inorg. Chem. Acta* 1985, 99(1), L5-L7

Matsuo, M.; Ueda, Ikuo (Cent. Res. Lab., Fujisawa Pharm. Co., Ltd., Osaka, Japan 532). *Chem. Pharm. Bull.* 1982, 30(4), 1141-50

Misiti, Domenico (Dep.Ther. Chem., Ist. Super. Sanita, Rome, Italy). *Ann. Ist. Super. Sanita* 1973, 9, Pt. 2-3, 174-5

Misiti, Domenico; Rimatory, Valentino (Lab.Chem.Ter., Ist. Super. Sanita, Rome, Italy). *Ann. Ist. Super. Sanita* 1973, 9, Pt. 2-3, 150-9

Misiti, Domenico; Rimatory, Valentino (Lab.Chim.Ter., Ist. Super. Sanita, Rom, Italy). *J. Chem. Soc. Chem.* 1972, 9(6), 1305-11.

Mohan, K. Raja; Rajeshwar, K.; Sudhakar, C. (Dep. Chem., Nizam Coll., Hyderabad, 50001 India). *Acta Cienc. Indica, [Ser.] Chem.* 1984, 10(4), 267-71

Monkovic, Ivo; Willner, David; Adam, Michael A.; Brown, Myron; Crenshaw, R. R.; Fueller, Carl E.; Juby, Peter F.; Luke, George M.; Matiskella, John A.; Montzka, Thomas A. (Pharm. Res. Dev div. Bristol-Myers Co., Syracuse, NY 13221 USA). *J. Med. Chem.* 1988, 31(8), 1548-58.

Mueller, Richard August (Searle, G. D., and Co.) Ger. Offen. 2,700,091 (Cl. C07D413/12), 14 Jul 1977, US Appl. 646,686, 05 Jan 1976

Nichimizu, J.; Ishida, A.; Yoshikawa, K.; Tokada, T. (Tanabe Seiyaku Co., Ltd.) Japan. 75 06,531 (Cl. C07D, a61K), 14 Mar 1975, Appl. 70 125,908, 25 Dec 1970

Okada, Fumihiko; Torii, Yoshifumi; Saito, Hiroshi; Matsuki, Norio (Fac. Pharm. Sci., Univ. Tokyo, Tokyo, Japan 113). Jpn. J. Pharmacol. 1994, 64(2), 109-14

Ono, Michio; Aoki, Kozo (Fuji Photo Film Co., Ltd.) Eur. Pat. Appl. EP 244,697 (Cl. G03C7/34), 11 Nov 1987, JP Appl. 86/100,222, 30 Apr 1986.

Osman, A. N.; El-Enani, M. M. (Fac. Pharm., Cairo, Egypt). Egypt. J. Pharm. Sci. 1981 (Pub. 1983). 22(1-4), 1-7

Sanchez-Viesca, F.; Gomez, Maria R. (Fac. Quim., Univ. Nac. Auton., Mexico City, Mex.). Rev. Latinoam. Quim. 1982, 13(2), 67-9

Schenker K. and Druey J. (CIBA A.-G., Basel, Switz.) Helv. Chim. Acta 46, 1696-704(1963)(in German); cf. CA 59, 8726a.

Schenker K. (Dep. Pharm. CIBA, A.-G., Basel, Switz.). Helv. Chim. Acta 51(3), 413-21(1968)

Schenker, K. (CIBA-Geigy A.-G.) Swiss 505, 850 (Cl. C 07d), 28 May 1971, Appl. 21 Mar 1968

Scherrer, V.; Jackson, M.; Zsindely, J.; Schmid, H. (Org.- Chem. Inst., Univ. Zurich, Zurich, Switz.). Helv. Chim. Acta 1978, 61(2), 716-31

Sharma, S.D.; Kaur, S. (Dep. Chem., Panjab Univ., Chandigarh, 160 014 India). Indian J. Chem., Sect. B 1984, 23B(6), 518-21

Sharma, I.; Agarwal, M.; Ray, S. (Med. Chem. Div., Cent. Drug Res. Inst., Lucknow, 226 001 India). Indian J. Chem., Sect. B 1989, 28B(7), 592-4

Short, J. H.; Ours, C.W. (Div. Exp. Ther., Abbott Lab., North Chicago, III.). J. Heterocycl. Chem. 1975, 12(5), 869-76

Scridhar, D. R.; Sarma, C. R.; Krishna, R. R.; Sachdeva; Y. P. (Res. Dev. Dep., Indian Drugs and Pharm. Ltd., Hyderabad, 500037 India). Indian J. Chem., Sect. B 1979, 17B(2), 155-7

Shtacher, G.; Erez, M.; Cohen, S. (Med. Sch., Beilinson Hosp., Petah Tiqva, Israel). J. Med. Chem. 1973, 16(5), 516-19

Simon, Lajos; Talpas, S. Gizella; Fueloep, Ferenc; Bernath, Gabor; Argay, Gyula; Kalman, Alajos; Sohar, Pal (Cent. Res. inst. Chem., Hungarian Acad. Sci., H-1525 Budapest, Hung.) J. Heterocycl. Chem. 1995, 32(1), 161-7

Simon, Lajos; Talpas, S. Gizella; Fueloep, Ferenc; Bernath, Gabor; Argay, Gyula; Kalman, Alajos; Sohar, Pal (Gyogyszerkemiai Intez, Szent-Gyorgyi Albert Orvostudomanyi Egyetem, Szeged, Hung.). Acta Pharm. Hung. 1996, 111-118

Squibb, E. R., and Sons, Inc. Fr. 1,502,262 (Cl. C 07d) 18 Nov 1966

Tatsuoka, Toshio; Kamei, Katsuhide; Maeda, Noriko; Inoue, Teruyoshi; Nishimura, Mika; Hirotsu, Ichiro (Suntory Ltd., Japan) PCT Int. Appl. WO 96 24,594 (Cl. C07D401/04), 15 Aug 1996, JP Appl. 95/58,307, 10Feb 1995

Tatsuoka, Toshio; Nomura, Kayoko; Shibata, Makoto (Suntory, Ltd.) Eur. Pat. Appl. EP 376,633 (Cl. C07D267/14), 04 Jul 1990, JP Appl. 88/329,103, 28 Dec 1988

Tatsuoka, Toshio; Nomura, Kayoko; Shibata, Makoto; Kawai, Masanori (Suntory, Ltd.) Eur. Pat. Appl. EP 468,562 (Cl. C07D417/06), 02 Jun 1992, JP Appl. 90/168,555, 28 Jun 1990

Thyagarajan, Gopalakrishna; Bhalerao, U. T.; Naseem, Shanta; Subramanian, V. s. (Reg. Res. Lab., Hyderabad, India). Indian J. Chem. 1968, 6(11), 625-7

Weafelaer, Adolphe (Laboratories S. M. B., Anciens Etablissements J. Muelberger et R. Baudier) Ger. Offen. 1,100,654 (Cl. C 07d), 22 Jul 1971, Lux. Appl. 12 Jan 1970-31 Dec 1970

Waefelaer, A.; Pecher, J.; Dubois, A. (Cent. Enseign. Rech. Ind. Aliment., 1070 Brussels, Belg.). Ing. Chim. (Brussels) 1979, 61(293), 87-95

Waefelaer, A.; Pecher, J.; Dubois, A.; Poultier, P. (Lab. S. M. B., Brussels, Belg.). Aust. J. Chem. 1976, 29(12), 2693-9

Walker, Gordon N.; Smith, Ronald Timothy (Res. Dep., CIBA Pharm. Co., Summit, N. J.) J. Org. Chem. 1970, 36(2), 305-308

Weinstock, Marta; Schechter, Yael; Erez, M.; Shtaacher, G. (Sackler Sch. Med., Tel Aviv Univ., Ramat Aviv, Israel). Eur. J. Pharmacol. 1974, 26(2), 191-7

Zaugg, H. E.; Leonard, J. E.; DeNet, R. W. (Res. Div., Abbott Lab., North Chicago, III.). J. Heterocycl. Chem. 1974, 11(6), 1087-9

## ÖZGEÇMİŞ

1969 yılında Adana'da doğdu. İlk ve orta öğreniminden sonra 1987 yılında Adana Kız Lisesinden mezun oldu. 1987 yılında Anadolu Üniversitesi Fen Edebiyat Fakültesi Kimya Bölümüne girdi ve 1992 yılında mezun oldu. Aynı yıl Anadolu Üniversitesi Fen-Bilimleri Enstitüsünde yüksek lisans çalışmalarına başladı ve 1994 - Şubat ayında yüksek lisans çalışmalarını tamamladı. 1995-Ekim ayında Doktora çalışmasına başladı. Halen Osmangazi Üniversitesi Fen- Edebiyat Fakültesi Kimya Bölümünde Araştırma görevlisi olarak çalışmaktadır.